



29. ULUSAL NÜKLEER TIP KONGRESİ POSTER SUNUMLARI

[PS-001]**FDG PET/BT ile Saptanan İkinci Primer Kanserlerin Klinik Katkısı**

Akın Yıldız¹, Mustafa Özdoğan², Saim Yılmaz³, Barış Özcan⁴, Necdet Öz⁵, Metin Çevener³, Zeliha Şahin¹, Ayşegül Kargı²

¹Memorial-Medstar Hastanesi Kanser Merkezi, Nükleer Tip Kliniği, Antalya

²Memorial-Medstar Hastanesi Kanser Merkezi, Tıbbi Onkoloji Kliniği, Antalya

³Memorial-Medstar Hastanesi Kanser Merkezi, Radyoloji Kliniği, Antalya

⁴Memorial-Medstar Hastanesi Kanser Merkezi, Genel Cerrahi Kliniği, Antalya

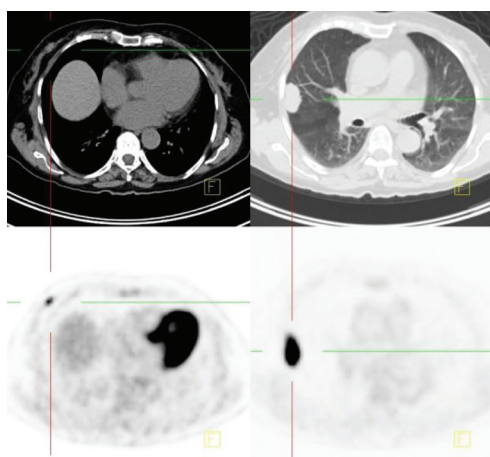
⁵Memorial-Medstar Hastanesi Kanser Merkezi, Göğüs Cerrahisi Kliniği, Antalya

Amaç: FDG PET/BT ile ikinci primer kanserlerin doğru olarak tanınabilmesi evreleme, tedavi yaklaşımı ve прогнозu etkileme potansiyeli taşımaktadır. Çalışmanın amacı, PET/BT'nin insidental olarak ikinci primer kanserleri saptamadaki rolünü ve klinik önemini ortaya koymak ve hasta yönetimine yaptığı katkıyı belirlemektir.

Yöntem: Şubat 2012-Aralık 2016 arasında yapılan toplam 7684 FDG PET/BT tetkiki retrospektif olarak incelenerek yalnızca ikinci primer malignite olabileceği raporda belirtilmiş 511/7684 (%6,6) hasta değerlendirmeye alınmıştır. İkinci primer açısından histopatolojik değerlendirme yapılabilmış toplam 235/511 (%45,9) hasta (125 erkek, 110 kadın) çalışmaya dahil edilmiştir. PET/BT'de tomografik komponentin değerlendirilmesinde morfolojik görüntülerin metastaz ile uyumlu olmaması, metabolik aktivite farklılığı, atipik lokalizasyon, tedavi yanıtına rağmen değişim gözlenmemeye veya progresyon gösteren lezyonlar ikinci primer kanser ile uyumlu olarak değerlendirilmiştir. PET/BT tomografik komponenti IV kontrast madde kullanılarak ve tanısal dozda uygulanmıştır.

Bulgular: Histopatolojik kanıtlı 235 olgunun 145'inde (%61,7), ikinci primer kanserler saptanmıştır. Yalancı negatif 90 hastadan 35'i (%38,8) metastaz, 19'u (%21,1) benign lezyon olarak bulunmuştur. İkinci kanserler olguların %51,9'unda senkron, %48'inde metakrondu.

İlk kanser tanılarının dağılımı; akciğer (%15,2), kolorektal (%13,5), baş ve boyun (%12,2), lenfoma-miyeloma (%10,5), meme (%22,8), jinekoloji (%6,3), genitoüriner (%4,2), özefagus, mide ve duodenum (%2,5), malign melanom (%1,2), pankreas (%1,6), kemik ve yumuşak doku (%2,1), prostat (%3,8), karaciğer ve safra yolları (%1,6) diğer organlar (%1,6) şeklindeydi. İkinci primer kanser dağılımı Şekil 1'de, yalancı pozitif olgu dağılımı Şekil

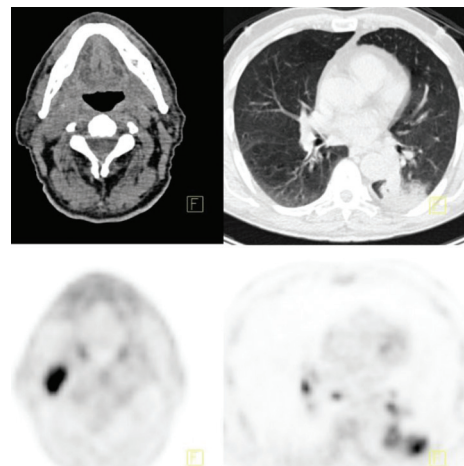


Şekil 1.

2'de verilmiştir. Yüz kırk beş hastanın dağılımı; meme (%22,9), akciğer (%15,3), kolorektal (%13,6), baş boyun (%12,3), hematolojik (%10,6) ve diğer kanserler (%25,1) olarak belirlenmiştir. Beş hastada 3 senkron primer malignite saptanmıştır.

Sonuç: PET/BT ile ikinci primer kanserlerin saptanmasında metabolik aktivite yanında radyolojik özellikler ve onkolojik veriler önemlidir. İkinci kanserler saptanabilmesi hem primer kanser tanısında ve dolayısı ile tedavi yaklaşımında yaniltıcı sonuçlara yol açabilmesi hem de ikinci kanser için planlanacak tedaviler açısından önem taşımaktır ve klinik yaklaşımı değiştirebilmektedir.

Anahtar Kelimeler: PET/BT, ikinci primer kanser



Şekil 2.

[PS-002]**Mide Boşalma Zamanı Sintigrafisine Alternatif Bir Yaklaşım ve Klinik Öneminin Araştırılması**

Hüseyin Şan¹, Bahadır Çalışkan², Alper Özgür Karaçalioğlu¹, Murat Kantarcioğlu³, Semra Ince¹, Özdeş Emre¹, Nuri Arslan¹

¹Sağlık Bilimleri Üniversitesi, Gülnar Eğitim ve Araştırma Hastanesi, Nükleer Tip Kliniği, Ankara

²Sağlık Bilimleri Üniversitesi, Gülnar Eğitim ve Araştırma Hastanesi, Çocuk Cerrahisi Kliniği, Ankara

³Sağlık Bilimleri Üniversitesi, Gülnar Eğitim ve Araştırma Hastanesi, Gastroenteroloji Kliniği, Ankara

Amaç: Mide boşalma zamanı, midenin mekanik fonksiyonlarının değerlendirilmesinde önemli bir fonksiyonel görüntüleme testidir. Ancak bu testin uluslararası kabul görmüş normal değerleri mevcut değildir. Bu çalışmanın amacı, radyolojide mide görüntülemede radyolojik kontrast olarak kullanılan oral baryum solüsyonunu Teknesium-99m makro agrega albümün (Tc-99m MAA) ile karıştırıp, kalori, içerik ve miktar bakımından standart test yemeği haline getirerek mide boşalma çalışmalardaki potansiyel rolünü araştırmak ve atropin uygulaması ile gastroparezi koşulları taklit edilerek klinik araştırmalardaki potansiyel önemini ortaya koymaktır.

Yöntem: Çalışmada 14 adet, 2000-2500 gr arasında ağırlıkta erkek Yeni Zelanda beyaz tavşanı kullanılmıştır. Her bir tavşana 1 mCi Tc-99m MAA ile karıştırılmış 40 gr oral baryum solüsyonu (1 gr/mL, radyobarat solüsyon, Recordati ilaç) nazogastrik sondası ile uygulanmıştır. Tahta bir zemine

stabilize edilen denekler, anestezi uygulanmadan gama kamera altında 1 saat boyunca dinamik (1 frame/dk) olarak görüntülenmiştir. Birkaç gün sonra aynı çalışma aynı deneklere aynı koşullarda, gastroparezi koşullarını taklit etmek için 1 mg atropin uygulanması sonrası tekrar edilmiştir. İlk ve son bir dakikalık anterior ve posterior projeksiyon görüntülerinde mide çevresine ilgi alanı çizilerek sayımlar elde edilmiş ve geometrik ortalamaları hesaplanmıştır (1. dk sayı-60. dk sayı)/1. dk sayı X 100 formülü ile mide boşalma yüzdesi hesaplanarak bazal ve atropin sonrası farkların öncemi Wilcoxon signed rank testi ile araştırılmıştır.

Bulgular: Dinamik görüntüler incelendiğinde, baryumun Tc-99m MAA'nın midden kontrollü boşalmamasına neden olduğu saptanmıştır. Bazal mide boşalma ortalama \pm SD: $74,24\pm8,32$ iken atropin uygulaması sonrası bu değerler ortalama \pm SD: $50,34\pm12,37$ 'ye düşmüştür. Bazal grupta %25-75 persantil değerleri %67,15-80,24 iken atropin sonrası %25-75 persantil değerleri %41,34-62,11'e düşmüş olup bu azalma istatistiksel olarak anlamlı olduğu saptanmıştır ($p=<0,001$).

Sonuç: Radyolojide yıllarda gastrointestinal sistem görüntülenmesinde kontrast ajan olarak kullanılan oral baryum solüsyonu, Tc-99m MAA ile karıştırılarak, radyoaktif solüsyonun midden birden boşalmasını engelleyen karışım elde edilmiş olup kalorisı, içeriği ve miktarı standart bu karışımın, mide boşalma çalışmalarında kullanılabilirme ve gastroparezi koşullarında da faydalı bilgiler sağlayabileceğini potansiyeli olduğu anlaşılmıştır.

Anahtar Kelimeler: Mide boşalma zamanı sintigrafisi, baryum, teknetyum-99m makro agrege albümü

[PS-003]

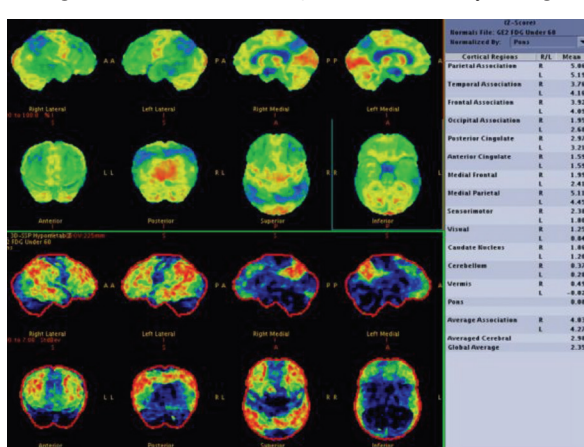
Erken Başlangıçlı Demans Tanısında Vizuel Analiz ve Yaş ile Korele Z Skoru ile FDG PET/BT Görüntülemenin Önemi

Pelin Özcan Kara, Zehra Pınar Koç

Mersin Üniversitesi Tip Fakültesi, Nükleer Tip Anabilim Dalı, Mersin

Amaç: Hastalığa modifiye tedavi araştırmaları açısından özellikle erken demans taramaları oldukça önemlidir. Bu çalışmada beyin FDG PET/BT görüntülemenin vizuel ve yaş korele Z skoru ile erken başlangıçlı demans tanısında önemini ve son tanıya katkısını bulmayı amaçladık.

Yöntem: Hafiza, dil ve çeşitli entelektüel alanlarda progresif olarak işlev bozukluğu saptanan toplam 29 (17 kadın-ortalama yaş: 57; ranj: 46-68 ve 12 erkek-ortalama yaş: 61,5; ranj: 47-77) hasta çalışmaya dahil edildi. Klinik değerlendirmelere ve nörofizyometrik test sonuçlarına göre 22



Şekil 1.

(%76) olasılıkla Alzheimer hastalığı (AH), 7 (%24) olasılıkla frontotemporal demans (FTD) olarak bildirildi. Beyin FDG PET/BT görüntüleri vizuel olarak ve yaş ile korele z skorları (Cortex ID software, GE Healthcare) ile değerlendirildi.

Bulgular: Beyin PET/BT bulguları 24 hastada (%83) pozitif olarak rapor edildi. Klinik değerlendirme sonuçları ve PET bulguları 21 hastada tutarlı, 8 hastada tutarsız bulundu. Konsensus tanısı referans olarak alındığında AH'de FDG PET/BT duyarlılık, özgürlük, doğruluk, pozitif ve negatif öngörü değerleri sırasıyla %86, %100, %93, %100 ve %86 bulundu. FTD'de ise aynı değerler sırasıyla %71, %100, %85,5, %100 ve %71,5 olarak saptandı.

Sonuç: Beyin FDG PET/BT görüntülerinin vizuel değerlendirmesine yaş ile korele z skor yazılım sonuçları da eklenerek beyin glukoz metabolizmasının bölgelik değerlendirmesinin yapılması tanışal etkinliği artırmaktadır.

Anahtar Kelimeler: Beyin FDG PET/BT, demans

[PS-004]

FDG PET-BT'de İnsidental Olarak Saptanan Kolorektal Hipermetabolik Lezyonların BT Özellikleri ve Klinik Önemi

Akin Yıldız¹, Hilmi Dikici², Cemal Ertuğrul², Barış Özcan³, Mustafa Özdoğan⁵, Saim Yılmaz⁵, Zeliha Şahin¹

¹Memorial-Medstar Hastanesi Kanser Merkezi, Nükleer Tip Kliniği, Antalya

²Memorial-Medstar Hastanesi Kanser Merkezi, Gastroenteroloji Kliniği, Antalya

³Memorial-Medstar Hastanesi Kanser Merkezi, Genel Cerrahi Kliniği, Antalya

⁴Memorial-Medstar Hastanesi Kanser Merkezi, Tıbbi Onkoloji Kliniği, Antalya

⁵Memorial-Medstar Hastanesi Kanser Merkezi, Radyoloji Kliniği, Antalya

Amaç: Bu çalışmada PET/BT tetkikinde rapor edilen hipermetabolik kolorektal lezyonlar kolonoskopik ve histopatolojik verilerle karşılaştırılmıştır. Bulguların klinik katkısı, metabolik aktiviteye ek olarak BT özelliklerinin yorumlamaya katkısı incelenmiştir.

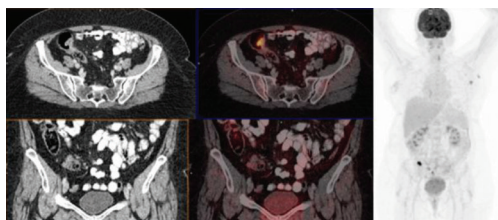
Yöntem: Şubat 2012-Aralık 2016 tarihleri arasında 7684 hastaya retrospektif olarak yapılan FDG PET/BT tetkiki değerlendirilmiştir. PET/BT IV ve oral kontrastlı diagnostik dozlarda uygulanmıştır. Toplam 532 hastada (%6,9) fokal hipermetabolizma rapor edildiği saptanmıştır. Hasta genel durumu ve primer hastalığının yaygınlığı göz önüne alınarak klinik katkı sağlanabilecek 532 hastanın yalnızca 77'sinde (%14,4) kolonoskopik inceleme ve biyopsi uygulanabilmiştir.

Bulgular: Kolonoskopi ve histopatoloji verileri ile karşılaştırıldığında 11/77 (%14,2) olguda ikinci primer kolon kanseri saptandı, bu olguların yalnızca 2/11'inde (%18,1) gastrointestinal yakınma mevcuttu. Kanser tanısı almış olguların 6/11'inde PET/BT'nin BT komponentinde morfolojik veriler malignitesi ile uyumluydu, 6 olguda perikolik lenf nodları, 4 olguda mezokolik tümör infiltrasyonları saptandı. Diğer olguların dağılımı; 13/77 (%16,8) lezyon bulunamadı, 9/77 (%11,6) yalnızca benign enflamatuvar lezyonlar mevcuttu. On iki olguda kolonoskopi önerilmemiş, yalnızca tutulum belirtimiş olup, morfolojik bulgu izlenmemiştir, bunlardan 1 olguda metastaz, 4 olguda ise enflamatuvar lezyonlar saptanmıştır. Metabolik aktivite ve polipler (SUV_{max} : 16+9,9) ve kanser (SUV_{max} : 25,5+13,5) arasında istatistiksel olarak anlamlı farklı bulunmadı ($p=0,23$). PET/BT'de saptanan lezyonun malign veya premalign olma riski 55/77 (%71,4), patolojik bulgu oranı ise 64/77 (%83,1) olarak bulunmuştur.

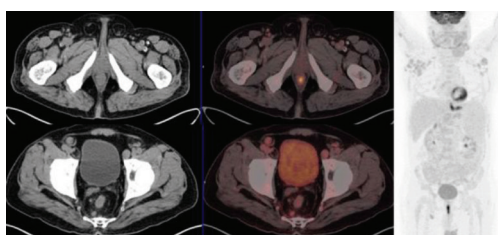
Sonuç: Çalışmamızda PET/BT pozitif bulgu nispeten yüksek olmakla birlikte (%6,9) çoğu hastada klinik yaklaşma katkısı göz önüne alınarak kolonoskopi uygulanabilmiştir. İnsidental kolorektal hipermetabolizma özellikle tomografi verileri ile birlikte yorumlandığında önemli klinik katkı sağlamaktadır. Tomografik özellikler patolojik aktivitenin kanser olabileceğini öngörebilmekte, ikinci kanser olguları çoğunlukla

asemptomatik aşamada saptanabilmektedir. Özellikle tomografik bulgu varlığında fokal hipermetabolik lezon saptanan olgularda kolonoskopik inceleme yapılması önemli klinik katkı sağlamaktadır.

Anahtar Kelimeler: PET/BT, kolorektal polip



Şekil 1.



Şekil 2.

[PS-005]

Nükleofilik Sübstansiyon Reaksiyonu ile GMP Kalitede F-18-L-DOPA Üretilmesi

Ar-ge Departmanı (Gebze Tesis), Üretim Departmanı (Gebze Tesis)

¹Eczacıbaşı Monrol Nükleer Ürünler San. ve Tic. A.Ş. Kocaeli

F-18-L-DOPA nörolojide özellikle Parkinson hastalığında, fonksiyon kaybına uğramış dopaminerjik nöronları gösteren hastalığın teşhisine olanak sağlayan bir radyofarmasötiktir. Onkoloji alanında ise, çocuklarda hiperinsülinizm durumunda insülinomanın lokalizasyonunda, bazı nöroendokrin tümörlerin görüntülenmesinde, modüller tiroïd kanserinin görüntülenmesinde kullanılmaktadır. Bu çalışmada, F-18-L-DOPA'nın, nükleofilik sübstansiyon yoluyla GMP kalitesinde sentezlenmesi amaçlandı. Bu sentez için başlangıç maddesi olarak "(S)-3-(5-Formil-4-metoksitemoksi-2-nitro-fenil)-2-(tritil-amino)-propiyonik asit tert-butil ester" prekürsör kullanıldı. Bu prekürsör yüksek sıcaklıkta tersiyerbutilamonium hidrojen bikarbonat faz transfer katalisti yardımıyla ($F-18^-$) ile reaksiyona sokularak radyoaktif ara ürün elde edildi. Bu ara ürün daha sonra metakloroperbenzoik asit ile oksitlenerek geçiş bileşige yükseltildi. Oluşan geçiş bileşigindeki bütün koruma grupları asidik ortamda hidroliz edilerek hedef bileşik F-18-L-DOPA elde edildi. Elde edilen ürünü radyokimyasal analizi HPLC, enantiyomeric safızlıklar TLC ve kalıntı solvent analizi ise GC metodu ile gerçekleştirildi. Elde edilen sonuçlar farmakope limitleri içinde tespit edildi. Elde edilen ürünle MikroPET cihazında hayvan görüntüleri alındı.

Anahtar Kelimeler: F-18-L-DOPA, nörolojik hastalıklar, insülinoma, nöroendokrin tümör, tiroïd kanseri, nükleofilik sübstansiyon, GMP, MikroPET

[PS-006]

Taşlı Yüzük Hücreli Mide Kanserinde FDG PET/CT'de Metabolik ve Morfolojik Değerlendirmenin Evrelemeye Katkısı

Akin Yıldız¹, Barış Özcan², Mustafa Özdoğan³, Hilmi Dikici⁴, Cemal Ertuğrul⁴, Metin Çevener⁵, Saim Yılmaz⁵, Zeliha Şahin¹, Ayşegül Kargı³

¹Memorial-Medstar Hastanesi Kanser Merkezi, Nükleer Tip Kliniği, Antalya

²Memorial-Medstar Hastanesi Kanser Merkezi, Genel Cerrahi Kliniği, Antalya

³Memorial-Medstar Hastanesi Kanser Merkezi, Tibbi Onkoloji Kliniği, Antalya

⁴Memorial-Medstar Hastanesi Kanser Merkezi, Gastroenteroloji Kliniği, Antalya

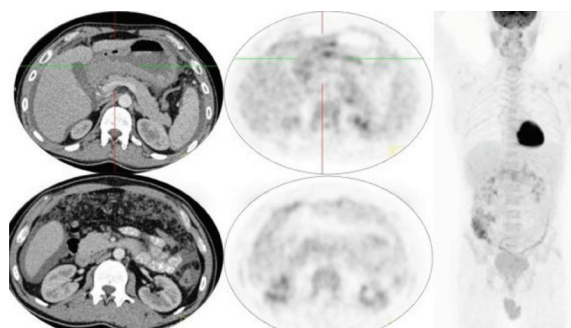
⁵Memorial-Medstar Hastanesi Kanser Merkezi, Radyoloji Kliniği, Antalya

Amaç: Mide kanserinin taşlı yüzük hücreli alt tipinde genellikle GLUT-1 ekspresyonu düşük olması nedeniyle hipometabolizma izlenir. Bu nedenle FDG PET/CT'nin lokal yayılım ve metastaz saptamadaki başarısı diğer mide kanseri alt tiplerine göre oldukça düşüktür. Çalışmada PET/CT'nin kontrastlı ve MDCT özelliklerinden yararlanarak multiplanar diagnostik BT kombinasyonunda değerlendirilmesinin tanışsal katkısı araştırılmıştır.

Yöntem: Çalışma retrospektif olarak Ocak 2012-Aralık 2016 arasında preoperatif evreleme amaçlı tetkik edilen ve sonrasında obstrüksiyon amaçlı palyatif cerrahi uygulanmış 18 hasta ve küratif total gastrektomi ve lenf nodu diseksiyonu uygulanmış 19 hasta olmak üzere toplam 37 taşlı yüzük hücreli mide kanseri alınmıştır. Tüm olgularda görüntüleme verileri postoperatif patoloji verileri ile karşılaştırılmıştır. FDG PET/CT'nin BT komponenti IV kontrastlı, standart doz ve teknikle uygulanmıştır. Metabolik aktiviteye ek olarak BT görüntülerinin değerlendirmeye katkısı araştırılmıştır.

Bulgular: Olguların 19'unda metastaz saptanmadı, 18'inde metastaz saptandı. Metastazlar 15/18 olguda peritoneal, 8/18 olguda lenf nodu, 4/18 olguda over, 3/18 olguda kemik, 3/18 olguda karaciğer yerleşimliydi. Periton metastazı olguların %83,3'ünde diffüz infiltrasyon biçiminde izlenmiştir. Olguların 5/18'inde (%38,8) metastazlar yalnızca peritoneal ve morfolojik olarak PET/CT'nin kontrastlı MDCT kesitlerinde saptanabildi. Periton lezyonları 11 olguda (%61,1) fokal tutulum diğer olgularda diffüz infiltratif yayılım biçimindeydi. Primer kitle SUV_{max} değerleri metastatik olgularla non-metastatik olgular arasında istatistiksel olarak farksızdı ($p=0,085$), ancak non-metastatik yüksek aktivite gözlenen bir olgu (30,1) analiz dışı bırakılırsa metastatik olgularla (10,86±6,9), non-metastatik olgular (5,7±2,6) arasında belirgin anlamlı fark bulundu ($p=0,006$). Olguların 23/38'inde mide tutulumu diffüz infiltratif görünümdede. SUV_{max} ile metastaz varlığı arasında zayıf ($r=0,45$) ancak istatistiksel anlamlı korelasyon saptandı ($p=0,006$).

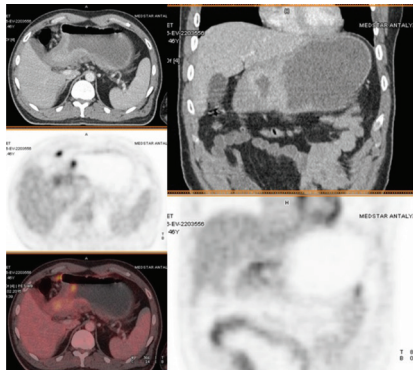
Sonuç: Mide taşlı yüzük hücreli kanser sıklıkla peritoneal metastaz yapabilmekte ve periton yayılımı PET ve BT kesitlerinin kombine



Şekil 1.

değerlendirilmesi ile başarılı bir şekilde saptanabilmektedir. SUV_{max} metastaz ile pozitif korelasyon göstermektedir, прогноз ilişkili olabilir.

Anahtar Kelimeler: Taşlı yüzük hücreli, mide kanseri, FDG PET/BT



Şekil 2.

[PS-007]

Üroepitelial Tümörlerde FDG PET/BT'de Diüretik Sonrası Geç Görüntülemenin Görsel ve Sayısal Değerlendirme Üzerine Etkisi

Zehra Pınar Koç¹, Pelin Özcan Kara¹, Emel Sezer²

¹Mersin Üniversitesi Tıp Fakültesi, Nükleer Tip Anabilim Dalı, Mersin

²Mersin Üniversitesi Tıp Fakültesi, Onkoloji Bilim Dalı, Mersin

Amaç: F-18 FDG PET/BT birçok kanser türünde çok önemli bir değerlendirme modalitesi iken üroepitelial tümörlerde yüksek fizyolojik idrar aktivitesi nedeniyle tanışal gücü sınırlıdır. Bu çalışmanın amacı üroepitelial tümörlerde diüretik sonrası geç görüntü alarak görüntülemenin PET/BT'nın görsel ve sayısal değerlendirmesine katkısının araştırılmasıdır.

Yöntem: Çalışmamızda üroepitelial tümör tanısı olan iki üreter ve 24 mesane karsinomu; toplam 26 hasta (3 kadın, 23 erkek; ortalama $68 \pm 7,73$ yaş) dahil edilmiştir. Hastalara standart PET/BT çekimine ek olarak intravenöz diüretik sonrası üreter ve mesane lojlarını içine alacak şekilde yaklaşık 2. saatte geç PET/BT görüntüleri elde edilmiş ve erken ve geç görüntüler deneyimli bir nükleer tip uzmanı tarafından değerlendirilmiştir.

Bulgular: Hastaların 12 tanesinde mesane veya üreter lojunda primer tümör/nüks ile uyumlu lezyonlarda (erken $SUV_{max}=15,43 \pm 11,17$ ve geç $SUV_{max}=19 \pm 14,1$; $p=0,004$), lenf nodu metastazı bulunan toplam 13 hasta (erken $SUV_{max}=7,8 \pm 4,9$ ve geç $SUV_{max}=10,7 \pm 6,6$; $p=0,004$) ve uzak metastazı olan ve geç görüntü kesit alanına giren toplam 5 hasta (erken $SUV_{max}=10,98 \pm 6,05$ ve geç $SUV_{max}=15,04 \pm 7,07$; $p=0,008$) değerlendirme yapılmış ve ölçümler arasında istatistiksel olarak anlamlı fark bulunmuştur. Ayrıca hastaların 7/26'sında (%18) yoğun mesane aktivitesi nedeniyle değerlendirilememeyen mesane içi primer lezyonların ancak geç görüntülerde değerlendirildiği ve 2/26'sında (%5) daha önce yoğun üreter/mesane aktivitesi nedeniyle değerlendirilememeyen ek lenf nodu metastazının olduğu görülmüştür.

Sonuç: Üroepitelial tümörlerde hastalarda özellikle mesane lojunda değerlendirme yapılabilmesi için mutlaka diüretik sonrası geç görüntüleme yapılmalıdır. Diüretik sonrası geç görüntüleme hastaların hem primer tümörlerinin hem de lenf nodu ve uzak metastaz SUV_{max} değerlerinin ölçümlerini ve görsel değerlendirmesini anlamlı ölçüde etkilemektedir.

Anahtar Kelimeler: Üroepitelial, karsinom, diüretik, PET/BT, FDG

[PS-008]

İyi Diferansiyeli Nöroendokrin Tümörlü Hastalarda Ga-68 DOTA-TATE PET/BT'nin Karaciğer Metastazlarını Saptamada SUD_{max} Üzerinden Etkinliği

GökSEL ALÇİN¹, CÜNEYİT TÜRKmen², SERBÜLENT ÜNSAL^{3,4}, KEMAL TURHAN³

¹Karadeniz Teknik Üniversitesi Tıp Fakültesi, Nükleer Tip Anabilim Dalı, Trabzon

²İstanbul Üniversitesi İstanbul Tıp Fakültesi, Nükleer Tip Anabilim Dalı, İstanbul

³Karadeniz Teknik Üniversitesi, Sağlık Bilimleri Enstitüsü, Biyoistatistik ve Tip Bilişimci Anabilim Dalı, Trabzon

⁴Ortaðoðu Teknik Üniversitesi, Enformatik Enstitüsü, Ankara

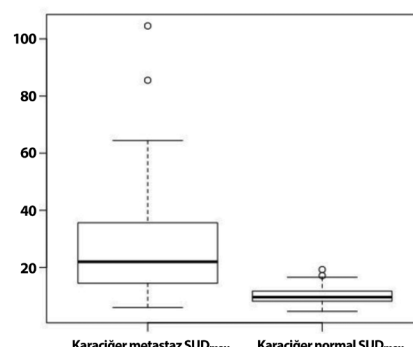
Amaç: Çalışmamızın amacı, Ga-68 DOTA-TATE PET/BT görüntüleme yapılan iyi diferansiyeli nöroendokrin tümörlü (NET) hastaların normal karaciğer bazal SUD_{max} değerleri ile metastatik karaciğer SUD_{max} değerlerini karşılaştırmak ve Ga-68 DOTA-TATE PET/BT'nin karaciğer metastazını göstermede etkinliğini saptamaktır.

Yöntem: İstanbul Tıp Fakültesi arşivinde iyi diferansiyeli NET nedeniyle Ocak 2012-Ağustos 2016 tarihleri arasında Ga-68 DOTA-TATE PET/BT görüntüleme yapılan 238 hasta (112 erkek, 126 kadın; yaş: $53 \pm 5,2$) çalışmaya dahil edildi. Bu tarihler arasında görüntülemesi yapılan 32 kötü diferansiyeli NET hastası ise karaciğerde izlenen metastatik lezyonlarda tutulum olmaması nedeniyle çalışmaya dahil edilmedi. Karaciğerde izlenen metastatik artmış tutulularının tümünden 3 boyutlu ROI çizildi. Ayrıca karaciğerinde metastaz saptanmayan hastaların tümünde karaciğerin her iki lobundan en az 5 farklı alanda 3 boyutlu ROI çizilerek bazal SUD_{max} değerleri hesaplandı.

Bulgular: SUD_{max} değerleri karaciğerde metastatik tutulular saptanan grupta ortalama $27,18 \pm 10,02$ (minimum: 5,98-maksimum: 104,6) iken; karaciğerde metastatik tutulum saptanmayan grupta ise ortalama $9,95 \pm 2,68$ (minimum: 4,62-maksimum: 19,25) olarak hesaplandı. Karaciğerde metastatik tutulum saptanan ve saptanmayan hastalar arasındaki SUD_{max} değerleri farkı metastaz verileri normal dağılmadığı için (Shapiro-Wilk testi p -değeri: $5,735e-07$) Mann-Whitney U testi ile araştırıldı. Gruplar arasındaki fark anlamlı bulundu ($W: 9704,5$, p -değeri $<2,2 \times 10^{-16}$). Bu durum aşağıdaki grafikte de gözlenmektedir.

Sonuç: Çalışmamızda iyi diferansiyeli NET nedeniyle Ga-68 DOTA-TATE PET/BT yapılan olgularda karaciğerde artmış SUD_{max} değerleri gösteren tutulular karaciğer metastazını göstermede istatistiksel olarak anlamlı saptanmıştır. Grade 3 NET'li hastalarda ise kötü differansiyasyona sekonder azalmış somatostatin reseptörü nedeniyle Ga-68 DOTA-TATE PET/BT'de karaciğer metastazlarında tutulum izlenmeyebilir.

Anahtar Kelimeler: Ga-68 DOTA-TATE, karaciğer, metastaz, SUD_{max}



Şekil 1.

[PS-009]**Primer Meme Nöroendokrin Karsinoma Tanılı Olgularda F-18-FDG PET/BT'nin Evrelemeye ve Prognozun Tayinine Katkısı**

Esra Arslan¹, Nurhan Ergül¹, Tevfik Fikret Çermik¹, Fadime Didem Can Trabulus², Esra Canan Kelten Talu³

¹İstanbul Eğitim ve Araştırma Hastanesi, Nükleer Tip Kliniği, İstanbul

²İstanbul Eğitim ve Araştırma Hastanesi, Genel Cerrahi Kliniği, İstanbul

³İstanbul Eğitim ve Araştırma Hastanesi, Patoloji Kliniği, İstanbul

Amaç: Memenin primer nöroendokrin karsinomaları (NEK) nadir görülen (tüm meme karsinomalarının %1<) tümörler olup küçük hücreli alt tipleri haricindekiilerin klinik seyri ise sık görülen meme malign tümörlerine kıyasla daha iyi prognozludur. Bu retrospektif çalışmada biyopsi ile primer meme NEK tanısı almış hastalarda FDG PET/BT bulguları invaziv duktal karsinom (İDK) bulgularıyla karşılaştırılmış olarak değerlendirildi.

Yöntem: 2009 Mart-2017 Şubat tarih aralığında kliniğimizde görüntülemesi yapılmış 9'u bilateral olmak üzere 472 (yaş ortalaması \pm SD: 54,77 \pm 13,06) meme kanseri tanılı olgudan elde edilen 481 lezyonun 12'sinde 2'si bilateral olmak üzere toplam 14 lezyonda memede primer NEK, 377'sinde ise İDK saptandı. İDK ile primer meme NEK'nın evreleme amaçlı yapılan PET/BT görüntülemelerde primer tümörlerden elde edilen semikantitatif bir veri olan SUV_{max} değerleri karşılaştırıldı. Ayrıca lenf nodu metastazı ve uzak organ metastazı varlığı retrospektif olarak gözden geçirildi.

Bulgular: Dört yüz yetmiş iki meme kanseri tanılı olguda toplam 481 lezyon saptandı. Hastaların 12'sinde 2'si bilateral olmak üzere toplam 14 lezyonda (ortalama \pm SD SUV_{max} değerleri: 9,95 \pm 4,6) memenin primer NEK, 377'sinde (ortalama \pm SD SUV_{max} değerleri: 11,78 \pm 8,33) ise İDK saptandı. NEK tanılı 12 hastanın 6'sında (%50) aksiller lenf nodu metastazı saptanmış olup 6'sında (%50) ise aksilla negatif olarak saptandı. Üç (%25) olguda uzak metastaz saptanırken diğer 9 (%75) olguda ise saptanmadı. İDK tanılı toplam 377 olgunun 247'sinde aksiller lenf nodu metastazı saptanmış olup (%65), 130 olguda (%35) ise aksiller lenf nodu metastazı saptanmadı. İDK tanılı 84 olguda (%22) uzak metastaz saptanmış olup, diğer 293 olguda (%78) ise uzak metastaz saptanmadı.

Sonuç: Bu çalışmada nadir görülen memenin primer nöroendokrin tümörü ve en sık görülen invaziv duktal tip karsinomaya ait FDG PET/BT bulguları sunuldu. Nadir görülen subtiplerin SUV_{max} değerinin İDK'ye göre anlamlı düzeyde düşüklüğü bulunması literatürde daha önce bildirilmiştir. Bu çalışmada NEK tanılı hastalarda lenf nodu metastazı oranının İDK'ye göre daha düşük olduğu saptandı. Uzak metastaz varlığı oranında ise iki tümör tipi arasında belirgin bir fark izlenmedi.

Anahtar Kelimeler: Meme nöroendokrin, FDG, PET/BT

[PS-010]**Diferansiyel Tiroid Kanserlerinde Serum Galektin-3'ün Prognostik Önemi**

Zekiye Hasbek¹, Tuba Çandar², Gülbahar Duman³, Seyit Ahmet Ertürk¹, Ali Çakmakçılar¹

¹Cumhuriyet Üniversitesi Tıp Fakültesi, Nükleer Tip Anabilim Dalı, Sivas

²Ufuk Üniversitesi Tıp Fakültesi, Tıbbi Biyokimya Anabilim Dalı, Ankara

³Cumhuriyet Üniversitesi Tıp Fakültesi, Endokrinoloji ve Metabolizma Bilim Dalı, Sivas

Amaç: Birçok araştırma sonuçlarına göre immünohistokimyasal olarak bakılan Galektin-3 (Gal-3), özellikle papiller tiroid kanserlerinde olmak üzere diferansiyel tiroid kanserlerinde pozitiftir. Kanser gelişimindeki rolü tam olarak bilinmemekle birlikte, Gal-3'ün artmış ekspresyonunun tümör hücrelerinin adhezyon ve motilitelerini değiştirerek metastaz potansiyelini artırdıkları bildirilmektedir. Ancak tiroid malignitelerinde duyarlılığı yüksek olmakla birlikte özgüllüğü düşüktür. Bu çalışmada amacımız, DTK nedeniyle total tiroidektomi olmuş, ardından yüksek doz radyoiyot ablasyon tedavisi amacıyla nükleer tip anabilim dalımıza gönderilen hastalarda ölümlen serum Gal-3 (sGal-3) seviyelerinin, hastaların tüm vücut tarama sintigrafileri ile birlikte değerlendirilerek prognoz ile ilişkisinin olup olmadığına incelemeye çalışılmıştır.

Yöntem: sGal-3 seviyeleri kemilüminesan mikropartikül immünonojik ölçüm prensibi kullanılarak çalışıldı. TSH stimüle durumda iken, serum TG seviyesinin dedektive edilemeyecek kadar düşük düzeyde olan (stimüle TG <1 ng/mL veya non-stimüle TG <0,2 ng/mL), normal fizik muayene bulguları ve/veya ablasyon sonrası 8-12. ayda yapılan düşük doz radyoiyot tüm vücut tarama sintigrafisi negatif olan, lenf nodu veya uzak metastaz ile uyumlu radyolojik ve klinik bulgusu olmayan hastalar, ablasyon başarılı ve iyi прогноз olarak kabul edildi.

Bulgular: Çalışmaya yaşları 25-73 olan (ortalama: 47,35 \pm 11 yaş), 42 kadın, 6 erkek hasta olmak üzere 48 hasta dahil edildi. Hastalardan yalnızca 2'sinde sGal-3 seviyesi sınırlı yüksek olarak bulundu. Hastalardan yalnızca 1'inde tüm vücut tarama sintigrafisinde metastaz ile uyumlu uptake izlendi. Immünohistokimyasal olarak Gal-3 bakılan hastalardan 25'inde Gal-3 pozitif iken, 23'ünde negatifti. Immünohistokimyasal olarak bakılan Gal-3'ün pozitif/negatif olması ile sGal-3 seviyeleri arasında istatistiksel olarak anlamlı fark yoktu ($p=0,663$). Ablasyon başarısı ile sGal-3 arasında anlamlı ilişki yoktu ($p>0,05$).

Sonuç: Çalışmamızda ablasyon başarısı ile sGal-3 düzeyleri arasında anlamlı ilişki bulunmadı. Bunun nedeninin, sGal-3'ün vücutta tümör varlığı durumunda yükseldiği ve bizim hasta grubumuzda, ablasyon sırasında anlamlı tümör yükü olmamasından (1 hasta dışında) kaynaklandığı, bu nedenle, sGal-3'ün ablasyon sırasında normal seviyelerde olmasının iyi prognos göstergesi olduğunu düşünmektedir.

Anahtar Kelimeler: Diferansiyel tiroid kanser, Galektin 3, radyoiyot

[PS-011]**Serviks Kanserinde PET/BT'nin Yeri**

Gül Çekin¹, Hakan Yetimalar², İncim Bezircioğlu³, Seyran Yiğit⁴, Neşe Ekinci⁴

¹İzmir Katip Çelebi Üniversitesi Tıp Fakültesi, Atatürk Eğitim ve Araştırma Hastanesi, Nükleer Tip Kliniği, İzmir

²İzmir Özel Medifema Hastanesi, Jinekolojik Onkoloji Kliniği, İzmir

³İzmir Ekonomi Üniversitesi Tıp Fakültesi, Kadın Hastalıkları ve Doğum Anabilim Dalı, İzmir

⁴İzmir Katip Çelebi Üniversitesi Tıp Fakültesi, Atatürk Eğitim ve Araştırma Hastanesi, Tıbbi Patoloji Kliniği, İzmir

Amaç: Serviks kanserinde tümör yaygınlığının değerlendirilmesinde PET/BT'nin etkinliğini araştırmaktır.

Yöntem: Retrospektif çalışmamızda; Temmuz 2014 ile Ocak 2016 tarihleri arasında İzmir Atatürk Eğitim ve Araştırma Hastanesi'nde tanı ve tedavileri yapılan histopatolojik olarak serviks kanseri tanısı konmuş 15 hastaya ait PET/BT görüntülemesi dahil edilmiştir. Hastaların ortalama yaşı 56,8 yıl olup, yaş aralığı 33-77'dir. Tümör histolojisi bir hastada nöroendokrin karsinomken diğerlerinin tamamı skuamöz hücreli karsinom tipindedir. FIGO evreleme sistemine göre 3 hasta evre IB, bir hasta evre IIa, 8 hasta evre IIb,

üç hasta da evre IIIA olarak değerlendirilmiştir. Hastalara ait karakteristik özellikler Tablo 1'de gösterilmiştir. PET/BT'deki bulgular pozitif veya negatif olarak değerlendirilmiştir. PET/BT sonuçları, takibinde yapılan biyopsi veya cerrahi işlem sonrasında konulan histopatolojik tanılarıyla karşılaştırılmıştır.

Bulgular: On beş PET/BT görüntülemesinin 11'inde primer tümöral bölgede pozitif sonuç elde edilmiş olup ortalama $SUV_{max} \pm$ standart deviasyon değeri $13,4 \pm 6,2$ olarak tespit edilmiştir. On beş görüntülemenin 7'sinde (%46,7) batın pelvik lenf nodu pozitif olup ortalama $SUV_{max} \pm$ standart deviasyon değeri $7,2 \pm 4,1$ olarak bulunmuştur. Bir hastada (%6,6) akciğer tutulumu (SUV_{max} : 11,3) ve 1 hastada (%6,6) ise kemik tutulumu (SUV_{max} : 16,8) pozitiftir. PET/BT görüntülemesi sonrasında 12 hastada (%80) histopatolojik olarak malign tanısı konmuştur. On iki hastanın 8'i yeni tanı konmuş serviks kanseri tanılı hastalardır. Dört hastanın birinde primer tümöral alanda rezidü/rekürren doku ve metastatik akciğer lezyonu, 1 hastada kemik metastazı, 2 hastada da sadece primer tümöral alanda rezidü/rekürren doku tespit edilmiştir. PET/BT bulgularının histopatolojik bulgularla birlikte değerlendirilerek elde edilen istatistiksel analizinde; 12 gerçek pozitif, 1 gerçek negatif ve 2 yanlış pozitif sonuç elde edilmiştir. Serviks kanseri tanılı hasta grubunda PET/BT'nin sensitivitesi %100, spesivitesi %33,3, doğruluk oranı %86,6, pozitif prediktif değer %85,7, negatif prediktif değer %100 olarak tespit edilmiştir.

Sonuç: Serviks kanserinin primer değerlendirilmesinde rolü gittikçe artan PET/BT; lenf nodu tutulumu, uzak metastaz varlığı, rezidü/rekürren doku tespitinde ve tedaviye yanıtın değerlendirilmesinde oldukça yararlı bir görüntüleme modalitesidir.

Anahtar Kelimeler: Serviks kanseri, PET/BT

Tablo 1. Hastalara ait genel karakteristikler

Parametre	Değer
Hasta sayısı	15
PET/BT sayısı	15
Yaş ortalaması (yıl)	56,8
Yaş aralığı	33-77
Tümör histolojisi	n
*Squamöz hücreli karsinom	14
*Yüksek dereceli nöroendokrin karsinom	1
FİGO sınıflaması	n (%)
*Evre IB	3 (%20)
*Evre IIA	1 (%6,7)
*Evre IIB	8 (%8)
*Evre IIIA	3 (%20)
Tedavi modalitesi	n
*Tedavisiz, ilk tanı	8
*Kemoterapi + radyoterapi	3
*Sadece radyoterapi	2
*Cerrahi + radyoterapi	2

[PS-012]

Nonpalpabl Meme Lezyonlarının ve Sentinel Lenf Nodunun Tek Enjeksiyon ile Lokalizasyonu: (SNOLL) Deneyimimiz

Berna Okudan Tekin¹, Pelin Arican¹, GÜL Dağlar², Arzu Özsoy³

¹Sağlık Bilimleri Üniversitesi, Ankara Numune Eğitim ve Araştırma Hastanesi, Nükleer Tıp Kliniği, Ankara

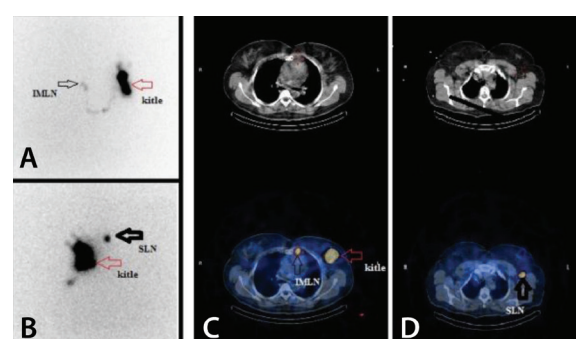
²Sağlık Bilimleri Üniversitesi, Ankara Numune Eğitim ve Araştırma Hastanesi, Genel Cerrahi Kliniği, Ankara

³Sağlık Bilimleri Üniversitesi, Ankara Numune Eğitim ve Araştırma Hastanesi, Radyoloji Kliniği, Ankara

Amaç: Meme kanserinde meme lezyonlarını doğru lokalize etmek ve lenfatik haritalamanın operasyon öncesi bilinmesi operasyon şeklinin ve tedavini planlanmasında önemlidir. Günümüzde, nonpalpabl şüpheli meme lezyonlarının lokalizasyonunda, lezyonun tel ile işaretlenmesi kullanılmaktadır. Ancak bu işlem invazivdir. Sintigrafik olarak, nonpalpabl kitle lokalizasyonu için radioguided occult lesion localization (ROLL) yöntemi ve yanı sıra aksiller lenfatiklerin durumunu noninvaziv olarak belirlemek amacıyla sentinel node occult lesion localization (SNOLL) yöntemi geliştirilmiştir. Bu prospektif çalışmada, operasyon öncesi nonpalpabl şüpheli lezyonların hem lokalizasyonunun hem de sentinel lenf nodunun (SLN) saptanmasında SNOLL tekniğinin hastanın tedavisine katkısını göstermeyi amaçladık.

Yöntem: Fizik muayene ile saptanamayan, ultrasonografi ve mamografide şüpheli olan (BIRADS 4-5) 39 hasta (19-77 yaş) çalışmaya dahil edildi. Operasyondan 4-6 saat önce 0,3 mCi/0,2 mL Tc-99m nanokolloid 38 hastada USG, 1 hastada mamografi eşliğinde intratumöral olarak enjekte edildi. Enjeksiyondan 15 ve 120 dakika sonra anterior ve lateral statik görüntülemenin hemen ardından toraks SPECT/BT görüntüleri elde edildi. İntrooperatif gama prob (IGP) eşliğinde radyoaktiviteyi tutan lezyon eksize edilerek, frozen değerlendirmede malign olan hastalara SLN eksizyonu yapıldı. Histopatolojik inceleme sonucunda cerrahi sınır ile tümör dokusu arasındaki en yakın uzaklığın en az 1 mm olması negatif hastalık olarak kabul edildi.

Bulgular: IGP ile 39 hastanın tümünde lezyon tamamen eksize edildi. Histopatolojik olarak 11 invaziv duktal karsinoma, 1 duktal karsinoma *in situ* ve 28 benign patoloji saptandı. Lezyonların ortalama boyutu 21,5 mm ± 16 (5-38 mm) idi. Hastaların 38'inde en yakın cerrahi sınır negatif, 1'inde tümör ile infiltrat iddi. Planar görüntüler ve SPECT/BT ile 39 hastanın 31'inde (%79,4) SLN ve 1 hastada internal mammalian lenf nodu saptandı. Histopatolojisi malign değerlendirilen tüm hastalarda SLN görüntülenerek IGP ile eksize edildi. Metastaz saptanan 2 (%1,6) hastaya aksiller diseksiyon yapıldı.



Şekil 1.

Sonuç: Erken evre meme kanseri olan hastalarda, SNOLL teknigi nonpalpabl meme lezyonlarının ve SLN'nin doğru lokalizasyonu ve eksizyonunda kullanabilecek etkili bir yöntemdir. Biz bu çalışmada, tek bir radyofarmasötik enjeksiyon ile hem nonpalpabl kitle hem de SLN lokalizasyonu yapılabildiğini deneyimledik.

Anahtar Kelimeler: SNOLL, ROLL, SPECT/BT, sentinel lenf nodu

[PS-013]

Pediatrik Osteosarkomda Evreleme PET/BT İncelemesinin Önemi ve Hasta Yönetimine Katkısı

Aykut Kürsat Fidan, İpek Kerimel, Bedriye Büşra Demirel, Burcu Esen Akkaş, Gülin Uçmak

Sağlık Bilimleri Üniversitesi, Dr. Abdurrahman Yurtaslan Ankara Onkoloji Eğitim ve Araştırma Hastanesi, Nükleer Tıp Kliniği, Ankara

Amaç: Osteosarkom çocuklar ve genç yaş grubunda en sık gözlenen primer kemik malignitesidir. Osteosarkomlarda tanı anında ve takipte metastatik yayılım sıklıkla gözlenmektedir. Metastazların çoğunluğu akciğerde, nadiren de kemik ve lenf nodlarında gözlenmektedir. Lokalize hastalık varlığında beş yıllık sağkalım oranları %70 civarında iken, metastatik hastalık varlığında ise bu oran %20'lere kadar düşmektedir. Osteosarkom evreleme/yeniden evrelemesinde F-18 FDG PET/BT incelemesinin kullanımı son yıllarda giderek artmaktadır. F-18 FDG PET/BT incelemesinin primer malign kemik tümörlerinde akciğer metastazları dışında uzak metastaz saptanmasında konvansiyonel radyolojik görüntülemede oranla daha yüksek sensitivite ve spesifiteye sahip bir görüntüleme metodu olduğu yapılan çalışmalarla gösterilmiştir. Çalışmamızda, osteosarkom evrelemesinde PET/BT kullanımının hastaların klinik evresine ve hasta yönetimine katkısının araştırılması amaçlanmıştır.

Yöntem: Çalışmamıza osteosarkom tanısı almış ve evreleme PET/BT incelemesi yapılmış 37 pediatrik hasta (6-19 yaş aralığında) dahil edilmiş olup, ortalama 35 ay (4-89 ay aralığında) boyunca takip edilmişlerdir. Evreleme PET/BT incelemesinde metastaz ile uyumlu değerlendirilen bulgular ya histopatolojik olarak doğrulanmış ya da metastatik olduklarına en az 6 aylık takipleri neticesinde klinik, radyolojik ve nükleer tip görüntüleme bulguları sonucunda karar verilmiştir.

Bulgular: Çalışmamıza dahil edilen hastalara yapılan diagnostik toraks BT incelemelerinde tanımlanan nodül ve bulguların tamamı PET/BT incelemesinin BT komponenti sayesinde gözlemlenmiş ve raporlanmıştır. On iki hasta lenfatik metastaz ile uyumlu bulgular tespit edilmiş olup, bu hastaların 5'inde (%41) uzak metastaz olarak sadece lenfatik metastaz saptanması nedeni ile klinik evrelerinde değişiklik ve yükselme gözlenmiştir (evre 4). Ayrıca tüm vücut kemik sintigrafisinde metastatik bulgu gözlenmeyen 2 hasta patolojik FDG tutulumu izlenen litik metastazlar saptanmıştır. Ek olarak 6 hasta intramedüller skip metastaz gözlenmiştir.

Sonuç: Çalışmamızda elde ettigimiz sonuçlara göre; pediatrik osteosarkomda evreleme PET/BT incelemesinde lenfatik, litik kemik ve intramedüller skip metastazlar yüksek tanısal doğrulukla saptanmış olup, klinik evrenin doğru olarak belirlenmesine ve hasta yönetimine katkı sağlamıştır.

Anahtar Kelimeler: Pediatrik osteosarkom, evreleme PET/BT, hasta yönetimi

[PS-014]

SPECT/BT ile İşaretli Lökosit Sintigrafisi ve 3 Fazlı Tüm Vücut Kemik Sintigrafisinin Planar Görüntülemeye Katkısı ve Klinik Veriler ile Karşılaştırılması

Burçak Yılmaz Güneş, Kenan Budak

İstanbul Şişli Hamidiye Etfal Eğitim ve Araştırma Hastanesi, Nükleer Tıp Kliniği, İstanbul

Amaç: Gama kameralar ile anatomi detaylandırma yapılamaması ve uzaysal rezolüsyonun düşük olması yöntemin en önemli dezavantajlarından birisi idi. Geliştirilen hibrid tek foton emisyon bilgisayarlı tomografi/bilgisayarlı tomografi (SPECT/BT) ile uzun yıllardır kullanılan işaretli lökosit sintigrafisinde anatomi ve fonksiyonel korelasyon elde edilmiş oldu. Çalışmamızda 3 fazlı tüm vücut kemik sintigrafisi ile işaretli lökosit sintigrafisinin SPECT/BT verilerinin klinik veriler ile karşılaştırılması hedefledik.

Yöntem: Kliniğimize Haziran 2016-Ocak 2017 tarihleri arasında başvuran yaş ortalaması 62,5 (44-77) olan 20 hasta (13 kadın, 7 erkek) çalışmamıza dahil edildi. Hastaların tamamında SPECT/BT cihazı (Mediso AnyScan SC) ile hem Tc-99m-hegзаметилпропиленаминоксим ile işaretli lökosit sintigrafisi hem de Tc-99m- metilen difosfonat ile 3 fazlı kemik sintigrafisi çekimleri yapılmıştır. On diz protezi ve 6 kalça protezi enfeksiyon/gevşeme ayrıımı ile 1 adet femurda ve 3 adet de tibia'da osteomiyelit şüphesi mevcuttu. Gerekli görülen bölgelere SPECT/BT görüntüleme uygulandı. Sintigrafi sonuçları laboratuvar değerleri ve klinik bulgular ile karşılaştırıldı ve SPECT/BT görüntülemenin planar görüntülemeye göre yorumlamaya katkısı değerlendirildi.

Bulgular: Hastaların ortalama C-reaktif protein değeri 15,8 mg/L (1,5-54,9), ortalama sedimantasyon değeri 28,6 mm/h (8-140), ortalama lökosit değeri 7,4 10³/µL (3,5-16,3) olarak saptandı. Üç fazlı kemik sintigrafisi pozitif olarak yorumlanan 10 hastanın 9'unda işaretli lökosit sintigrafisi de pozitifti. İşaretli lökosit sintigrafisi ile klinik uyumsuzluk saptanan 3 hastanın 2 tanesinde koksofemoral eklem protezi, 1 tanesinde ise diz protezi bulunmakta idi. Dokuz protez hastası opere edilirken 2 hasta sadece medikal tedavi aldı, 9 hasta da takibe alındı. SPECT/BT ile görüntüleme sayesinde yumuşak doku/kemik lezyonları arasındaki ayrımlı yapılabildi ve tüm hastalarda yorumlamaya ek katkı sağladı.

Sonuç: Hasta sayısının kısıtlı olması ve tüm hastaların operasyon esnasındaki kültür sonuçlarına net ulaşılamamış olması çalışmamızın en önemli dezavantajıdır. Ancak hibrid SPECT/BT görüntüleme hem işaretli lökosit sintigrafisinde hem de tüm vücut kemik sintigrafisinde planar görüntülemeden daha değerli veriler sunduğu, tanı için doğruluğu artırdığı, hekimlerin lezyonları tanımlamasında büyük kolaylık sağladığı için planar görüntüleme ile şüphede kalınan olgularda mümkünse kullanılması gereken bir modalitedir.

Anahtar Kelimeler: SPECT/BT, işaretli lökosit sintigrafisi, 3 fazlı kemik sintigrafisi

[PS-015]

Nazofarenks Kanserinde Tedavi Yanıtını Değerlendirmede FDG PET/BT ve MRG

Funda Aydin, Taylan Bükkümmez, Kamil Karaali, Hasan Şenol Coşkun, Mine Genç

Akdeniz Üniversitesi Tıp Fakültesi, Nükleer Tıp Anabilim Dalı, Antalya

Amaç: Bu çalışmada nazofarenks kanserinde (NK) florodeoksiglikoz pozitron emisyon tomografisi/bilgisayarlı tomografi (FDG PET/BT) ile difüzyon ağırlıklı manyetik rezonans görüntülemenin (DAMRG) tedavi yanıtını değerlendirmedeki yerleri ve sağkalım açısından önemini araştırılmıştır.

Yöntem: Çalışmamızda kemoradyoterapi (KRT) yapılan 43 olgu (11 kadın, 32 erkek; 12-76 yaş) retrospektif olarak incelenmiştir (Tablo). Hastaların DAMRG ile görünür difüzyon katsayısı (ADCmean) ve PET/BT ile maksimum standart uptake value (SUV_{max}), metabolik tümör volümü (MTV), toplam lezyon glikolizi (TLG) değerleri hesaplanmıştır.

Bulgular: KRT sonrası primer tümör (PT) ve patolojik lenf nodlarında ADCmean'de artış, SUV_{max} , MTV, TLG'de azalma gözlandı. Sekiz hastanın PT'de KRT öncesi SUV_{max} değeri 11'in altında iken, 24 olgunun 11 üstünde saptandı. Hastalıksız sağkalım (HSK) açısından bu 2 grup karşılaştırıldığında, 80 ay takip süresi sonunda, HSK oranları %100'e %58 idi. KRT öncesi SUV_{max} değeri 11'in altında olması, HSK süresinin daha uzun olmasında istatistiksel olarak anlamlı bulundu ($p=0,05$). Bir hastanın PT'nin KRT öncesi MTV'si 10 mL altında iken, 9 hastanın 10 mL üstünde idi. HSK açısından bu 2 grup karşılaştırıldığında 73 ay takip süresi sonunda HSK oranları %91'e %55 idi ($p=0,05$). Bir hastanın lenf nodunun eş zamanlı KRT sonrası SUV_{max} yanıt oranı %80'in altında iken, 7 olgunun %80'in üstünde idi. HSK açısından bu 2 grup karşılaştırıldığında 58 ay takip süresi sonunda HSK oranları %36'ya %100 idi. SUV_{max} yanıt oranı %80'in üstünde olması istatistiksel olarak anlamlı bulundu ($p=0,026$). DAMRG incelemesi olan toplam 14 hasta değerlendirildi. Altı hastanın PT'nin tanı ADCmean değeri 0,85'in altında iken, 8 olgunun tanı ADCmean değeri 0,85 üstünde idi. HSK açısından bu 2 grup karşılaştırıldığında 42 ay takip süresi sonunda HSK oranları sırasıyla %16'ya %87 idi. Tanı ADCmean değeri 0,85 üstünde olması HSK'yi olumlu etkileyen bir faktör olarak istatistiksel olarak anlamlı bulundu ($p=0,029$).

Sonuç: DAMRG ve PET/BT tümörle ait farklı biyolojik özellikleri yansıtmaktadır. NK'de ADCmean ve SUV değerleri tedaviye yanıtı ve sağkalımı etkileyen önemli parametrelerdir. ADCmean ve SUV parametrelerinin beraber değerlendirilmesinin прогноз hakkında daha fazla bilgi sağlayabileceğini düşünmektedir.

Anahtar Kelimeler: Nazofarenks kanseri, PET/BT, MRG

Tablo 1. Olguların MRG ve PET/BT dağılımı

DAMRG	Raporlarına Ulaşılan Olgular		Görüntülerine Ulaşılan Olgular		
	FDG PET/BT	DAMRG & FDG PET/BT	DAMRG	FDG PET/BT	DAMRG & FDG PET/BT
8	19	16	3	15	9
Toplam: 43 Olgu		Toplam: 27 Olgu			

DAMRG: Difüzyon ağırlıklı manyetik rezonans görüntüleme, FDG PET/BT: Flordeoksiglukoz pozitron emisyon tomografisi/bilgisayarlı tomografi

[PS-016]

Onkolojik F-18 FDG PET/BT Çalışması Öncesi Yapılan Radyolojik Görüntüleme Testlerinin Dağılımı

Doğangün Yüksel

Pamukkale Üniversitesi Tıp Fakültesi, Nükleer Tıp Anabilim Dalı, Denizli

Amaç: Onkolojik F-18 FDG PET/BT yapılan hastalarda PET çalışması öncesi tanısal radyolojik çalışmaların kullanımını değerlendirmektedir.

Yöntem: Çalışmaya 15 gün (15 Aralık-30 Aralık 2016) arasında onkolojik F-18 FDG PET/BT çekimine alınan 89 hastanın dosyaları retrospektif olarak tarandı. Hastaların yaşı, cinsiyeti, tümörün ICD kodu, PET endikasyonu ve PET incelemesi son 2 ay içinde yapılan bilgisayarlı tomografi (BT) ve manyetik rezonans (MR) görüntülemeleri kayıt edildi. Tektik sayıları ve yüzdeleri hesaplandı.

Bulgular: Çalışmaya dahil edilen 89 hastanın (yaş: 59 ± 10 yıl) 43 erkek, 46 kadın hastalara 177 PET/BT çekimi yapılmıştır. Seksen dokuz hastanın 22'si

meme kanseri (1 meme kanseri + pankreas kanseri), 14'ü primeri bilinmeyen tümör, 12'si bronz ve akciğer kanseri, 9'u lenfoma, 7'si kolon kanseri, 4'ü akciğerin tanısal görüntülemesinde anormal bulgular tanısı (ikisi bronz ve akciğer kanseri), 4'ü böbrek kanseri, 3'ü pankreas kanseri, 2'si nazofarenks kanseri, 2'si over kanseri, 2'si bağ dokusu ve yumuşak doku kanseri, 2'si dil kökü kanseri, biri karaciğer ve intrahepatik safra yolları kanseri, bir endometriyum kanseri, biri mezotelyoma, biri mide kanseri, biri multipl miyelom, biri prostat kanseri, biri larinks kanseri, biri rektum kanseri tanısı ile gelmiştir. Yüz yetmiş yedi PET/BT çalışmasının 87'si tedaviye yanıt, 47'si evreleme, 22'si yeniden evreleme, 11'i metabolik karakterizasyon, 10'u primer odak arama amacı ile yapılmıştır. Yüz yetmiş yedi PET/BT çekiminin 74'ünde (%42) önceden BT ve/veya MR yapılmamıştır (Tablo 1). Yüz üç (%58) PET/BT çekimi öncesi BT ve/veya MR yapılmıştır (Tablo 1). Bu 103 PET/BT çekimi öncesi 176 BT ve 113 MR çekimi yapılmıştır (Toplam 289).

Sonuç: Onkolojik F-18 FDG PET/BT yapılan hastaların yarıdan fazlasına PET çekimi öncesi BT ve/veya MR yapılmıştır. PET çekimi öncesi BT ve/veya MR yapılmayan hastaların büyük çoğunluğunu tedaviye yanıt endikasyonu oluşturmaktadır.

Anahtar Kelimeler: PET/BT, BT, MR, FDG, kanser

Tablo 1. 177 PET/BT çekimi öncesi endikasyona göre BT ve/veya MR yapılmama dağılımı

PET/BT öncesi	BT-MR yok	%	BT-MR var	%	Toplam	%
Evreleme	16	21,6	31	30,1	47	26,6
Tedaviye yanıt	47	63,5	40	38,8	87	49,2
Primer odak arama	3	4,1	7	6,8	10	5,6
Metabolik karakterizasyon	3	4,1	8	7,8	11	6,2
Yeniden evreleme	5	6,8	17	16,5	22	12,4
Toplam	74	100	103	100	177	100

Notlar: Bu çalışma Türkiye Radyoloji Derneği'nin PET/BT kullanımında raporlama katılmak ve yönteme müdahale etme talebi üzerine "tanısal PET/BT öncesi BT veya MR çekimi olduğu için PET/BT'nin BT komponentinin ek raporlanması gerekmeydiğini göstermek için" hazırlanmıştır.

[PS-017]

Primer ve Metastatik Karaciğer Tümörlerinde Y-90 Mikroküre ile Tedavi Analizi

Umut Elboğa¹, Selim Kervancioğlu², Y. Zeki Çelen¹

¹Gaziantep Üniversitesi Tıp Fakültesi, Nükleer Tıp Anabilim Dalı, Gaziantep

²Gaziantep Üniversitesi Tıp Fakültesi, Radyoloji Anabilim Dalı, Gaziantep

Amaç: Bu çalışmada inoperabl karaciğer metastazlı ve hepatoselüler karsinomlu hastaların Y-90 mikroküre tedavisinin etkinliğini saptamayı ve yaptığımız tedavilerin sonuç analizini bildirmeyi amaçladık.

Yöntem: Çalışmamızda Mayıs 2014 ve Aralık 2015 tarihleri arasında Y-90 reçine mikroküre (SIR-Spheres®) uygulanan 27 hasta dahil edildi (10 kadın, 17 erkek, ortalama yaşı 62,7, toplam 30 tedavi). On dokuz hastada primer karaciğer malignitesi (16 HCC, 2 İHK), 8 hastada metastatik hastalık (kolorektal kanser) mevcuttu. Bu olgular haricinde 8 hastada çeşitli nedenlerden dolayı (uçundede vasküler problem olması, ucundede akciğer şantının fazla olması ve diğerlerinde genel durumda kötüleşme nedeniyle) tedavi verilmedi.

Bulgular: Yedi işlemde her iki loba ve 23 işlemde tek loba tedavi uyguladık. Tc-99m-MAA görüntülerinden hesaplanan akciğer şant oranı ortalama %0,2, idı (%1-8,1). Hastalara ortalama 1,6 GBq (43,2 mCi) doz verdik. Tedavi öncesi ve sonrası çoğu hastada (n=21) F-18 FDG PET/BT ile takip yaptı. Tedavi yanıtına F-18 FDG PET/BT ile bakıldı; %42,8'i tedaviye parsiyel yanıt, %33,3'ü progresyon, %7'si stabil hastalık ve %7'si tedaviye tam yanıt ile uyumlu olarak değerlendirildi. Toplam 12 aylık takip süresince 5 hasta eks oldu (%16,6). Tedavi sonrası bir hastada hiperbilirubinemi ve 4 hastada endoskop ile doğrulanın gastrik ülser (%13,2) gelişti. Diğerlerinde ciddi olmayan yan etkiler; sıklik sırasına göre epigastrik ağrı (n=7), karin ağrısı (n=5) ve bulantı (n=3) görüldü.

Sonuç: Y-90 mikroküre tedavisinin primer ve metastatik karaciğer tümörlerinin tedavisi güvenilir ve etkin şekilde kullanılabilir olduğuna dair bulgularımızı paylaşıyoruz.

Anahtar Kelimeler: Karaciğer tümörleri, tedavi, Y-90 mikroküre

[PS-018]

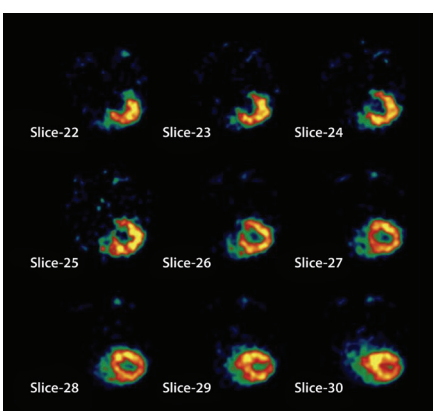
Hayvan PET/BT Görüntüleme Deneyimimiz

Ciğdem Soydal, Nuriye Özlem Küçük, Elgin Özkan, Metin Kemal Kır

Ankara Üniversitesi Tıp Fakültesi, Nükleer Tıp Anabilim Dalı, Ankara

Amaç: Ülkemizin ilk hayvan PET/BT ünitesi olan Ankara Üniversitesi mikro PET ünitesinde ilk klinik çalışmalara ait deneyimizi paylaşmak istedik.

Yöntem: Kısa Yarı Ömürlü Radyoaktif Maddelerin Üretilebilmesi için Parçacık Hızlandırıcı Sistemin Kurulması (DPT 2012K12043) projesi kapsamında RÜAG tesisi kurulumu yapılarak, TAEK lisansı alınan, Türkiye'de ilk merkez olan klinik öncesi görüntüleme ünitemizde; HAYDEK tarafından etik kurul onayı verilen ilk hayvan çalışmaları başlamış bulunmaktadır. Bu kapsamda ilk çalışma olan N-13 amonyak radyofarmasötığının üretilmesi ve hastalara uygulanacak kantitatif çalışma protokolünün belirlenmesi isimli çalışma kapsamında toplam 6 adet rat görüntülenmiştir. Görüntüleme öncesi Ankara Üniversitesi Deney Hayvani laboratuvarından temin edilen ortalama 250 gr ağırlığında Wistar albinom cinsi ratlara ketamin ile anestezi indüksiyonu yapıldıktan sonra Sedecal marka Argus 2r model mikro PET/BT cihazı ile pron pozisyonda toraksin BT görüntüleri alındıktan sonra kamera altında ortalama 185 MBq N-13 amonyak $^{13}\text{NH}_3$ kuyruk veni yolu ile birkaç saniye içinde enjekte edildi. Enjeksiyon ile eş zamanlı olarak, 5 dakika sonra ve 10 dakika sonra başlanarak dinamik PET görüntüleri elde edildi. On beş dakikalık süre boyunca list mod görüntüleme yapıldı. Ayrıca radyofarmasötığın diğer organlarda dağılımını değerlendirmek



Şekil 1.

amacı ile kardiyak görüntülemeyi takiben tüm vücut görüntüleme yapıldı. Görüntüleme sırasında herhangi bir yan etki izlenmedi.

Bulgular: Görüntüleme sonunda sorunsuz olarak uyanan ratlar hayvan laboratuvarına teslim edildi. Yakın zamanda etik kurul onayı alınmış ya da başvuru aşamasında olan pek çok hayvan PET/BT klinik öncesi çalışması planlanmaktadır.

Sonuç: Hayvan PET/BT görüntüleme pek çok klinik öncesi çalışmada başarı ve güven ile kullanılacak gibi durmaktadır.

Anahtar Kelimeler: Hayvan görüntüleme, mikro PET/BT, ilk deneyim

[PS-019]

Pediatrik Osteosarkomda ALP-LDH Seviyelerinin Evreleme PET/BT Metabolik Parametreleri ile Korelasyonu ve Prognostik Önemi

Gülin Uçmak, Aykut Kürşat Fidan, Bedriye Büşra Demirel, Burcu Esen Akkaş, İpek Kerimel

Sağlık Bilimleri Üniversitesi, Dr. Abdurrahman Yurtaslan Ankara Onkoloji Eğitim ve Araştırma Hastanesi, Nükleer Tıp Kliniği, Ankara

Amaç: Pediatrik yaş grubunda en sık gözlenen primer malign kemik tümörü osteosarkomdur. Yapılan sınırlı sayıda çalışmada osteosarkomda serum alkalen fosfataz (ALP) ve laktat dehidrogenaz (LDH) seviyelerinin prognostik belirteç olarak kullanılabileceği öne sürülmekle birlikte, netlik kazanmamıştır. Yapılan çalışmalarla osteosarkomda F-18 FDG PET/BT incelemelerinde SUV_{max}, metabolik tümör volümü (MTV) ve toplam lezyon glikolizi (TLG) değerlerinin prognostik göstergesi olarak kullanılabileceğini vurgulamaktadır. Çalışmamızda, osteosarkomda serum ALP-LDH seviyeleri ile primer tümöre ait evreleme PET/BT metabolik parametreleri arasındaki korelasyon araştırılması amaçlanmıştır.

Yöntem: Çalışmamızda osteosarkom tanısı almış ve evreleme PET/BT incelemesi yapılmış 37 pediyatik hasta (6-19 yaş aralığından) dahil edilmiştir. Evreleme PET/BT incelemesinde primer tümöral kitleye ait SUV_{max}, MTV ve TLG düzeyleri ile tanı anında ölçülen serum ALP-LDH düzeyleri arasındaki korelasyon araştırılmıştır.

Bulgular: Evreleme PET/BT incelemesinde metastaz izlenmeyen 17 hastanın medyan ALP seviyesi 458 U/L iken, metastatik 20 hastanın medyan ALP seviyesi ise 572 U/L bulunmuştur. Metastaz izlenmeyen grubun medyan LDH düzeyi 297 U/L iken, metastatik grupta medyan LDH düzeyi 518 U/L olarak bulunmuştur. ALP düzeyleri ile SUV_{max}, MTV ve TLG düzeyleri arasında istatistiksel anlamlı korelasyon saptanmıştır (sırasıyla p=0,06, p=0,01, p=0,009). LDH seviyeleri ile SUV_{max} düzeyleri arasında anlamlı korelasyon izlenmemekten (p=0,1), MTV ve TLG düzeyleri arasında istatistiksel anlamlı korelasyon dikkat çekmektedir (sırasıyla p=0,002, p=0,003).

Sonuç: Pediatrik osteosarkomda evreleme esnasında serum ALP-LDH seviyeleri metastatik hastalarda, metastaz izlenmeyen hastalara oranla daha yüksek izlenmiş ve PET/BT metabolik parametreleri ile arasında korelasyon saptanmıştır. Metastatik/non-metastatik hastalarda her iki biyokimyasal parametre ile primer tümöre ait PET/BT metabolik parametreler arasındaki kuvvetli korelasyon nedeniyle evrelemede ALP ve LDH'nin prognostik belirteç olarak kullanılabileceği düşünülmüştür.

Anahtar Kelimeler: Pediatrik osteosarkom, ALP, LDH, evreleme PET/BT, SUV_{max}, MTV, TLG

[PS-020]**Meme Kanseri Tanısı ile Takip Edilmekte Olan Hastalarda Saptanan Tümör Marker Yüksekliğinin PET/BT ile Değerlendirilmesi**

İnan Göktaş, Hakan Cayvarlı, Zafer Alğan, Gani Duman

Ordu Devlet Hastanesi, Nükleer Tip Kliniği, Ordu

Amaç: Meme kanseri kadınlarında en sık görülen kanser türündür ve gelişmiş ülkelerde kadınlarında kansere bağlı ölümlerde akciğer kanserinden sonra ikinci sırada yer almaktadır. Meme kanseri primer tedavide 15 yılhatta daha uzun bir süre sonra bile nüks edebilmektedir. Bu yüzden hastaların takibi asla sonlandırmamalıdır. Lokal nüks ve/veya uzak metastazın erken saptanması ile tedaviye erken başlanması; sağkalım süresinde uzama ve yaşam kalitesinde artış sağlayabilir. Meme kanserinde nüksün erken tespitinde serum tümör belirteçleri de kullanılmaktadır. Bu çalışmada meme kanseri tanısı ile takip edilmekte iken tümör belirteçlerinde (CA 15-3 ve CEA) yükselme saptanan ve bu sebeple yeniden evreleme amacıyla F-18-FDG PET/BT çekilen hastalarda PET/BT'nin tanışal etkinliği araştırıldı.

Yöntem: Meme kanseri tanısı ile takip edilmekte iken tümör belirteçlerinde yükselme saptanan ve bu sebeple yeniden evreleme amacıyla F-18-FDG PET/BT çekilen 77 hasta çalışmaya dahil edildi. Hastaların PET/BT sonuçları ile çalışma sonrası minimum 6 aylık takip döneminde elde edilen histopatolojik ve radyolojik veriler karşılaştırıldı. Bu sonuçlara göre PET/BT'nin duyarlılığı, özgüllüğü, pozitif ve negatif prediktif değerleri ile tanışal doğruluğu hesaplandı.

Bulgular: Çalışmaya dahil edilen hastaların tamamında CA 15-3 düzeyi yüksek ($>25 \text{ U/mL}$) iken, CEA düzeyi 37 hastada yüksek ($>3,8 \text{ ng/mL}$) idi. PET/BT sonuçlarına göre 77 hastanın 59 tanesinde lokal nüks ve/veya uzak metastaz şüpheli lezyon saptanırken, 18 hastada herhangi bir patolojik bulguya rastlanmadı. Minimum 6 aylık takip neticesinde PET/BT'de şüpheli lezyon saptanın 59 hastanın 58 tanesinde lokal nüks ve/veya uzak metastaz varlığı doğrulanırken, PET/BT'de patolojik bulgu saptanmayan 18 hastanın 16 tanesinde takipleri süresince lokal nüks ve/veya uzak metastaz gelişmedi. Bu sonuçlara göre çalışmamızda PET/BT'nin hasta bazında duyarlılığı %96, özgüllüğü %94, pozitif prediktif değeri %98, negatif prediktif değeri %88 ve tanışal doğruluğu %96 olarak bulundu.

Sonuç: F-18-FDG PET/BT, meme kanseri tanısı ile takip edilmekte iken tümör marker yüksekliği saptanan hastalarda lokal nüks ve/veya uzak metastazın araştırılması için hem tüm vücudu tek bir tetkik ile değerlendirmeye olanak veren hem de tanışal etkinliği yüksek bir görüntüleme modalitesidir ve hastaların takip/tedavi kararında önemli bir klinik etkiye sahiptir.

Anahtar Kelimeler: Meme kanseri, biyokimyasal tümör belirteçleri, pozitron-emisyon tomografisi/bilgisayarlı tomografi

[PS-021]**MUGA ve gMPS ile Elde Edilen Sol Ventrikül Fonksiyonel Parametrelerinin Karşılaştırılması**

Hüseyin Şan, Alper Özgür Karaçalioğlu, Semra İnce, Özdeş Emer, Engin Alagoz, Nuri Arslan

Sağlık Bilimleri Üniversitesi, Gülhane Eğitim ve Araştırma Hastanesi, Nükleer Tip Kliniği, Ankara

Amaç: Multigated analiz (MUGA) planar bir görüntüleme yöntemi olup sol ventrikül fonksiyonu hakkında görsel ve sayısal bilgiler sağlayan en eski nükleer kardiyolojik görüntüleme yöntemidir. Gated miyokard perfüzyon

sintigrafisi (gMPS) ise sol ventrikül perfüzyonu yanında sol ventrikülün sistolik ve diyalostik fonksiyonları hakkında sayısal bilgiler sağlayan ve yaygın olarak kullanılan bir görüntüleme yöntemidir. Bu çalışmanın amacı aynı olgularda MUGA ve gMPS ile elde edilmiş sayısal parametreler arasındaki uyum ve varsa farklar arasındaki önemini araştırmaktır.

Yöntem: Bu retrospektif çalışmaya 2015 Ocak ayından itibaren hastanemize başvuran ve 1 ay içinde hem MUGA hem de gMPS yaptırmış 5'i kadın 23 arşiv hastası dahil edildi. Hastalara ait data sisteme yeniden yüklenerek görüntüler yeniden oluşturularak ejeksiyon fraksiyonu (EF), "peak filling rate" (PFR), "peak emptying rate" (PER) ve "time to peak filling rate" den (TTPFR) oluşan sayısal parametreler elde edildi. Farklı görüntüleme modaliteleri ile elde edilen aynı parametreler arasındaki farkların önemi Wilcoxon signed rank testi ile araştırıldı.

Bulgular: MUGA ve gMPS ile elde edilmiş EF ve TTPFR değerleri arasında istatistiksel olarak anlamlı farklılık izlenmezken, PFR ve PER değerleri iki tetkik arasında istatistiksel olarak anlamlı farklılık göstermiştir.

Sonuç: Bu çalışmada sayı ve hacim hesaplamalarından kaynaklanabilecek bu durum EF gibi oran hesaplamalarında bir fark oluşturmadı iken, ventrikül dolu eğrilerinden doğrudan hesaplanan parametreler üzerinde farklılık varlığı dikkat çekmektedir. Dolayısı ile gerek MUGA gereksiz gMPS ile birbirleriyle oldukça uyumlu EF değerleri elde edilse de, diyalostik disfonksiyon parametrelerinin birbirinden farklı hesaplanabileceği saptanmıştır. Bu tip hastaların diyalostik fonksiyon takiplerinde, bu iki metodun birbirlerinin yerine kullanılması gerektiği izlenimi ortaya çıkarmaktadır.

Anahtar Kelimeler: Ejeksiyon fraksiyonu, gated miyokard perfüzyon sintigrafisi, MUGA

Tablo. MUGA ve gMPS ile elde edilmiş sol ventrikül fonksiyonel parametrelerinin istatistiksel olarak karşılaştırılması

	MUGA	gMPS	p
EF	36,5 (32,75-48,75)	39,5 (30,5-42,75)	0,955
PFR	1,7 (1,4-1,95)	1,6 (1,33-2,0)*	0,001
PER	1,85 (1,40-2,35)	1,45 (1,0-1,68)	0,001
TTPFR	136,5 (105-204)	149 (130-180)	0,650

MUGA: Multigated analiz, gMPS: Gated miyokard perfüzyon sintigrafisi, EF: Ejeksiyon fraksiyonu, PFR: Peak filling rate, PER: Peak emptying rate, TTPFR: Time to peak filling rate, [*]:Değerler (-)'dır

[PS022]**İleri Evre Over Kanserinde Rezidü/Rekürren Tümör Tespitinde PET/BT ve Ca-125 Değerinin Karşılaştırılması**Gül Çekin¹, İncim Bezircioğlu², Seyran Yiğit³¹Izmir Katip Çelebi Üniversitesi Tıp Fakültesi, Atatürk Eğitim ve Araştırma Hastanesi, Nükleer Tip Kliniği, İzmir²Izmir Ekonomi Üniversitesi Tıp Fakültesi, Kadın Hastalıkları ve Doğum Anabilim Dalı, İzmir³Izmir Katip Çelebi Üniversitesi Tıp Fakültesi, Atatürk Eğitim ve Araştırma Hastanesi, Tıbbi Patoloji Kliniği, İzmir

Amaç: İleri evre over kanseri tanısı olan hastaların klinik takibinde rezidü/rekürren doku tespitinde PET/BT'nin ve Ca-125 değerinin etkinliğini karşılaştırmaktır.

Yöntem: İzmir Atatürk Eğitim ve Araştırma Hastanesi'nde, Mart 2010 ile Mart 2016 tarihleri arasında histopatolojik tanısı konmuş, primer tedavisi

uygulanmış ve izlemde olan evre II-IV over kanseri hastalarında rezidü/rekürren doku şüphesi ile PET/BT görüntülemesi yapılmış 27 hastaya ait 31 PET/BT görüntülemesi retrospektif olarak değerlendirilmiştir. Hastalara ait karakteristik özellikler Tablo 1'de özetiştir. PET/BT'de bulgular pozitif veya negatif olarak değerlendirilmiştir. F-18-FDG ile yapılan PET/BT görüntüleme sonucu ve hastanın görüntüleme esnasındaki serum Ca-125 değeri, görüntülemeyi takiben yapılan biyopsi veya cerrahi işlem sonrasında konulan histopatolojik tanı ile karşılaştırılmıştır.

Bulgular: PET/BT'de metastaz en sık lenf nodlarında izlenmiştir. Otuz bir görüntülemenin 18'inde (%58) ile batın pelvik lenf nodu, 17'sinde (%54,8) peritoneal alan, 3'tünde (%9,6) torakal lenf nodu, 2'sinde (%6,4) servikal lenf nodu ve 6'sında (%19,3) primer tümör bölge pozitiftir. PET/BT'de ortalama $SUV_{max} \pm standart\ deviasyon$ değerleri; batın pelvik lenf nodunda $9,2 \pm 5,7$, peritoneal alanda $9,7 \pm 3,7$, torakal lenf nodunda $5,1 \pm 3,1$, servikal lenf nodunda $4,9 \pm 2,9$ ve primer tümöral alanda $21,8 \pm 24$ olarak hesaplanmıştır. Otuz bir PET/BT görüntümesinin 26'sında (%83,8) histopatolojik olarak rezidü/rekürrens tanısı konmuştur. Tüm rezidü/rekürrensli hastalarda PET/BT'de pozitif bulgu saptanmıştır. Histopatolojik tanılarına göre PET/BT'de 2 gerçek negatif, 1 yalancı negatif ve 2 yalancı pozitif sonuç elde edilirken; Ca-125 değerine göre 3 gerçek negatif, 20 gerçek pozitif, 1 yalancı pozitif, 7 yalancı negatif sonuç elde edilmiştir (Tablo 2). İleri evre over kanseri tanılı hasta grubunda rezidü/rekürren doku tespitinde PET/BT'nin sensitivitesi %96,3 iken Ca-125 değerinin sensitivitesi %74 düzeyinde kalmıştır. Her iki yönteme ait spesivite, pozitif prediktif değer, negatif prediktif değer ve doğruluk oranı Tablo 2'de gösterilmiştir.

Sonuç: İleri evre over kanseri tanılı hasta grubunda rezidü/rekürren doku tespitinde PET/BT, tek görüntüleme prosedürü ile hastanın tümör yükünü ve lezyonların anatomik/metabolik karakterini yüksek sensitivite ile gösteren, tedavi planlamasında klinisyene yardımcı olan değerli bir görüntüleme yöntemidir.

Anahtar Kelimeler: Over kanseri, rezidü/rekürren doku, PET/BT, Ca-125

Tablo 1. Hastalara ait genel karakteristik özellikler

Parametre	Değer
Hasta sayısı	27
PET/BT sayısı	31
Yaş ortalaması (yıl)	56,9
Yaş aralığı (yıl)	41-79
Epitelial tümörler	26 (%96,3)
*Seröz karsinom	23
*Endometrioid karsinom	1
*Mix tip karsinom	1
*Adenokarsinom (NOS)	1
Nonepitelyal tümörler	1 (%3,7)
*Seks kord hücreli karsinom	1
Tedavi modalitesi	n (%)
*Cerrahi + kemoterapi ± radyoterapi	21 (%77,7)
*Yalnız cerrahi	2 (%7,4)
*Yalnız kemoterapi	3 (%11,1)
*Tedavisiz	1 (%3,7)
FİGO sınıflaması	n
*3C	22
*4B	5
Ca-125 değeri 0-35 U/mL arası	10 (%32,2)
Ca-125 değeri 35 U/mL'den fazla	21 (%67,7)

Tablo 2. Rezidü/rekürren doku tespitinde PET/BT ve Ca-125 sonuçları

Performans	PET/BT	Ca-125
Gerçek pozitif (n)	26	20
Gerçek negatif (n)	2	3
Yalancı pozitif (n)	2	1
Yalancı negatif (n)	1	7
Sensitivite (%)	96,3	74
Spesivite (%)	50	75
Pozitif prediktif değer (%)	92,8	95,2
Negatif prediktif değer (%)	66,6	30
Doğruluk oranı (%)	90,3	74,2

[PS-023]

Düşük Riskli İyi Diferansiyeli Tiroid Kanserlerinde Düşük ve Yüksek Doz Radyoaktif Iyot Tedavisinin Ablasyon Başarısının Karşılaştırılması

Seyed Bahareh Razavi Khosroshahi, Onur Erdem Şahin, Sait Sager, Elife Akgün, Rabia Rabia Lebriz Uslu Beşli, Sertaç Asa, Levent Kabasakal, Haluk Burçak Sayman, İlhami Uslu, Kerim Sönmezoglu

İstanbul Üniversitesi Cerrahpaşa Tip Fakültesi, Nükleer Tip Anabilim Dalı, İstanbul

Amaç: Diferansiyeli tiroid kanserleri en çok görülen endokrin kanseridir. Elli yılı aşkın süredir radyoaktif iyot (RAI) tedavisi cerrahi sonrası ablasyon amaçlı kullanılmaktadır. Yakın zamanda yayınlanan kılavuzlarda düşük ve orta riskli hastalarda düşük doz RAI tedavisi önerilmektedir. Ancak buna karşın düşük doz tedavinin ablasyon başarısı açısından şüpheler bulunmaktadır.

Yöntem: Aralık 2014 ve Ağustos 2016 tarihleri arasında 17 yaşından büyük opere düşük riskli iyi diferansiyeli tiroid kanserleri hastalarından bölümümüzde ilk defa ablasyon tedavisi uygulanan hastalar çalışmaya dahil edildi. Patoloji raporlarından kanserin tip, varyantı, lezyon sayısı, evresi ve tiroidit varlığı belirlendi. Hastalar yüksek ve düşük doz olarak 2 ayrı grupta değerlendirildi. Yüksek doz grubuna 100 mCi RAI tedavisi alanlar ve düşük doz grubuna 50 mCi ve daha da dozlarında RAI alanlar dahil edildi. Hastaların hepsinde yaş, cinsiyet, RAI tedavi öncesi TSH, Tg, Anti Tg, radyoiyot uptake ve sintigrafi sonuçları ile 6 ay RAI sonrası TSH, Tg, Anti Tg ve 5 mCi tüm vücut radyoiyot sintigrafisi sonuçları değerlendirildi. Ablasyon kararı 2 ng/dL'den küçük Tg değeri ve negatif tüm vücut 5 mCi sintigrafisi ile konuldu.

Bulgular: Toplam 172 hasta (81 düşük doz ve 91 yüksek doz) çalışmaya dahil oldu. Düşük doz grubunda medyan yaşı 47 ve kadın erkek oranı 68/13 iken bu oranlar yüksek doz grubunda sırasıyla 49 ve 70/21 bulundu. Düşük doz grupta 69 hastada ablasyon gözlenirken (%85) yüksek doz alanlarda 82 hastada ablasyon gözlendi (%90). Düşük doz grubunda ablative olmayan 12 hastanın sadece 2 hastasında Tg yüksekliği izlenir iken bu yüksek doz grubunda 11 hastanın 6'sında saptandı. Takipleri yapılabilen ablative olmayan hastaların 2. RAI tedavi sonrasında düşük doz gurubunda 7 hastadan sadece 1 hastada ablasyon izlenmez iken bu oran yüksek doz gurubunda 4 hastanın 3'ünde gözlendi.

Sonuç: İlk bakışta düşük doz ve yüksek dozun ablasyon başarısı açısından belirgin farklılıklarının olmadığı düşünülse de ablative olmayan hastalar kendilerinde değerlendirildiğinde yüksek dozla tedavi olanlarda Tg yüksekliği ve 2. doz başarısızlığının fazla olması bu gruptaki hastaların olsası mikrometastaz ve lenf nodu metastazlarına bağlı ablative olamadığı düşünülebilir. Düşük dozların seçili hastalarda güvenilir olarak kullanılabileceğini ve bu hastalarda

olası radyasyon yan etkilerinin azaltılması sağlanabilir. Ancak çalışmanın daha fazla hasta grubunda ve takiplerin devamı ile daha güvenilir sonuçlar elde edilebilir.

Anahtar Kelimeler: RAI, tiroid kanseri, ablasyon

[PS-024]

Prostat Kanseri Tanı Evreleme ve Takibinde Lezyon Ga-68 PSMA Tutulum Yoğunluğunun Gleason Skoru ve İnisyal PSA ile İlişkisi

Gül Ege Aktas¹, Yusuf Yürüt Çaloğlu², Nuray Can³, Hakan Akdere⁴, Funda Üstün¹, Gülay Durmuş Altun¹

¹Trakya Üniversitesi Tıp Fakültesi, Nükleer Tıp Anabilim Dalı, Trakya

²Trakya Üniversitesi Tıp Fakültesi, Radyasyon Onkolojisi Anabilim Dalı, Trakya

³Trakya Üniversitesi Tıp Fakültesi, Patoloji Anabilim Dalı, Trakya

⁴Trakya Üniversitesi Tıp Fakültesi, Uroloji Anabilim Dalı, Trakya

Amaç: Prostat kanseri için prognostik davranış histopatolojik olarak Gleason skoru ile belirlenir. Total Gleason skoru, Gleason 1, 2'nin toplamından olmaktadır: Gleason 1 değeri yaygın paternini belirtirken, Gleason 2 en yüksek dereceliyi tanımlamaktadır. PSA değeri, evre, Gleason skoru, tümör derecesi ile birlikte risk grubunun, tedavi seçeneğinin belirlenmesinde önemli etkiye sahiptir. Prostat kanseri hücreleri Ga-68-PSMA PET/BT ile görüntülenebilen, farklı derecelerde artmış PSMA eksprese etmektedirler. Bu çalışmanın amacı Ga-68-PSMA tutulum yoğunluğunun Gleason skoru, PSA ile ilişkisinin araştırılmasıydı.

Yöntem: Prostat kanseri tanılı, evreleme, nüks nedeniyle Ga-68-PSMA PET/BT görüntülemeye refere edilen hastalar geriye dönük tarandi. PET imajları görsel, semikantitatif olarak değerlendirildi; prostat lezyonunun, pelvik/ekstrapelvik lenf nodlarının, kemik ve organ lezyonlarının SUV_{max} değerleri elde edildi. SUV_{max} değerleri karaciğer uptake'ine oranlanarak, lezyon/karaciğer (L/KC) indeksi hesaplandı. PET bulgularının, olguların inisyal, PET zamanındaki PSA değerleri ve Gleason skorları ile ilişkisi değerlendirildi.

Bulgular: Klinik verileri mevcut 51 hasta çalışmaya dahil edildi. Ortalama yaş $67,31 \pm 8,54$ (45-81), tanı anındaki (inisyal) PSA değeri $64,96 \pm 89,64$ (3,6-482) idi. Ortalama Gleason skoru $7,74 \pm 1,22$ (6-10) idi. Ortalama L/KC $2,55 \pm 2,24$ olarak hesaplandı. SUV_{max} değerleri karaciğer içinde $6,21 \pm 1,63$, dalak içinde $7,62 \pm 3,35$, böbrek içinde $41,03 \pm 16,71$ idi. Yirmi iki hastada lokal hastalık mevcut iken, 28 hastada uzak metastaz saptandı. Gleason skoru ile lokal hastalık arasında bir ilişki tespit edilemez iken ($p=0,43$), sistemik metastazlı olguların skoru anlamlı olarak yüksek bulundu ($p=0,04$). L/KC indeksi ile, inisyal PSA, Gleason 1, 2, total Gleason skoru arasında istatistiksel olarak anlamlı korelasyon mevcuttu (sırasıyla; $r=0,516$ - $p=0,000$, $r=0,519$ - $p=0,000$, $r=0,536$ - $p=0,000$, $r=0,638$ - $p=0,000$). PET çalışması sırasında PSA değeri ile ise anlamlı bir korelasyon saptanmadı ($r=0,238$ - $p=0,092$).

Sonuç: Ga-68-PSMA, prostat kanserinin evreleme, takibinde kullanılmaya başlandığından bu yana, lezyonlarda değişik derecelerde, bazen negatif, PSMA tutulumu bildirilmektedir. Sonuçlarımız Gleason skoru, tanı anındaki PSA ve Ga-68-PSMA tutulum yoğunluğu arasında istatistiksel olarak anlamlı bir korelasyon göstermiştir. Bulgularımızı destekleyecek, bu ilişkinin risk grubu belirleme, tedavi seçimi, tedavi cevabına etkisini değerlendirecek kontrollü serilere ihtiyaç olduğunu düşünmektediriz.

Anahtar Kelimeler: Prostat kanseri, Ga-68-PSMA, Gleason skoru

[PS-025]

SPECT Miyokardiyal Perfüzyon Sintigrafı Çalışmasında Supin, Sol Lateral ve Prone Pozisyonlarında Alınan Görüntülerin Karşılaştırılması

Onur Erdem Şahin, Sertaç Asa, Seyedbaresh Razavi Khosroshahi, Burak Akovalı, Elife Akgün, Rabia Rabia Lebriz Uslu Beşli, Muhammet Sait Sağer, Haluk Burçak Sayman, İlhami Uslu, Levent Kabasakal, Kerim Sönmezoglu

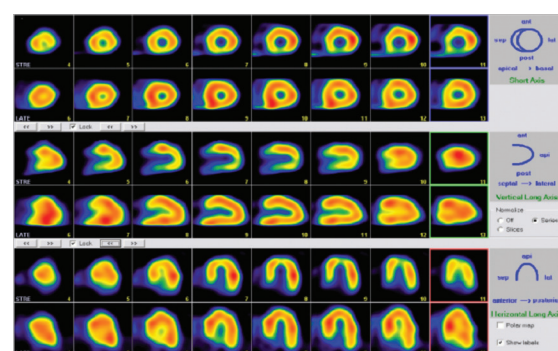
İstanbul Üniversitesi Cerrahpaşa Tıp Fakültesi, Nükleer Tıp Anabilim Dalı, İstanbul

Amaç: SPECT miyokard perfüzyon sintigrafisi iskemi araştırması amacıyla yaygın kullanımı olan bir görüntüleme yöntemidir. Görüntülemede özellikle anterior ve inferior duvarlarda izlenen atenüasyon nedeniyle yalancı pozitif raporlamalar yapılmaktadır. Çalışmamızın amacı sol lateral ve prone pozisyonlarında alınan görüntülerin yalancı pozitif sonuçları azaltmak amacıyla supin görüntülemeye katkısını değerlendirmektir.

Yöntem: Çalışmaya bölümümüzde 06.16-03.17 tarihleri arasında çekimi yapılmış ve stres aşamasında supin, prone ve lateral pozisyonlarda görüntüler mevcut olan 61 hasta dahil edildi. Yaş ortalaması $61 (\pm 11)$ olan 61 hastanın, 21'ine efor, 40'ına ise farmakolojik stres sonrası ortalama 16 mCi Tc-99m MIBI enjeksiyonu uygulandı ve 30-50 dk sonra supin, lateral ve prone pozisyonlarda Cardiospect D90 cihazı ile görüntüler alındı. Alınan görüntüler 3 hekim tarafından Mediso InterviewXP programı ile 13 segmente ayrılarak değerlendirildi. Elli dört hastanın mevcut rest GATED SPECT görüntülerile EF hesaplandı. Ayrıca BMİ, ek risk faktörleri ve EKG bulguları da değerlendirildi. Herhangi bir pozisyonda dolum gösteren perfüzyon defekti, uyumlu EKG bulguları ve duvar hareket bozukluğu da yoksa yalancı pozitif olarak değerlendirildi.

Bulgular: Ortalama BMİ $29,9 (\pm 11,9)$ olan 61 hastanın 12'sinde DM, 30'unda HT, 14'ünde HL tanısı ve 6'sında geçirilmiş MI hikayesi mevcuttu. Rest GATED çalışmada 2 hastada duvar bozukluğu izlendi. Ortalama EF değerleri $67,5 (\pm 11,5)$ olarak hesaplandı. Görüntülerin değerlendirilmesinde toplamda 37 gerçek pozitif lezyon izlendi. İnferoapikal, inferior, inferoseptal ve inferolateral duvarlar grup olarak değerlendirildiğinde supin pozisyonunda 35, lateral pozisyonda 6, prone pozisyonunda 14 hastada yalancı pozitif görünüm izlendi. Anteroapikal, anterior, antroseptal ve anterolateral duvarlar grup olarak değerlendirildiğinde ise supin pozisyonunda 21, lateral pozisyonunda 19, prone pozisyonunda ise 7 hastada yalancı pozitif görünüm izlendi.

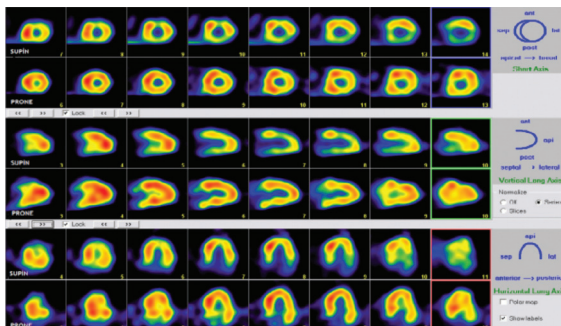
Sonuç: Çalışmamızda SPECT MPS görüntülemesinde en çok yalancı pozitiflik inferior ve ardından anterior duvarda izlenmiş olup supin görüntülemede



Şekil 1. Altmış iki yaşında erkek hasta şikayetleri nedeniyle tarafımıza MPS çekimi için yönlendirildi. Supin görüntülerde (stre) inferoapikal ve inferior duvara hipoperfüzyon görüntümleri izlendi. Bu görüntüler sol lateral pozisyonda alınan görüntülerde (late) dolum gösterdi.

gerek inferior gerekse anterior grupta yalancı pozitifliğin sıklığı dikkat çekti. Lateral görüntülerin özellikle inferior grupta, prone görüntülemenin ise anterior gruptaki yalancı pozitifliği ileri derecede azalttığı izlenmiştir. Stres görüntülemesinde sol lateral ve prone pozisyonlarda alınan görüntülerin raporlama kalitesini belirgin artttırduğu görülmektedir.

Anahtar Kelimeler: MPS, prone, lateral, atenüasyon, yalancı pozitif



Şekil 2. Altmış yaşında kadın hasta tarafımıza angina şikayeti nedeniyle MPS çekimi için yönlendirildi. Supin pozisyonunda alınan görüntülerin değerlendirilmesinde anterior ve inferior duvarlarda belirgin olmak üzere hipoperfüzyon görüntüleri izlenmiş olup bu görüntüler prone pozisyonunda alınan görüntülerde dolum göstermiştir.

[PS-026]

Kolanjiyokarsinom Tanısıyla Karaciğer Metastazlarına Y-90 Mikroküre Tedavisi Verilmiş Hastalarda Görüntüleme Yöntemleri ile Tedavi Yanıtının Değerlendirilmesi

Mehmet Bozkurt¹, Bilge Volkan Salancı¹, Utku Burak Bozkulut², Gonca Eldem³, Murat Fani Bozkurt¹, Saadettin Kılıçkap², Bora Peynircioğlu³, Barbaros Çil³

¹Hacettepe Üniversitesi Tip Fakültesi, Nükleer Tip Anabilim Dalı, Ankara

²Hacettepe Üniversitesi Tip Fakültesi, İç Hastalıkları Anabilim Dalı, Medikal Onkoloji Bilim Dalı, Ankara

³Hacettepe Üniversitesi Tip Fakültesi, Radyoloji Anabilim Dalı, Ankara

Amaç: Cerrahi tedavi uygulanamayan kolanjiyoselüler karsinom (KSK) hastalarında karaciğer metastazları, yttrium-90 (Y-90) mikroküre tedavisi uygulanılmaktadır. Bu çalışmada Y-90 mikroküre tedavisi uygulanmış KSK hastalarında hepatik arter perfüzyon sintigrafisi (HAPS) görüntüleri ile tedavi öncesi ve tedavi sonrası FDG PET/BT görüntülerinde tedaviye bağlı oluşan değişiklikler araştırıldı.

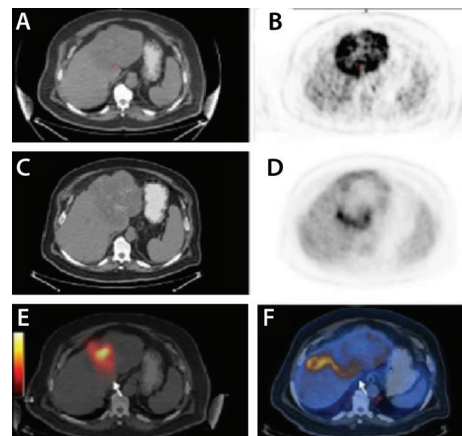
Yöntem: Ocak 2008-Kasım 2016 tarihleri arasında KSK tanısı Y-90 mikroküre tedavisi almış olan 3'ü kadın (%16,6) 18 hastanın HAPS görüntüleri ile tedavi öncesi ve sonrası abdomen bilgisayarlı tomografide (BT) (n=10), manyetik rezonans görüntülemede (MRG) (n=4) ve FDG PET/BT'de (n=6) saptanan tedavi yanıtları arasındaki ilişki incelendi.

Bulgular: Hastaların yaş ortalaması $54 \pm 8,9$ idi. Mikroküre tedavisi öncesinde kemoterapi (n=9) (%50), radyoterapi (n=1) (%5,5), cerrahi (n=6) (%33,3), transarteriyel kemoembolizasyon (n=1) (%5,5) uygulanmıştır; 7 hastaya (%38,8) sadece Y-90 mikroküre tedavisi verildi. On sekiz hastaya [cam:13 (%65); resin 7 (%35)] toplam 20 Y-90-mikroküre tedavisi (sağ lob: 11, sol lob: 5, bilobar: 4). Hastaların ortalama izlem süresi: $17,7$ ay $\pm 2,7$ idi. On üç hasta izlemde kaybedildi (tedavi sonrası yaşam: $11,7$ ay $\pm 4,8$), 5 hasta sağ olarak izlenmektedir. Cam mikroküre uygulanan hastalarda sağ loba verilen tedavi dozu anlamlı olarak daha yükseltti ($p=0,001$) (Tablo 1).

Uygulanan tedavi ile yaşam süresi arasında anlamlı fark izlenmedi [cam: $9,7 \pm 2,7$ ay, resin: $8,7 \pm 2,3$ ay ($p=0,703$)]. Tedavi öncesinde, tedaviden sonra ilk 15 içinde ve 4-8 hafta sonra hastaların tam kan sayımı, karaciğer ve böbrek fonksiyon testlerinde bulgularda anlamlı farklılık yoktu. Tedavi öncesi ve ortalama tedaviden $1,8$ ay $\pm 0,8$ (1-2,9) sonra FDG PET/BT görüntülerine ulaşabildiğimiz 6 hastada PERCIST kriterleri kullanılarak bir hastada stabil hastalık (izlem süresi 20 ay), 5 hastada kısmi metabolik yanıt izlendi [ortalama izlem süresi: $16,4$ ay $\pm 8,1$ (3,2-25,2)]. HAPS görüntülerile tedavi öncesi ve sonrası FDG PET/BT görüntülerile birlikte değerlendirilen 11 hastanın ortalama izlem süreleri $12,4$ ay $\pm 7,7$. Bu hastalarda 4'ü (%36) sağ loba, 5'i (%45) sol loba, 2'si (%18) her iki loba verilen toplam 11 tedavide RECIST kriterlerine göre tedavi yanıtını değerlendirildi.

Sonuç: HAPS görüntülerinde izlenen MAA dağılım paterninin tedavi sonrası parsiyel yanıt izlenen alanlarla uyumlu olduğu ve rekurrens bölgesini öngörebileceği belirlendi.

Anahtar Kelimeler: Mikroküre, kolanjiyokarsinom, FDG PET/BT, bilgisayarlı tomografi, tedavi yanımı



Şekil 1. Aralık 2012'de intrahepatik kolanjiyoselüler karsinom tanısı alan 70 yaşında, erkek hastaya 2013 tarihinde sol hepatik arter yoluyla Y-90 cam mikroküre tedavisi verildi. Tedavi öncesi Aralık 2012 FDG PET-BT (A ve B) ve tedavi sonrası Haziran 2013 FDG PET-BT (C ve D) görüntüleri kıyaslandığında tedavi sonrasında primer lezyonda FDG tutulumunda belirgin azalma görüldü. Hastanın tedavi öncesi hepatik arter sintigrafisi-BT füzyon görüntülerinde (E) MAA tutulumunun önceki (ok) ve tedavi sonrası (ok) FDG PET-BT'de (F) karaciğer sağ lobuna uzanım gösteren progresyon izlendi (ok). Hasta tedaviden 2,9 ay sonra klinik progresyon nedeniyle eksitus oldu.

Tablo 1. Karaciğer sağ ve sol lobuma verilen tedavi türü ile ortalama doz arasındaki ilişki

Tedavi yeri	Tedavi	n	Ortalama doz (GBq)	p
Sağ lob	Resin	5	$1,19 \pm 0,25$	0,001
	Cam	6	$3,79 \pm 0,72$	
Sol lob	Resin	2	$0,87 \pm 0,45$	0,370
	Cam	7	$1,6 \pm 0,82$	

[PS-027]**FDG PET/BT Görüntülemede Tiroid Bezinde Rastlantısal Saptanan Fokal Artmış FDG Tutulumunun Klinik Önemi**Sevil Tatlıdil, Ayşegül Akgün

Ege Üniversitesi Tip Fakültesi, Nükleer Tip Anabilim Dalı, İzmir

Amaç: Bu çalışmada tiroid bezinde önceden malignite varlığı bilinmeyen olgularda, FDG PET/BT görüntüleme sırasında saptanan rastlantısal fokal artmış FDG tutulumunun prevalansı, klinik önemi ve malignite oranlarını araştırmak amaçlandı.

Yöntem: Çalışmaya 01.05.2014-31.08.2016 tarihleri arasında onkolojik endikasyonla FDG PET/BT görüntülemesi yapılmış olan 7267 hasta içinde tiroid bezinde rastlantısal olarak fokal artmış FDG tutulumu saptanan 193 (%2,6) hasta dahil edildi. Yaş aralığı 34-90 arasında olan, 108 (%56) kadın, 85 (%44) erkek hastadan oluşan çalışma grubunun klinik takipleri ve SUV_{max} değerleri retrospektif olarak değerlendirildi.

Bulgular: Rastlantısal saptanan hipemetabolik tiroid nodüllerinde SUV_{max} değeri 3-71 arasında olup ortalama $9,13 \pm 7,4$ olarak bulundu. Hastaların %54,4'te (105/193) olası tiroid patolojileriyle ilgili ileri inceleme yapıldığı görüldü. Hastaların %21,9'unda (23/105) tirotoksikoz ile uyumlu tiroid fonksiyon test sonuçları mevcuttu. Tiroid sintigrafisi olan 7 hastanın 3'tünde hiperaktif tiroid nodülü, 1'inde ise akut tiroidit saptanmıştır. Yüz doksan üç hastanın 39'unun (%20,2) sitolojik ve histopatolojik incelemesi mevcut olup, bunların 10'u tiroidektomi materyali, 29 tanesi ise biyopsi sonucuydu. Biyopsi yapılan 29 hastadan 2 olgu tiroid papiller karsinom, 4 olgu papiller karsinom yönünden kuşkuluk, 1'i küçük hücreli dışı akciğer karsinom metastazı, 22'si ise benign hastalıklar lehine raporlanmıştır. Operere olan 10 hastanın 5'inde tiroid papiller karsinom, 2'sinde primer tümörün (rektum adenokarsinom, küçük hücreli dışı akciğer kanseri) metastazı, kalan 3 olgu ise tiroidin benign nodüler hastalıklarıyla uyumlu bulgular saptanmıştır. Papiller karsinom tanısı alan bir hastada tirotoksikoz ile uyumlu fonksiyon testleri mevcuttu. Malignite tanısı alan 10 tiroid nodülünde SUV_{max} değeri 3-34,9 arasında olup ortalama SUV_{max} : $12,5 \pm 9,1$ idi. Serimizde FDG PET/BT görüntülemede rastlantısal olarak fokal artmış FDG tutulumu gösteren tiroid nodülü saptanma oranı %2,6 olup, hastaların %20,2'sinde histopatolojik ve sitolojik inceleme yapılmış olup, malignite oranı %25,6 (10/39) olarak saptanmıştır.

Sonuç: FDG PET/BT görüntüleme sırasında saptanan rastlantısal fokal artmış FDG tutulumunda malignite riskinin yüksek olduğu görülmektedir. Hastaların büyük bölümüne ileri inceleme yapılmamış olması primer maligniteye bağlı sağkalım beklentisinin kısa olmasına bağlı olabilir.

Anahtar Kelimeler: FDG PET/BT, tiroid, malignite**[PS-028]****İnsülinoma Tanısında Ga-68-DOTATATE PET/BT Kullanımı**

Fuad Novruzov¹, Cemil Aliyev², Jamshed B Bomanji³, Syed Rizwan³, Elnur Mehdi¹, Simon Wan³, İrfan Kayanı³

¹Azerbaycan Milli Onkoloji Merkezi, Nükleer Tip Kliniği, Azerbaycan²Azerbaycan Milli Onkoloji Merkezi, Genel Cerrahi Kliniği, Azerbaycan³Nükleer Tip Enstitüsü, Üniversite Kolej Londra Hastanesi, Londra

Amaç: Ga-68-Dota-DPh1, Tyr3-octreotate (Ga-68-DOTATATE) selektif somatostatin analog ligandi olup, somatostatin reseptör 2 alt grubuna yüksek afinitet gösteren, nöroendokrin tümörlerin PET/BT ile görüntülenmesinde

aktif olarak kullanılmaktadır. Biz bu çalışmada benign ve malign insülinoma hastalarında Ga-68-DOTATATE PET/BT kullanımını araştırdık.

Yöntem: İnsülinoma şüphesi (10/40), şüpheli insülinoma nüksü ve biyokimyasal olarak kanıtlanmış insülinoma hastalığının lokalizasyonu (15/40) amacıyla 40 ardışık hastaya (17 erkek, 23 kadın; yaş ortalaması 47,3, aralık: 8-83) Ga-68-DOTATATE PET/BT muayenesi yapılmıştır. Ga-68-DOTATATE PET/BT bulguları konvansiyonel görüntüleme yöntemlerinin (BT ve MRG) ve patoloji sonuçları ile korelasyon yapılmıştır.

Bulgular: Kırk hastanın 20'sinde Ga-68-DOTATATE PET/BT gerçek pozitif, 13 hastada gerçek negatif, 5 hastada yanlış negatif ve ikisinde yanlış pozitif sonuçlar olmuştur. Toplam 40 hastada duyarlılık, özgüllük, pozitif prediktif değer (PPD) ve negatif prediktif değer (NPD) Ga-68-DOTATATE için %80, %87, 0,9 ve 0,72 olmuştur. Ga-68-DOTATATE ile benign ve malign insülinoma ayrimında belirgin fark saptanmıştır ($p=0,046$). İyi huylu insülinomalar için Ga-68-DOTATATE PET/BT'nin duyarlılığı, özgüllüğü, PPD ve NPD %64, %100,1 ve 0,5. Malign insülinoma olguları için duyarlılığı, özgüllüğü, NPD ve PPD %100, %100,1 ve 1 olmuştur. BT ve MRG yanlış negatif bulunan 3 insülinoma hastasının tanısı yalnız Ga-68-DOTATATE PET/BT yöntemi ile mümkün olmuş, 1 hastada BT ve MR ile pozitif iken, Ga-68-DOTATATE PET/BT yanlış negatif olmuş. Üç benign insülinoma olgusunda Ga-68-DOTATATE PET/BT, BT ve MRG bulguları yanlış olarak negatif sonuçlanmıştır.

Sonuç: Ga-68-DOTATATE PET/BT insülinoma varlığını belirlemek için yararlıdır. Ga-68-DOTATATE malign ve iyi huylu insülinoma olgu ayrimında yüksek duyarlılığa sahiptir.

Anahtar Kelimeler: Insülinoma, PET/BT, kanser, Ga-68-DOTATATE

Notlar: This study supported by the Science Development Foundation under the President of the Republic of Azerbaijan, Grant # EIF-2014-9(24)-KETPL-14/13/3

[PS-029]**Toksik Nodüler Guatrı Hastalarda Tiroid Nodülüne Morfolojik Özelliklerinin Radyoaktif İyot Tedavi Sonuçlarına Etkisi**Deniz Söylemez¹, Levent Akça¹, Taner Erselcan²¹Muğla Sıtkı Koçman Üniversitesi, Eğitim ve Araştırma Hastanesi, Nükleer Tip Kliniği, Muğla²Muğla Sıtkı Koçman Üniversitesi Tıp Fakültesi, Nükleer Tip Anabilim Dalı, Muğla

Amaç: Radyoaktif iyot tedavisi (RAIT) alan toksik nodüler guatr (TNG) tanısı ile takipli hastaların cinsiyeti, yaşı, nodülün çapı, kistik ve solid morfolojik özelliklerini, RAIT öncesinde antitiroid tedavi (ATT) kullanımı ve uygulanan RAIT dozunun tedavi sonuçları üzerine etkilerini değerlendirmektr.

Yöntem: Klinikümüzde TNG tanısı ile RAIT uygulanan 50 hasta (yaş ortalaması: $65 \pm 11,7$) çalışmaya alındı. Hastaların cinsiyet, yaşı gibi demografik özellikler ile tedavi öncesi tiroid sintigrafisi, tiroid ultrasonografi sonuçları ve ATT durumları; tedavi sonrası tiroid fonksiyon testleri değerlendirildi. Nodüllerin kistik ya da solid komponent içerikleri ultrasonografik ve sintigrafik olarak belirlendi. Nodül çapı 3,5 cm üzerinde olan hastalar çalışmaya alınmadı. Nodül çapı <2 cm olan hastalara 555MBqI-131 ve nodül çapı 2 cm $>$ olan hastalara 740MBqI-131 olacak şekilde sabit doz RAIT uygulandı. Birinci, 3. ve 6. ay tiroid fonksiyon testleri sonuçları ile takibe alındı. Altıncı ayda ötiroidi ve hipotiroidi gelişen hastalar tam kür olarak kabul edildi.

Bulgular: RAIT sonrasında takiplerde 50 hastanın 6. aydaki kür oranı %86 idi. Hastaların %72'sinde ötiroidi (n=36), %14'ünde hipotiroidi (n=7) görüldürken; %14'ünde hipertiroidi (n=7) mevcuttu. Kadın hastalarda tam kür oranı %94 iken, erkeklerde %71 idi. Yaş ve ATT ile tedavi etkinliği arasında anlamlı ilişki bulunamadı. Ancak nodül çapı 2 cm'nin üstünde olan

ve solid komponent içeren TNG'li hastalarda RAIT'sinin kistik komponent içerenlere göre daha başarılı olduğu bulundu (tam kür oranı; nodül çapı 2 cm'nin üstündeki solid nodüllerde %90,9, kistik nodüllerde %75 idi).

Sonuç: TNG'de RAIT oldukça başarılı bir yöntem olup, kliniğimizde 6. aydaki başarı oranı %86'dır. Nodül büyülüğu ve nodülün kistik/soild komponent içeriği tedavi etkinliğini anlamlı olarak etkilemektedir. Ancak, kliniğimizdeki uygulamada yaş ve antitiroïd ilaç kullanımının RAIT sonuçlarını etkilemediğini gözlemledi.

Anahtar Kelimeler: Radyoaktif iyot tedavisi, hipertiroidizm, toksik nodüler guatr

[PS-030]

F-18 FDG PET/BT ile Tespit Edilen Kahverengi Yağ Dokusu Varlığına Etki Eden Faktörlerin Değerlendirilmesi

Serkan İşgören, *Türkay Hekimsoy*, Gözde Görür, Hakan Demir

Kocaeli Üniversitesi Tip Fakültesi, Nükleer Tip Anabilim Dalı, İzmit

Amaç: Kahverengi yağ dokusu (KYD) memelilerde bulunan bir tür yağ dokusudur ve F-18 FDG PET/BT'de genellikle servikal, supraklaviküler, paraortik, paravertebral ve suprarenal bölgelerde artmış F-18 FDG tutulumu ile tespit edilir. Çalışmamızın amacı, KYD gelişimine etki eden faktörleri araştırmaktır.

Yöntem: Bölümümüzde 1 Ocak 2014 ile 31 Aralık 2015 tarihleri arasında F-18 FDG PET/BT çekilmiş 3049 hasta (ortalama yaşı: 55 ± 18 , %56,5 erkek, %43,5 kadın) retrospektif olarak analiz edildi. KYD gelişimine muhtemel etki edebilecek faktörler olan cinsiyet, yaş, mevsim, ay ve PET/BT çekiminin yapıldığı güne ait hava sıcaklığı değerleri incelendi.

Bulgular: Çalışmaya katılan 3409 hastanın PET/BT görüntüleri incelendiğinde 121 hasta (%3,5) KYD tespit edildi. KYD gelişimine etki eden muhtemel faktörler değerlendirildiğinde KYD pozitifliği ile yaş, cinsiyet, ay, mevsim ve çekim günü hava sıcaklığı arasında anlamlı ilişki izlendi ($p < 0,01$). Sıcaklık düşüşüne KYD'nin görülme ihtimalinin arttığı, yaş ilerledikçe azaldığı bulundu. KYD varlığı özellikle kiş aylarında (tüm KYD pozitif hastaların %38'i) izlenirken, sırasıyla sonbahar (%29), İlkbahar (%29) ve en az da yaz aylarında (%4) tespit edildi. Ayrıca KYD insidansının, çalışmamızda erkek hasta sayısı daha fazla olmasına rağmen, kadınlarda daha fazla (tüm KYD pozitif hastaların %66'sı) olduğu gözlandı.

Sonuç: Elde edilen bulgular literatür ile uyumluluk göstermektedir. F-18 FDG PET/BT randevusu planlanırken, hava sıcaklığının düşük seyrettiği kiş aylarında özellikle KYD gelişme riski yüksek olan genç ve kadın hastaların, ısı regülasyonu ve soğuktan korunma ile ilgili gereken önlemlerin alınması konusunda bilgilendirilmesi önerilir.

Anahtar Kelimeler: PET/BT, kahverengi yağ dokusu

[PS-031]

Pankreas Lezyonlarının Değerlendirilmesinde F-18 FDG PET/BT'nin Rolü

Gonca Kara Gedik, Farise Yılmaz

Selçuk Üniversitesi Tip Fakültesi, Nükleer Tip Anabilim Dalı, Konya

Amaç: Flor-18 florodeoksiglukoz pozitron emisyon tomografisi/bilgisayarlı tomografi (F-18 FDG PET/BT), pankreas kitle lezyonlarının değerlendirilmesinde önemli bir yere sahip olup malignansının saptanmasında duyarlılığı %94'tür. F-18 FDG PET/BT, pankreas kanserlerinde

uzak metastazların gösterilmesinde de kullanılmakta olan bir görüntüleme yöntemidir, hastalık evresini ve tedavi stratejisini değiştirebilmektedir. Bu çalışmada, pankreas lezyonlarının değerlendirilmesinde F-18 FDG PET/BT'nin rolü araştırılmıştır.

Yöntem: Ocak 2014-Aralık 2016 tarihleri arasında Selçuk Üniversitesi Nükleer Tip Anabilim Dalı'nda pankreas kanseri nedeniyle F-18 FDG PET/BT yapılmış hastalar değerlendirildi. Operasyon öncesi dönemde tanı ve evreleme amacıyla F-18 FDG PET/BT yapılmış, anatomik görüntülemesi mevcut 19 hasta (5 kadın, 14 erkek, yaş aralığı: 39-85, ortalama yaşı: 63) çalışmaya alındı.

Bulgular: Hastaların 1'inde ultrasonografi (USG), 18'inde BT ile anatomik görüntüleme yapılmıştı. On sekiz hasta (%95), pankreasta kitle saptanan alanda F-18 FDG tutulumu izlendi. Maksimum standart tutulum değerinin (SUV_{max}) ortalaması 8,14 olarak hesaplandı (aralık: 3,94-12,28). Bir hasta, BT'de kistik lezyon saptanan ve biyopsi sonucu adenokarsinom ile uyumlu alanda F-18 FDG tutulumu izlenmedi. Hastaların 18'inde (%95) patoloji raporu adenokarsinom ile uyumlu iken bir hasta nöroendokrin tümör saptandı. On hasta (%53) lezyon pankreasın baş kesiminde, 7'sinde (%37) gövde, 2'sinde (%10) kuyruk kesiminde idi. On iki hasta (%63) karaciğer ve kemik metastazları, mediastinal, abdominal ve peripankreatik metastatik lenf nodları mevcuttu.

Sonuç: Pankreasın intirinsik epitelyal neoplazileri endokrin adacık hücrelerinden ya da ekzokrin parankimal dokudan kaynaklanmaktadır. Tüm pankreas malignanslarının %75-92'sini adenokarsinom oluşturmaktadır. Olup bunların %70'si pankreasın baş, %20'si gövde, %5-10'u kuyruk kesiminden köken almaktadır. Bizim çalışmamızda de pankreas tümörlerinin çoğunluğunu adenokarsinom oluşturmaktaydı ve çoğunluğu pankreasın baş kesiminde lokalize idi. Çalışmamızda F-18 FDG PET/BT'nin pankreas kanserinin saptanmasında duyarlılığı %95 olarak hesaplandı. Hastaların %63'ünde uzak metastazların gösterilmesi sağlanarak hastalığın evrelendirilmesi tamamlandı. Sonuç olarak, F-18 FDG PET/BT pankreas kanserinin saptanması ve yaygınlığının belirlenmesinde invazif olmayan bir görüntüleme yöntemi olup sonuçlarımız literatürle uygunluk göstermektedir.

Anahtar Kelimeler: Adenokarsinom, F-18 FDG PET/BT, pankreas

[PS-032]

Gated Miyokard Perfüzyon Sintigrafisi ve Koroner Arteriyografi Korelasyonu: Retrospektif Değerlendirme

Nazım Coşkun¹, Berna Tekin Okutan¹, Özgül Uçar Elalı², Burcu Özyazgan², Pelin Arican¹

¹Sağlık Bilimleri Üniversitesi, Ankara Numune Eğitim ve Araştırma Hastanesi, Nükleer Tip Kliniği, Ankara; Amasya Üniversitesi Tip Fakültesi, Amasya

²Sağlık Bilimleri Üniversitesi, Ankara Numune Eğitim ve Araştırma Hastanesi, Kardiyoloji Kliniği, Ankara

Amaç: Koroner arter hastalığının erken tanısı, tedavide önemlidir. Gated miyokard perfüzyon sintigrafisi (GMPS) koroner arter hastalığı için önemli tanışal ve prognostik bilgi sağlamaktadır. Bu retrospektif çalışmanın amacı, kliniğimizde yoğun olarak yapılan GMPS ile koroner arteriyografi (KAG) yapılan hastalarda uyumluluk araştırılması ve klinik deneyimlerimizi paylaşmaktır.

Yöntem: Retrospektif olarak, kliniğimize 2012-2015 yılları arasında refere edilen 9800 hasta tarandi. Hem GMPS hem de KAG yapılan olan ve her ikisi arasında maksimum 6 ay olan 193 hasta (63 erkek (%32,6); 130 kadın (%67,4); yaş ortalaması: $57,4 \pm 10,7$) çalışmaya dahil edildi. GMPS, Tc-99m MIBI, çift gün stres/rest protokolü, efor (treadmill, bisiklet) 165 (%85,5) veya adenozin ile 28 (%14,5) ile yapılmıştı.

Bulgular: GMPS değerlendirme sonuçları, koroner damar anatomisine göre gruplandı: Normal 53 (%27,5), anterior duvar 40 (LAD), inferior duvar (RCA) 29 (%15), lateral duvar (CX) 12 (%6,2) ve hem anterior hem lateral duvar 15 (%7,8), anterior ve inferior duvar 11 (%5,7), lateral ve inferior duvar 10 (%5,2), anterior, lateral ve inferior duvar 23 (%11,9) iskemi görülmüştü. GMPS'de; ortalama EF: %55,5±13,4; görsel değerlendirmede 53 normal, 140 patolojik yorum; KAG'de ise; 43 normal, 150 patolojik değerlendirme bulundu. GMPS ve KAG'nın uyumlu olduğu 145 hastaya karşın (%75) 48 (%25) hastada uyumsuz sonuç bulundu. GMPS ve KAG istatistiksel olarak anlamlı düzeyde uyumlu bulundu ($p<0,001$). GMPS'si normal, KAG patolojik olan 33 (%17) hastada koroner darlık derecesi hafif ve orta düzeyde idi. KAG patolojik olup; GMPS'si normal olan 23 (%11) grubun ise, kollateral gelişimi ile ilgili olabileceği düşünüldü.

Sonuç: Klinigimizde, yoğun olarak yapılan GMPS, koroner arter hastalığı kuşkusunu veya tanısı olan hastalarda invaziv bir işlem olan KAG öncesi hastalığı ekarte etmede ve takibinde önemlidir. Hastanemizde GMPS özellikle test öncesi olasılığı düşük hastalarda KAG öncesi hastaları yönlendirmede önemli bir seçim kriteri olarak uygulanmaktadır.

Anahtar Kelimeler: Gated miyokard perfüzyon sintigrafisi, koroner arteriyografi

[PS-033]

F-18 FDG PET/BT Tetkik Sürecinde ve Sonrasında Çevresel Radyasyon Güvenliğinin Değerlendirilmesi

Özlem Erez¹, Burçak Yılmaz Güneş¹, Özüm Diren Özbeyp¹, Ahmet Yılmaz²

¹Sağlık Bilimleri Üniversitesi, Şişli Hamidiye Etfa Eğitim ve Araştırma Hastanesi, Nükleer Tıp Kliniği, İstanbul

²Çukurova Üniversitesi Tıp Fakültesi, Balcalı Hastanesi, Adana

Amaç: Nükleer tipta PET/BT görüntüleme yönteminde kullanılan F-18 radyoizotopu diğer tanı amacıyla kullanılan radyoizotoplara göre daha yüksek foton enerjiye sahiptir. Bu nedenle rutininde uygulanan prosedürün radyasyon güvenliği açısından uygun olup olmadığı değerlendirilecektir.

Yöntem: Bu çalışma, Nükleer Tıp PET/BT ünitesine başvuruda bulunan toplam 29 (E/K: 9/20) hasta ile gerçekleştirilmiştir. Bu hastalara rutin prosedür uygulanmıştır. Hastanın yaşı ve kilosu dikkate alınarak radyoaktif madde hastaya damar yolundan verilir. Yaklaşık 1 saat hasta bekletilir ve akabinde çekim alır. Sonrasında görüntü değerlendirilir ve ek çekim gerekmeyorsa hasta çekim bitiminde taburcu edilir. Bu hastalara radyoaktif maddenin enjeksiyonundan hemen sonra, çekim saatinde ve taburcu edilirken Geiger-Müller sayacı kullanılarak karın bölgesinde 0-0,5-1-1,5-2 m mesafelerde doz hızı ölçümleri yapıldı. Hastaların yaşı, cinsiyeti, boyu, kilosu, enjeksiyon ve çekim saatı, ölçüm sonuçları kayıt altına alındı. Alınan bu kayıtlar üzerinden her birinin ortalama ve standart sapma değerleri hesaplandı.

Tablo 1. Hasta ve çekim bilgileri

Hasta no	Yaş	Boy	Kilo	Verilen madde miktarı (mCi)	Enjeksiyon saatı	Çekim saatı
1	64	168	105	10,9	07:50	08:47
2	56	175	68	7,4	07:55	08:50
3	52	155	70	7,45	08:03	09:30
4	44	164	62	6,9	08:14	09:25
5	53	165	90	9,4	08:15	09:51
6	77	180	70	7,4	08:25	10:23
7	56	165	81	8,4	08:35	09:53

Bulgular: Hastalar bölüm içinde $70,27 \pm 13,79$ (53 minimum-100 maksimum) dk aralığında beklemiş ve $7,87 \pm 1,67$ mCi aralığında aktivite verilmiştir. Bu hastaların; yaşları $59,41 \pm 12,36$ yıl, kiloları $72,79 \pm 18,47$ kg, boyları ise $161,83 \pm 8,34$ cm aralığında değer almaktadır. Bir m mesafeden alınan radyasyon doz hızı ölçümleri, radyoaktif madde enjeksiyonu sonrası $39,66 \pm 11,91$ $\mu\text{Sv}/\text{h}$, çekim esnasında $21,07 \pm 4,49$ $\mu\text{Sv}/\text{h}$, taburcu anında $14,28 \pm 2,94$ $\mu\text{Sv}/\text{h}$ aralığında bulunmuştur.

Sonuç: F-18'in foton enerjisi 511 kev olmasını karşı nispeten kısa yarı ömürlü olmasından dolayı F-18 FDG tanı amacı ile kullanılabilen ideal bir radyofarmasöktür. Yarı ömrü 109,8 dk olmasına rağmen biyolojik eliminasyon ile yaklaşık 60 dakika sonra hasta vücudundan yarısından fazlası atılmıştır. Standart sapma değerlerinin özellikle 0. metrede fazla olması hastalara verilen aktivitelerin farklı olmasından ve biyolojik atılmanın kişiye göre değişkenlik göstermesindendir. Ölçüm sonuçları değerlendirildiğinde, tetkik bitiminde hastadan 1 metre mesafede doz hızı çevresel radyasyon güvenliği açısından bir tehlike arz etmediği için, tetkikten hemen sonra hasta güvenli bir şekilde taburcu edilebilmektedir.

Anahtar Kelimeler: PET/BT, radyasyon güvenliği



Resim 1. Ölçümde kullanılan Geiger-Müller cihazı



Resim 2. Hasta ölçüm örneği

Tablo 1. Devamı

Hasta no	Yaş	Boy	Kilo	Verilen madde miktarı (mCi)	Enjeksiyon saati	Çekim saati
8	75	160	59	6,3	09:15	10:20
9	43	160	80	7,8	09:22	10:40
10	54	164	53	6,55	09:35	10:45
11	48	160	99	10,5	10:05	11:10
12	46	160	65	7	10:06	11:05
13	41	165	120	12,10	10:35	11:35
14	75	160	60	6,8	10:37	11:30
15	66	165	100	10,2	10:55	12:21
16	81	160	60	6,4	11:03	11:57
17	53	170	100	10,8	11:45	12:45
18	43	165	90	9,6	12:12	13:26
19	47	160	70	7,3	07:45	08:40
20	65	152	52	6,10	08:00	09:02
21	72	162	71	7,45	08:15	09:17
22	47	160	60	7	11:10	12:47
23	70	165	80	8,60	11:41	13:10
24	69	155	55	6,40	12:10	13:40
25	72	160	65	7,10	12:43	14:00
26	54	130	50	6,15	12:50	13:50
27	55	165	53	6,60	13:05	14:25
28	66	165	68	7,15	14:13	15:13
29	79	158	55	6,5	14:35	15:37
Ort. ± Std.	59,41±12,36	161,83±8,34	72,79±18,47	7,87±1,67		

Tablo 2. Hastaların ölçüm sonuçları

	0m ($\mu\text{Sv}/\text{h}$)	0,5m ($\mu\text{Sv}/\text{h}$)	1m ($\mu\text{Sv}/\text{h}$)	1,5m ($\mu\text{Sv}/\text{h}$)	2m ($\mu\text{Sv}/\text{h}$)
Enjeksiyon sonrası ortalama±standart	718,31±186,33	117,97±44,02	39,66±11,91	18,45±4,95	12,10±2,95
Çekim anı ortalama±standart	222,03±59,47	49,31±14,49	21,07±4,49	11,10±2,23	6,62±1,89
Taburcu anı ortalama±standart	148,61±43,73	33,68±9,14	14,28±2,94	8,04±1,79	4,25±1,65

[PS-034]**Tiroid Uptake Testinde CsI Detektörlü Yeni Bir Ölçüm Sistemi**

Mohammad Abuqbeitah, Mustafa Demir, Nami Yeyin, Kerim Sönmezoglu

İstanbul Üniversitesi Cerrahpaşa Tıp Fakültesi, Nükleer Tıp Anabilim Dalı, İstanbul

Amaç: Tiroid uptake testinde kullanılan mevcut ölçüm sistemlerinde eksternal ölçümler hasta boynundan 15-25 cm uzaktan alınmaktadır, bu durumda tiroid sayımları tükürük bezinden gelen sayımlardan etkilenmektedir. Bu çalışmanın amacı, tiroid uptake testi için yeni geliştirilen CsI detektörlerini anterior pozisyonda tiroid loblarını deri yüzeyinden görebek şekilde boyuna pozisyonlayarak tiroid uptake ölçümü yapmaktır.

Yöntem: Sistemde, boyutları 5x3x1,5 cm olan 3 adet birbirinden ayrı konumlandırılabilen CsI detektör bulunmakta ve dedektörler birbirinden bağımsız olarak sayımla yapılmaktadır. CsI detektörünün foton çoğaltıcı tüpü silikon bazlı PMT'dir. Bir mCi I-131 aktivitesi kullanılarak uptake ölçüm koşullarında (standart geometride) tiroid uptake standart sayımı

yapmak üzere normal boyutta tiroid loblarını taklit eder ölçüledeplexiglas malzemeden bir fantom dizayn edildi ve bu fantom kullanılarak dedektörlerin ayrı ayrı sensitiviteleri ölçüldü. Fantomda tiroid uptake ölçüm koşullarında, aynı spesifik aktivitede fakat farklı hacimlerde I-131 radyoizotopu kullanılarak detektör lineeriteleri çıkarıldı. Her detektör için ayrı ayrı stabilité testi yapılarak detektörler arasındaki varyasyonlar belirlendi. Rastgele seçilen 10 hipertiroidi hastasının tiroid uptake ölçümünde detektörlerden ikisi tiroid lobları üzerine diğeri üzere uyluk üzerine yerleştirildi. Tiroid uptake değerleri 2. ve 24. saatlerde alınan sayımlardan hesaplandı.

Bulgular: Dedektörlerin ortalama sensitiviteleri 1 mCi I-131 sayımlarından hesaplandı ve 5114 cpm/MBq olarak bulundu. Dedektör lineeriteleri arasında $R^2=0,997$ düzeyinde yüksek anlamlı bir bağıntı bulundu. Stabilité testlerinde detektörler arasındaki varyasyon <5% bulundu. Rastgele seçilen 10 hipertiroidi hastasının 2 ve 24 saatlik tiroid uptake ölçümler ortalamaları sırasıyla 24,08±11 ve 47,8±13,4 bulundu.

Sonuç: Bu çalışma için geliştirilen CsI dedektörlerinin ve deney düzeneğinin tiroid uptake ölçümünde etkin olarak kullanılabileceği sonucuna varıldı.

Anahtar Kelimeler: Tiroid uptake/dozimetri

[PS-035]

Ca-125 Değeri Normal Sınırlarda Olan Over Kanseri Tanılı Hastalarda Rezidü/Rekürren Doku Tespitinde PET/BT'nin YeriGül Çekin¹, İncim Bezircioğlu², Seyran Yiğit³¹*İzmir Katip Çelebi Üniversitesi Tıp Fakültesi, Atatürk Eğitim ve Araştırma Hastanesi, Nükleer Tıp Kliniği, İzmir*²*İzmir Ekonomi Üniversitesi Tıp Fakültesi, Kadın Hastalıkları ve Doğum Anabilim Dalı, İzmir*³*İzmir Katip Çelebi Üniversitesi, Atatürk Eğitim ve Araştırma Hastanesi, Tıbbi Patoloji Kliniği, İzmir*

Amaç: Over kanseri tanısı konmuş, takipte rezidü/rekürren doku şüphesi olan ve Ca-125 değeri normal sınırlarda olan hastalarda PET/BT'nin etkinliğini araştırmaktır.

Yöntem: Retrospektif çalışmamızda; Mart 2010 ile Mart 2016 tarihleri arasında İzmir Atatürk Eğitim ve Araştırma Hastanesi'nde tedavi ve takipleri yapılan, izlemde rezidü/rekürrens şüphesi olan histopatolojik olarak over kanseri tanısı konmuş 15 hastaya ait 18 PET/BT görüntülemesi dahil edilmiştir. Hastaların ortalama yaşı 56,7 yıl olup yaş aralığı 32-79'dur. Hastaların histopatolojisi, FIGO evreleri ve uygulanan tedavileri Tablo 1'de özetlenmiştir. F-18-FDG ile yapılan PET/BT'de bulgular pozitif veya negatif olarak değerlendirilmiştir. PET/BT sonuçları, takibinde yapılan biyopsi veya cerrahi işlem sonrasında konulan histopatolojik tanılarıyla karşılaştırılmıştır.

Bulgular: PET/BT'de metastaz en sık lenf nodlarında izlenmiştir. On sekiz görüntülemenin 10'unda (%55,5) batın pelvik lenf nodu, 2'sinde (%11,1) torakal lenf nodu, 2'sinde (%11,1) baş boyun lenf nodu, 6'sında (%33,3)

Tablo 1. Hastalara ait genel karakteristik özellikler

Parametre	Değer
Hasta sayısı	15
PET/BT sayısı	18
Yaş ortalaması (yıl)	56,7
Yaş aralığı (yıl)	32-79
Epitelial tümörler	11 (%73,3)
* Seröz karsinom	9
*Transizyonel hücreli karsinom	1
*Borderline seröz tümör	1
Nonepitelyal tümörler	4 (%26,7)
*Sekskord hücreli tümör	3
*Germ hücreli tümör	1
Tedavi modalitesi	n (%)
*Yalnız cerrahi	2 (%13,3)
*Cerrahi + kemoterapi ± radyoterapi	11 (%73,3)
*Yalnız kemoterapi	2 (%13,3)
FIGO sınıflaması	n
*I	3
*III	9
*IV	2
**Borderline seröz tümör	1

peritoneal tutulum ve 4'ünde (%22,2) ise primer tümör bölgesi pozitiftir. Ortalama $SUV_{max} \pm$ standart deviasyon değerleri; batın pelvik lenf nodunda $8,4 \pm 4,5$, torakal lenf nodunda $5,8 \pm 4,1$, servikal lenf nodunda $4,9 \pm 2,9$, peritoneal alanda $10,6 \pm 2,4$ ve primer tümöral alanda $6 \pm 1,7$ olarak tespit edilmiştir. On sekiz PET/BT görüntülemesini takiben yapılan biyopsi veya cerrahi işlem sonrası 13'ünde rezidü/rekürrens tanısı konmuştur. PET/BT bulguları histopatolojik bulgularla birlikte değerlendirildiğinde; 12 gerçek pozitif, 2 gerçek negatif, 1 yalancı negatif ve 3 yalancı pozitif sonucu elde edilmiştir (Tablo 2). Ca-125 değeri normal sınırlarda olan hasta grubunda, rezidü/rekürren doku tespitinde PET/BT'nin sensitivitesi %92,3, spesivitesi %40, doğruluk oranı %77,7, pozitif prediktif değer %80, negatif prediktif değer %66,6 olarak tespit edilmiştir (Tablo 2).

Sonuç: Rezidü/rekürren doku şüphesi olan ve Ca-125 değeri normal sınırlarda olan over kanseri tanılı hastalarda, yüksek sensitiviteye sahip olan PET/BT'nin; lezyonların anatominik ve metabolik karakterinin tespitinde ve tedavi planlanmasımda oldukça yararlı bir görüntüleme modalitesi olduğu kanaatine varılmıştır.

Anahtar Kelimeler: Normal sınırlarda Ca-125 değeri, over kanseri, rezidü/rekürren doku, PET/BT

Tablo 2. Over kanserinde rezidü/rekürren doku tespitinde PET/BT performans sonuçları

Performans	PET/BT
N	18
Güçlendirilmiş (n)	12
Güçlü negatif (n)	2
Yalancı pozitif (n)	3
Yalancı negatif (n)	1
Sensitivite (%)	92,3
Spesivite (%)	40
Pozitif prediktif değer (%)	80
Negatif prediktif değer (%)	66,6
Doğruluk oranı (%)	77,7

[PS-036]

Metastatik Hastalığı Bulunan Hastalarda Primer Malignite Araştırmasında Konvansiyonel Yöntemlere Göre F-18-FDG PET/BT Çalışmasının Etkinliği

Serpil Erdoğan Özburdur

İstanbul Kemerburgaz Üniversitesi, Sağlık Hizmetleri Meslek Yüksekokulu, Tıbbi Görüntüleme Birimi, İstanbul; Samsun Medikal Park Hastanesi, Nükleer Tıp Kliniği, Samsun

Temmuz 2011 ve Şubat 2017 tarihleri arasında metastatik kemik ve yumuşak doku lezyonları tespit edilmesi nedeni ile hastanemizde primer malignite araştırması çalışmaları yapılan 101 hasta retrospektif olarak değerlendirildi. Bütün hastalara primer malignite araştırması amacıyla MRI, kemik sintigrafisi, endoskop, kolonoskop, tümör marker çalışmaları, doku biyopsisi ve histopatolojik değerlendirmeler gibi konvansiyonel çalışmalarдан klinik duruma göre gerekli görülen bir veya birkaç ve bütün hastalara F-18-FDG PET/BT çalışması ile yapılmıştır. PET/BT yapılmış olmakla birlikte diğer konvansiyonel çalışmalar tamamlanmadan hastane takiplerinden çıktığu anlaşılan 14 hasta çalışma dışı bırakıldı. Çalışmalar sonunda NHL ve multipl miyelom teşhisi netleşen 4 hasta çalışma dışı bırakıldı. Geri kalan 83

olgunun (49 erkek, 39 kadın; yaş ortalaması 64; minimum: 31, maksimum: 86) 42'si metastatik kemik lezyonu, 13'ü metastatik beyin lezyonu, 3'ü peritonitis karsinomatoza, 14'ü metastatik karaciğer lezyonları ve diğer 11'i metastatik lenf nodu ya da plevral invazyon gibi yumuşak doku lezyonları nedeni ile primer malignite araştırmasına alınmıştır. PET/BT'nin ilk teşhiste metastatik hastalığı bulunan kişilerde konvansiyonel yöntemlere göre primer maligniteyi tespitinde sensitivitesi %92, spesifitesi %77 olarak tespit edildi.

Anahtar Kelimeler: F-18 FDG PET/BT, metastatik kemik lezyonu, primer malignite, akciğer karsinomu, metastatik yumuşak doku lezyonu

[PS-037]

Tc-99m MAA Sintigrafisi ile Y-90 Mikroküre Tedavi Planlanmasında Hepatopulmoner Şant Oranının Hesaplanması İçin Planar ve SPECT-BT Görüntüleme Yöntemlerinin Karşılaştırılması

Bilal Kovan¹, Zeynep Gözde Özkan¹, Hatice Kovan², Ebru Yılmaz¹, Leyla Poyraz¹, Fikret Büyükkaya¹, Bayram Demir³, Ayşe Mudun¹, Cüneyt Türkmen¹

¹Istanbul Üniversitesi İstanbul Tıp Fakültesi, Nükleer Tıp Anabilim Dalı, İstanbul

²Okmeydanı Eğitim ve Araştırma Hastanesi, Nükleer Tıp Kliniği, İstanbul

³Istanbul Üniversitesi Fen Fakültesi, Fizik Bölümü, İstanbul

Amaç: İnoperabl primer veya metastatik karaciğer tümörlerinde, vitrium-90 (Y-90) mikroküre tedavisi femoral arter yoluyla hepatik arterin tümörü besleyen ilgili dalından tedavi edici özellikteki beta partikül tıplı radyasyon yayan mikrokürelerin tümör mikro dolaşımına verilmesi yoluya yapılan bir internal radyoterapi yöntemidir. Tedavi uygulamasında akciğer dozunun 30 Gy'yi geçmemesi akciğer fibrozisinden korunmak açısından sınırlayıcı bir parametredir. Tc-99m MAA'nın enjeksiyonu sonrası alınan planar görüntüler kullanılarak yapılan akciğer şant oranı hesabi atenuasyon kaynaklı teknik sınırlamalar içermektedir. Bu çalışmada Y-90 mikroküre tedavi planlamasında Tc-99m MAA ile yapılan perfüzyon çalışmasında SPECT-BT görüntülerinin akciğer şant oranının belirlenmesinde planar görüntülemeye katkısı araştırılmıştır.

Yöntem: Çalışmaya Y-90 mikroküre tedavi planlama amacıyla Tc-99m MAA perfüzyon çalışması uygulanan 54 hasta (20 kadın, 34 erkek) dahil edildi. Hastalara gama kamera (GE NM 670) ile tüm vücut planar ve SPECT-BT görüntüleme yapıldı. Atenüasyon düzeltmesi yapılmış SPECT-BT görüntülerinde akciğer ve karaciğerden elde edilen sayımlar yardımıyla (akciğer / akciğer + karaciğer) × 100 formülü kullanılarak şant oranı hesaplandı. Tüm vücut anterior ve posterior görüntülerde akciğer ve karaciğer ilgi alanları çizildi. Elde edilen verilerin geometrik ve aritmetik ortalamaları saptanıp formül yardımıyla şant oranları tespit edildi. Elde edilen veriler student t testi ile karşılaştırıldı.

Bulgular: Tc-99m MAA planar görüntülerde aritmetik ve geometrik ortalama kullanılarak hesaplanan hepatopulmoner şant oranları sırasıyla %14,4±9,14 ve %15,2±9,4 bulunmuştur. SPECT-BT şant oranı ise %6,51±4,25 olarak bulunmuştur. Planar görüntülerden aritmetik ve geometrik ortalama ile hesaplanan şant oranları arasında anlamlı bir farklılık saptanmaz iken ($p=0,33$), planar görüntülerde aritmetik ve geometrik ortalama kullanılarak hesaplanan şant oranları SPECT-BT ile elde edilen sonuçlardan sırasıyla 2,22 ve 2,33 oranında yüksektir ($p=0,00$ ve $p=0,00$).

Sonuç: Y-90 mikroküre tedavisi planlanan hastalarda Tc-99m MAA perfüzyon çalışmasında planar görüntüler kullanılarak aritmetik veya geometrik ortalama yoluyla hesaplanan hepatopulmoner şant oranları SPECT-BT kullanılarak ve atenüasyon düzeltmesi ile hesaplanan oranlardan oldukça yüksektir. Tedavi planlaması ve doz hesaplamasında

hepatopulmoner şantın doğru olarak hesaplanmasında SPECT-BT görüntüleme yöntemi üstündür.

Anahtar Kelimeler: Hepatopulmoner şant, SPECT-BT, planar, Tc-99 MAA

[PS-038]

Büyük Damar Vaskülitlerinde FDG-PET/BT: Aorta ve Bazi Dallarında Tutulumlar

Göksel Alçin¹, Zeynep Gözde Özkan², Müge Nur Karabacak², Seher Nilgün Ünal²

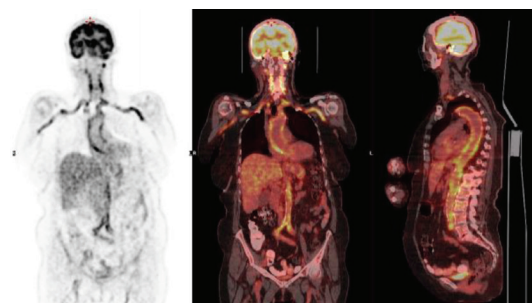
¹Karadeniz Teknik Üniversitesi Tıp Fakültesi, Nükleer Tıp Anabilim Dalı, Trabzon

²Istanbul Üniversitesi İstanbul Tıp Fakültesi, Nükleer Tıp Anabilim Dalı, İstanbul

Amaç: Bu çalışmanın amacı, büyük damar vaskülitli hastalarda F-18 FDG PET/BT'nin tanışıl etkinliğini değerlendirmektir.

Yöntem: Büyük damar vaskülit (Takayasu, dev hücreli arterit, Behçet hastalığı) tanısı alan, sebebi bilinmeyen ateş nedeniyle ve/veya vaskülit ötanlığı ile F-18 FDG PET/BT yapılan ve takiplerde tanısı histopatolojik olarak doğrulan 33 hasta (20 kadın, 13 erkek) çalışmaya dahil edildi. On dokuz hasta Takayasu arteriti, 12 hastada temporal (dev hücreli arterit), 2 hasta da Behçet vaskülit tánhidi. On üç hasta vaskülit nedeniyle steroid tedavisi alırken, 20 hasta ise steroid tedavisi almıyordu. Her hastanın çikan aorta, arkus aorta, inen torasik aorta, abdominal aorta, iliak arter, femoral arter, subklavyen arter, aksiller arter, karotis ve temporal arter duvarlarında izlenen artmış FDG tutulumlarından ROI çizileerek SUD_{max} değerleri hesaplandı. Ayrıca hesaplanan SUD_{max} değerleri hastanın karaciğer parankimi SUD_{max} değerleri ile kıyaslanarak puanlandırıldı [karaciğerden düşük (1), karaciğer ile benzer düzeyde (2) ve karaciğerden yüksek düzeyde (3)].

Bulgular: Çalışmaya dahil olguların büyük çoğunlığında çikan aortada ve aortik arka artmış FDG tutulumu (SUD_{max}: 2,5-11,0) izlendi. Olguların bir kısmında torasik aorta, abdominal aorta, iliak arter, subklavyen ve karotis arterler gibi ana arterlerde artmış tutulum saptandı (SUD_{max}: 2,5-7,2). Artmış FDG tutulumu gösteren arterlerden en yüksek SUD_{max} değeri ölçülen çalışmaya dahil edildi ve tüm olgularda SUD_{max} değerleri 2,5-11,0 arasında saptandı. SUD_{max} değerleri steroid kullanan grupta 2,5-6,1 saptanırken steroid kullanmayan grupta ise 3,1-11,0 saptandı. Yapılan istatistiksel analizde steroid tedavisi alan ve steroid tedavisi alamayan grup arasında SUD_{max} değerleri arasında anlamlı farklılık saptandı ($p=0,002213$) (Resim 1).

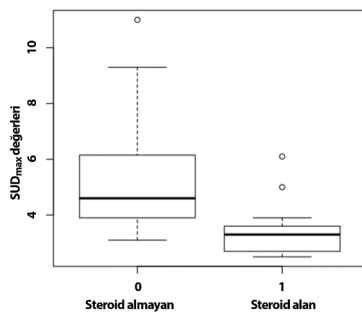


Resim 1.

Sonuç: Büyük damar vaskülit nedeniyle takipli ya da büyük damar vaskülit şüphesi bulunan olgularda FDG PET/BT hastalık aktivasyonunun gösterilmesinde başarılı bir yöntem olmakla birlikte kolaylaştırıcı bir modalitedir. Özellikle steroid tedavisi almayan hastalarda FDG tutulumu daha belirgin olup steroid altındaki vakalarda da artmış FDG tutulumları izlenebilmektedir. Sebebi bilinmeyen ateş nedeniyle ya da vaskülit dışı onkolojik amaçlı endikasyonlarla yapılan tüm vücut FDG-PET/BT

görüntülemede büyük damarlarda tutulum saptanması durumunda büyük damar vaskülitleri tanıda akılda tutulmalıdır.

Anahtar Kelimeler: FDG PET/BT, vaskülit, SUD_{max}, steroid tedavisi



Resim 2.

[PS-039]

Diferansiyel Tiroid Kanserlerinde Radyoaktif İyot Tedavisi (RAI) Öncesi Yapılan Evreleme Tetkiklerinin Klinik Önemi; I-131 Postablasyon Görüntüleri ile Karşılaştırılmış Bir Çalışma

Emine Acar, Özhan Özdoğan

Dokuz Eylül Üniversitesi Tıp Fakültesi, Nükleer Tip Anabilim Dalı, İzmir

Amaç: Diferansiyel tiroid kanseri nedeniyle tiroidektomi yapılmış hastalarda RAI tedavisi öncesi rezidü/metastatik hastalık varlığını araştırmak amacıyla yapılan tiroid sintigrafisi, kemik sintigrafisi ve toraks BT tetkikleri ile postablasyon I-131 sintigrafisi görüntülerini karşılaştırarak tedavi öncesi uygulanan evreleme tetkiklerin klinik faydasının araştırılmasıdır.

Yöntem: Temmuz 2007-Aralık 2015 tarihleri arasında Dokuz Eylül Üniversitesi Tıp Fakültesi Hastanesi'nde RAI tedavisi almış hastaların evreleme amaçlı yapılmış tiroid sintigrafisi, kemik sintigrafisi ve toraks BT tetkikleri ile postablasyon sintigrafik görüntüleri retrospektif olarak incelendi. Toplam 665 hasta çalışmaya dahil edildi. Tüm hastalara patoloji sonucu, tiroid sintigrafisi, kemik sintigrafisi, toraks BT ve postablasyon sintigrafik bulgularına göre ATA 2015 kılavuzu risk sınıflaması, AJCC TNM evrelemesi ve hastalık evrelemesi yapıldı.

Bulgular: Tc-99m perteinetat ile tiroid sintigrafisinin rezidü göstermedeki duyarlılığı %67,7, özgüllüğü %95; lenf nodu göstermedeki duyarlılığı %40,3, özgüllüğü %100 olarak bulundu. Kemik sintigrafisinin kemik metastazı yakalamadaki duyarlılığı %15,4, özgüllüğü %98,6 olarak bulundu. Toraks BT'nin akciğer metastazı göstermedeki duyarlılığı %50, özgüllüğü %99,3, nonspesifik olarak tanımlanan bulgular da metastaz olarak kabul edildiğinde; duyarlılığı %91,6, özgüllüğü %70,2 olarak hesaplandı. Tiroid sintigrafisi ile postablasyon görüntüleri karşılaştırıldığında rezidü saptamada tetkikler arasında çok zayıf korelasyon, lenf nodu metastazı saptamada orta derecede korelasyon bulunmuştur. Kemik sintigrafisi ile postablasyon görüntüleri karşılaştırıldığında kemik metastazı saptamada tetkikler arasında çok zayıf korelasyon bulunmuştur. Toraks BT görüntülerine göre akciğer metastazı varlığı ve şüphesi ile postablasyon görüntülerde izlenen akciğer metastazı arasında ise zayıf korelasyon mevcuttu.

Sonuç: RAI tedavisi öncesi evreleme amaçlı yapılan tiroid sintigrafisi, kemik sintigrafisi ve toraks BT tetkiklerinin postablasyon görüntüleri ile iyi korelemediği ve rezidü/metastaz saptamada duyarlılıklarının daha düşük olduğu görülmüştür.

Anahtar Kelimeler: Radyoaktif iyot tedavisi, metastaz, tiroid kanseri, tiroid sintigrafisi, kemik sintigrafisi, toraks BT

Tabelo 1. Evreleme ve postablasyon görüntüleri

Özellik	Kişi sayısı	Yüzde (%)
Tiroid sintigrafisinde rezidü		
Var	427	64,2
Yok	222	33,4
Tiroid sintigrafisinde lenf nodu metastazı		
Şüpheli	31	4,7
Yok	618	92,9
Kemik sintigrafisinde metastaz		
Şüpheli	11	1,7
Yok	649	97,6
Toraks BT'de metastaz		
Var	2	0,3
Şüpheli	13	2
Yok	582	87,5
Postablasyon rezidü		
Var	643	96,7
Yok	22	3,3
Postablasyon lenf nodu metastazı		
Şüpheli	80	12
Yok	585	88
Postablasyon uzak metastaz		
Var	25	3,8
Yok	640	96,2

[PS-040]

Meme Kanserli Hastaların Lokal ve Sistemik İlk Evrelemesinde FDG PET/BT Görüntülemenin Rolü: Erken ve Lokal İleri Meme Kanserli Hastaların Karşılaştırılması Çalışması

Pelin Özcan Kara¹, Zehra Pınar Koç¹, Ahmet Dağ²

¹Mersin Üniversitesi Tıp Fakültesi, Nükleer Tip Anabilim Dalı, Mersin

²Mersin Üniversitesi Tıp Fakültesi, Genel Cerrahi Anabilim Dalı, Mersin

Amaç: Meme kanserinde ilk evreleme lokal ve sistemik hastalık olarak düşünülmektedir. Erken evre meme kanserli hastalarda uzak metastaz nadiren beklenmektedir. Ancak hem erken hem de lokal ileri evre meme kanserli hastalarda FDG PET/BT ile ilk evreleme sonrası evrenin klinik olarak beklendiği gibi olmadığını gözlemedi. Bu çalışmada erken ve lokal ileri meme kanserli hastalarda ilk evrelemede uzak metastaz oranını ve uzak metastaz T evresi ilişkisini belirlemeyi amaçladık.

Yöntem: İlk evreleme amaçlı PET/BT tetkiki yapılan toplam 114 meme kanserli çalışmaya dahil edildi. Çalışmaya dahil edilen tüm hastaların trucut, kor ya da İİAB ile kesim meme kanser tanısı mevcuttu.

Bulgular: Toplam 114 hastada primer meme lezyonunun ortalama SUV_{max} değeri 7,64 (ranj: 1,45-20,94) bulundu. PET/BT 114 hastanın 24'ünde uzak

metastaz tespit etti. Toplam 34 metastatik bölgenin %41,2'si (14/34) kemik-kemik iliği, %5,9'u (2/34) akciğer metastazı, %14,7'si (5/34) mediastinal nodal metastaz, %5,9'u (2/34) karaciğer metastazı, %5,9'u (2/34) diğer organ/sistem metastazları ve %26,5'i (9/34) diğer lenfadenopatiler olarak belirlendi. T evrelemesine göre, uzak metastaz oranları 46 T1 evre hastada %6,5, 55 T2 evre hastada %23,6 ve 9 T4 evre hastada %88,8 olarak saptandı.

Sonuç: FDG PET/BT yeni tanı hem erken hem de ileri evre meme kanseri hastalarda hastalığın evresinin ve tedavi yaklaşımının değişmesine neden oldu. T1c-T4 meme lezyonları olan hastaların tedavi öncesi ilk evreleme amaçlı PET/BT görüntüleme yapılması önerilmektedir.

Anahtar Kelimeler: FDG PET/BT, meme kanseri, ilk evreleme, uzak metastaz

Tablo 1.

Tümör T evresi	Toplam hasta sayısı	Metastatik hasta
T1a	0	0
T1b	6	0
T1c	33	3
T2	55	13
T3	4	0
T4a	0	0
T4b	6	5
T4c	3	3
T4d	0	0

[PS-041]

Gated Miyokard Perfüzyon Sintigrafisinde Erken Görüntülemenin Sistolik ve Diyastolik Disfonksiyon Parametrelerinin Saptanması Üzerine Olan Etkisinin Araştırılması

Alper Özgür Karaçalioğlu, Tuğba Hacıosmanoğlu, Özdeş Emer, Semra İnce, Engin Alagoz, Kürşat Okuyucu, Nuri Arslan

Sağlık Bilimleri Üniversitesi, Gülhane Eğitim ve Araştırma Hastanesi, Nükleer Tip Kliniği, Ankara

Amaç: Gated miyokard perfüzyon sintigrafisi yaparken, genelde egzersiz sonrası karaciğer aktivitesi gibi kalp dışı aktivitelerin azalması için en az 30 dakika beklenmektedir. Bu da egzersiz ile tetiklenen artmış sempatik sinir sistemi aktivitesinin kalp üzerine olan etkilerinin azalması ile sonuçlanmaktadır. Bu çalışmanın amacı, egzersiz sonrası geçen zamanın kalbin sistolik ve diyastolik fonksiyonları üzerine olan etkisini araştırmaktır.

Yöntem: Bu çalışmaya, kliniğimize gated miyokard perfüzyon sintigrafisi (gMPS) için müracaat eden ardışık 30 hasta (17 kadın, yaş ortalaması: 55) hasta dahil edilmiştir. Hastaların hepsi koşu bandı ile Bruce protokolüne göre hedef kalp hızının (220-yaş) en az %85'ine ulaşınca 7±1 mCi Teknesyum 99m işaretli metoks izobutil izonitril enjekte edildi. Enjeksiyon sonrası egzersize en az bir dakika daha devam edildi. Egzersiz sonrası 7±2 dakika ve 30±5 dakikada solid state kardiak gama kamerada iki kez gMPS görüntülemesi yapılmış ve görüntüler ticari olarak mevcut yazılım (QGS-QPS) kullanılarak analiz edilmiştir. Bağımlı gruplar "t" testi sonuçlar analiz edilmiştir.

Bulgular: Erken ve geç görüntüler karşılaştırıldığında, sol ventrikül sistolik ve diyastolik hacimlerinin geç görüntülerde istatistiksel olarak anlamlı arttığı ve ejeksiyon fraksiyonunun azlığı saptanmıştır. Benzer şekilde, geç görüntülerde sol ventrikül maksimum doluş ve boşalma oranlarının da istatistiksel olarak anlamlı azaldığı dikkat çekenmiştir.

Sonuç: Bu çalışmanın sonuçlarına göre, egzersiz sonrası görüntüleme süresi uzadıkça, egzersiz ile uyarılan sempatik sinir sistemi ile birlikte kalbin sistolik ve diyastolik fonksiyonları azalıyor gibi görülmektedir. Bu durum egzersiz ile tetiklenen iskemi sonrası oluşan duvar hareket bozuklıklarının (stunning) zaman geçtikçe saptanma oranındaki azalmaya benzerlik göstermektedir.

Anahtar Kelimeler: Gated miyokard perfüzyon sintigrafisi, sistolik fonksiyon, diyastolik fonksiyon

Tablo 1. Çalışmanın istatistiksel analiz sonuçları

	Erken	Geç	p
Nabız	82,1±13,4	71,7±12,4	<0,001
Diyastol sonu hacim	81,7±31	87,2±28,6	0,001
Sistol sonu hacim	33±24,3	38,4±23,1	<0,001
Ejeksiyon fraksiyonu	62,7±10,8	56,9±11,6	0,005
Maksimum boşalma oranı	3,2±0,7	2,8±0,7	0,007
Maksimum doluş oranı	2,9±0,9	2,3±0,7	0,004
Maksimum doluş oranına kadar geçen süre	145,3±52	172,2±47,4	0,055

[PS-042]

Ampütasyon Planlanan Hastalarda Organ Perfüzyon Sintigrafisinin Kullanımı

Yusuf Ziya Tan¹, Semra Özdemir¹, Gürdal Nusran², Tolga Kurt³, Gürhan Adam⁴, Fatmanur Çelik¹

¹Çanakkale Onsekiz Mart Üniversitesi Tip Fakültesi, Nükleer Tip Anabilim Dalı, Çanakkale

²Çanakkale Onsekiz Mart Üniversitesi Tip Fakültesi, Ortopedi Anabilim Dalı, Çanakkale

³Çanakkale Onsekiz Mart Üniversitesi Tip Fakültesi, Kalp Damar Cerrahi Anabilim Dalı, Çanakkale

⁴Çanakkale Onsekiz Mart Üniversitesi Tip Fakültesi, Radyoloji Anabilim Dalı, Çanakkale

Amaç: Alt ekstremitede ampütasyon kararının alınmasında hiçbir yöntem tek başına yeterli olmamaktadır. Son yıllarda Tc-99m sestamibi ile yapılan organ perfüzyon sintigrafisinin periferik arter hastalıklarının araştırılmasında kullanılan noninvaziv bir nükleer tip yöntemidir. Bu çalışmada ampütasyon planlanan hastaların değerlendirilmesinde Tc-99m sestamibi organ perfüzyon sintigrafisinin Doppler USG ve BT anjiyo bulgularına olan katkısı araştırılmıştır.

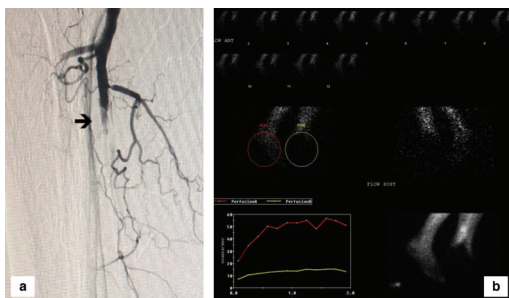
Yöntem: Çalışmamız retrospektif olarak düzenlenmiş olup kliniğimize ampütasyon öncesi değerlendirme amaçlı başvuran ve Tc-99m sestamibi organ perfüzyon sintigrafisi yapılmış hastalar incelenmiştir. Araştırmaya total olarak 21 hasta (18 erkek ve 3 kadın, yaş ortalaması 67,19±10,633) dahil edildi. Hastaların Tc-99m sestamibi organ perfüzyon sintigrafisi sonuçları ile diğer inceleme yöntemleri (Doppler USG ve BT anjiyo) ile karşılık olarak değerlendirildi. İstatistiksel olarak OPS'nin tanı değeri diğer inceleme yöntemleri ile karşılaştırıldı.

Bulgular: Yirmi bir hastanın tamamına hem Tc-99m sestamibi OPS hem de DUSG, sadece on bir hastaya BT anjiyo yapıldığı görüldü. Hastaların %23 (5/21)'ine Tc-99m sestamibi OPS ve DUSG birlikte pozitif olarak değerlendirilirken, %38'ine (8/21) ise her iki birelikte negatif olarak saptadı (Tablo 1). Tc-99m sestamibi organ perfüzyon sintigrafisi ve BT anjiyo birlikte değerlendirildiğinde hastaların %45'ini (5/11) pozitif olarak değerlendirdi (Tablo 2). Ampütasyon yapılan hastaları her üç tetkik pozitif

olarak değerlendirdiği 21 hastanın 5'ine ampütyasyon uygulandığı saptandı (Şekil 1a, 1b). Organ perfüzyon sintigrafisinin, noninvazin test olması, alt ekstremitéde değerlendirme sırasında lezyonun seviyesi, şiddeti hakkında doğru bilgiler vermesi, daha düşük iyonize radyasyon içermesi, ucuz olması, tekrarlanabilir olması, hem fizyolojik hemde fonksiyonel bilgiler vermesi nedeniyle diğer görüntüleme yöntemlerine göre önemli avantajlara sahiptir.

Sonuç: Periferik arter hastalığının fonksiyonel bir sorun olduğu göz önüne alınırsa ağırlıklı morfolojik ve sınırlı hemodinamik verilerin klinik değerlendirme açısından yetersiz olduğu ve bu nedenle de fizyolojik ve fonksiyonel inceleme yöntemlerine ihtiyaç bulunduğu anlaşılmaktadır. Bu nedenle de Tc-99m sestamibi OPS özellikle alt ekstreme perfüzyon değerlendirilmesinde özellikle ampütyasyon planlanan hastalarda ilave olarak faydalansabilecek değerli bir yöntemdir.

Anahtar Kelimeler: Periferik arter hastalığı, ampütyasyon, Tc-99m sestamibi, organ perfüzyon sintigrafisi, Doppler USG, BT anjiyo



Şekil 1a, 1b.

Tablo 1. Tc-99m sestamibi Organ Perfüzyon Sintigrafisi'nin DUSG sonuçları ile karşılaştırılması

	DUSG (n=15)	DUSG (n=6)
OPS negatif	8	0
OPS pozitif	0	5
OPS şüpheli	7	1

Tablo 2. Tc-99m sestamibi Organ Perfüzyon Sintigrafisi'nin BTA sonuçları ile karşılaştırılması

	BTA negatif (n=4)	BTA pozitif (n=7)
OPS negatif	3	0
OPS pozitif	0	5
OPS şüpheli	1	2

[PS-043]

F-18-FDG PET/BT Görüntülerinde Rekonstrüksiyon

Didem Göksoy, Yasemin Parlak, Gözde Mütevelizade, Elvan Sayıt, Gül Gümüşer

Celal Bayar Üniversitesi Tıp Fakültesi, Nükleer Tıp Anabilim Dalı, Manisa

Amaç: F-18 FDG PET/BT rekonstrüksiyon algoritmaları, görüntü kalitesi üzerinde önemli bir etkiye sahiptir. Bu çalışmanın amacı, rekonstrüksiyon parametrelerinin (Smooth/Sharp ve Speed) farklı kombinasyonlarından elde edilen FDG/PET görüntülerinin aktivite konsantrasyonlarını değerlendirmektir.

Yöntem: Nonuniform 6 lezyon (boyutları; 10 mm-35 mm arasında) içeren body fantoma 207MBq F-18-FDG enjekte edilerek gantry merkezine yerleştirildi (Philips, TruFlight Select, 16 kesit BT).

Bulğular: Dokuz farklı rekonstrüksiyon kombinasyonu kullanılarak PET/BT görüntüleri elde edildi. Bu kombinasyonlar için relaksasyon, iterasyon ve Kernel Width parametreleri tanımlandı. Elde edilen datalar arasında SPSS 11.0 istatistiksel programı kullanılarak paired t testi yapıldı.

Sonuç: En uygun kantitatif sonuç, gürültünün azaltıldığı ve iyi sayılmış istatistiğine sahip olan iterasyon 3, subset 33 ve Kernel Width 18,7 cm olan kombinasyonla elde edildi. Özellikle baş ve boyun maligniteleri olan hastalarda, bu rekonstrüksiyon protokolünün kullanılmasının uygun olduğu sonucuna varıldı.

Anahtar Kelimeler: PET/BT, rekonstrüksiyon

[PS-044]

Yetişkin Hastalarda Anterior Mediastinal Kitlelerin Metabolik Karakterizasyonu

Zehra Pınar Koç¹, Pelin Özcan Kara¹, Erhan Ayan²

¹Mersin Üniversitesi Tıp Fakültesi, Nükleer Tıp Anabilim Dalı, Mersin

²Mersin Üniversitesi Tıp Fakültesi, Göğüs Cerrahisi Anabilim Dalı, Mersin

Amaç: Başta timüs karsinomları ve lenfomalar olmak üzere malign tümörler ve bazı benign tümörler de anterior mediastinal kitle ile prezente olabilir. Bu çalışmada anterior mediastinal kitlelerin karakterizasyonunda F-18 FDG PET/BT'nin yerinin araştırılması amaçlanmıştır.

Yöntem: Bölümümüze anterior mediastinal kitle tanısı ile gönderilen 16 hasta (6 K, 10 E; 17-83; ortalama: $56,5 \pm 19,51$ yaş) çalışmaya dahil edilmiştir. FDG PET/BT görüntüleri iki deneyimli Nükleer Tıp Uzmanı tarafından altın standart histopatoloji kabul edilerek değerlendirilmiştir.

Bulğular: Hastaların tümünde anterior mediastinal kitle (ortalama: $54,38 \pm 38,64$ mm) tanımlanmış olup bu kitlelerin 15'inde artmış FDG tutulumu (ortalama $SUV_{max} = 9,5 \pm 6,3$) izlenmiştir. Ayrıca 8 hasta eşlik eden başka lokalizasyonlarda lenf nodu metastazı ve 4 hasta farklı lokalizasyonda primer tümör ile uyumlu lezyon ve 3 hasta eşlik eden plevral kalınlaşma bulunmuştur. Hastaların 4'ünde tanı timik karsinom, 5'inde akciğer karsinomu, 3'ünde lenfoma, 2'sinde karsinoid tümör metastazı ve birinde Schwannoma'dır. Hastalardan iki tanesinde kitlede tutulum olmaması veya relativ olarak düşük olması nedeniyle histopatolojik değerlendirme sağlanamamıştır.

Sonuç: Yetişkin yaşı grubunda anterior mediastinal kitleler çok farklı bir primer lezyondan köken alabilir. Bu lezyonların ayrıcı tanısının yapılması için histopatolojiden daha az invaziv veya farklı bir lokalizasyonda lenf nodu eksizyonu gibi farklı yöntemler FDG PET/BT ile sağlanabilir.

Anahtar Kelimeler: Anterior mediasten, kitle, FDG, PET/BT

[PS-045]

Nükleer Tıp Çekimlerinde Hastaların Taburcu Radyasyon Doz Hızı Ölçümlerinin Değerlendirilmesi

Özlem Erez, Burçak Yılmaz Güneş

Sağlık Bilimleri Üniversitesi Şişli Hamidiye Etfal Eğitim ve Araştırma Hastanesi, Nükleer Tıp Kliniği, İstanbul

Amaç: Radyofarmasötik kullanılarak çekim yapılan hastalarda işlem sonrası çevresine verdiği radyasyon dozunun müsade edilebilir düzeyde olup olmadığıının incelenmesidir.

Yöntem: Bu çalışma, kalp veya böbrek çekimi için başvuruda bulunan toplamda 91 (E/K: 41/50) hasta ile gerçekleştmiştir. Tc-99m radyoaktif maddesini işaretlemeye çekime göre "kardiyo SPECT", DTPA ve DMSA ajanı kullanılır. Bu hastalara rutin prosedür uygulanmıştır. Çekim prosedürlerine, yaş ve kilolarına uygun olarak radyofarmasötik madde damar yolundan hastaya verilmiştir. Çekimi tamamlanan hastalardan Geiger-Müller sayacı kullanılarak karın bölgesinde 1 m mesafede doz hızı ölçümleri yapıldı. Hastaların enjeksiyon saati, yaşı, cinsiyeti, boyu, kilosu, çekim saati, doz hızı ölçümleri kayıt altına alındı. Alınan bu kayıtlar üzerinden her birinin ortalama ve standart sapma değerleri hesaplandı.

Bulgular: Üç hasta grubu da kendi içinde değerlendirilmiştir. Kalp çekimi yapılan hastaların; yaşıları $63,04 \pm 12,55$ yıl, kiloları $78,08 \pm 14,85$ kg, boyları ise $163,55 \pm 11,74$ cm arasında değer almaktadır. Bu hastaların radyasyon doz hızı ölçümleri $1,27 \pm 0,69$ mR/h (0,51 min-2,8 max) olarak bulundu. DMSA çekimi yapılan hastaların; yaşıları $22,43 \pm 21,57$ yıl, kiloları $43,26 \pm 25,96$ kg, boyları ise $138,97 \pm 28,18$ cm arasında değer almaktadır. Radyasyon doz hızı ölçümleri $0,08 \pm 0,07$ mR/h (0,03 min-0,15 max) olarak bulundu. DTPA çekimi yapılan hastaların; yaşıları $30,4 \pm 21,58$ yıl, kiloları $55,52 \pm 29,49$ kg, boyları ise $146,14 \pm 37,11$ arasında değer almaktadır. Radyasyon doz hızı ölçümleri $0,12 \pm 0,09$ mR/h (0,02 min-0,35 max) olarak bulundu.

Sonuç: Hastaya uygulanan radyoaktif madde fiziksel yarılanmanın yanında biyolojik atılımında uğramaktadır. Çalıştığımız hasta grupları için standart sapma değerinin büyük olmaması efektif yarılanmasında kişiden kişiye

kayda değer farklılık göstermediğini kanıtlamıştır. Üç hasta grubunun da çekim sonrası radyasyon güvenliği açısından ayrı bir güvenlik önlemine gerek olmadığı ve çevresindekilere 1 m mesafede rahatlıkla yaklaşabileceğini bizlere göstermiştir.

Anahtar Kelimeler: Radyasyon doz hızı, DTPA, DMSA, miyokard perfüzyon sintigrafi, radyofarmasötik



Resim 1. Ölçümde kullanılan Geiger-Müller cihazı

Tablo 1. Miyokard perfüzyon sintigrafi hasta bilgileri ve ölüm sonuçları

Hasta no	Cinsiyet	Yaş	Boy	Kilo	Stres rad.doz mik.(mCi)	Rest rad.doz mik.(mCi)	Ölç. (mR/h)
1	K	81	161	65	8	23	0,9
2	K	54	150	85	8	9	0,62
3	E	65	177	84	8	24	0,83
4	K	62	165	68	9	25	0,76
5	E	51	150	65	8	24	0,75
6	K	64		62	8	24	0,68
7	K	55	148	58	8	24	0,88
8	K	75	165	67	8	24	0,78
9	E	47	178	80	8	24	0,66
10	K	45	166	65	9	24	0,69
11	K	68	162	105	8	24	0,51
12	K	71		65	8	24	1,13
13	K	49	158	99	8	24	2
14	K	52	142	77	8	24	2,1
15	E	88	175	80	8	24	0,87
16	E	63	178	94			1,5
17	E	72		70	8	24	0,9
18	E	72	178	74	8	23	1,5
19	E	39	178	121	9	24	2,6
20	K	59	150	75	9	24	1,8
21	E	57	170	70			2,5
22	E	78	175	92			1,2
23	K		150	74	9	24	2
24	K	69	155	80	8	24	2,8
25	K	77	167	77	8	24	0,8
Ort. ± std.		$63,04 \pm 12,55$	$163,55 \pm 11,74$	$78,08 \pm 14,85$	$8,23 \pm 0,43$	$23,27 \pm 3,21$	$1,27 \pm 0,69$



Resim 2. Hasta ölçüm örneği

Tablo 2. DTPA ve DMSA hastalarının bilgileri ve ölçüm sonuçları

Hasta no	Verilen rad. doz. mik. (mCi)	Ölç. (mR/h)	Çekim türü			
1	3	0,15	DMSA	33	0,06	"
2	2,5	0,1	"	34	0,07	"
3		0,4	"	35	0,06	"
4	1	0,05	"	36	0,25	DTPA
5	1,7	0,1	"	37	0,3	"
6	1,5	0,05	"	38	0,2	"
7	1,5	0,08	"	39	0,35	"
8	1,5	0,07	"	40	0,3	"
9	2,5	0,05	"	41	0,1	"
10	5	0,08	"	42	0,2	"
11	1,5	0,03	"	43	0,08	"
12	1,2	0,03	"	44	0,1	"
13	2	0,03	"	45	0,1	"
14	5	0,07	"	46	0,1	"
15	5	0,06	"	47	0,06	"
16	2	0,05	"	48	0,28	"
17	3	0,05	"	49	0,2	"
18		0,06	"	50	0,1	"
19	5	0,3	"	51	0,1	"
20		0,11	"	52	0,2	"
21		0,06	"	53	0,04	"
22	5	0,05	"	54	0,09	"
23	5	0,05	"	55	0,06	"
24	5	0,08	"	56	0,05	"
25	5	0,07	"	57	0,07	"
26	5	0,06	"	58	0,03	"
27		0,05	"	59	0,04	"
28	5	0,1	"	60	0,1	"
29	2	0,05	"	61	0,12	"
30	2,5	0,1	"	62	0,02	"
31	2	0,06	"	63	0,04	"
32	5	0,05	"	64	0,05	"
33		0,06	"	65	0,1	"
			ORT ± STD	3,69±1,52	0,12±0,09	

Tablo 2. Devamı

[PS-046]

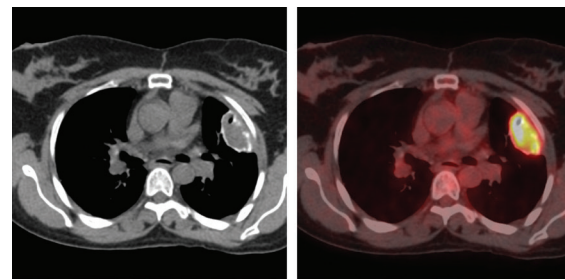
Metastatik Meme Kanseri Hastaların Takibinde PET/BT'nin Tümör Markırlarına Üstünlüğünün GösterilmesiEmine Ebru Bayar¹, Emine Özlem Gür², Neslihan Avcı³, Gonca Gülbunal¹¹*Izmir Katip Çelebi Üniversitesi, Atatürk Eğitim ve Araştırma Hastanesi, Nükleer Tip Kliniği, İzmir*²*Izmir Katip Çelebi Üniversitesi, Atatürk Eğitim ve Araştırma Hastanesi, Genel Cerrahi Kliniği, İzmir*³*Kafkas Üniversitesi Tıp Fakültesi, Sağlık Uygulama ve Araştırma Hastanesi, Nükleer Tip Kliniği, Kars***Amaç:** Metastatik meme kanseri olgularının takibinde tümör markırı ve PET/BT'nin rolünü kıyaslamalı olarak değerlendirmeyi hedefledik.**Yöntem:** Metastatik meme kanseri nedeniyle kemoterapi alan ve yaşıları 30-78 arasında değişen 47 hasta retrospektif olarak çalışmaya dahil edildi. Hastalara kemoterapi öncesi ve sonrasında yapılan F-18 FDG PET/BT görüntüleri ve eş zamanlı serum tümör markır (Ca 15,3) değerleri kıyaslamalı olarak değerlendirildi.**Bulgular:** Çalışmaya dahil edilen 47 hastanın 9'u ilk PET/BT çalışmasında önceki tetkikleriyle kıyaslananca tedaviye tam yanıt vermiş, 38'i metastatik lezyonları devam eden hastalardır. Tedaviye tam yanıtlı 9 hastanın kontrol PET/BT tetkikinde 5'inde tam yanıt devam ederken 4 hastada progresyon izlendi. Ancak eş zamanlı yapılan serum Ca 15,3 düzeyi 4'ünde de normaldi. Başlangıçta metastatik lezyonları olan 38 hastanın kontrol PET/BT tetkikinde; 23'ünde progresyon, 2'sinde stabil yanıt, 9'unda kısmi ve 4'ünde tam yanıt izlendi. Eş zamanlı yapılan Ca 15,3 değerlerinin 23 progresyon hastasının 14'ünde yükselme saptanırken 9 hastada progresyonra rağmen Ca 15,3 değerleri normal seyretti. Dokuz kısmı yanıt gösteren hastanın 2'sinde Ca 15,3 değeri yanlış pozitif olarak yüksek tespit edildi. PET/BT görüntülerinde 23 progresyon saptanan hastanın 11'inde yeni metastatik odaklar tespit edildi.**Sonuç:** Evre 4 metastatik meme kanseri hastaların tedaviye yanıt izleminde; F-18 FDG PET/BT mevcut metastazların anatomik ve metabolik olarak tedaviye yanıtını göstermenin yanı sıra yeni odakları da tespit edebilmekte olup, tümör markırlarına kıyasla daha güvenilir bir yöntemdir. Tümör markırları progresyonu göstermede toplamda %50 oranında yetersiz kalmıştır.**Anahtar Kelimeler:** Meme kanseri, PET/BT, Ca 15,3, markır

[PS-047]

Primer Akciğer Dev Hücreli Tümör (PADHT); Olu SunumuEsra Çiftçi¹, Zekiye Hasbek¹, Şahande Elagöz², Melih Kaptanoğlu³, Bülent Turgut¹¹*Cumhuriyet Üniversitesi Tıp Fakültesi, Nükleer Tip Anabilim Dalı, Sivas*²*Cumhuriyet Üniversitesi Tıp Fakültesi, Patoloji Anabilim Dalı, Sivas*³*Cumhuriyet Üniversitesi Tıp Fakültesi, Göğüs Cerrahisi Anabilim Dalı, Sivas***Amaç:** Dev hücreli tümörler (DHT) primer kemik tümörlerinin %5'ini oluşturmaktadır. Çok nadir olarak torakstan köken almaktadır (%1). Literatürde primer akciğer kökenli DHT'nin (PADHT) F-18-FDG afinitesini gösteren bir olguya rastlamış olup, biz de PADHT tanısı almış bir olguya sunmayı amaçladık.**Olgı:** Altı yaşlarında öksürük şikayeti ile göğüs cerrahisine başvuran kadın hastaya yapılan toraks BT'de sol akciğer üst lob anterior segmentte en büyük çaplı ~5 cm kitle lezyonun saptanması üzerine metabolik karakterizasyon amaçlı

F-18-FDG PET/BT görüntülemesi için kliniğimize yönlendirildi. Hasta 20 yıl önce düşme sonucu sağ diz ekleminde fraktür sonucunda platin implant operasyonu geçirmiş olup, o dönemde malignite yönünde bir patoloji rapor edilmemiştir. F-18-FDG PET/BT görüntülerinde sol akciğer üst lob anterior segmentte plevra tabanlı, etrafında periferik kalsifikasyon gösteren, ortasında minimal kaviter görünüm izlendi (~2,5x5 cm boyutlarında artmış FDG tutulumu gösteren kitle lezyon izlendi (SUV_{max} : 12,9)). Vücut inceleme alanına giren diğer kesitlerinde F-18-FDG dağılımı normaldi. Eş zamanlı yapılan tüm vücut kemik sintigrafisinde diz eklemi çevresinde proteze ait fotopenik alan dışında primer/metastatik sintigrafik patolojik bulgu saptanmadı. Göğüs cerrahisi tarafından kitle eksizyonu yapılan olguda, patolojik incelemeye yapılan ek incelemeler sonucunda primer akciğer DHT kabul edildi.

Sonuç: Yumuşak dokunun DHT'si (YDHT) oldukça nadir görülen bir patoloji olup, ilk kez 1972'de gösterilmiştir. Folpe ve ark. YDHT'yi benign gidişatından ve kemoterapi (KT)/radyoterapi (RT) gereksinimi olmadığından "düşük malign potansiyelli DHT" olarak isimlendirmiştir. Histolojik ve immünohistokimyası özellikleri kemik orijinli DHT'lere oldukça benzemektedir. Literatürde YDHT'lere ait az sayılı seriler bulunmakla birlikte, plevra kaynaklı DHT biri mezotelyoma zemininde olmak üzere iki olguda, PADHT ise bir olguda gösterilmiş olup bu olgudaki lezyonun ^{18}FDG afinitesi SUV_{max} : 3,1'dir. Olgumuz, PADHT'nin FDG afinitesini gösteren ikinci olgu olup, ilk olgunun aksine FDG afinitesi oldukça yüksektir. Histolojik olarak yüksek oranda benign tümörler olsa da literatürde birkaç olguda metastaz gösterilmiş olup, bu tümörlerin histolojisinde 10 büyütmede >30 mitotik aktivite ve vasküler invazyon saptanmıştır. Kemik orijinli DHT'lere aksine tedavisinde debulking ve yakın takip yeterli olmaktadır. Olgumuzdaki tümörün F-18-FDG afinitesinin yüksek olmasından dolayı yakın takip özellikle önerilmiştir.

Anahtar Kelimeler: Akciğer dev hücreli tümör, PET/BT**Şekiller.**

Notlar: Araştırmalarımıza göre olgumuz literatürde primer akciğer dev hücreli tümör tanısında FDG afinitesinin gösterildiği ikinci olgu olup, olgumuzun ilk olgudan farklı, farklı düzeyde FDG afinitesinin olduğunu söylemektedir. Bilgilerinize sunulur. Saygılarımsızla

[PS-048]

Kardiyak Sendrom X Hastalarında Yeni Enflamatuvar Parametrelerin DeğerlendirilmesiEmine Göknur Işık¹, Macit Kalçık², Mücahit Yetim², Semra Demirtaş¹, Yusuf Karavelioğlu², Gülin Uçmak^{1,3}¹*Hitit Üniversitesi, Erol Olçok Eğitim ve Araştırma Hastanesi, Nükleer Tip Kliniği, Çorum*²*Hitit Üniversitesi, Erol Olçok Eğitim ve Araştırma Hastanesi, Kardiyoloji Kliniği, Çorum*³*Dr. Abdurrahman Yurtaslan Ankara Onkoloji Eğitim ve Araştırma Hastanesi, Nükleer Tip Kliniği, Ankara*

Amaç: Kardiyak sendrom X hastalığı egzersiz ile artan göğüs ağrısı ve efor testi veya miyokard perfüzyon sintigrafisi (MPS) ile gösterilmiş iskemi olan hastalarda koroner anjiyografi (KAG) ile normal koroner arterlerin tespit edildiği durumdur. Genellikle alitta yatan mikrovasküler hastalık, anormal koroner vasküler rezistans veya subendokardiyal iskemiyle ilişkilendirilmiştir. Son zamanlarda yayınlanan makalelerde ortalama trombosit hacmi, nötrofil/lenfosit oranı, trombosit/lenfosit oranı ve ortalama trombosit hacmi/trombosit oranı gibi yeni enflamatuvar parametreler ile kardiyovasküler hastalıklar arasında anlamlı ilişkiler bildirilmiştir. Bu çalışmada KAH ön tanısıyla tetkik edilen ve MPS'de çeşitli derecelerde iskemi tespit edilip KAG'de normal koroner arter izlenen hastalarda yeni enflamatuvar parametrelerin rolünü araştırılmış amaçlanmıştır.

Yöntem: Çalışmaya Mayıs 2015-Ocak 2017 tarihleri arasında koroner arter hastalığı (KAH) ön tanısı ile MPS yapılmış iskemi tespit edilmiş ve KAG yapılmış 235 hasta (ortalama yaşı: $58,9 \pm 9,8$; Erkek: 120) dahil edildi. Hastaların transtorasik ekokardiyoografı sonuçları, efor testleri, demografik verileri, laboratuvar parametreleri, MPS ve KAG sonuçları değerlendirildi. Kardiyak sendrom X hastalarının verileri kritik koroner arter hastalığı tespit edilen hastaların verileri ile karşılaştırıldı.

Bulgular: Çalışmaya dahil edilen 235 hastanın 145'inde KAG ile normal koroner arterler izlendi ve bu hastalar olası yanlış pozitif sonuçlardan bağımsız olarak semdrom X olarak kabul edildi. Doksan iki hastada koroner iskemiye sebep olabilecek ciddi KAH tespit edildi. KAG'de normal koroner arterler izlenen hastalar Kardiyak sendrom X olarak kabul edildi. Tüm hasta grubunda MPS'nin KAH için pozitif prediktif değeri %39,1 olarak hesaplandı. Kardiyak sendrom X hastaları ile KAH tespit edilen hastalar arasında yeni enflamatuvar parametreler açısından anlamlı fark izlenmedi (Tablo 1).

Sonuç: Kardiyovasküler hastalıklar ile ilişkili bulunan yeni enflamatuvar parametrelerin MPS'de iskemi tespit edilip KAG'de normal koroner arterler izlenen Kardiyak Sendrom X hastalarında rolünün olmadığı görülmektedir.

Anahtar Kelimeler: Miyokard perfüzyon sintigrafisi, koroner anjiyografi, kardiyak sendrom X, yeni enflamatuvar parametreler

Tablo 1.

	Kardiyak sendrom X	KAH	p değeri
Beyaz küre sayısı	$7,97 \pm 1,98$	$8,37 \pm 1,94$	0,193
Hemoglobin	$14,07 \pm 1,65$	$14,02 \pm 1,88$	0,859
Nötrofil sayısı	$4,80 \pm 1,70$	$5,20 \pm 1,61$	0,125
Lenfosit sayısı	$2,45 \pm 0,80$	$2,44 \pm 0,73$	0,930
Nötrofil/Lenfosit oranı	$1,88 (1,46-2,46)$	$2,01 (1,68-2,62)$	0,146
Trombosit sayısı	$269,83 \pm 71,68$	$256,37 \pm 53,73$	0,184
Trombosit/Lenfosit sayısı	$122,41 \pm 57,46$	$116,60 \pm 60,10$	0,521
Ortalama trombosit hacmi	$9,76 \pm 1,11$	$9,80 \pm 1,12$	0,833
Ortalama trombosit hacmi/Trombosit oranı	$0,04 \pm 0,01$	$0,04 \pm 0,01$	0,522

[PS-049]

F-18-FDG PET/BT ile Eozinofilik Granülomatöz Vaskülitin (Churg-Strauss) Akciğer Tutulumunun Tespiti

Mutlay Keskin¹, Derya Bako Keskin², Zuhal Kandemir¹, Duygu Has Şimşek⁴, Nilüfer Yıldırım¹, Elif Özdemir³, Şeyda Türkölmez³

¹Ankara Atatürk Eğitim ve Araştırma Hastanesi, Nükleer Tip Kliniği, Ankara

²Ankara Üniversitesi Tıp Fakültesi, Radyoloji Anabilim Dalı, Ankara

³Yıldırım Beyazıt Üniversitesi Tıp Fakültesi, Nükleer Tip Anabilim Dalı, Ankara

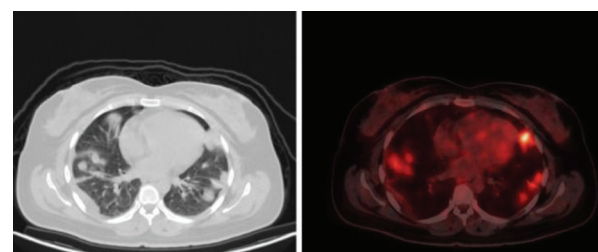
⁴Şişli Hamidiye Etfal Eğitim ve Araştırma Hastanesi, Nükleer Tip Kliniği, İstanbul

Amaç: Eozinofilik granülomatöz vaskülit, değişik organlardaki küçük damarların eozinofilik işgali ve granülomatöz enflamasyonu ile seyreden sistemik nekrotizan bir vaskülitidir. Eozinofilik enfiamasyon ve küçük damar vaskülitü akciğer, kalp, barsak, böbrek, deri, santral sinir sistemi ve periferal sinirleri tutabilir. Klinik bulgular astım, eozinofili, pulmoner infiltrasyon, sinüzit, multipl mononörit olabilir. Bu sunumda eozinofilik granülomatöz vaskülitin akciğer tutulumunu gösteren F-18-FDG PET/BT bulgularının sunulması amaçlanmıştır.

Olgu: Otuz altı yaşında kadın hasta hastanemize tekrarlayan astım atakları ve öksürük şikayeti ile başvurdu. Çekilen direkt grafide ve bilgisayarlı tomografi kesitlerinde her iki akciğerde şüpheli konsolidde alanlar gözlenmesi üzerine, malignite ayıricı tanısının yapılması amacıyla F-18-FDG PET/BT taraması için kliniğimize refere edildi. Görüntülemede artmış metabolik aktivite tutulumu gösteren büyüğü sağ akciğer alt lob bazal yerleşimli 33 mm çaplı olmak üzere, çoğu plevraya dayalı, bir kısmı buzlu cam dansitesinde, dağınık yerleşimli konsolidde alanlar izlenmiştir (SUV_{max} : 5,15). Hiler-mediastinal patolojik metabolik aktivite tutulumu gösteren lenfadenopati gözlenmemiştir. Kan tetkiklerinde C-reaktif protein yüksek ($8,28 \text{ mg/L}$) ölçülmüştür. Miyeloperoksizad-spesifik antinötrofil sitoplazmik antikor tespit edilmemiştir. Seroloji sonuçlarında periferal kanda IgE düzeyi yüksek (823 IU/mL ; normal, 0-100 IU/mL) olarak bulunmuştur. Bulgular değerlendirildiğinde, akciğerde çok sayıda hipermetabolik lezyon olmasına rağmen akciğer dışı alanlarda patolojik metabolik-morfolojik değişiklik gözlenmemesi, laboratuvar bulgularında alerjik markırların yüksek değerlerde olması, sürecin malignite dışı patolojiler ile uyumu olabileceği şeklinde yorumlanmıştır. Histopatolojik değerlendirmede akciğer parankiminde küçük nekroz odaklıları içeren granülom yapıları ile eozinofil lökositlerin baskın olduğu vaskülit bulguları izlenmiş olup bulgular Churg-Strauss sendromu ile uyumlu olarak değerlendirilmiştir.

Sonuç: Bu olgu sunumunda eozinofilik granülomatöz vaskülite ait akciğer tutulumu F-18-FDG PET/BT ile tespit edilmiştir. Literatürde büyük damar vaskülit ve Wegener granülomatozisine bağlı enflamasyonun yaygınlığının ve şiddetinin değerlendirilmesinde F-18-FDG PET/BT'nin kullanılabilceğini belirtmiş olup olgumuzda olduğu gibi enflamatuvar vaskülit tanısı alan hastalarda hastalığın tüm organlardaki etkisini belirlemeye F-18-FDG PET/BT'nin yararlı olacağını düşünmektedir.

Anahtar Kelimeler: Churg Strauss, PET/BT, vaskülit



Resimler.

[PS-050]

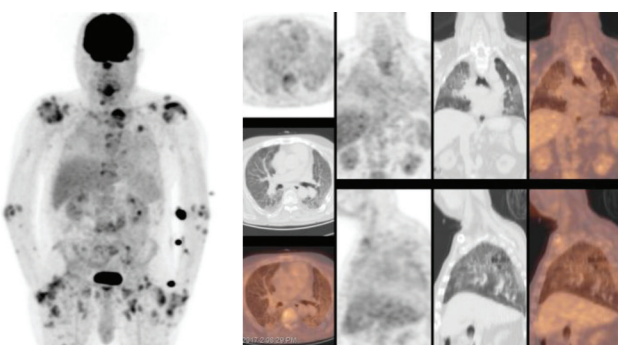
F-18 FDG PET/BT ile Okronozis Tutulumu YayınlığıEmine Acar¹, Recep Bekiş¹, Berrin Zengin², Merih Birlik²¹Dokuz Eylül Üniversitesi Tıp Fakültesi, Nükleer Tıp Anabilim Dalı, İzmir²Dokuz Eylül Üniversitesi Tıp Fakültesi, İç Hastalıkları Anabilim Dalı, İmmünoloji-Romatoloji Bilim Dalı, İzmir

Amaç: Okronozis, bağ dokusunda homogenistik asit birikmesi ile pigmentasyona neden olan otozomal resesif geçişli doğumsal metabolizma hastalığıdır. En önemli morbidite nedenleri; 4. ve 6. dekadlarında görülen okronotik artropati ve kardiovasküler tutulumdur. Bu olgu sunumunda mediastinel lenfadenopatinin natürünün değerlendirilmesi amacıyla F-18 FDG PET/BT görüntülemesi yapılan okronozis tanılı 48 yaşındaki erkek hastanın hastalık yaygınlığının ve okronozisin F-18 FDG PET/BT bulgularını bildirmektedir.

Olgı: Toraks BT'de sağ alt paratrakeal alanda 15 mm lenf nodu tanımlanan 48 yaşındaki erkek hastanın lenf nodunun natürünün aydınlatılması amacıyla F-18 FDG PET/BT istemi yapıldı. Nükleer tip anabilim dalında 8 mCi F-18 FDG'nin intravenöz enjeksiyonundan 60 dakika sonra Philips Gemini TOF 16 slice PET/BT cihazında 10-12 yatak pozisyonu, her bir görüntülemede 1,5 dakika emisyon görüntüleme olacak şekilde F-18 FDG PET/BT görüntülemesi yapıldı. Tüm vücut görüntüleri değerlendirildiğinde; her iki akciğerde yaygın olarak izlenen pulmoner fibrozis ile uyumlu bal peteği görünümü alanlarında SUV_{max} değeri 2,0 olan hafif düzeyde F-18 FDG tutulumu mevcuttu. Ayrıca sol temporal kemikte, her iki glenohumoral eklemede, her iki dirsek ekleminde, her iki el bileği ekleminde, her iki el metakarpal kemiklerinde, her iki el falankslarında, her iki üst ekstremité kemiklerinde, tıroid kartilaj sağında, sol sternoklavikular eklemede, her iki klavikula, her iki skapulada, tüm vertebral kolonda, pelvik kemiklerde, sol sakroiliak eklemede, her iki kalça ekleminde, her iki femur 1/3 proksimal kesiminde izlenen fraktür, skleroz ve dejenerasyon alanlarında SUV_{max} değeri 6,3 olan multipl artmış F-18 FDG tutulumları izlendi. Hastanın öyküsü derinleştirildiğinde 2008 yılında okronozis tanısı aldığı, buna bağlı pulmoner fibrozisi, el-ayak-diz eklemlerinde artriti olduğu öğrenildi.

Sonuç: Okronozis tanısı, artriti ve pulmoner fibrozisi bilinen hastada; artritin yaygınlığı ve bilinmeyen kemik tutulumları F-18 FDG PET/BT ile gösterilmiştir. Bu çalışma literatürde F-18 FDG PET/BT ile hastalık yaygınlığının görüntülentiği ilk okronozis olgusudur.

Anahtar Kelimeler: Okronozis, alkaptonüri, F-18 FDG PET/BT



Resimler

[PS-051]

Ablasyon Öncesi Tc-99m Perteknetat ile Postablasyon I-131 Tarama Sintigrafisinin Rezidü Dedeksiyonu Açısından Karşılaştırılması

Gözde Mütevelizade, Gül Gümüşer, Elvan Sayıt

Manisa Celal Bayar Üniversitesi Tıp Fakültesi, Nükleer Tıp Anabilim Dalı, Manisa

Amaç: Diferansiye tiroid kanserlerinin tedavisi total tiroidektomi ve radyoaktif iyot (I-131) ile ablasyondur. Radyoaktif iyot (RAİ), rezidü doku ablasyonu ve/veya metastazların tedavisinde oldukça önemli bir role sahiptir. Postoperatif dönemde RAİ öncesi rezidü doku varlığını değerlendirmek amacıyla Tc-99m perteknetat ile yapılan sintigrafi rutin pratikte sıkça kullanılmaktadır.

Yöntem: Kliniğimizde radyoaktif iyot ablasyonu verilen 28 hastanın (23 kadın, 5 erkek) tetkikleri retrospektif olarak incelendi. Her hastaya operasyondan 3-6 hafta sonra 10 mci Tc-99m perteknetat ile tıroid sintigrafisi ve mediasten görüntüleme, ablasyondan 7-10 gün sonra postablasyon I-131 tarama sintigrafisi yapıldı (Siemens, Evo Excel, Knoxville, USA). Radyoaktif iyot ablasyonu öncesi çekilen sintigrafi ile postablasyon taramada izlenen rezidü doku lokalizasyonları ve odak sayıları karşılaştırıldı.

Bulgular: Çalışmamızda 13 (%46,4) hastada her iki çekimde aynı lokalizasyonlarda ve aynı sayıda rezidü odağı saptandı. İki (%7,1) hastada Tc-99m sintigrafisi negatif iken, postablasyon taramada iyot tutulumu gösteren rezidü doku izlendi. Yedi (%25) hastada Tc-99m sintigrafisinde, 6 (%21,4) hastada da I-131 sintigrafisinde sayıca daha fazla odak saptandı.

Sonuç: Iyot tıroid hücrelerine trapping ile alınır (NIS protein) ve organifiye edilir. Tc-99m perteknetat ise hücre içine trapping (Na-K-ATPaz) ile girer ancak iyottan farklı olarak organifiye edilemez. İki ajan arasındaki bu farklılıktan dolayı 6 (%21,4) hastada I-131 sintigrafisinde sayıca daha fazla rezidü odağı saptandığı, 2 (%7,1) hastada ise Tc-99m sintigrafisi negatif iken, postablasyon taramada iyot tutulumu gösteren rezidü doku izlendiği düşünülmüştür. Yedi (%25) hastada Tc-99m sintigrafisinde, sayıca daha fazla odak saptanmıştır; bunun nedeninin I-131 postablasyon görüntülerde oluşan star artefakta bağlı olduğu düşünülmüştür. Her iki tetkik arasında rezidü doku değerlendirilmesi açısından hastanın yönetimini değiştirecek ölçüde fark saptanmadığı ve ablasyon öncesi rezidü değerlendirme ucuz ve kolay uygulanabilir olduğundan Tc-99m perteknetat sintigrafisinin rutin pratikte kullanılmaya devam edilmesinin uygun olduğu düşünülmüştür.

Anahtar Kelimeler: Tiroid kanseri, rezidü, I-131, Tc-99m perteknetat

[PS-052]

Erken Evre Over Kanserinde Rezidü/Rekürren Doku Tespitinde CA-125 Değeri ve PET/BT'nin KarşılaştırılmasıGül Çekin¹, İncim Bezircioğlu², Hakan Yetimalar³, Fatih Yeşil¹, Seyran Yiğit⁴, Neşe Ekinci⁴¹İzmir Katip Çelebi Üniversitesi Tıp Fakültesi, Atatürk Eğitim ve Araştırma Hastanesi, Nükleer Tıp Kliniği, İzmir²İzmir Ekonomi Üniversitesi Tıp Fakültesi, Kadın Hastalıkları ve Doğum Anabilim Dalı, İzmir³İzmir Özel Medifema Hastanesi, Jinekolojik Onkoloji Kliniği, İzmir⁴İzmir Katip Çelebi Üniversitesi Tıp Fakültesi, Atatürk Eğitim ve Araştırma Hastanesi, Tıbbi Patoloji Kliniği, İzmir

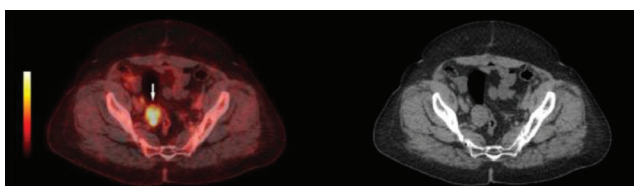
Amaç: Erken evre over kanseri tanısı olan ve izlemde rezidü/rekürren doku şüphesi olan hastalarda PET/BT'nin ve Ca-125 değerinin etkinliğini araştırmaktır.

Yöntem: Mart 2010 ile Mart 2016 tarihleri arasında İzmir Atatürk Eğitim ve Araştırma Hastanesi'nde tedavi ve takipleri yapılan, izlemde rezidü/rekürrens şüphesi olan histopatolojik olarak over kanseri tanısı konmuş 5 hastaya ait 7 PET/BT görüntülemesi retrospektif olarak değerlendirildi. Hastaların ortalama yaşı 59,7 yıl olup yaş aralığı 56-63'tür. Histopatolojileri, FIGO evresi ve uygulanan tedavi protokollerini Tablo 1'de özetlenmiştir. F-18-FDG ile yapılan PET/BT'de bulgular pozitif veya negatif olarak değerlendirilmiştir. Hastaya ait PET/BT sonucu ve görüntüleme esnasındaki serum Ca-125 değeri, takibinde yapılan biyopsi veya cerrahi işlem sonrasında konulan histopatolojik tanıyla karşılaştırılmıştır.

Bulgular: PET/BT'de metastaz en sık lenf nodlarında izlenmiştir. Yedi görüntülemenin 6'sında (%85,7) batın pelvik lenf nodu, 4'ünde (%57,1) primer tümör bölgesi, 1'inde (%14,2) peritoneal alan pozitiftir (Tablo 2). Ortalama $SUV_{max} \pm$ standart deviasyon batın pelvik lenf nodunda $7,9 \pm 5,4$, primer tümöral bölgede $6 \pm 1,7$ olarak tespit edilirken peritoneal bölgede elde edilen tek lezyonun ortalama SUV_{max} değeri 8,9'dur. Yedi PET/BT görüntülemesinin 6'sında histopatolojik olarak rezidü/rekürrens tanısı konmuştur. PET/BT bulguları rezidü/rekürrens tanılı tüm hastalarda pozitiftir (Şekil 1). Histopatolojisinde inflamatuvlar değişiklik tanısı konan bir hastada PET/BT'de yalancı pozitif sonuç elde edilmiştir. Ca-125 değeri; 7 görüntülemenin 4'ünde normal sınırlarda, 3'ünde yüksek seviyede bulunmuştur. Ca-125 değeri ile histopatolojik sonuçlar birlikte değerlendirildiğinde 3 gerçek pozitif, 1 gerçek negatif ve 3 yalancı negatif sonuç elde edilmiştir.

Sonuç: Over kanserinin erken evrede tanı sıklığının düşük olması, çalışmada PET/BT ile histopatolojik sonuçların karşılaştırılması gibi nedenlerle az sayıda hastamızın olması çalışmamızın kısıtlayıcı faktörlerindendir. Bununla birlikte ileri dönemde çalışmaya dahil hasta sayısını çoğaltılmayı planlamaktayız. Erken evre over kanseri tanılı hasta grubundan rezidü/rekürren doku tespitinde PET/BT, tedavi planlanmasında klinisyene yol gösteren yararlı bir görüntüleme yöntemidir.

Anahtar Kelimeler: Erken evre over kanseri, rezidü/rekürren doku, Ca-125, PET/BT



Şekil 1. Evre IA over kanseri tanısı 58 yaşındaki hastada, klinik takibin 2. yılında sağ adneksiyal alanda tespit edilen, 39x30 mm boyutlu, rezidü/rekürren doku ile uyumlu hipermetabolik yumuşak doku lezyonunun (SUV_{max} : 7,3) PET/BT'de aksiyel kesitte füzyon ve BT imajları

Tablo 1. Hastalara ait karakteristik bulgular

Parametre	Değer
Hasta sayısı (n)	5
PET/BT sayısı	7
Yaş ortalaması	59,7
Yaş aralığı (yıl)	56-63
Tümör histopatolojisi	n (%)
*Epitelial tümör	2 (40)
Seröz karsinom	1
Transizyonel hücreli karsinom	1
*Nonepitelyal tümör	3 (60)
Malign transformasyon gösterten teratom	1
Granuloza hücreli tümör	2
Tedavi modalitesi	n (%)
*Cerrahi + kemoterapi	4 (80)
*Yalnız cerrahi	1 (20)
FIGO sınıflaması	n
*IA	2
*!C3	3

Tablo 2. Rekürrensli hastalarda PET/BT'de saptanan pozitif bulguların özellikleri

Lokalizasyon	n (%)	Ortalama $SUV_{max} \pm$ standart deviasyon
Batin pelvik lenf nodu	6 (85,7)	$7,9 \pm 5,4$
Peritoneal bölge	1 (14,2)	8,9
Primer tümöral bölge	4 (57,1)	$6 \pm 1,7$

[PS-053]

Akciğer Dışı Tüberkülozda PET/BT'nin Faydası: Olgu Sunumu

Ebru İbişoğlu¹, Hatice Sınav Uslu¹, Mehmet Tarık Tatoğlu¹, Serkan Güngör¹, Yasemin Çağ²

¹Istanbul Medeniyet Üniversitesi, Göztepe Eğitim ve Araştırma Hastanesi, Nükleer Tip Kliniği, İstanbul

²Istanbul Medeniyet Üniversitesi, Göztepe Eğitim ve Araştırma Hastanesi, Enfeksiyon Hastalıkları Kliniği, İstanbul

Amaç: Tüberküloz vücutta herhangi bir organda görülebilir. Akciğer tüberkülozu oldukça yaygın虽然 görünürken akciğer dışı organ tüberkülozları nadir olarak görülmektedir. Akciğer dışı organ tüberkülozları tanısı oldukça zordur. Hastalar genellikle malignite düşündürmen semptomlarla, genel durum bozukluğu ile başvurmakta ve hastalara neoplazi ön tanısı ile ileri tetkikler uygulanmaktadır. Malignite kuşkusunu ile PET/BT çalışması yapılan hastanın sunulması amaçlanmıştır.

Yöntem: Hasta, hastanemiz enfeksiyon hastalıkları bölümüne 3 ayda 10 kilo kaybı ve ateş bulguları ile başvurmuş. Yapılan US ve akciğer grafileri normal, kolonoskopik inceleme doğal olarak değerlendirilmiş. Gastroскопide gözlenen lezyonlardan biopsiler yapılmış ve doğal olarak gelmiş. Hepatit A, B, C, EBV, CMV, toxoplazma enfeksiyonları dışlanmış ve VDRL negatif

gelmiş. PPD 6 mm olarak ölçülmüş. Bunun üzerine hasta malignite tetkik amaçlı kliniğimize yönlendirildi ve yapılan PET/BT çalışmasında supra-infradiafragmatik yerlesimli artmış FDG tutulumu gösteren multipl LAP'lar (SUD_{max} : 13,7-8,2), karaciğerde (SUD_{max} : 22,6) ve dalakta (SUD_{max} : 11,2) artmış FDG tutulumu gösteren kitlesel lezyonlar saptandı.

Bulgular: Bulgular bize öncelikle lenfoproliferatif hastalıkları düşündürmüştür olup hastadan histopatolojik örneklem önerildi. PET/BT çalışması bulguları ışığında dalaktan yapılan histopatolojik inceleme sonucu kazeifiye nekrotik granülomatöz iltihap saptanması ile hastada tüberküloz düşünüldü ve tedavi başlandı.

Sonuç: Görüntülemedeki gelişmelere rağmen akciğer dışı tüberkülozların tanısı oldukça zordur. Tüberküloz tanısında konvansiyonel görüntüleme yöntemleri yanında bögesel BT ve MR'de kullanılabilirmektedir. Non-invaziv bir yöntem olan PET/BT akciğer-akciğer dışı tüberküloz tanısında kullanılabilen bir yöntemdir. Her ne kadar tüberkülozdaki FDG tutulum paterni malignite ve lenfomalarla benzerlik gösterse de PET/BT çalışmasının spesifitesi düşük olmasına rağmen sensitivitesi yüksektir. Ayrıca PET/BT çalışması ile vücuttan tamamının taranabilmesi, akciğer ve akciğer dışı tüberkülozun tanısı için gerekli uygun histopatolojik örneklem odağının belirlenmesine yardımcı olmaktadır.

Anahtar Kelimeler: PET/BT, akciğer-akciğer dışı tüberküloz

[PS-054]

Glukoz Transporter 1-XBA1 G>T Polimorfizminin Jinekolojik Kanserlerde F-18 FDG Tutulumu Üzerine Etkisi

Olga Yaylalı¹, Aylin Köseler², Derya Kılıç Sakarya³, Doğangün Yüksel¹, Tarık Şengöz¹, Veysel Fenkçi³

¹Pamukkale Üniversitesi Tip Fakültesi, Nükleer Tıp Anabilim Dalı, Denizli

²Pamukkale Üniversitesi Tip Fakültesi, Biyofizik Anabilim Dalı, Denizli

³Pamukkale Üniversitesi Tip Fakültesi, Kadın Hastalıkları ve Doğum Anabilim Dalı, Denizli

Amaç: F-18 FDG PET/BT artmış glikoz metabolizması gösteren fonksiyonel tümör dokusunu tespit edebilen görüntüleme yöntemidir. Bu yönteme görüntüler görsel ve kantitatif olarak değerlendirilerek tümör hakkında anatomi ve metabolik bilgi elde edilmektedir. Tümör dokusundaki standart tutulum değeri (SUV), ortalama aktivitenin verilen doz ve hastanın ağırlığına göre düzeltilmiş değeridir. F-18 FDG hücreye GLUT yardımıyla kolaylaştırılmış diffüzyon ile girip hekzokinaz tarafından FDG-6-fosfata dönüştürülür ve hücre içinde birikir. Kanser hücrelerinde GLUT1 aşırı ekspresyon söz konusudur. Tek nükleotid polimorfizmleri gibi genetik varyasyon büyük ölçüde gen ifadesini ve proteinlerin fonksiyonlarını etkileyebilir. Bu prospektif ön çalışmamızda, jinekolojik kanserlerde GLUT1-Xba1 G>T (rs2754218) polimorfizminin F-18 FDG tutulumunu etkileyip etkilemediğini ve eğer etkiliyorsa nasıl etkilediğini araştırmayı amaçladık.

Yöntem: Pamukkale Üniversitesi Nükleer Tıp Bölümü'ne, jinekolojik (over, serviks, endometriyum) kitle tanısı alarak evreleme amacıyla başvuran ve F-18 FDG PET/BT tetkiki yapılan 13 hasta çalışmaya dahil edildi. Hastaların PET/BT görüntüleri değerlendirerek kitle lezyonu metabolizması (SUV_{max}) ve beraberinde metastatik odakların olup olmadığı değerlendirildi. PET/BT çalışmasından hemen önce hastaların periferik kanından elde edilen DNA GLUT1-Xba1 G>T (rs2754218) polimorfizmi hastalarda belirlenerek F-18 FDG tutulum oranlarının üzerine etkisini araştırılmıştır.

Bulgular: Toplam 13 hastanın yaş ortalaması $54,61 \pm 15,39$, SUV_{max} ortalaması $11,54 \pm 7,73$ olarak belirlendi. Hastalardan 9 tanesinde primer malign tümör dokusu dışında metastatik lezyon saptanmamış olup 4 hastada metastatik odaklar saptanmıştır. GLUT1-Xba1 G>T gözlenmeyen hastalarda

(3 hasta) SUV_{max} değerleri; 24,30, 25,22 ve 19,37 olarak belirlenmiştir. GLUT1-Xba1 G>T gözlenen hastalarda ise (10 hasta), en düşük SUV_{max} değeri <2,50, en yüksek SUV_{max} değeri ise 13,70 olarak saptanmıştır.

Sonuç: GLUT1-Xba1 G>T gözlenmeyen hastalardaki SUV_{max} değerleri, gözlenenlere göre daha yüksektir. Ancak anlamlı bir fark olup olmadığını ve DNA GLUT1-Xba1 G>T polymorfizmin, jinekolojik tümörlerde F-18 FDG tutulumunu nasıl etkileyeceğini dair bilgi sağlamada hasta sayımızın az olması nedeni ile çalışma tamamlandığında bu ilişki değerlendirilecek ve prognostik faktör olarak kullanılıp kullanılmayacağı konusunda, literatüre katkı sağlanacağı düşünülmektedir.

Anahtar Kelimeler: DNA GLUT1-Xba1, jinekolojik kanser, PET/BT

[PS-055]

Paragangiomal Bir Olguda FDG PET/BT Bulguları: Adrenerjik Stimülasyona Bağlı Kahverengi Yağ Dokusu Aktivasyonu

Elif Özdemir¹, Zuhar Kandemir², Mutlay Keskin², Nilüfer Yıldırım², Didem Özdemir³, Şeyda Türkölmez¹

¹Ankara Yıldırım Beyazıt Üniversitesi Tip Fakültesi, Nükleer Tıp Anabilim Dalı, Ankara

²Ankara Atatürk Eğitim ve Araştırma Hastanesi, Nükleer Tıp Kliniği, Ankara

³Ankara Yıldırım Beyazıt Üniversitesi Tip Fakültesi, Endokrinoloji ve Metabolizma Hastalıkları Bilim Dalı, Ankara

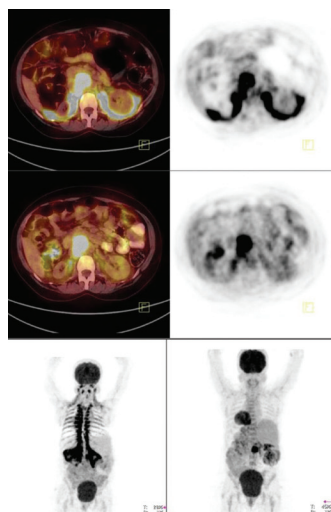
Amaç: Adrenerjik stimülasyon beta ve alfa reseptörler aracılığı ile kahverengi yağ dokusunda (KYD) aktivasyona neden olur. KATEKOLAMINLER özellikle beta reseptörler aracılığıyla kahverengi adipositlerde glukoz transporter düzeyini artırır ve bu durum PET görüntülemede artmış FDG tutulumuna neden olur. Bu olgu sunumunda paraganglioma tanılı bir olguda FDG PET/BT görüntülemede izlenen belirgin KYD aktivasyonu ve propranolol ile farmakolojik olarak bu aktivasyonun süpresyonu sonrası tekrar görüntüleme bulguları sunulmaktadır.

Ölgu: İdrar ve kan katekolamin düzeyleri yüksekliği ve abdomen BT'de paraaortokaval alanda 65x36 mm boyutlarında, sol surrenal glandda 16x12 mm boyutlarında kontrast madde tutulumu gösteren solid lezyonlar izlenen 42 yaşındaki kadın hasta, malign feokromasitoma/paraganglioma ölü tanıyla GLUT1-Xba1 G>T (rs2754218) polimorfizminin F-18 FDG PET/BT görüntülemede paravertebral, mediastinal, paravertebral ve perirenal alanlarında KYD aktivasyonuna sekonder yağ planlarında heterojen dansite artımı ve yoğun artmış FDG tutulumu izlenmiştir. Özellikle perirenal alanlarda aktivitenin değerlendirilmesi güçleşmemesi nedeniyle, kahverengi yağ doku aktivitesini baskılama amacıyla hastaya ayrı bir günde beta bloker (20 mg propranolol) uygulanmasından 60 dk sonra FDG enjeksiyonu yapılarak görüntüleme tekrarlandı. Propranolol sonrası görüntülemede KYD aktivitesinde belirgin azalma izlendi. Paraaortokaval alanda 59x36x61 mm boyutlarında lobule konturlu solid kitle lezyonunda artmış FDG tutulumu (SUV_{max} : 15,58), sol surrenalde izlenen 16x12 mm boyutlu solid lezyon alanında hafif düzeyde artmış FDG tutulumu (SUV_{max} : 3,6) izlenmiştir. Opereli hastanın histopatolojik değerlendirmesinde paraaortokaval lezyon ekstraadrenal paraganglioma ile uyumlu olup ve komşu lenf nodunda mikrometastaz saptanmış, sol surrenal lezyon ise adrenal kortikal adenom ile uyumlu olarak değerlendirilmiştir. Yaygın lenfovasküler invazyon, lenf nodunda mikrometastaz ve neoplazide nekroz alanları izlenmesi malign biyolojik davranış lehine yorumlanmıştır.

Sonuç: KYD metabolik olarak aktif bir yapı olup; aktivitesi yaş, cinsiyet, ısı ve vücut kitle endeksi ile ilişkilidir. Sempatik sinir sistemi KYD aktivasyonunda önemli rol oynar. Feokromasitoma, paraganglioma gibi katekolamin yüksekliği olan hastalarda FDG PET/BT görüntülemede, KYD tutulumuna

bağlı yanlış değerlendirmeleri önlemek için FDG enjeksiyonu öncesi beta bloker ilaçlar uygulanarak görüntüleme yapılması önerilmektedir.

Anahtar Kelimeler: Kahverengi yağ dokusu, FDG, paraganglioma



Şekiller.

[PS-056]

Çocuk Hastada PET/BT Görüntülemede Nadir Endobronşiyal Enflamatuvan Miyofibroblastik Tümör

Pelin Özcan Kara¹, Zehra Pınar Koç¹, Elvan Çağlar Çitak², Ali Nayci³, Gökhan Berkutuğ Bahadır³, Taylan Kara⁴

¹Mersin Üniversitesi Tip Fakültesi, Nükleer Tip Anabilim Dalı, Mersin

²Mersin Üniversitesi Tip Fakültesi, Çocuk Onkoloji Bilim Dalı, Mersin

³Mersin Üniversitesi Tip Fakültesi, Çocuk Cerrahi Anabilim Dalı, Mersin

⁴Mersin Üniversitesi Tip Fakültesi, Radyoloji Anabilim Dalı, Mersin

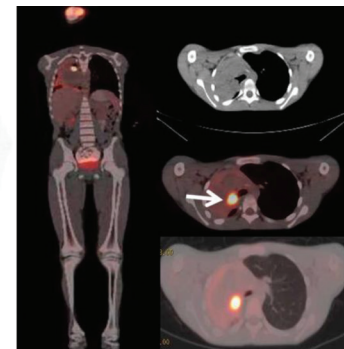
Amaç: Enflamatuvan miyofibroblastik tümör (EMT) her yaş grubunda görülebilmesinde rağmen çocuk ve adolesanada daha sık olarak saptanmaktadır. Bu olgu sunumunda, çocukluğunu grubunda oldukça nadir görülen endobronşiyal EMT lezyonunun literatürde ilk defa PET/BT görüntüleme bulguları sunulmuştur.

Olgu: Progresif öksürük, tekrarlayan pnömoni nedeni ile yapılan toraks BT tetkikinde endobronşiyal şüpheli lezyon saptanan 8 yaşında erkek çocuk hastada metabolik karekterizasyon amaçlı PET/BT tetkiki yapıldı. Hastaya 4 saat açlığı takiben kan glukoz düzeyi 88 mg/dL iken 5,82 mCi F-18-FDG iv. yoldan verildi. Hastaya 60 dk sonra kalvaryumdan ayak tabanına kadar 3D modunda yatak başına 2,5 dk olacak şekilde görüntüler alındı. PET/BT görüntülemede kalbin ve mediastinal vasküler yapıların sağa doğru yer değiştirdiği dikkati çekti. Sağ akciğerde havalanma büyük oranda azalmış olarak izlendi. Sağ ana bronşa yaklaşık 20x17 mm boyutunda belirgin hipermetabolik ($SUV_{max}= 17,52$) endobronşiyal kitle tespit edildi (Şekil 1). Sağ akciğerde postobstrüktif ateletikzai alanı izlendi. Tüm vücut görüntülemede ek patolojik odak saptanmadı. Transbronşiyal akciğer biopsisi önerilen hastada EMT tanısı konuldu.

Sonuç: EMT santral sinir sisteminden gastrointestinal kanala kadar herhangi bir anatomik bölgede görülebilen yumuşak doku tümör grubudur. Plazma hücre granülomasi, enflamatuvan psödotümör, ksantogranülom,

enflamatuvan fibrosarkom ve psödosarkomatöz miyofibroblastik proliferasyon olarak da adlandırılmaktadır. Akciğer ve abdomen en sık etkilenen bölgeler olmasına rağmen endobronşiyal lezyon prevalansının parankimal lezyona göre daha nadir bir durumdur. Bu olguda, PET/BT görüntülemede endobronşiyal lezyon belirgin artmış metabolik aktivite göstermiştir. Bu nedenle karsinoid tümör gibi endobronşiyal maligniteler ayırıcı tanısında yer almıştır ve malignite ekarte edilememiştir. Bu olgu sunumunda, çocuk hastada oldukça nadir görülen endobronşiyal EMT lezyonunun belirgin artmış FDG tutulumu gösterdiği dikkati çekmiş ve çocuk hastada literatürde ilk defa PET/BT görüntüleme bulguları sunulmuştur.

Anahtar Kelimeler: Enflamatuvan miyofibroblastik tümör, PET/BT, endobronşiyal lezyon



Şekil.

[PS-057]

Türkiye'de Yeni Bir PET Radyofarmasötik Ruhsatlandı: F-18 FLT

Sinem Sensoy, Hakan Bağcı, Zekiye Kurt

Eczacıbaşı Monrol Nükleer Ürünler San. Tic. A.Ş., İstanbul

F-18 ile işaretli Florotimidin (FLT), hücre proliferasyonunu gösteren ümit verici bir onkolojik PET ajanıdır. Yurt dışında uzun yıllardır çeşitli timidin türevlerinden başlanarak majistral olarak üretilip kullanılmakta olan bu radyofarmasötik ile ilgili Türkiye'deki ilk çalışmalar 2008 yılında başlamış olmasına rağmen en uygun türevin bulunması Avrupa Farmakopezi'yle uyumlu üretim ve kalite kontrol çalışmalarının optimizasyonunu takiben ruhsatlama aşamalarının tamamlanması ancak 2015 yılı sonunda gerçekleşebilmiştir. Bu çalışmada FLT 3-N-Boc-1-(5-O-(4,4'-dimethoxytrityl)-3-O-nosyl-2-deoxy-β-D-lyxofuranosyl) thymine türevinden başlanarak ve ürünün saflaştırılması için yüksek basınçlı sıvı kromatografisi de kullanılarak bir sentez işlemi ile üretilmiştir. Elde edilen ürünün radyonüklidlik, radyokimyasal, kimyasal ve mikrobiyolojik kalite kontrolü için kullanılan tüm yöntemler valide edilerek ruhsat dosyasında sunulmuştur. Bu sunu, ayrıntılı sentez ve kalite kontrol çalışmalarının yanı sıra Türkiye'de yeni bir radyofarmasötikin ruhsatlanmasından adımlarını da içermektedir.

Anahtar Kelimeler: F-18-FLT, radyofarmasötik, PET görüntüleme, ruhsatlı ilaç

[PS-058]

Miyokard Perfüzyon Sintigrafisinde İskemi Saptanıp Anjiyografisi Normal Koroner Arter Olarak Sonuçlanan Hastaların Retrospektif Değerlendirilmesi: Hitit Üniversitesi Deneyimi

Emine Göknur Işık¹, Macit Kaçık², Semra Demirtaş¹, Yusuf Karavelioğlu², Mücahit Yetim², Gülin Uçmak^{1,3}

¹Hitit Üniversitesi Erol Olçok Eğitim ve Araştırma Hastanesi, Nükleer Tip Kliniği, Çorum

²Hitit Üniversitesi Erol Olçok Eğitim ve Araştırma Hastanesi, Kardiyoloji Kliniği, Çorum

³Dr. Abdurrahman Yurtaslan Ankara Onkoloji Eğitim ve Araştırma Hastanesi, Nükleer Tip Kliniği, Ankara

Amaç: MPS; koroner arter hastalığı (KAH) tanısı ve takibinde etkili, vasküler darlığın <%50 olurlarda прогноз göstergesi olarak kullanılan bir yöntemdir. Bu çalışmada; KAH ön tanısıyla MPS'de iskemi bulunarak KAG yapılan ve normal koroner arter olarak değerlendirilen hastaların; MPS sonuçlarını retrospektif olarak değerlendirmek amaçlanmıştır.

Yöntem: 2015-2017 arasında KAH ön-tanısıyla MPS ve KAG yapılan 13'ü erkek 23'ü kadın 37 hasta çalışmaya dahil edildi. MPS'ler retrospektif olarak tekrar değerlendirildi. Hastaların efor testleri, BMI, EF değerleri, MPS, KAG sonuçları değerlendirildi.

Bulgular: Yaş ortalaması $53 \pm 11,4$, BMI $32,5 \pm 6,8$ idi. Üç hastaya adenozinle farmakolojik stres, diğerlerine efor yaptırıldı. Hedef kalp hızı $\%87,4 \pm 6,2$ ($n=34$) idi. Hastaların 29'unda hafif, ikisinde (K:2) orta, dördünden (K:2; E:2) belirgin iskemi tespit edildi. İki hastada iskemi okunmamasına rağmen anjiyo yapılarak normal olduğu görüldü. Yapılan Gated çalışmalarla ortalama hesaplanan EF $\%63,7$ (51-76) ($n=36$) idi. Hafif-iskemik 29 hastanın 15'inde anterior, 14'ünde inferior duvarda hafif iskemi saptandı. 15'inin tekrar değerlendirilmesinde beside iskemi olmadığı, dört tanesinin meme atenüasyonuyla uyumlu olduğu, birinin farmakolojik stres, diğerinin submaksimal efor nedeniyle heterojenite gösterdiği, diğerlerinde hafif iskemi olduğu görüldü. Inferior iskemik hastaların altısında diafram atenüasyonu izlenmiş, rest görüntülerinde rölatif reperfüzyon nedeniyle iskemi ekarte edilememiştir. Bir hastada farmakolojik strese bağlı heterojenite izlendi. Bir hastada eskrakardiyak aktivite görüldü. Kalan altı hastada hafif reperfüzyon saptandı. Orta-dereceli iskemik iki hastada stres-istirahat çalışmada heterojen aktivite dağılımı ve anterior duvarda iskemi izlenmiştir. Hastalardan birinde submaksimal eforde değerlendirme yapılmıştı. Belirgin-iskemik dört hastanın içinde inferior, birinde lateral-anterior duvarda iskemi mevcuttu. Inferior iskemi izlenen iki hastanın efor kapasitesinin yetersiz olduğu, BMI değerinin yüksek (BMI: 46) olduğu görüldü. Anterior-lateral iskemi tespit edilen hastada efor şüpheli, BMI değeri 39,5 idi.

Sonuç: BMI yüksekliği, meme büyüğlüğü, diafram atenüasyonu ve submaksimal efor yanlış pozitiflik sebebi olarak görülmektedir. MPS'de hafif düzeyde iskemi saptanan hastalarda KAG'de anlamlı darlık saptanması zorlaşır. Sendrom X ve mikrovasküler hastalığın MPS'de iskemi görünümü verirken, anjiyografide negatif sonuç çıkabileceği de akıldan çıkarılmamalıdır.

Anahtar Kelimeler: Miyokard perfüzyon sintigrafisi, koroner anjiyografi, yanlış pozitiflik

[PS-059]

Gated Miyokard Perfüzyon Sintigrafisinin Böbrek Transplantasyon Hastasını Nakil Öncesi Değerlendirmede Etkinliği

Ebru Özgörenel¹, Emel Ceylan Günay¹, İsmail Polat Canpolat²

¹İstanbul Bilim Üniversitesi Tıp Fakültesi, Nükleer Tip Anabilim Dalı, İstanbul

²İstanbul Bilim Üniversitesi Tıp Fakültesi, Kardiyoloji Anabilim Dalı, İstanbul

Amaç: Kardiyak ölüm oranları normal popülasyona göre artmış olan kronik böbrek yetmezliği hastalarında bilinen geleneksel kardiyovasküler risk faktörlerinin yanı sıra anemi, hipertansiyon azalmış hemoglobİN seviyeleri, mikroalbumini, enflamasyon artışı, oksidatif stres, kemik-mineral metabolizması hastalıkları gibi geleneksel olmayan risk faktörleri sonucu iskemik kalp hastalığı dışında sol ventrikül hipertrofisi, vasküler kalsifikasyonlar ve kalp yetmezliğinin etkin tanısı önem kazanmıştır. Bu çalışmada böbrek nakil adayı hastalarda kardiyovasküler hastalık riskinin değerlendirilmesinde Gated miyokard perfüzyon SPECT görüntülemenin etkinliğinin araştırılması amaçlanmıştır.

Yöntem: Böbrek transplant adayı olan 40 yaş üstü 152 hastanın dasası Şubat 2015-Şubat 2017 tarihleri arasında retrospektif olarak miyokard perfüzyon SPECT ile perfüzyon defekti açısından ve Gated çalışması ile enjeksiyon fraksiyonları, duvar hareketleri ve duvar kalınlığı açısından değerlendirildi.

Bulgular: Toplam 152 hastadan 111'inde perfüzyon defekti ya da patolojik gated çalışması bulguları yoktu. Yirmi bir hastada skar, 11 hastada da iskemi bulgusu izlendi. Dokuz hastada perfüzyon defekti izlenmezken duvar hareket bozukluğu mevcuttu. Takip dönemi içerisinde kardiyak olay nedeniyle ölüm ve/veya miyokard enfarktüsü izlenmedi.

Sonuç: Böbrek nakil adaylarında kardiyovasküler hastalığın tanısında multidisipliner yaklaşımın ve nakil sonrası takiben yadsınamaz önemiyle beraber Gated miyokard perfüzyon SPECT görüntülemenin etkin bir yöntem olduğu sonucuna varıldı.

Anahtar Kelimeler: Gated miyokard perfüzyon SPECT, böbrek transplantasyon

[PS-060]

Rektum Kanseri Hastalarda Evreleme F-18 FDG PET/BT'de Metastatik Lenf Nodu SUD_{max} ile Sağkalım İlişkisi

Gökse Alçın¹, Yasemin Şanlı², Esra Kaytan Sağlam³, Gülçin Yeğen⁴

¹Karadeniz Teknik Üniversitesi Tıp Fakültesi, Nükleer Tip Anabilim Dalı, Trabzon

²İstanbul Üniversitesi İstanbul Tıp Fakültesi, Nükleer Tip Anabilim Dalı, İstanbul

³İstanbul Üniversitesi Onkoloji Enstitüsü, Radyasyon Onkolojisi Anabilim Dalı, İstanbul

⁴İstanbul Üniversitesi İstanbul Tıp Fakültesi, Patoloji Anabilim Dalı, İstanbul

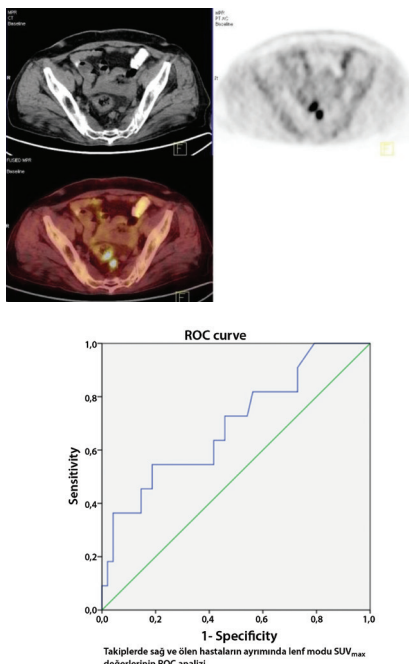
Amaç: Çalışmamızda rektum kanseri hastalarda evreleme amaçlı yapılan F-18 FDG PET/BT'de primer tümör SUD_{max} ve metastatik lenf nodu SUD_{max}'ın sağkalım ile ilişkisini araştırmayı amaçladık.

Yöntem: Bu retrospektif klinik çalışmaya arşivimizde Ocak 2010-Eylül 2014 tarihleri arasında rektum kanseri tanısıyla evreleme amaçlı F18-FDG PET/BT görüntüleme yapılan, ardından opere olan 115 hasta (39 kadın, 76 erkek; ortalama yaşı: $58,7 \pm 11,4$) dahil edildi. Hastaların primer tümör histopatolojik özelliklerini ve lokalizasyonu, klinik evresi, primer tümör ve metastatik lenf nodu maksimum standartize tutulum değerleri (SUD_{max}) hesaplandı. Tüm hastalar tedavi sonrası minimum 12 ay (12-75 ay) takip edildi.

Bulgular: Çalışmaya dahil edilen hastaların tümünde primer tümöre ait artmış FDG tutulumu gösterilmiştir. Çalışmamızda metastatik lenf nodu saptanmasında SUD_{max} değeri 1,7 cut-off alındığında F-18 FDG PET/BT'nin doğruluk, duyarlılık ve özgüllüğü sırasıyla %67,8, %76,9 ve %63,1 bulunmuştur. Primer tümör SUD_{max} değeri ile hastalık nüks-progresyonu ya da sağkalım arasında ilişki saptanmamış olup primer tümör SUV_{max} değerinin belirgin prognostik faktör olmadığı düşünülmüştür. Hastaların TNM 2010 evre grupları ile artmış FDG tutulumu gösteren lenf nodu SUD_{max} değerleri arasında ilişki saptanmıştır. Ayrıca nüks-progresyon ve sağkalımı öngörmekte lenf nodu SUD_{max} değeri incelenmiş ve sınırlı anlamlılık bulunmuştur. Nodal evre hastalık nüks-progresyonu ve sağkalım üzerine etkili prognostik bir faktör olarak saptanmıştır. F-18 FDG PET/BT'nin metastatik lenf nodlarını saptayarak nodal evrelemeye ve progoza katkısı olacağrı görülmektedir.

Sonuç: F-18 FDG PET/BT rektum kanserinde primer tümör ve metastazlarının saptanmasında etkili bir görüntüleme yöntemi olup lenf nodu SUD_{max} değerlerinin prognostik değerinin bulunduğu ve rektum kanserinin tedavi öncesi preoperatif evrelemede hastaların tedavi yönetimine önemli katkılar sağlayacağı kanısına varılmıştır.

Anahtar Kelimeler: Rektum kanseri, F-18 FDG PET/BT, evreleme, SUD_{max} , progoz



Şekiller.

Notlar: Çalışmamız İstanbul Üniversitesi İstanbul Tip Fakültesi Klinik Araştırmalar Etik Kurulu'ndan 13/11/2015 tarihli ve 19 sayılı toplantısında görüşüllererek etik kurul onayı almıştır.

[PS-061]

Bazoloid Tip Timik Karsinom: Olgu Sunumu

Ersa Çiftçi¹, Zekiye Hasbek¹, Şule Karadayı², Ersin Tuncer³, Bülent Turgut¹

¹Cumhuriyet Üniversitesi Tıp Fakültesi, Nükleer Tip Anabilim Dalı, Sivas

²Cumhuriyet Üniversitesi Tıp Fakültesi, Göğüs Cerrahisi Anabilim Dalı, Sivas

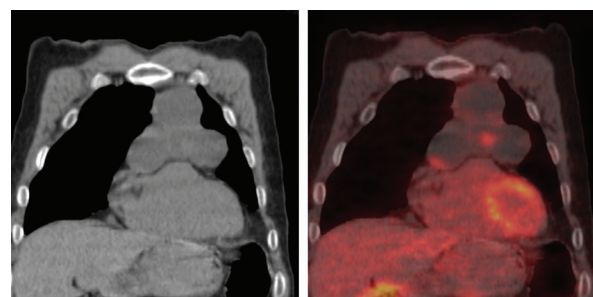
³Cumhuriyet Üniversitesi Tıp Fakültesi, Patoloji Anabilim Dalı, Sivas

Amaç: Bazoloid tip timik karsinomlar (BTK) multilocule timik kist zeminde izlenen oldukça nadir görülen tümör tipidir. Bu olguda benign kistik timüs tümörü ön tanısıyla opere edilen ancak patoloji sonucu bazoloid tip timik karsinom gelen bir olguya summayı amaçladık.

Olgu: Altı yaşındaki bir erkek hastada göğüs ağrısı ve nefes darlığı şikayeti ile göğüs cerrahisi polikliniğine başvuran erkek hastaya yapılan toraks BT'de anterior mediastende en büyük aksiyel çapı yaklaşık 8 cm kitle lezyon saptanması üzerine metabolik karakterizasyon/tanı amaçlı F-18-FDG PET/BT görüntülemesi için kliniğimize yönlendirildi. F-18-FDG PET/BT görüntülerinde anterior mediastende sol paramedyan alanda yaklaşık 63x76x95 mm (RLxAPxKK) boyutlarında lobüle kontürlü, multilocule, multiseptalı, ince cidarlı kistik özellikte, içinde medisten kan havuzuna göre çok hafif artmış F-18-FDG tutulumu gösteren yer yer minimal solid alanları olan kistik kitle lezyonu izlendi (SUV_{max} : 3,8; mediasten kan havuzu SUV_{max} : 3,2). Lezyon çıkan aorta ve ana pulmoner thrunk ile yakın komşuluklu olup, aralarındaki yağlı planlar infaksiyonu. Göğüs cerrahisi tarafından medyan sternotomi ile mediasten kitle eksizyonu yapılan olguda, bazoloid tip timik karsinom saptandı.

Sonuç: BTK, literatürde 30'dan az olguda gösterilmiş olup, bu tipin F-18-FDG tutulumu paternine ait bir olguya rastlanmamıştır. Low-grade tümörler arasında olmasına rağmen, literatürde akciğer, plevra, perikard ve karaciğer metastazları yapabilecek kadar agresif davranış ve belirgin mortalite gösterilmiştir. Multilocule kistik zeminde geliştiği için ve olgumuzdaki gibi düzgün sınırlı, düşük F-18-FDG tutulumu gösterdiği için benign kistik timik tümörler ile sıkılıkla karışabilir. Ancak BTK yavaş büyuen, lokal olarak saldırgan tümörler olmakla birlikte metastazda yapabilir. F-18-FDG PET/BT görüntülemede anterior mediastenin gözlenen düşük F-18-FDG afiniteli kistik lezyonların değerlendirilmesinde BTK'nın göz önünde bulundurulması önerilir.

Anahtar Kelimeler: Bazoloid tip timik karsinom, PET/BT



Şekiller.

[PS-062]**Tc-99m Metilendifosfanat Kemik Sintigrafisinde Kompresyon Fraktürü Olan Hastalarda Malignite İnsidansı**Zehra Pınar Koç, Pelin Özcan Kara

Mersin Üniversitesi Tıp Fakültesi, Nükleer Tıp Anabilim Dalı, Mersin

Amaç: Vertebra kompresyon fraktürleri osteoporotik nedenli olabileceği gibi özellikle alitta yatan malignitesi olan hastalarda metastatik kökenen de olabilmekte ya da tanışsal karışıklık yaratmaktadır. Bu çalışmanın amacı kemik sintigrafisinde kompresyon fraktürü olan hastalarda malign kemik tutulumu insidansının araştırılmasıdır.

Yöntem: Primer malignitesi olan (n=19) veya olmayan ancak malign kemik hastalığı (metastaz) şüphesi ile gönderilen 37 hasta (22 K, 15 E; ortalama: $69,8 \pm 12,4$ yaş) dahil edilmiştir. Hastaların kemik sintigrafileri deneyimli bir nükleer tip uzmanı tarafından kompresyon fraktürü yönünden değerlendirilmiş ve kesin metastatik kemik sintigrafisi olan hastalar çalışma dışı bırakılmıştır.

Bulgular: Hastaların dokuz tanesinde ilk iki fazda artmış vaskülerinin eşlik ettiği en az bir vertebrasyonda (23 hastada tek vertebra, üç hastada iki vertebra ve 11 hastada ikiden çok vertebra) kompresyon fraktürü ile uyumlu diffüz artmış aktivite tutulumu izlenmiştir. Ayrıca hastaların 28'inde ek şüpheli (dejeneratif değişikler dışında) kemik tutulumu (10 hastada travmatik kot fraktürü ile uyumlu değerlendirilen) dikkati çekmiştir. Hastalardan dört tanesi takip dışı kalmış ve diğer hastaların eşlik eden takip BT/MR, PET, laboratuvar sonuçları dikkate alınarak karar verilmiştir. Sonuçta hastalardan yedi tanesinde (tümü primer malignitesi olan hastalar) metastaz, 11'inde osteoporotik fraktür (üçünde primer malignite olmasına rağmen) ve diğer hastalarda spondilodiskit ve diskopati ile uyumlu bulgular ile uyumlu değerlendirilmiştir.

Sonuç: Vertebra kompresyon fraktürlerinin bir kısmı (%21) metastazla ilişkili olsa da bazıları primer malignitesi olan hastalarda olmak üzere çoğunluğu metastazla ilişkisiz bulunmuştur. Bu bulgunun prospektif geniş serilerde araştırılması gereklidir.

Anahtar Kelimeler: Kompresyon, kemik sintigrafisi, malignite, metastaz

[PS-063]**Hipertiroid Tanılı Hastalarda Tiroid ve Tükrük Bezleri Uptake Değerleri**Gökhan Şahutoğlu, Esen Çelik, Hülya Yalçın

Mustafa Kemal Üniversitesi Araştırma ve Uygulama Hastanesi, Nükleer Tıp Kliniği, Hatay

Amaç: Tiroid bezi fonksiyonlarının değerlendirilmesinde ve tiroid uptake çalışmalarında kullanılan ilk ajan iyot-131'dir (I-131). Bu çalışmanın amacı hipertiroidi hastalarında tiroid bezi teknisyum (Tc-99m) uptake değerlerinin ve TSH (tiroid stimülating hormon) değerlerindeki değişimine bağlı olarak tükrük bezleri uptake değerlerindeki değişimini incelemesidir.

Yöntem: Çalışmaya 2014-2016 arası Mustafa Kemal Üniversitesi Araştırma ve Uygulama Hastanesi'ne hipertiroidi tanısı ile başvuran 56 hasta dahil edildi. Hastaların USG sonuçları ile tiroid sintigrafik görüntülemesi ve uptake değerleri, kantitatif olarak değerlendirildi. Tiroid sintigrafisi çekilen hipertiroidi tanılı hastaların, tiroid ve tükrük bezleri için Tc-99m uptake değerleri elde edildi ve bu verilerin istatistiksel analizleri yapıldı.

Bulgular: Çalışmaya dahil edilen 56 hastanın tiroid ve tükrük bezi uptake değerleri proses yapılarak ölçülmüştür. Ortalama tiroid uptake değeri

$0,587 \pm 0,78$, TSH değeri $1,69 \pm 0,23$ μ U/mL, tükrük bezi uptake değeri $0,19 \pm 0,26$ olarak hesaplandı. Bu değerler arasında kıyaslama yapıldığında; TSH ile tiroid uptake değerleri ve tiroid ile tükrük bezi uptake değerleri arasında anlamlı bir korelasyon bulunmuştur ($p < 0,001$).

Sonuç: Teknesyum, düşük radyasyon düzeyi, kolay elde edilebilir ve ucuz olması gibi avantajlarından dolayı, tiroidin yapısal ve fonksiyonel değerlendirmesi amacıyla yapılan sintigrafik çalışmalarla uptake için tercih edilebilecek en uygun radyoizotop olarak gözükmektedir. Elde edilen sintigrafik görüntülemelerden sonra, tükrük bezleri rutin teknisyum uptake incelemesinde görüntülenip, normalde tiroid bezinden hafifçe daha düşük aktivite göstermesine karşın tiroid uptake değerlerinin artan değerlerinde tükrük bezleri uptake değerlerinin de literatür ile uyumu olarak arttığı görülmüştür.

Anahtar Kelimeler: Tc-99m perteknetat, tiroid uptake, tükrük uptake, TSH

[PS-064]**İyot Refrakter Metastatik Tiroid Papiller Karsinomunda Tirozin Kinaz İnhibitörü Tedavisinin Yeri ve Önemi: Olgu Sunumu**İpek Kerimel, Aykut Kürşat Fidan, Gülin Uçmak

Dr. Abdurrahman Yurtaslan Ankara Onkoloji Eğitim ve Araştırma Hastanesi, Nükleer Tıp Kliniği, Ankara

Amaç: Diferansiyel tiroid kanserleri (DTK) içinde en sık görülen tür papiller tiroid karsinomudur (PTK). Onkositik varyant PTK nadir görülen bir varyant olup прогнозunun klasik PTK ile anlamlı farklılığı göstermediği, tedavi ve takip şemasının benzer olduğu bilinmektedir. DTK tedavisinde cerrahi ve ardından radyoaktif iyot (RAI) ablasyon/tedavisi verilmektedir. RAI tedavisine yanıt alınamayan, progresif metastatik hastalıkta tekrar cerrahi, radyoterapi (RT) ya da kemoterapi (KT) uygulanabilemektedir. Buna karşın progrese olgularda tirozin kinaz inhibitörleri (TKI) son yıllarda kullanılan ileri basamak hedefe yönelik tedavi seçenekidir. Çalışmamızda DTK tanılı hastanın TKI tedavisine giden sürecinin olgu bazında sunulması amaçlanmıştır.

Olgı: 2006'da bilateral total tiroidektomi uygulanan, yaygın vasküler ve kapsül invazyonu saptanın onkositik varyant PTK tanılı 43 yaşında kadın hastanın post operatif supresyonuzlu tiroglobulin (TG) değeri 1020 ng/mL olması nedeniyle yapılan evreleme PET/BT de L4 vertebrada metastaz ile uyumlu FDG pozitif litik lezyon saptanmıştır. L4 spondilektomi uygulanmış ve bu alana palyatif RT verilmiştir. 2007-2011 arasında toplam 1200mCi RAI tedavisi alan hastanın tedavi dozu taramalarında tiroid lojunda, sol hemitoraksta ve L4 vertebraya uygun alanda izlenen düşük düzeyde heterojen iyot tutulumlarının ve TG değerlerinin giderek azaldığı dikkati çekmiştir. Üç yıl stabil hastalık izlenen olgu, progresif yükselen TG ve akciğerde yeni FDG pozitif nodül saptanması nedeniyle iyot refrakter progresif hastalık olarak kabul edilmiş ve ileri tedavi seçenekleri açısından medikal onkolojiye yönlendirilmiştir. 2013-2014 yıllarında toplamda 6 kür KT (adriamisin) verilerek izlenmiş, bu süreçte TG stabil seyretmiştir. KT sonrası takipte akciğerde yeni nodül saptanmış ve ardından TG'de yeniden progresif yükselme gözlenmiştir, TKI (sorafenib) tedavisine geçilmiştir. Başlangıç dozu $4 \times 200 \text{ mg}$ iken, yan etki nedeniyle $2 \times 200 \text{ mg}'a$ düşürülmüş olup, TG değerleri ve radyolojik olarak 1 yıldır hastalık stabil olarak seyretmektedir. DTK da cerrahi, RAI ve/veya RT ye rağmen progrese, iyot refrakter olgularda, KT verilebilmekte ve ileri basamak tedavi seçenekleri olan TKI son yıllarda gündeme gelmektedir. Olgumuzda progresif DTK'larda TKI ile hastalığın stabil hale geldiği görülmüş, takipleri devam etmektedir. TKI'nin iyot refrakter DTK'lerde progresyonuz sağkalımı artırabileceğini ve daha çok olguda, daha uzun takip süreleri ile tartışılması gerektiği sonucuna varılmıştır.

Anahtar Kelimeler: Diferansiyel tiroid karsinomu, tirozin kinaz inhibitörleri

[PS-065]

Retroperitoneal Fibrozis Tanısı ve Tedaviye Yanıtının Değerlendirilmesinde F-18 FDG PET/BT'nin Yeri

Hatice Uslu¹, Mehmet Tarık Tatoğlu¹, Ebru İbişoğlu¹, Özlem Pehlivan², Serkan Güngör¹

¹İstanbul Medeniyet Üniversitesi Göztepe Eğitim ve Araştırma Hastanesi, Nükleer Tip Anabilim Dalı, İstanbul

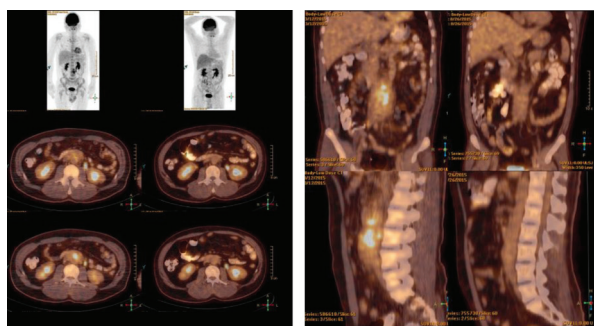
²Ümraniye Eğitim ve Araştırma Hastanesi, Romatoloji Kliniği, İstanbul

Amaç: Retroperitoneal fibrosis abdominal aorta, vena kava, üreterler gibi retroperitoneal organları gevreyerek enflamasyon ve fibrozise neden olan nadir bir hastalıktır. Genellikle idiyopatik olarak görülmeye rağmen bazı ilaçların kullanımından sonra, malign hastalıklarda, enfeksiyonlarda ve büyük cerrahi girişimler sonrası sekonder olarak da görülebilir. F-18 FDG PET/BT enflamatuvlar dokuyu noninvasiv olarak görüntüleyebilir. Bu olguda biz retroperitoneal fibrozisin tanısı ve tedaviye yanıtın değerlendirilmesinde FDG PET/BT'nin yararlılığını araştırdık.

Olgı: Bilinen kronik bir hastalığı olmayan 34 yaşında erkek hasta, şiddetli karın ağrısı ve kilo kaybı ile hastanemize başvurdu. Sedimentasyon ve CRP yüksek idi. Batın BT de infrarenal düzeyden bilateral iliac arter bifurkasyonuna kadar uzanan, aortayı, IVK ve bilateral ana iliak venler ve üreterleri çeveçevre saran yumuşak doku dansite artışları izlenmekteydi. Buna bağlı olarak bilateral grade 1 hidronefroz görüldü. FDG PET/BT görüntülemesinde batında BT'de tanımlanan yaklaşık 83x61x39 mm boyutlarında yumuşak doku dansitesi kitlesel lezyon alanında heterojen karakterde yoğun hipemetabolizma izlendi. Malignite lehine değerlendirilmiş olup histopatolojik inceleme önerildi. Ancak hasta onay vermediği için histopatolojik inceleme yapılmadı. Olgunun klinik, laboratuvar ve görüntüleme bulguları göz önüne alınarak retroperitoneal fibrozis olabileceği düşünüldü ve medikal tedaviye başlandı. Tedavide kortikosteroid (1 mg/kg prednizonal) başlanıp klinik yanıtla doz azaltılarak, azothioprin eklendi. Altı ay süren tedavi sonrasında hastanın klinik ve laboratuvar bulguları düzelmiş olup kontrol ve tedaviye yanıt açısından FDG PET/BT çekimi yapıldı. Batında retroperitoneal alandaki yoğun hipemetabolik kitlesel lezyonun metabolik ve morfolojik olarak tama yakın oranda regresyon gösterdiği izlendi. Önceki ve sonraki PET/BT görüntülerinde; inceleme alanına giren tüm vücudun diğer kesimlerinde kayda değer patolojik bir bulguya rastlanmadı.

Sonuç: F-18 FDG PET/BT'nin retroperitoneal fibrosisin tanısı ve tedaviye yanıtının değerlendirilmesinde önemli bir role sahip fonksiyonel bir görüntüleme metodunu olduğunu gösterdik. Ayrıca PET/BT biyopsi yerinin seçimi, multipl organ tutulumları ve intervalde tedaviye cevabı değerlendirirmede de önemli katkılara sağlamaktadır.

Anahtar Kelimeler: Retroperitoneal fibrozis, FDG, PET/BT



Resim.

[PS-066]

Baş ve Boyun Tümörlerinde F-18 FDG PET/BT'de Yeniden Evrelemede Nüks Oranları ve Metastaz Dağılımları

Zehra Pınar Koç¹, Pelin Özcan Kara¹, Emel Sezer²

¹Mersin Üniversitesi Tıp Fakültesi, Nükleer Tip Anabilim Dalı, Mersin

²Mersin Üniversitesi Tıp Fakültesi, Onkoloji Bilim Dalı, Mersin

Amaç: Baş ve boyun tümörlerinin biyolojik davranışları diğer tümörlerden farklı olup beklenen metastaz alanlarının belirlenmesi önemlidir. Bu çalışmada yeniden evreleme aşamasında değerlendirilen baş ve boyun tümörlü hastalarda FDG PET/BT'de nüks oranları ve metastaz dağılımları araştırılmıştır.

Yöntem: Bölümümüze yeniden evreleme amacıyla başvuran baş ve boyunda çeşitli yerlerde bilinen primer tümör nedeniyle opere edilmiş veya kemoterapi almış 40 hasta (9 K, 31 E; ortalama: 65,9±12,62 yaş) dahil edilmiştir. FDG PET/BT görüntüleri deneyimli iki Nükleer Tıp Uzmanı tarafından değerlendirilmiştir.

Bulgular: Hastaların 24'ünde lokal nüks (ortalama 2,4±1,9 cm/ortalama SUV_{max}=9,9±6,97), 19'unda boyun ve dokuzunda mediasten lenf nodu metastazı (ortalama SUV_{max}=6,36±3,37) ve 9 hastada akciğer metastazı/primeri (ortalama SUV_{max}=6,85±4,5) tespit edilmiştir.

Sonuç: Baş ve boyun tümörlü hasta grubunda lokal nüks oranları yüksek olup (%60) lenfatik veya uzak metastazları baş-boyun ve toraks ile sınırlıdır.

Anahtar Kelimeler: Baş boyun, FDG, PET/BT

[PS-067]

Miyokard Perfüzyon SPECT Görüntülemede İki Farklı BT Yöntemi ile Yapılan Atenüasyon Düzeltmesinin Karşılaştırılması

Doğangün Yüksel¹, Özlem Uluyol¹, Olga Yaylalı¹, Tarık Şengöz¹, Tolga Yaylalı²

¹Pamukkale Üniversitesi Tıp Fakültesi, Nükleer Tip Anabilim Dalı, Denizli

²Pamukkale Üniversitesi Tıp Fakültesi, Kardiyoloji Anabilim Dalı, Denizli

Amaç: Bu çalışma miyokard perfüzyon SPECT görüntülerinde 16 kesitli BT ve flate-panel (FP) BT atenüasyon düzeltmesinin (AD) kantitatif verilere etkisini karşılaştırmayı amaçlamıştır.

Yöntem: Çalışmaya SPECT/FPBT ile MIBI miyokard perfüzyon sintigrafisi ve PET/16 kesit BT ile miyokard PET yapılan 18 hasta (62 ± 3 ; 40–80 yıl) alınmıştır. SPECT görüntülere hem FPBT hem de 16 kesitli BT ile AD uygulandı ve AD yapılmadan görüntüler işleme alındı. Polar haritalardan SSS, SRS ve SDS ve defekt yüzdeleri hesaplandı. Verilere Spearman korelasyonu uygulandı. Her üç teknik için tek yönlü Anova testi yapıldı. İstatistiksel anlamlılık tüm testlerde $p<0,05$ olarak tanımlanıldı. Grup ortalamaları ortalama ± standart hata olarak verilmiştir.

Bulgular: SSS skor ($SSS1-2 = 0,840$; $SSS1-3 = 0,880$; $SSS2-3 = 0,726$; $p<0,001$) ve SRS ($SRS1-2 = 0,933$; $SRS1-3 = 0,943$; $SRS2-3 = 0,869$; $p<0,0001$) skor için üç yöntem için yüksek düzeyde anlamlı korelasyon saptandı. SDS için iki düzeltme yöntemi, AD yapılmayan yönteme anlamlı orta düzeyde korelasyon gösterir iken iki BT yöntemi ile yapılan düzeltmeler arası verilerde korelasyon izlenmedi ($SDS1-2 = 0,669$; $p<0,002$; $SDS1-3 = 0,559$; $p=0,016$; $SDS2-3 = 0,343$; $p=0,164$). FP ve 16 kesit BT ile AD yapılan görüntülerde, stres ve rest çalışmasındaki defekt büyükleri inferior duvarda anlamlı farklılık gösterdi (stres için $p=0,047$; rest için $p=0,048$). Stres görüntülerindeki inferior duvarın defekt yüzdeleri AD yapılmadığında $\%34,6\pm6,9$, FPBT AD de $\%30,5\pm5,8$ ve 16 kesit BT AD de $\%51,8\pm6,2$ bulundu. Rest görüntülerindeki inferior duvarın defekt yüzdeleri AD yapılmadığında $\%30,2\pm6,5$, FPBT AD de $\%22,8\pm5,1$ ve 16 kesit

BT AD de %44,3±6,5 bulundu. On altı kesit BT AD stres defekt yüzdesini diğer iki yöntemle görebüyütü. SDS için FPBT AD yapılan ve AD yapılmayan görüntülerde septumda anlamlı defekt büyülüğu farkı vardı ($p<0,023$). SDS için septumdaki defekt yüzdeleri AD yapılmadığında %3,7±0,8, FPBT AD'de %9,7±2,2 ve 16 kesit BT AD de %9,1±1,7 bulundu. Her iki BT yöntemi ile de AD yapılmayan çalışmaya göre daha yüksek defekt yüzdeleri izlendi.

Sonuç: Flat-panel ve 16 kesit BT ile atenüasyon düzeltmesi yapılan SPECT görüntüleri, polar haritalardan elde edilen SSS ve SRS için yüksek korelasyona sahip olmakla birlikte SDS hesabında korelasyon orta düzeye düşmektedir. Bu düşüşün nedeni 16 kesit BT ile yapılan atenüasyon düzeltmesi ile stres ve rest görüntülerinde inferior duvardaki defekt alanı yüzdesini diğer iki yöntemden fazla hesaplaması olabilir.

Anahtar Kelimeler: Miyokard, perfüzyon, SPECT, atenüasyon, BT

[PS-068]

TARE Tedavisi Alan HCC Hastalarında Tedavi Öncesi Parametrelerin Sağkalıma Etkisi

Burak Sönmez¹, Aytaç Gülcü², Recep Bekiş¹

¹Dokuz Eylül Üniversitesi Tip Fakültesi, Nükleer Tip Anabilim Dalı, İzmir

²Dokuz Eylül Üniversitesi Tip Fakültesi, Radyoloji Anabilim Dalı, İzmir

Amaç: Bu çalışmada Ocak 2013 - Şubat 2017 tarihleri arasında, merkezimizde Y-90 cam mikroküre (terasfer) transarteriyal radyoembolizasyon (TARE) tedavisi alan 16 hepatosellüler karsinom (HCC) tanılı hastanın, sağkalım süreleri ile F-18 FDG PET/BT görüntülemeye karaciğerde izlenen SUV_{max} değerleri, en büyük lezonun boyutu, karaciğerdeki SUV_{max} tümör/zemin oranı ve serum alfabetoprotein (AFP) arasındaki ilişkileri değerlendirmeyi hedefledik.

Yöntem: Yaş ortalaması 65,3 (8,5) olan 16 hastaya toplam 22 kez (bir hastaya 4, üç hastaya 2, diğer hastalara 1 tedavi) TARE tedavisi verildi. Hastaların tedavi öncesi BT görüntülerinden HCC boyutları ölçüldü. 5 cm'den büyük ve küçük olarak sınıflandırıldı. Tüm hastaların AFP değeri kayıt edildi. HCC odağında tedavi öncesi SUV_{max} hesaplandı. Hesaplanan SUV_{max} ile normal karaciğer alanından zemin SUV_{max}'ı ölçülerek tümör/zemin oranı hesaplandı. Hesaplanan kantitatif değerler ile sağkalım süreleri arasındaki ilişki Kaplan Meier yöntemiyle değerlendirildi.

Bulgular: Ölçülen en büyük lezonun boyut ortalaması 5,8 (3,1) cm, tedavi öncesi ortalama SUV_{max} değeri 4,9 (1,7), ortalama AFP değeri 1117,4 ng/mL (8884,1) idi. Tedavi öncesinde en büyük lezon boyutu 5 cm'den küçük olan hastalarda ortalama yaşam süresi 13,9 (6,9) ay, 5 cm'den büyük olan hastalarda 10,5 (1,5) ay olarak hesaplandı ($p=0,6$). Tedavi öncesinde karaciğerde, F-18 FDG PET/BT görüntülemesinde tümör/zemin oranları 2'nin üzerinde olan hastalarda yaşam süresi 9,6 (1,9) ay, 2'nin altında olanlarda ise 16,5 (2,2) ay olarak değerlendirildi ($p=0,11$). Tedavi öncesinde veya sonrasında ölçülen AFP değeri 1000 ng/mL'nin altında olan hastalarda yaşam süresi 15,2 (2,0) ay, 1000 ng/mL'nin üzerinde olan hastalarda 8,4 (1,5) ay idi ($p=0,1$). Ayrıca AFP değeri 1000 ng/mL'den aş olup, lezon boyutu 5 cm'den az olan hastalarda yaşam süresi 15,1 (0,8) ay iken, AFP değeri 1000 ng/mL'nin üzerinde ve lezon boyutu 5 cm'den büyük hastalarda yaşam süresi 8,8 (1,9) aydır ($p=0,9$).

Sonuç: Çalışma grubumuzda HCC'nin tümör boyutu 5 cm'nin altında, tümör/zemin oranı 2'nin altında ve AFP değeri 1000 ng/mL'nin altında olan hastalarda istatistiksel olarak anlamlı bulunmaması da TARE tedavisi sonrası sağkalımlarının daha uzun olduğu saptanmıştır. Bu parametrelerin kullanımının TARE tedavisi öncesi sağkalım ile ilgili öngörü verebileceği düşünülmüştür.

Anahtar Kelimeler: TARE, radyoembolizasyon, Y-90, HCC, sağkalım

Notlar: Bir değerin ortalaması verildikten sonra parantez içerisinde o ortalama değerin standart sapması verilmiştir. Ancak bildiri gönderim sisteminde standart sapmayı gösteren artı-eksi işaretin bulunamamıştır.

[PS-069]

Agresif Metastatik Malign Pilomatriksoma Olgusu

Neşe Torun¹, Emine Tuba Canpolat²

¹Başkent Üniversitesi Dr. Turgut Noyan Uygulama ve Araştırma Merkezi, Nükleer Tip Anabilim Dalı, Adana

²Başkent Üniversitesi Dr. Turgut Noyan Uygulama ve Araştırma Merkezi, Patoloji Anabilim Dalı, Adana

Amaç: Malherbe'nin kalsifiye epitelioması olarak adlandırılan pilomatriksoma kil kökü hücrelerinden farklılaşan benign deri eki tümörüdür. Tümör deri altı yerleşim gösteren, yavaş büyuyen, sert ve hareketli kitleler şeklinde ortaya çıkar. Özellikle 20 yaş öncesinde kadınlarda erkeklerde göre 3:2 oranında daha sık görülmektedir. Pilomatriksomaların %50'ye yakını baş ve boyun bölgesinde, daha az sıklıkla gövde, kol ve bacaklarda görülür nadir de olsa tümörün malign formları gösterilmiştir. Pilomatriks karsinoma olarak da adlandırılan bu malign formların akciğer, kemik, beyin, deri, lenf nodu abdominal organlara metastaz yaptığı bildirilmiştir. Bu olguda erişkin yaşı grubunda nadir görülen deri tümörlerinden malign pilomatriksomanın FDG PET/BT bulgularını paylaşmayı amaçladık.

Olgu: Boyunda şişlik şikayeti ile gelen patoloji sonucunda malign pilomatriksoma tespit edilen 61 yaşında kadın hastanın PET/BT ile yapılan evrelemesinde sağ supraklaviküler alanı ve boyun posterior kesimini dolduran hipermetabolik dev kitlesel lezyonlar. Bilateral servikal zincirde ve sağ göğüs duvarında derialtı yağ dokuda hipermetabolik lenf nodları tespit edildi cerrahi, radyoterapi ve kemoterapi uygulanan hastada kontrol PET/BT'de progresyon ve nüks saptandı.

Sonuç: Yetişkin hasta popülasyonunda nadir görülmesine rağmen, total eksizyon sonrası lokal rekürrens göstermeyecek pilomatriksoma'nın yanı sıra, olgumuzda olduğu gibi istisnai durumlarda malign ya da agresif formlar da bildirilen pilomatriksomada прогноз göz önüne alınarak evreleme, nüks ve rezidü hastalığı değerlendirilmede, FDG PET/BT'nin önemi gösterilmiştir.

Anahtar Kelimeler: Malign pilomatriksoma, FDG PET/BT

[PS-070]

Nadir Bir Lokalizasyondaki Stres Fraktürü Tanısında Kemik Sintigrafisi ve SPECT/BT'nin Rolü

Berna Tekin Okudan^{1,2}, Nazım Coşkun¹, Pelin Arıcan¹

¹Ankara Numune Eğitim ve Araştırma Hastanesi, Nükleer Tip Kliniği, Ankara

²Amasya Üniversitesi Tip Fakültesi, Nükleer Tip Anabilim Dalı, Amasya

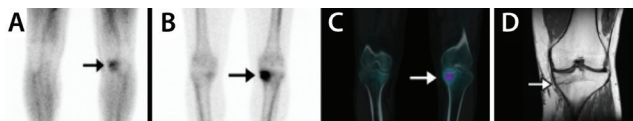
Amaç: Stres fraktürü; tekrarlayan stresse bağlı gelişen, çoğulukla distal tibia, metatarsaller ve naviküler kemiklerde görülen yaralanmalardır. Proksimal tibia'da stres kırıkları nispeten nadir görülür ve diğer tibial kırık türleriyle karışabilir. Bu olgu takdiminde, proksimal tibia stres kırığı tanısı almış 39 yaşında erkek hasta sunulmaktadır.

Olgu: Otuz dokuz yaşında erkek hasta, sol dizinde ağrı şikayetiyle acil servise başvurdu. Detaylı hikayesinde amatör düzeyde futbol oynadığı öğrenildi. Kan değerleri (fosfor, sodyum, kalsiyum, romatoid faktör, 25-OH vitamin D, parathormon) normal sınırlardaydı. Sol diz direkt grafisi normal olarak değerlendirilen hasta, 3 fazlı kemik sintigrafisi çekilmesi amacıyla nükleer tip kliniğine yönlendirildi. Kanlanması ve kan havuzu fazlarında sol diz ekleminde artmış perfüzyon ve hiperemi görüldü. Geç fazda sol diz ekleminde irregüler aktivite tutulumu mevcuttu. Anatomi korelasyon amacıyla yapılan SPECT/BT çalışmasından elde edilen füzyon kesitlerin değerlendirilmesinde; sol tibia kondiler alanda lineer artmış aktivite

tutulumu ve sklerotik değişiklikler görüldü. Kemik sintigrafisini takiben yapılan MRG çalışmasında medial plato ve interkondiler eminens arasında oblik, transvers fraktür hattı izlendi ve stres kırığı tanısı doğrulandı.

Sonuç: Stres fraktürü çoğunlukla spor yapan bireylerde görülen, tekrarlayan stresse bağlı gelişen bir yaralanma türüdür. Yüksek riskli stres fraktürlerinin yönetiminde, komplikasyonların önlenmesi adına erken tanı önemli bir yer tutmaktadır. X-ray görüntüleri semptomların başlangıcından sonra ilk 3 hafta içinde normal olabilir. Kemik sintigrafisi ve SPECT/BT, eklem ağrısıyla başvuran ve diğer görüntüleme yöntemlerinin normal olarak değerlendirildiği hastalarda yararlı bir tanı aracıdır.

Anahtar Kelimeler: Stres fraktürü, kemik sintigrafisi, SPECT/BT



Resimler.

[PS-071]

Dalakta Çok Nadir Rastlanan Bir Tümör; Foliküler Dendritik Hücreli Sarkom ve PET/BT Bulguları

Emine Ebru Bayar

İzmir Katip Çelebi Üniversitesi Atatürk Eğitim ve Araştırma Hastanesi, Nükleer Tip Kliniği, İzmir

Amaç: Çok nadir rastlanan dalak dendritik hücreli sarkom tanılı hastanın PET/BT görüntülerini paylaşmayı amaçladık.

Yöntem: F-18 FDG'nin iv. enjeksiyonunu takiben 60 dakika sonra tüm vücut PET/BT görüntüleme yapıldı.

Bulgular: 2012 yılından beri primeri bilinmeyen malignite tanısıyla takip edilen abdomen tetkiklerinde karaciğerde metastatik lezyonları ve dalakta kitleleri olan 57 yaşındaki kadın hastaya yapılan karaciğer biyopsisinde yüksek dereceli malign mezenkimal tümör/sarkomatoid karsinom metastazı tanısı konmuştur. Operasyon kabul etmemeyen hastaya kemoterapi tedavisi uygulanmıştır. Tedaviye yanıt değerlendirme takibinde karaciğerde izlenen metastatik lezyonlar stabil seyirliken, dalakta izlenen kitle zaman içinde büyümeye göstermiştir. 2016 yılında hastaya yeniden evreleme amaçlı PET/BT tetkiki yapılmıştır. PET/BT görüntülerinde önceki batın BT tetkikinde izlenen lezyonlarla uyumlu olarak karaciğer segment 7 ve segment 6 da hipemetabolik hipodens metastatik lezyonlar ve dalak anteriorunda 115x97 mm boyutlarında, lobule konturlu, hipemetabolik malign lezyon izlenmiştir (SUV_{max} : 16,4). Diğer tüm vücut alanlarında patolojik bulguya rastlanmamıştır. Neticede hastaya karaciğer metastazektomı ve splenektomi operasyonları yapılmış, immünohistokimyasal değerlendirme sonucu dalakta foliküler dendritik hücreli karsinom ve karaciğer metastazı tanısı konmuştur. Operasyon sonrası kemoterapi tedavisi devam eden hastanın tedaviye yanıt PET/BT görüntülerinde dalak lojunda nüks rezidü kitle izlenmezken karaciğerde yeni metastatik lezyonlar ve progresyon saptanmıştır.

Sonuç: Foliküler dendritik hücreli sarkomlar nodal veya ekstranodal alanlarda geniş ve yavaş büyüyen kitle gelişimi ile kendini gösteren iğsi hücreli lezyonlardır. Nadir görülen intraabdominal formları literatürde az sayıda olmakla birlikte ortalama 7-10 cm arasında büyük kitleler şeklinde bildirilmiştir. PET/BT görüntülerinde primeri bilinmeyen maligniteler değerlendirilirken karaciğer ve dalakta izlenen intra-abdominal dev hipemetabolik lezyonlarda bu olasılık akılda tutulmalıdır.

Anahtar Kelimeler: Foliküler dendritik hücreli sarkom, dalak, PET

[PS-072]

Türkiye'de İlk N-13 Amonyak ve O-15 Su Üretimi ile PET Görüntülemeleri

Selma Taştan¹, Tahsin Pehlivan¹, Songül Tanrıverdi¹, Sinem Şensoy¹, Erkan Özdoğan¹, Nurije Özlem Küçük²

¹Eczacıbaşı Monrol Nükleer Ürünler San. ve Tic. A.Ş., İstanbul

²Ankara Üniversitesi Tıp Fakültesi, Nükleer Tip Anabilim Dalı, Ankara

[^{13}N]NH₃ ve [^{15}O]H₂O'yu üretmeyi, Avrupa Farmakope'sine göre kalite kontrolünü yapmayı, klinik öncesi ve klinik olarak da görüntülenmesini amaçladık. [^{13}N]NH₃ Amonyak; dokudaki bölgesel kan akımını gösteren, (13N) 9,965 dk fiziksel yarı ömrü sahip, [^{15}O]H₂O su ise (^{15}O) 2,04 dk'lık çok kısa yarı ömrü ile miyokardiyal kan akımının kantitatif değerlendirilmesi için kullanılan PET ajanlarıdır. GE marka PET Trace model 16,5 MeV'lik siklotronda, önce deneme işnlamaları yapılmış, paralelinde yürütülen teorik çalışmalarla dağıtım sırasında yapılması gereken proses işlemleri belirlenmiştir. [^{13}N]NH₃ ve [^{15}O]H₂O için işnlama sonrası, proses işleminden geçerek, numunelerin kalite kontrolleri Avrupa Farmakope'sine göre yapılmıştır. Amonyak aktivitesi Sedecal marka Super Argus 2r model Klinik öncesi MikroPET/BT ünitesine monşarj asansör kullanılarak gönderilmiştir. [^{13}N]NH₃ için Etik kurul onayı alınan sağlıklı rat larda biyodaiğilime bakılmış ve kardiyak görüntüleme yapılmıştır. Ayrıca [^{13}N]NH₃ ve [^{15}O]H₂O için monşarj asansör kullanılarak GE marka Discovery 710 model klinik PET/BT ünitesinde [^{13}N]NH₃ kardiyak görüntülemeleri, [^{15}O]H₂O için de kantitatif değerlendirme yapılmıştır. Sonuç olarak; nükleer tip kliniği ile entegre tesis olarak Türkiye'de ilk olma özelliğini taşıyan tesis de ilk [^{13}N]NH₃ ve [^{15}O]H₂O üretiminin, görüntüleme ve kantitatif değerlendirme sağlaymış oldu.

Anahtar Kelimeler: N-13 amonyak, O-15 su, radyofarmasotik, mikro-PET/BT, PET/BT

[PS-073]

Plevral Soliter Fibröz Tümörlü Bir Olguda FDG PET/BT Tarama Bulguları

Nilüfer Yıldırım¹, Pınar Atasoy², Mutlay Keskin¹

¹Ankara Atatürk Eğitim ve Araştırma Hastanesi, Nükleer Tip Kliniği, Ankara

²Kırıkkale Üniversitesi Tıp Fakültesi, Tibbi Patoloji Anabilim Dalı, Kırıkkale

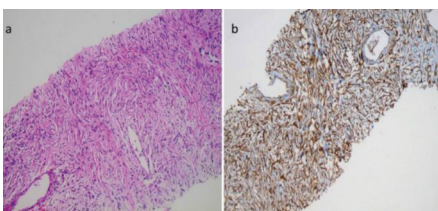
Amaç: Plevranın soliter fibröz tümörü submezotelyal mezenkimal dokudan kaynaklanan ve oldukça nadir görülen bir tümördür. Malignite insidansı %12-35 arasında bildirilmiş olup dev boyuttaki tümörler potansiyel malign olarak kabul edilir. FDG PET/BT taraması, primer ve metastatik birçok malignitenin evrelemesinde ve takibinde yaygın olarak kullanılmaktadır. Histopatolojik özelliklerine göre değişken FDG afinitesi gösteren soliter fibröz tümörde FDG PET/BT taraması ile benign-malign ayrımcı tanısı güçtür. Sol hemitoraksta dev soliter tümörü bulunan, histopatolojik olarak benign kriterlere sahip bu olguda FDG PET/BT bulguları sunuldu.

Olgu: Solunum sıkıntısı ve göğüs ağrısı nedeniyle hastaneye başvuran 79 yaşındaki erkek hastanın toraks BT incelemesinde sol akciğerde dev kitle saptanmış. Malignite araştırılması açısından FDG PET/BT taraması için kliniğimize gönderildi. Sol akciğer alt lobun büyük bölümünü kaplayan, plevral tabanlı, düzgün sınırlı, büyük çapı yaklaşık 8 cm olarak ölçülen kitlede nonhomojen ılımlı FDG tutulumu saptandı (SUV_{max} : 2,02) (Şekil 1). Toraks duvarı veya mediastene invazyon izlenmedi. Mediastinal yapılar sağa deviye görünümde olup aortikopulmoner pencerede hafif hipemetabolik

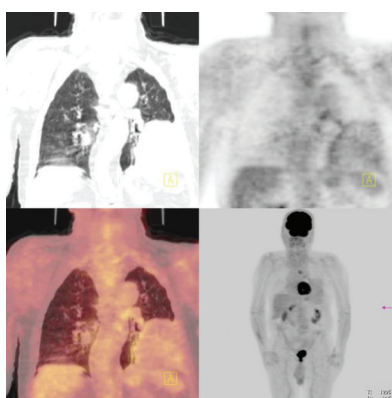
lenf nodu ile solda hipometabolik pleval effüzyon izlendi. Bulgular benign karakterli pleval kaynaklı tümör ile uyumlu olarak değerlendirildi. Hastanın transtorasik biyopsisi yapıldı ve lezyonda yer yer belirsiz girdap benzeri yapılar oluşturan uniform, sitolojik atipi ve artmış mitotik aktivite göstermeyen fibroblastik işsi hücreler tanımlanmıştır (Şekil 2a). Stromada kaba kollajen birikimi ve hem anjiyoperistikasküler yapılar izlenmiş olup işsi hücrelerin CD34'le diffüz pozitiflik göstermektedir (Şekil 2b). Hasta cerrahi tedaviye yönlendirildi.

Sonuç: Önceleri benign fibröz mezotelyoma olarak adlandırılan plevarın soliter fibröz tümörü submezotelyal mezenkimal dokudan kaynaklanmaktadır. Histolojik malignite kriterleri; mitotik indeks, nekroz varlığı, nükleer atipi ve hiperselulerite olarak belirlenmiştir. Selülerite ile orantılı olarak malign tümörlerde daha yüksek FDG tutulumu olmakla birlikte benign tümörlerde genellikle ilimli metabolik aktivite mevcuttur. Değişken FDG afinitesi nedeniyle soliter fibröz tümörlerde benign-malign ayırcı tanısı postoperatif histopatoloji ile yapılmalıdır.

Anahtar Kelimeler: FDG PET/BT, soliter fibröz tümör



Şekil 1.



Şekil 2.

[PS-074]

N-13 Amonyak Kardiyak PET Görüntüleme: İlk Deneyimler

Nuriye Özlem Küçük, Çiğdem Soydal, Elgin Özkan, Metin Kemal Kır

Ankara Üniversitesi Tip Fakültesi, Nükleer Tip Anabilim Dalı, Ankara

Amaç: Ülkemizde ilk kez uygulanan N-13 amonyak ile kardiyak PET/BT görüntülemeye ait klinik deneyimimizi paylaşmak istedik.

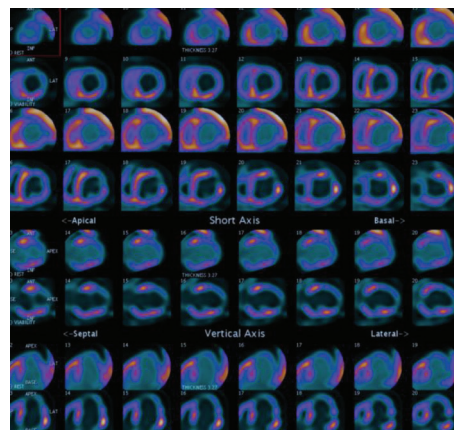
Yöntem: Mayıs 2016'da yapımı tamamlanan ve TAEK tarafından denetimi tamamlanan Radyofarmasötik Üretim ve Araştırma (RÜAG) Merkezi'nde üretime başlanan ve majestral üretim kapsamında ilk klinik uygulamaları yapılan N-13 Amonyak ile kardiyak PET/BT görüntülemesi yapılan hastalar değerlendirildi. Her iki radyofarmasötik de kardiyak perfüzyonu

değerlendirmek amacıyla koroner arter hastalığı tanısı olan hastalarda uygulandı.

Bulgular: Uygulama sırasında stres ve istirahat görüntüleme yapıldı. Stres görüntüleme iv. adenozin uygulaması ile gerçekleştirildi. 140 mikrogram/kg/dk adenozin infüzyonun 3. dakikasında yaklaşık 370 MBq N-13 amonyak iv. bolus enjeksiyonu ile eş zamanlı olarak dinamik PET görüntüleme başlatıldı. Adenozin infüzyonu 6. dakikaya tamamlandıktan sonra kesilerek toplam 20 dakikalık dinamik görüntü elde edildi. Yaklaşık 30 dakika sonra istirahat halinde aynı parametreler kullanılarak dinamik görüntüleme yapıldı. Elde edilen dinamik data reframe edildi ve CardIQ Physio uygulaması kullanılarak değerlendirildi.

Sonuç: N-13 amonyak ile kardiyak PET/BT miyokard perfüzyon sintigrafisine göre daha kısa sürede ve daha yüksek rezolüsyonlu görüntüler elde etmeye izin veren uygulanması kolay bir görüntüleme yöntemidir. İlerleyen zamanda kantitatif olarak da miyokardiyal perfüzyonu değerlendirek yaygın klinik uygulama bulacağı kanısındayız.

Anahtar Kelimeler: Kardiyak PET, N-13 amonyak, ilk deneyim



Şekil.

[PS-075]

Nöroendokrin Tümörlerde Serum CR-A, NSE, CEA ve Kalsitonin Değerlerinin Klinik Önemi ve GA-68-DOTA Peptid PET/BT ile Elde Edilen SUV_{max} Değerleri ile Korelasyonu

Evrim Sürek Budak¹, Funda Aydın², Selen Bozkurt³, Ali Ozan Öner⁴, Adil Boz²

¹Antalya Kamu Hastaneleri Birliği Sağlık Bilimleri Üniversitesi, Antalya Eğitim ve Araştırma Hastanesi, Nükleer Tip Kliniği, Antalya

²Akdeniz Üniversitesi Tip Fakültesi Hastanesi, Nükleer Tip Anabilim Dalı, Antalya

³Akdeniz Üniversitesi Tip Fakültesi Hastanesi, Biyoistatistik ve Tibbi Bilişim Anabilim Dalı, Antalya

⁴Afyon Kocatepe Üniversitesi Tip Fakültesi Hastanesi, Nükleer Tip Anabilim Dalı, Antalya

Amaç: Nöroendokrin tümörler (NETs), vücutta yaygın olarak izlenen nöroendokrin hücrelerden köken alan malign solid tümörlerdir. Differansiyeli NETs, radyo işaretli somatostatin analoqları ile işaretlenerek görüntülenmelerine olanak sağlayan somatostatin reseptör (SSTRs) overekspresyonu yaparlar. Pek çok NETs kromogranin A (Cr-A), nöron spesifik enolaz (NSE) karsinoembriyonik antijen (CEA) ve kalsitonin (Ct) gibi

çeşitli peptid hormon ve amin üretirler ve sekrete ederler. Bu çalışmada; Ga-68 DOTA peptid PET/BT görüntüleri ile elde edilen SUV_{max} değerleri ile Cr-A, NSE, CEA ve Ct gibi serum tümör belirteçleri arasındaki ilişkiye değerlendirmeyi amaçladık.

Yöntem: Olgulardan yapılan ölçümlerde SUV_{max} değerleri 4,3-181 arasında değişmektedi (medyan: 24). Serum Cr-A 7-817 (medyan: 82), NSE 5,3-278,3 (medyan: 21,2), CEA 0,90-2190 (medyan: 4,5), Ct ise 4-13010 (medyan: 800) olarak ölçüldü. SUV_{max} ve serum Cr-A değerleri arasında istatistiksel olarak anlamlı ilişki saptandı ve korelasyon katsayısi (r) 0,34 olarak hesaplandı ($p<0,046$). SUV_{max} değeri ile diğer tümör belirteçleri arasında ise istatistiksel olarak anlamlı ilişki bulunmadı ($p>0,05$).

Bulgular: Ga-68 DOTA peptid PET/BT, NET hastalarının evrelemesinde ve Lu-177-DOTA peptid tedavisi için uygun hasta seçiminde kullanılan etkin bir görüntüleme yöntemidir. Cr-A çeşitli NET' de %50-100 oranında yüksek olarak saptanan ve tanı/tedavi takibine olanak sağlayan bir tümör belirtecidir. Literatürde Ga-68 DOTA peptid PET/BT görüntülerinden ölçülen SUV_{max} değerleri ile serum tümör belirteçleri arasındaki ilişkiye gösteren çalışma bulunmamaktadır.

Sonuç: Serum Cr-A düzeyi ile Ga-68 DOTA peptid PET/BT'nin birlikte kullanımı NET tanısı ve tedavi yönetiminde önemli olabileceği gibi NET prognosunu öngörmede de bağımsız belirteçler olabilirler.

Anahtar Kelimeler: NET, tümör belirteçleri, Ga-68 DOTA peptid PET/BT, SUV_{max}

[PS-076]

Metastatik Görünüm Veren Brown Tümörlü Olgu

Seyhan Karaçavuş¹, Mesut Sipahi², Ergin Arslan²

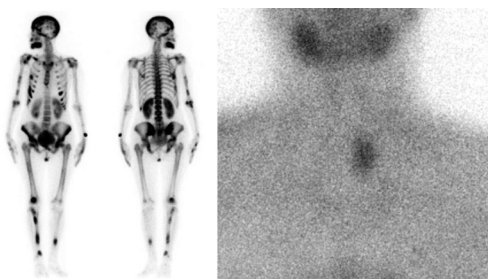
¹Bozok Üniversitesi Tıp Fakültesi, Nükleer Tıp Anabilim Dalı, Yozgat

²Bozok Üniversitesi Tıp Fakültesi, Genel Cerrahi Anabilim Dalı, Yozgat

³Bozok Üniversitesi Tıp Fakültesi, İç Hastalıkları Anabilim Dalı, Yozgat

Amaç: Brown tümörü, osteoblastik ve osteoklastik aktivitenin birlikte görüldüğü, primer veya sekonder hiperparatiroidizm sonucu ortaya çıkan benign kemik lezyonlarıdır. Bu hastalarda kemik sintigrafisinde metastatik görünüm veren lezyonlar ortaya çıkabilir. Burada metabolik kemik hastalığı ile seyreden primer hiperparatiroidizmli ve Brown tümörlü bir hastayı sunmayı amaçladık.

Olgu: Yaklaşık bir yıldır yaygın vücut ağırları nedeniyle başvuran 48 yaşındaki kadın hastanın laboratuvar tetkiklerinde serum kalsiyum düzeyi 10,8 mg/dL, serum fosfat düzeyi 1,7 mg/dL, serum alkanen fosfataz düzeyi 986 U/L idi. Kan kalsiyum ve alkanen fosfataz düzeylerinin yüksek olması üzerine kemik sintigrafisi istendi. Kemik sintigrafisinde multipl osteoblastik aktivite artışı gösteren odaklar ile skulda diffuz aktivite artışı izlendi (Şekil 1). Metabolik kemik hastalığı olabilir düşüncesi ile bakılan parathormon düzeyi 865 pg/



Şekil 1.

mL olarak geldi. Çekilen Tc-99m MIBI paratiroid sintigrafisinde paratiroid adenomu ile uyumlu artmış aktivite tutulumu gözlandı ve hasta cerrahi tedaviye yönlendirildi. Patoloji sonucu paratiroid adenomu olarak gelen hastanın tüm bulguları göz önüne alındığında, primer hiperparatiroidizme bağlı Brown tümörlü olgu olarak değerlendirildi.

Sonuç: Yaygın kemik ağırları tarif edilen hastalarda gözlenen metastatik görünüm veren kemik lezyonları varlığında metabolik kemik hastalıklarına yol açabilen paratiroid adenomu ve Brown tümörü olabileceği göz önünde bulundurulmalıdır.

Anahtar Kelimeler: Kemik sintigrafisi, Brown tümörü, paratiroid adenomu

[PS-077]

FDG PET/BT Görüntülemesinde Leptomeningeal Metastazlarda Artmış FDG Tutulumu

İnci Uslu Biner¹, Ebru Tatçı¹, Yurdanur Erdoğan², Funda Demirağ³, Özlem Özmen¹

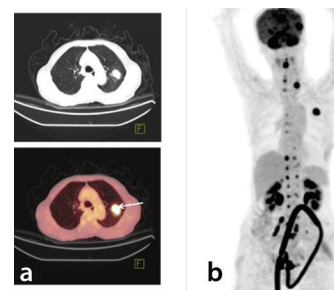
¹Atatürk Göğüs Hastalıkları ve Göğüs Cerrahisi Eğitim ve Araştırma Hastanesi, Nükleer Tıp Kliniği, Ankara

²Atatürk Göğüs Hastalıkları ve Göğüs Cerrahisi Eğitim ve Araştırma Hastanesi, Göğüs Hastalıkları Kliniği, Ankara

³Atatürk Göğüs Hastalıkları ve Göğüs Cerrahisi Eğitim ve Araştırma Hastanesi, Patoloji Kliniği, Ankara

Amaç: Burada akciğer non-small hücreli karsinom (adenokarsinom) tanılı 70 yaşında bir kadın hastanın fluorodeoksiglukoz (FDG) pozitron emisyon tomografi/bilgisayarlı tomografi (PET/BT) tetkikinde leptomeningeal metastaz (LM) ile uyumlu olarak değerlendirilen artmış FDG tutulumlarının görüntülerini summatkayız.

Olgu: Sol akciğerde malignite şüpheli lezyon nedeniyle 70 yaşında bir kadın hastaya FDG PET/BT görüntülemesi yapıldı. Transtorasik biyopsisi non-small hücreli karsinom (adenokarsinom) ile uyumlu olarak bildirildi. Olgunun FDG PET/BT incelemesinde sol akciğerdeki kitle lezyonunda fokal yoğun artmış FDG tutulumu izlendi (Şekil 1). İlave olarak torasik ve lumbosakral bölgelerde nöral foramenlerde multipl FDG tutulumları ile C3 ve C4 vertebra düzeyinde medulla spinalis uyen alanda, bilateral temporal lobların mezial kısımlarında ve beyinde sol parietal lob ile sol sentrum semiovalede subkortikal alanlarda patolojik fokal artmış FDG tutulumları izlendi. Beyinde izlenen ve beyin metastazını düşündürün tutulular manyetik rezonans görüntüleme (MRG) ile doğrulandı (Şekil 2). Ayrıca sağ sürenal glandda da metastatik odaga ait fokal FDG tutulumu izlenmektedir. Serebrospinal sıvı örneklemesi yapılmadı. Hasta ileri evre hastalık kabul edilerek palyatif kranial radyoterapi tedavisine başladı ancak; hasta yakınları tarafından tedavisi tamamlanmadan hastaneden tabure edildi ve hasta sonrasında eks oldu. LM kanserli hücrelerin araknoide ve pia matere metastatik

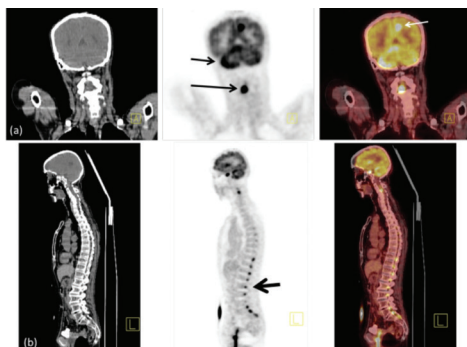


Şekil 1.

yayılımindan kaynaklanır ve santral sinir sistemi disfonksiyonuna neden olur. Olguların %21-82'sinde beyin parankimal metastazları LM'ye eşlik edebilir. LM'ye en sık neden olabilen solid tümörler arasında meme, akciğer kanserleri ve melanom yer alır. MRG LM'yi göstermede rutin olarak kullanılan yöntemdir. Bu olguda retrospektif değerlendirme sırasında hastanın yaklaşık bir aydır bilateral alt ekstremitelerde güçsüzlük şikayetiinin mevcut olduğu öğrenilmiş olup görüntülememizle uyumlu klinik bulgunun varlığı tanımlanan tutulumların LM ile uyumlu olabileceğini desteklemektedir.

Sonuç: FDG PET/BT tetkiki ile tüm spinal kord noninvaziv olarak görüntülenebildiğinden, akciğer kanseri hastalarda LM'nin tespitinde de FDG PET/BT'nin yardımcı olabileceği göstermek istedik.

Anahtar Kelimeler: FDG PET/BT, adenokarsinom, leptomeningeal metastaz



Şekil 2.

[PS-078]

Serviks Karsinomunda Dalakta Metastaz Şüpheli Granülomatöz Enfeksiyonun Radyoterapinin Alan Dış Etkisi ile Gerilemesi

Burçak Yılmaz Güneş¹, Sedef Dağ², Dönay Aksan², Hüseyin Öz Kurt³, Ramazan Uçak⁴

¹Şişli Hamidiye Etfal Eğitim ve Araştırma Hastanesi, Nükleer Tıp Kliniği, İstanbul

²Şişli Hamidiye Etfal Eğitim ve Araştırma Hastanesi, Radyasyon Onkolojisi Kliniği, İstanbul

³Şişli Hamidiye Etfal Eğitim ve Araştırma Hastanesi, Radyoloji Kliniği, İstanbul

⁴Şişli Hamidiye Etfal Eğitim ve Araştırma Hastanesi, Patoloji Kliniği, İstanbul

Amaç: Yalancı pozitif bulgular görüntüleme yöntemlerinde karşımıza çıkmaktadır. Olgumuzda, dalak lezyonları 3 farklı görüntüleme yöntemi ile metastaz olarak yorumlanmış, histopatolojik olarak enfeksiyon saptanmıştır. Hastanın tedavi sonrası görüntülemelerinde dalaktaki lezyonların tama yakın oranda gerilediği saptanmış ve radyoterapinin alan dışı sistemik etkisi ispatlanmıştır.

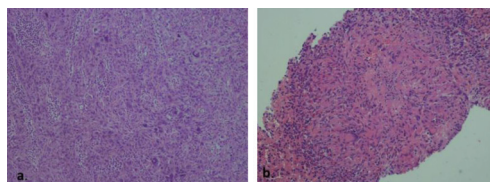
Olgu: Elli iki yaşında postmenopozal kadın hasta 1 yıldır devam eden vaginal kanama ve pelvik ağrı nedeniyle hastanemize başvurdu. Yapılan jinekolojik muayenede uterus servikste sol parametrial duvara invazyon şüphesi uyandırın kitlesel lezyon saptandı. Yapılan punch biyopsi sonucu skuamöz hücreli karsinom saptandı. Evreleme ve lokal yayılmış görmek amacıyla yapılan kontrastlı abdomen manyetik rezonans görüntülemede (MRG) uterus servikste kitlesel lezyon ve parametrial yağlı planlar ile iliak ve paraaortik lenfatik zincirde metastaz şüpheli lezyonlar saptandı. Ayrıca dalakta yaygın T2 ağırlıklı imajlarda kontrast tutulumu göstermeyen hipointens lezyonlar görüldü. Hastada uzak metastaz varlığını saptamak amacıyla 2-[F-18]-fluoro-2-deoxy-D-glucose (FDG) pozitron emisyon tomografisi/bilgisayarlı

tomografı (PET/BT) yapıldı. Uterin servikste hipermetabolik kitlesel lezyon ve parametrial yağlı planlar ile iliak ve paraaortik lenfatik zincirde metastaz şüpheli hipermetabolik lenf nodları görüldü. Ayrıca dalakta standart uptake değeri (SUD_{max}) 13,0'a kadar çıkan lezyonlar izlendi. Metastaz şüphesi ile ultrasonografi (USG) eşliğinde biyopsi planlandı. USG'de dalakta çok sayıda hipoekoik metastaz şüphesi uyandıran lezyonlar izlendi ve tru-cut biyopsi yapıldı. Histopatolojik olarak granülom tespit edildi, maligniteye rastlanmadı.

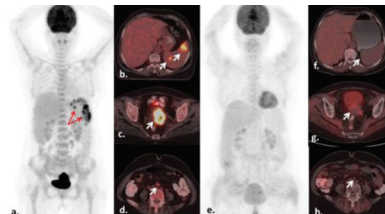
Tedaviden 3 ay sonra yapılan MRG ve FDG PET/BT incelemelerinde dalaktaki lezyonların hastanın hiçbir enfeksiyon tedavisi almamasına rağmen tama yakın oranda gerilediği görüldü.

Sonuç: Periportal eozinofilik infiltrasyon, apse, granülom, parazitik infestasyon MRG'de yalancı pozitifliklere yol açabilir. Ayrıca anomall FDG tutulumu malignite dışında enfeksiyon-enflamasyonda da görülebilir. Bunun dışında radyoterapinin alan dışı etkisi (apiskobal etki) ile işinlama yapılan bölge dışında sistemik etki ile tümörle lezyonları gerilettiği gösterilmiştir. Ancak daha önce hiçbir olguda alan dışı sistemik etki ile granülomatöz enfeksiyon gerilettiği bildirilmemiştir. Bu konuda daha çok çalışma ile araştırmalar yapılması gerekmektedir.

Anahtar Kelimeler: Yalancı pozitif, alan dışı radyoterapi etkisi, FDG, MRG



Şekil 1.



Şekil 2.

[PS-079]

Kosta Komşuluğunda Plevral Tümörü Taklit Eden Plazmasitom ve Trakea Kartilajı Dahil Yaygın Kemik Metastazlı Multipl Miyelom

Zehra Pınar Koç¹, Pelin Özcan Kara¹, Emel Sezer², Kadir Eser²

¹Mersin Üniversitesi Tip Fakültesi, Nükleer Tıp Anabilim Dalı, Mersin

²Mersin Üniversitesi Tip Fakültesi, Onkoloji Anabilim Dalı, Mersin

Amaç: Plazmasitomlar vücudun çeşitli yerlerinden özellikle de üst solunum yollarından kaynaklanabilir. Üst solunum yollarında nadiren trakea tutulumu bildirilmiş olup daha önce hiç trakea kartilaj tutulumu bildirilmemiştir. Bu pozitron emisyon tomografisi/bilgisayarlı tomografide (PET/BT) tanımlanan yaygın plazmasitom ve multipl miyelom yanı sıra trakea kartilaj tutulumu olan ilk olgu örneğidir.

Olgu: Altmış altı yaşında erkek hasta dış merkezde yapılan BT'de sağ plevral alanda saptanın kitlenin karakterizasyonu açısından FDG PET/BT tetkiki için

bölümümüze yönlendirilmiştir. Hastaya 5 saat açlık sonrası açlık glukoz düzeyi 125 mg/dL iken 10,7 mCi F-18 FDG enjeksiyonu sonrasında yaklaşık 1 saat bekleme süresi sonunda yapılan PET/BT'sinde tüm vücutta yaygın trakea kartilajını da tutan litik hipерmetabolik diffуз kemik iliği metastazı dışında kemik dokudan kaynaklandığı düşünülen sağ akciğer üst lob posterior kesimde hipерmetabolik 49x39x62 mm boyutunda lezyon izlenmiştir (Şekil 1). Bu lezyondan yapılan biyopsi sonucu plazmasitom olarak tanımlanmıştır.

Sonuç: Plazmasitomlar plazma hücreli tümörler grubunun yaklaşıkları grubun %3'lük bir kısmını kapsar. Nadir olgular larinks, hipofarinks, servikal glandlar, trachea, özefagus gibi birtakım lokalizasyonlarda bildirilmiş olup nadiren trachea lokalizasyonunda tanımlanmıştır. Daha önce bildirilen bir tracheal plazmasitom olgusu yanlışlıkla astım hastalığı tanısı ile takip edilmiştir. Lokalizasyonuna göre plazmasitomlar diğer tanımlarla rahatlıkla karıştırılabilir. Bizim olgumuzda da pleural tümör veya kot metastazı ön tanısı ile gelen hastanın özellikle metastazlarının litik karakterde olması ve plevra komşuluğundaki tümörün kemik kökenli olduğunu görürmeni üzerine ön planda multipl miyelom ve plazmasitom tanısı raporlanmış ve bu şekilde sonuçlanmıştır.

Anahtar Kelimeler: Plazmasitom, multipl miyelom, FDG, PET/BT



Şekil 1.



Şekil 2.

[PS-080]

Periton Diyalizi Olan Hastalarda Dializat Kaçağıının Tc-99m DTPA SPECT/BT ile Değerlendirilmesi

Pelin Arıcan, Rıza Şefizade, Seniha Naldöken, Berna Tekin Okudan

Sağlık Bilimleri Üniversitesi, Ankara Numune Eğitim ve Araştırma Hastanesi, Nükleer Tip Kliniği, Ankara

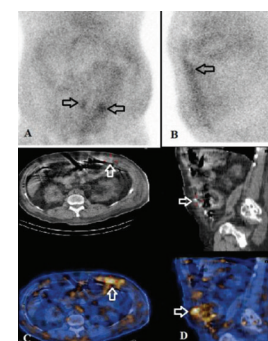
Amaç: Periton diyalizi (PD) basit, rahat ve ucuz olması sebebiyle kronik böbrek hastalıklarında yaygın olarak kullanılan bir renal replasman tedavi yöntemidir. PD hastalarda başarı ile uygulanmakla birlikte erken ve geç dönemde ortaya çıkan birtakım komplikasyonlarla karşılaşmaktadır.

PD hastalarında erken dönemde kateter yerleştirildikten kısa bir süre sonra eksternal, geç dönemde pleval, perikardiyal, abdominal ve genital bölgeye olan internal dializat kaçağı görülmektedir. Tc-99m ile işaretli radyofarmasötikler ile yapılan periton sintigrafi (PS) dializat kaçaklarının lokalizasyonunda kullanılan basit ve yararlı bir görüntüleme yöntemidir. Ancak her zaman kaçağın anatomik lokalizasyonunu yapmak ve küçük mikarda kaçakları saptanmak planar görüntüler ile yeterli olmayı bilir. SPECT/BT ile gerçek anatomik lokalizasyon yapılabılır ve küçük kaçakları tespit edebilme olasılığı artar. Biz burada PD olan ve dializat kaçağı düşünülen üç hastanın Tc-99m DTPA ile yapılan PS ve SPECT/BT sonuçlarını sunuyoruz.

Olgu: Hastanemiz nefroloji kliniğinde takip edilen, abdomen içerisinde dializat kaçağı düşünülen, 2, 3 ve 8 yıl önce PD yapılmaya başlanan 3 hasta (41-59 yaş; 2 kadın, 1 erkek) PS yapmak üzere kliniğimize yönlendirildi. 370 MBq Tc-99m DTPA'nın 2 litrelik periton dializ sıvısı içerisinde verilip abdominal kavite doldurulduktan 15 dakika sonra anterior-posterior-lateral pozisyonlarda toraks ve pelvis girecek şekilde abdomen, dializat sıvısı 4. saatte boşaltıldıktan sonra aynı pozisyonlarda planar görüntüler alındı. Ardından abdominal bölgeden SPECT/BT çalışması yapıldı. Planar görüntülerde üç hastada abdomende dializat kaçağını düşündürün şüpheli aktivite tutulumları izlendi. Yapılan SPECT/BT çalışmada bu aktivite tutulumlarının karin ön duvarında deri altında ve kas yapılarının arasında olduğu görüлerek dializat kaçağının kesin anatomik lokalizasyonu yapıldı. Hastaların PD şekli değiştirildi. Yapılan takiplerde kaçağın azaldığı ve kaybolduğu tespit edildi.

Sonuç: PS, dializat kaçağı düşünülen PD olan hastalarda kaçağın saptanmasında ve lokalizasyonunda etkili ve kolay uygulanabilir bir yöntemdir. Bu üç olguda gibi planar görüntülere SPECT/BT'nin ilave edilmesi yöntemin duyarlığını ve tanışsal doğruluğunu artırmaktadır.

Anahtar Kelimeler: Periton dializi, periton sintigrafisi, SPECT/BT



Şekil 1.

[PS-081]

Ektopik Yerleşimli Paratiroid Adenomunun F-18-Kolin PET/BT ile Görüntülenmesi

Elife Akgün, Sait Sağer, Hüseyin Pehlivanoğlu, Emre Karayel, Burak Akovalı, Onur Erdem Şahin, Rabia Lebriz Uslu Beşli, Sertaç Asa, Kerim Sönmezoglu

İstanbul Üniversitesi Cerrahpaşa Tip Fakültesi, Nükleer Tip Anabilim Dalı, İstanbul

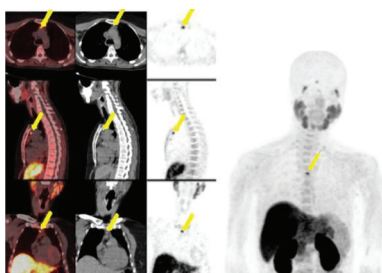
Amaç: Hiperparatiroidizm tanısı genellikle tesadüfen asemptomatik hastalarda kan tahlillerinde kalsiyum yüksekliğinin tespit edilmesiyle yapılan tetkikler sonucunda konulur. Primer hiperparatiroidi kronik hiperkalseminin en sık nedeni olup bunun da %90 nedeni tek paratiroid adenomu, %10 çoklu adenom veya hiperplazi olup, paratiroid karsinomu nadirdir.

Tedavisi hiperfonksiyon gösteren paratiroid dokusunun cerrahi olarak çıkarılmasıdır. Primer hiperparatiroidizm olgularının %16'sında bir veya daha fazla paratiroid bezı embriyolojik olarak gelişim gösterdiği brakial keseye göre ektopik yerleşim gösterir. Süperior yerleşimli paratiroid bezler büyük çoğunlukla intratiroidal yerleşimli iken, inferiorda yerleşimli bezler tirotimik hat boyunca anterior mediastende bulunurlar.

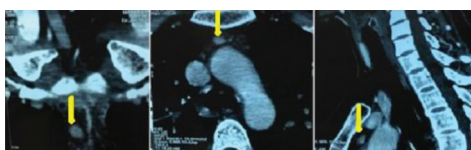
Oluş: Kırk bir yaşında kadın hasta osteoporoz nedeniyle yapılan tetkiklerinde kalsiyum, parathormon yüksekliği tespit edilmesi üzerine paratiroidektomi operasyonu uygulanmıştır. Operasyonda intratimik yerleşimli paratiroid adenomu eksizyonu yapılan hastanın postoperatif dönemde parathormon yükseklüğünün sebat etmesi nedeniyle (PTH: 130 pg/mL Ca: 10,7 mg/dL P: 2,2 mg/dL) yapılan boyun USG, MR ve Tc-99m MIBI paratiroid sintigrafisinde lezyon tespit edilememesi üzerine F-18 kolin PET/BT görüntülemesi yapıldı. 6,8 mCi F-18 kolin enjeksiyonundan 45 dakika sonra alınan görüntülerde anterior mediastende orta hatta intratimik yerleşimli artmış aktivite tutulumu gösteren lezyon paratiroid adenomu lehine değerlendirildi (Şekil 1). Daha sonra yapılan dinamik BT çalışmasında da intratimik yerleşimli paratiroid adenomu ile uyumlu lezyon (Şekil 2) tanımlanması üzerine yeniden opere edilen hastanın patolojik inceleme sonucu intratimik yerleşimli paratiroid adenom olarak raporlanmıştır. Erken postoperatif dönemde PTH: 31 pg/mL Ca: 8,2 mg/dL'ye düşen hasta sağlıklı taburecü edilmiştir.

Sonuç: Paratiroid adenom hiperparatiroidinin en sık nedeni olup cerrahi öncesi yapılan lokalizasyon çalışmaları (USG, BT, MR) cerrahi operasyonun başarı oranını artırmaktadır. PET teknolojisi ile elde edilen yüksek uzaysal rezolюsyonun katkısıyla, F-18 kolin radyofarmasötiği ile yapılan PET görüntüleme bu amaçla kullanılabilen etkin bir alternatif yöntem olarak gözükmeektedir.

Anahtar Kelimeler: F-18 kolin PET, paratiroid adenom



Şekil 1. F-18 kolin PET/BT görüntülerinde anterior mediastende anterior mediastende yerleşimli yoğun artmış aktivite tutulumu gösteren lezyon paratiroid adenomu ile uyumlu olarak değerlendirildiği gösteriliyor.



Şekil 2. BT çalışmasında anterior mediastende yerleşimli paratiroid adenomu ile uyumlu lezyon tespit edildiği gösteriliyor.

[PS-082]

Obezite ve Diabetes Mellitus ile Diferansiyel Tiroid Kanserleri Arasındaki İlişki

Seyit Ahmet Ertürk¹, Zekiye Hasbek¹, Gülnur Duman², Bülent Turgut¹, Esra Çiftçi¹, Ali Çakmakçılar¹

¹Cumhuriyet Üniversitesi Tip Fakültesi, Nükleer Tip Anabilim Dalı, Sivas

²Cumhuriyet Üniversitesi Tip Fakültesi, Endokrinoloji Bilim Dalı, Sivas

Amaç: Tartışmalı bir konu olmakla birlikte, son zamanlarda bazı çalışmalarda obezitenin tiroid kanser riskini artırdığı bildirilmektedir. Bu çalışmada amacımız, differansiyel tiroid kanserleri (DTK) nedeniyle radyoiyot tedavisi alan hastalarda obezite, diabetes mellitus (DM) ve tiroid kanseri arasındaki ilişkinin değerlendirilmesidir.

Yöntem: Çalışmaya Ocak 2015-Aralık 2016 tarihleri arasında DTK nedeniyle radyoiyot tedavisi alan hastalar dahil edildi. İki farklı kontrol grubu oluşturuldu. Birinci kontrol grubu (kanser kontrol grubu), tiroide herhangi bir patoloji saptanmayan, pankreas dışında diğer organ tümörleri nedeniyle evreleme amacıyla PET/BT istemi yapılan hastalar arasından rastgele seçildi. İkinci kontrol grubu (kanser olmayan kontrol grubu) ise bilinen herhangi bir kanseri ve tiroide ait herhangi bir bulgusu olmayan hastalardan seçildi. Hem DM varlığı hem de vücut kitle indeksleri (VKİ) göre analizler yapıldı.

Bulgular: DTK'lı hasta grubunda yaşıları 17-73 (medyan: 51,5) olan 68 K/18 E olmak üzere 86 hasta vardı. Birinci kontrol grubunda yaşıları 18-84 (medyan: 62) olan 49 K/70 E olmak üzere 119 hasta vardı. İkinci kontrol grubunda ise yaşıları 28-75 (medyan: 53,5) olan 54 K/30 E olmak üzere 84 hasta vardı. DTK ile 1. kontrol grubu karşılaştırıldığında, DTK olan hastalardan %29,1'inde DM varken, %70,9'unda yoktu ($p=0,026$). Yine aynı grupta DTK hastalarından %52,9'unda VKİ'ye göre obezite vardı ($p=0,018$). İkinci kontrol grubunda ise hem DM hem de obezite ile DTK arasında istatistiksel anlamlı ilişki bulunmadı ($p=0,328$ ve $p=0,332$; sırasıyla) (Tablo 1).

Sonuç: Çalışmamızın sonuçlarına göre, kanser kontrol grubu ile birlikte değerlendirildiğinde; DM, obezite ve DTK birliliklerinin, DTK dışında diğer kanser olgularına göre daha yüksek bulunmuş olması nedeniyle, özellikle DM ve/veya obezitesi olan ve şüpheli tiroid nodülü nedeniyle takip edilen olgularda yaklaşımın daha agresif olarak planlanması ve takipten ziyade ince igne aspirasyon biyopsisi yapılmasını önermektedir.

Anahtar Kelimeler: Obezite, differansiyel tiroid kanseri, diabetes mellitus

Tablo 1. Obezite, diabetes mellitus ve tiroid kanseri arasındaki ilişki

	1. kontrol grubu (%)			2. kontrol grubu (%)				
	DTK	DM var	DM yok	p	DTK	DM var	DM yok	p
		25 (%29,1)	61 (%70,9)			25 (%29,1)	61 (%70,9)	
Düzenlenen	Diğer	19 (%16)	100 (%84)		Kanser	31 (%36,9)	53 (%63,1)	
		Obezite yok	Obezite var			Obezite yok	Obezite var	
	DTK	37 (%52,9)	33 (%47,1)	0,018*	DTK	33 (%47,1)	37 (%52,9)	0,332
	Diğer	84 (%70,6)	35 (%29,4)		Kanser	47 (%56)	37 (%44)	
		DM yok	DM var			DM yok	DM var	

DTK: Diferansiyel tiroid kanser, DM: Diabetes mellitus

[PS-083]

Maligniteyi Taklit Eden Pulmoner Aspergilloma Olgusunda FDG PET/BT BulgularıHuri Tilla İlçe¹, Sezen Elhan Vargöl², Tevfik Fikret Çermik¹¹Sakarya Üniversitesi Tıp Fakültesi, Nükleer Tıp Anabilim Dalı, Sakarya²Sakarya Üniversitesi Eğitim ve Araştırma Hastanesi, Nükleer Tıp Kliniği, Sakarya

Amaç: Elli yedi yaşında kadın hasta, öksürük, nefes darlığı, balgam, hemoptizi şikayeti ile göğüs hastalıkları polikliniğine başvurdu. Yapılan toraks BT taktikinde, sol akciğer üst lobda kitle saptanması üzerine otuz yıl önce geçirilmiş tüberküloz (Tbc) öyküsü mevcut olgudan malignite şüphesiyle F-18 FDG PET/BT taktiki istendi.

Oluğ: PET/BT görüntülemede, sol akciğer üst lob apikoposterior segmentte yer alan en geniş yerinde yaklaşık 4,5 cm'ye ulaşan anterior üst kesiminde hilal şeklinde hava imajı (air crescent) bulunan kitle lezyonun anterolateral kesiminde periferal orta düzeyde artmış FDG tutulumu (SUV_{max} : 4,9) saptandı. Kitle aort ve sol üst lob bronşuna yakın komşuluk halinde izlendi. Geri kalan akciğer parankiminde patolojik hipemetabolik nodüler lezyon saptanmadı. Mediastinal lenfatik istasyonlarda da patolojik hipemetabolik lenf nodu izlenmedi. Tanımlanan bulgularla olguda ön planda aspergilloma düşünündü. Kesin tanı için hastadan balgam kültürü alındı tanı konamaması üzerine fiberoptik bronkoskopik eksplorasyon (bronş lavajı ve biyopsi) yapıldı tanının aspergillom ile uyumlu gelmesi üzerine cerrahi (lobektomi) planlandı.

Sonuç: Aspergilloma genellikle Tbc kavitesi gibi nekrotik kavitelerde aspergillus hifleri ve çeşitli kan elemanlarından oluşur. Miçetoma ya da fungus topu olarak da bilinir. Eski Tbc kavitelerinin %17'sinde aspergilloma bulunmaktadır. Yıllarca asemptomatik olarak kalabilir. En sık semptom hemoptizi olup olguların %65-90'ında mevcuttur. Cerrahi için en sık endikasyon hemoptizidir. FDG PET/BT benign/malign pulmoner lezyonların ayırmada faydalıdır. Akut pulmoner enfeksiyonlar ve pulmoner enflamatuvar hadiseler yanlış pozitif sonuçlara neden olabilir. Pulmoner lezyonlara yönelik FDG PET/BT çalışmalarında Tbc öyküsü olan olgularda gelişmesi beklenen akciğer karsinomu yanı sıra yine Tbc zeminden yıllar sonra gelişen aspergilloma karakteristik görünümü ile FDG PET/BT çalışmalarında akılda tutulmalıdır (Şekil 1).

Anahtar Kelimeler: FDG PET/BT, aspergilloma



Şekil 1. Sol akciğerde tanımlı kitle lezyonun metabolik karakterizasyonu amacıyla yapılan F-18 FDG PET/BT görüntüleri (sırasıyla BT, PET, füzyon aksiyel kesitleri)

[PS-084]

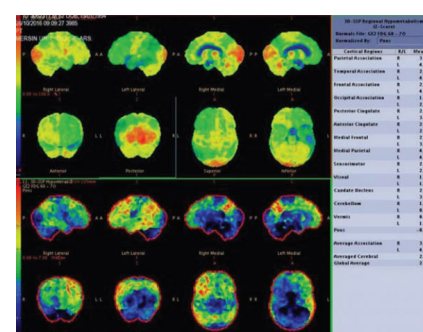
Yayın Primer Progresif Afazi Hastasının F-18 FDG PET/BT GörüntüleriZehra Pınar Koç¹, Pelin Özcan Kara¹, Okan Doğu²¹Mersin Üniversitesi Tıp Fakültesi, Nükleer Tıp Anabilim Dalı, Mersin²Mersin Üniversitesi Tıp Fakültesi, Nöroloji Anabilim Dalı, Mersin

Amaç: Primer progresif afazi konuşma fonksiyonunda bozulma ile karakterize demans alt tipidir. Genellikle frontotemporal bölgede hipometabolizma ile prezente olur. Biz yaygın hastalık nedeniyle sol dominant bilateral diffüz hipometabolizma izlenen bir primer progresif afazi hastasının PET/BT görüntülerini sunmak istiyoruz. Primer progresif afazi dil ve kognisyon bozuklukları ile karakterize frontotemporal demans ailesinden bir demans alt türüdür. MR bulgusu etkilenen beyin alanlarında atrofidir. Hastalık ilk planda temporal Wernicke alanında ağırlıklı olmak üzere sol serebral hipometabolizma ve daha sonra sol parietal hipometabolizmanın eklenmesiyle karşımıza çıkabilir. Bu olguda da ileri dönem hastalık nedeniyle diffüz hemiserebral hipometabolizma izlenmektedir.

Oluğ: Altmış iki yaşında erkek hasta; bir yıldır bradikinez ve rigiditenin eşlik ettiği dil ve kognitif fonksiyonlarda ilerleyici kayıp şikayeti ile bölümümüzde PET/BT taktiki için gönderilmiştir. MR görüntülerinde sol anteromedial temporal ve perisylvian atrofi izlenmektedir. PET/BT görüntülerinde bilateral okzipital lobların relativ olarak korunduğu solda belirgin diffüz hipometabolizma izlenmektedir (Şekil 1).

Sonuç: Primer progresif afazi tanısında son yıllarda F-18 FDG PET/BT önemli rol kazanmıştır. Her ne kadar primer progresif afazi frontotemporal demans ailesine ait bir hastalık olsa da ileri evrelerde parietal lob etkilenmesi de olduğu için önemli çıkışmalar gösterir. Daha önce PET/MR görüntülerile sol temporal ve perisylvian hipometabolizma tanımlanan bir olgu bildirilmiştir. Bu olgu sunumunda bilateral yaygın hastalık ile karşımıza çıkan literatürde bildiğimiz kadariyla ilk olguya sunmak istedik.

Anahtar Kelimeler: Primer progresif afazi, yaygın, hipometabolizma, PET



Şekil 1.

[PS-085]

Non-Hodgkin Lenfoma Tanısı Alan Hastada İlk Evreleme Amaçlı Yapılan PET/BT Görüntülemede Kas Yapılarında Lösemik-Lenfomatöz İnfiltrasyon

Pelin Özcan Kara¹, Zehra Pınar Koç¹, Anıl Tombak²

¹Mersin Üniversitesi Tıp Fakültesi, Nükleer Tıp Anabilim Dalı, Mersin

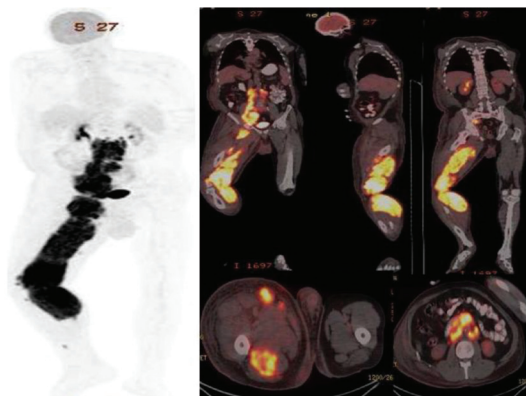
²Mersin Üniversitesi Tıp Fakültesi, Hematoloji Anabilim Dalı, Mersin

Amaç: Lenfoma hastalarında tanı, evreleme ve takipte FDG PET/BT görüntüleme standart bir yöntem olmuştur. Bu olgu sunumunda, ilk evreleme amaçlı PET/BT tatkiki yapılan diffüz büyük B hücreli lenfoma tanısı alan hastada nadir görülen kas yapılarında lösemik-lenfomatöz infiltrasyon bulgusu ve ayırcı tanıda yer alan durumlar takdim edilmiştir.

Oluğ: Altıçalış üç yaşında sağ inguinal bölgede saptanan lenf nodundan yapılan eksiyonel biyopsi sonrası diffüz büyük B hücreli lenfoma tanısı alan erkek hastada ilk evreleme amaçlı PET/BT tatkiki yapılmak üzere bölümümüze yönlendirildi. Hastaya 6 saat açlığı takiben kan glukoz düzeyi 122 mg/dL iken 8,5 mCi F-18 FDG intravenöz yolla verilek 60 dakika sonra kalvaryumdan ayak tabanına kadar 3D modunda düşük doz non-diagnostik BT ile tüm vücut PET/BT görüntülemesi yapıldı. PET/BT görüntülemede abdomende bilateral paraaortik, aortakaval, prevertebral, retroperitoneal, sağ parailiak alanlarda, sağ pelvik zincirde ve sağ inguinofemoral bölgeye uzanan yer yer konglomerasyon gösteren hipemetabolik (SUV_{max} : 14,21) lenfadenopatiler izlendi. Ek olarak; sağ alt ekstremitede ödematoz görünüm, sağ krural bölge orta kesimden sağ pelvik düzeye uzanım gösteren posteriorda kas yapılarında diffüz tarzda gevresinde yer yer hipemetabolik nodüler yumuşak doku dansitesinde lezyonlarda izlenen artmış metabolik aktivite (SUV_{max} : 15,14) dikkati çekti (Şekil 1). PET/BT görüntüleme bulgularına göre sağ alt ekstremitede kas yapılarında belirgin metabolik aktivite artışı lösemik-lenfomatöz infiltrasyon ile uyumlu olarak yorumlandı.

Sonuç: Primer iskelet kası lenfoması nadirdir. Tüm ekstranodal tutulum gösteren lenfomaların %0,5'inde görülür. Lenfomaya sekonder kas tutulumu ise nadir olmakla birlikte özellikle diffüz B hücreli lenfoma alt tipinde bu olguda olduğu gibi en sık karşılaşılmaktadır. Çoğu orta-yüksek evre agresif histolojiye sahiptir. Ekstremitelerde kasları; özellikle de alt ekstremitelerde kasları bu olguda olduğu gibi en sık tutulan bölgelerdir. Sistemik lenfoma iskelet kaslarına hematogen ve lenfatik yol ile yayılır. Bu olgu sunumunda, nadir görülen kas yapılarında lösemik-lenfomatöz infiltrasyon olgusunda PET/BT görüntüleme bulgusu takdim edilmiştir.

Anahtar Kelimeler: NHL, PET/BT, lösemik-lenfomatöz infiltrasyon



Şekil 1.

[PS-086]

Opere Sağ El Üçüncü Parmak Skuamöz Hücreli Karsinom Tanısı ile Takip Edilen Hastada, F-18 FDG PET/BT ile İnsidental Olarak Saptanan, Böbrek Tümörünü Taklit Eden Renal İndiferansiyeli Pleomorfik Sarkom Olgusu

Mehmet Tarık Tatoğlu, Ebru İbişoğlu, Hatice Uslu, Serkan Güngör

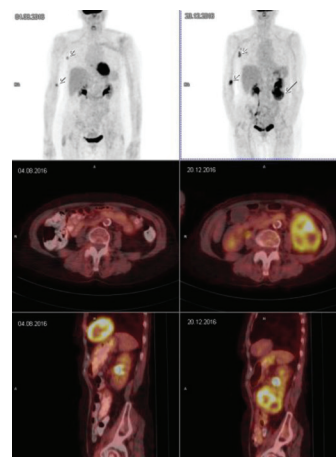
Medeniyet Üniversitesi Göztepe Eğitim ve Araştırma Hastanesi, Nükleer Tıp Kliniği, İstanbul

Amaç: İndiferansiyeli pleomorfik sarkomlar, erişkinlerde en sık görülen yumuşak doku sarkomlarındır. Nadir olarak renal kaynaklı olabilmektedirler. Bu olguda insidental olarak saptanan renal kaynaklı indiferansiyeli pleomorfik sarkomun ilginç prezantasyonunu sunduk.

Oluğ: Yetmiş yaşındaki sağ el 3. parmakta skuamöz hücreli karsinom nedeniyle opere kadın olguda, epitroklear ve aksiller lenf nodları saptanması nedeniyle, yeniden evreleme amaçlı yapılan F-18 FDG PET/BT tatkikinde, sağ epitroklear alanda ve sağ aksiller fossada hafif hipemetabolik lenf nodları ile sağ akciğer mediobazal segmentte kaviter görünümde yaklaşık 1,5 cm çapında hafifçe hipemetabolik lezyon saptandı. Opere edilmeden takip edilen olgudan, yaklaşık 4,5 ay sonra yeniden evreleme amaçlı F-18 FDG PET/BT tatkik istendi. Yapılan incelemede sağ epitroklear ve sağ aksiller fossadaki lenf nodlarında metabolik ve morfolojik progresyon izlenirken, sağ akciğerdeki kaviter lezyonda metabolik regresyon mevcuttu. İlk F-18 FDG PET/BT çalışmasında sol böbrekte herhangi bir patolojik FDG tutulum odağı gözlenmemekten, yeni çalışmada sol böbrek orta - alt polden inferiora uzanım gösteren yaklaşık 80x78x60 mm boyutundan, santralinde hipometabolik - nekrotik alanların gözlediği, heterojen karakterde yoğun hipemetabolizma gösteren kitlesel lezyon saptandı (SUV_{max} : 9,7). İkinci primer böbrek malignitesi düşünüldü. Hastaya sol nefrekomi opereasyonu yapıldı. Patoloji sonucunda sol böbrek alt polde kapsül dışında lokalize, böbrek dokusuna infiltrasyon göstermeyen malign mezenkimal tümör tanısı verildi. İmmünohistokimyasal boyamalar sonucunda tanı indiferansiyeli pleomorfik sarkom eski olarak sonuçlandı.

Sonuç: Primer renal indiferansiyeli pleomorfik sarkomlar oldukça nadir olgulardır. İndiferansiyeli pleomorfik sarkomlar renal lokalizasyonda saptandıklarında herhangi bir görüntüleme yöntemi ile primer renal hücreli karsinomlardan ayrılması mümkün olmamaktadır. Tedavisinde, geniş eksiyon sonrası radyoterapi önerilmektedir.

Anahtar Kelimeler: Renal indiferansiyeli pleomorfik sarkom, malign mezenkimal tümör, F-18 FDG PET/BT



Şekil 1.

[PS-087]

Miyokard Perfüzyon Sintigrafisinde İnsidental Timoma Olgusunda Preoperatif ve Postoperatif Değerlendirme

Esmra Mehtap Başbuğ, Zeynep Erdoğan, Güler Silov, Ayşegül Özdal

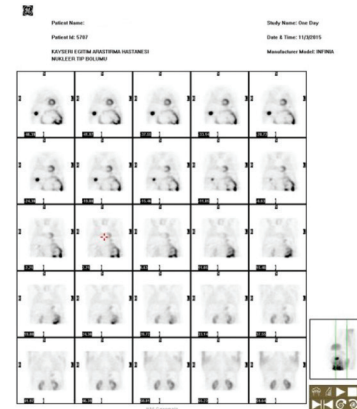
Sağlık Bilimleri Üniversitesi, Kayseri Eğitim ve Araştırma Hastanesi, Nükleer Tip Anabilim Dalı, Kayseri

Amaç: Miyokard perfüzyon sintigrafisinde yaygın olarak kullanılan Tc-99m sestamibi, aynı zamanda tümör tarama özelliklerine de sahip bir radyofarmasötik olup kardiyak görüntüleme esnasında ekstrakardiyak bulgulara da rastlanabilmektedir. Tc-99m sestamibi tutulumunun gözleendiği tümörlerden biri de timomadır. Bu olguda, miyokard perfüzyon sintigrafisi sırasında rastlantısal olarak tespit edilen timoma sunulmuştur.

Olgı: Göğüs ağrısı şikayeti olan 38 yaşındaki erkek hastaya koroner arter hastalığını araştırmak amacıyla miyokard perfüzyon sintigrafisi çekildi. Anterior mediastende patolojik Tc-99m sestamibi tutulumu izlenmesi üzerine takiben tüm vücut tarama görüntüleri alındı. Toraks bilgisayarlı tomografide ön mediastende 41×33 mm boyutlarında bilobule kitlesel lezyon tespit edildi. Takibinde sağ videotorakoskopi ile kitle eksizyonu yapıldı. Histopatolojik incelemede tip AB, mikst timoma tanısı konuldu. Hastanın hikayesinde konuşmasında bozulma ve yutma güçlüğü şikayeti bulunması üzerine miyasteni gravis birlaklılığı açısından asetilkolin reseptör antikor düzeyi bakıldı ve EMG yapıldı. Antikor düzeyi pozitif [36,0 nmol/L; ($>0,40$ pozitif)] bulunurken EMG bulguları da miyasteni gravis ile uyumlu olarak değerlendirildi. Ayrıca postoperatif dönemde Tc-99m sestamibi ile tüm vücut görüntüleme tekrarlandı, tanımlanan lezyon bölgesinde ve tüm vücutta patolojik aktivite tutulumuna rastlanmadı.

Sonuç: Bu olgu sunumu, miyokard perfüzyon sintigrafisi çekimlerinin ekstakardiyak aktivite tutulumu açısından da dikkatlice incelenmesi; kalp sintigrafisi ajanlarının potansiyel tümör tarama özelliğinden dolayı; göğüs ağrısına sebep olan ekstrakardiyak lezyonların ortaya çıkartılmasını sağlayabilir. Miyokard perfüzyon sintigrafisi için rutinde kullanılan ajanların hepsinin timomada tutulumunun bildirilmiş olması bu hastaların pre ve postoperatif yönetiminde Tc-99m sestamibinin potansiyel rolünü ortaya koymaktadır.

Anahtar Kelimeler: Timoma, Tc-99m sestamibi, miyokard perfüzyon sintigrafisi



Şekil 2.

[PS-088]

Malignite Şüpeli İntrahepatik ve Peritoneal Splenozis Olgusunda Tc-99m İşaretli Denatüre Eritrosit Sintigrafisi ve SPECT/BT'nin Taniya Katkısı

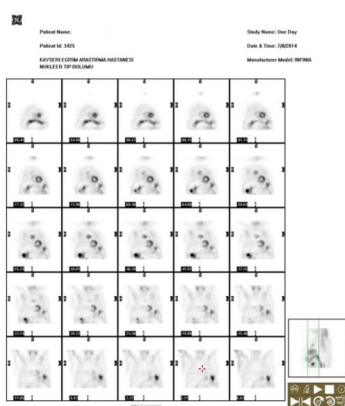
Keyser Öksüzoglu¹, Rabia Ergelen², Tunç Öneş¹, Sabahat İnanır¹, Halil Turgut Turoğlu¹, Tanju Yusuf Erdil¹

¹Marmara Üniversitesi Pendik Eğitim ve Araştırma Hastanesi, Nükleer Tip Anabilim Dalı, İstanbul

²Marmara Üniversitesi Pendik Eğitim ve Araştırma Hastanesi, Radyoloji Anabilim Dalı, İstanbul

Amaç: Karın ağrısı şikayetiyle başvuran 41 yaşında kadın hastanın BT imajlarında; karaciğer segment 8'de subkapsüler hipodens lezyon, segment 6 komşuluğunda ise İVKM sonrası kontrastlanan multipl yumuşak doku dansiteli lezyonlar izlendi. MR görüntülerinde; lezyonlar T1 imajlarda hipointens, T2 imajlarda hiperintens olarak izlenirken, kontrast maddenin intravenöz enjeksiyonu sonrası, tüm lezyonlar arteriyel fazda heterojen ve portal faz görüntülerinde homojen kontrastlanma gösterdi. Peritonitis karsinomatoza düşündürülmüş olsun; detaylı anamnezinde, posttravmatik rüptür sonrası splenektomize olduğu öğrenildi. Olguya Tc-99m işaretli denatüre eritrosit sintigrafisi yapıldı. Planar imajlarda; batın sağ üst kadran ile sol üst kadранa (hafif) aktivite tutulumu izlendi. SPECT/BT ve planar imajlarda izlenen bu aktivite tutulmlarının, BT ve MR'de tanımlanan lezyonlara ait olduğu dikkati çekerken sol üst kadran da izlenen şüpheli aktivite tutulumu ise sol parakolik olukta subsantimetrik peritoneal bir lezyona aitti. Bu bulguların intrahepatik ve peritoneal splenozis ile uyumlu olduğu düşünüldü. Beş ay sonra kontrol amaçlı yapılan BT ve MR görüntülemelerde bulgularda interval fark saptanmadı.

Olgı: Olguya invaziv tanı yöntemlerine gerek kalmaksızın splenozis tanısı konulmuş oldu. Splenozis; dakal rüptürü veya splenektomi sonucu dakal dokusunun ototransplantasyonudur. Peritonitis karsinomatoza, endometriozis, böbrek kanseri, abdominal lenfomalar, hepatik adenom veya metastaz; splenozis ile ayrıca tanıya girer. Tc-99m işaretli denatüre eritrosit sintigrafisi ve SPECT/BT ile splenozis tanısı noninvazif olarak konulabilirken, yine de atipik olgular için doku örnekleme gerekebilir. BT ve MR, beklenen bölgelerde aksesuar dakal/splenozis tespitinde oldukça duyarlı iken; multipl splenozis olgularında, farklı lokalizasyonlardaki lezyonların tek bir kontrast madde enjeksiyonu ile tespiti zordur. Tc-99m denatüre eritrosit sintigrafisi ile tek bir enjeksiyon ile birçok alanın taranabilmesi avantajlarından biridir. Hibrid SPECT/BT görüntüleme ile lezyonların anatomik lokalizasyonunun

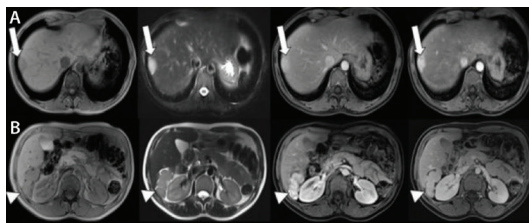


Şekil 1.

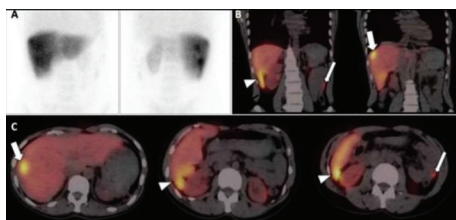
gösterilebilmesi ise planar görüntülemeye ek bir katkı olarak bu olgu grubunda dikkati çekmektedir.

Sonuç: Karın travması veya splenektomi öyküsü olan hastalarda, malignite öyküsü olsa bile, peritoneal, pelvik veya torasik lezyonlarda splenozis ayırıcı tanıda mutlaka düşünülmelidir. Bu olgu grubunda, Tc-99m işaretli denatüre eritrosit sintigrafisi ve SPECT/BT invazif tanı yöntemlerine gerek kalmaksızın ayırıcı tanıda kullanılabilmektedir.

Anahtar Kelimeler: Splenozis, SPECT/BT, denatüre eritrosit sintigrafisi



Şekil 1.



Şekil 2.

[PS-089] Mesane Kanseri Olguda Ekzofitik Karakterde Hipermetabolik Karaciğer Metastazları: Alışılmadık Prezentasyon Olgu Sunumu

Gökse Alçın, Bircan Sönmez

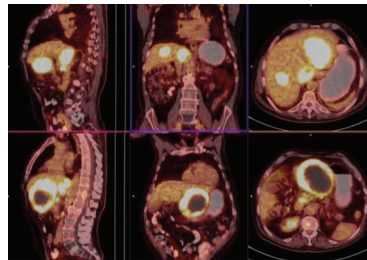
Karadeniz Teknik Üniversitesi Tıp Fakültesi, Nükleer Tıp Anabilim Dalı, Trabzon

Amaç: Mesane kanseri yaşlı hastalarda ve erkeklerde daha sık görülen bir malignite olup insan ömrünün uzaması ile birlikte artan kanser türlerinden biridir. Lenf nodu, kemik, akciğer, karaciğer gibi organlar mesane kanserinin sık metastaz yaptığı lokalizasyonlar olmakla birlikte literatürde ince barsak, testis, tiroid, vajina, adrenal gland, kalp, deri ve serebrumda da metastazları bildirilmiştir. Çalışmamızda mesane kanserinin alışılmadık biçimde izlenen karaciğer metastazları olgusunu sunmayı amaçladık.

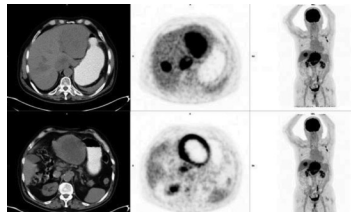
Oluğ: Yetmiş altı yaşında erkek hasta, hematuri nedeniyle yapılan sistoskopide mesanede tüm duvarlarda yaygın solid tümörler oluşumlar izlenmiş ve yapılan TUR sonucu invazif yüksek dereceli papiller ürotelyal karsinom (pT1) saptanmış. Konvansiyonel radyolojik görüntülemeler ile evrelemede karaciğer metastazına ait bulgu saptanmamış. Pelvik RT alan ve 3 ay sonra batın MR'de karaciğerde 18x16 mm metastaz lehine değerlendirilen lezyon saptanması üzerine 6 kür Gemzar-Sisplatin verilmiş. Tanı sonrası 14. ayda tedaviye yanıt değerlendirme amaçlı yapılan FDG PET/BT'de karaciğerde büyüğü sol lobda santralinde geniş kistik/nekrotik alan bulunan, batında inferiora ekzofitik uzanmış ve periferik yoğun artmış FDG tutulumu (SUV_{max} 14,3) izlenen yaklaşık 12,1x9,8x11,5 cm kitle lezyon saptandı. Ayrıca kaudat lob ve segment 7-8 bileskesinde 2 adet yoğun hipemetabolik kitle lezyon saptandı. Paraözefajial, peripankreatik ve antekaval lenf nodlarında yoğun artmış FDG tutulumları saptandı.

Sonuç: Mesane kanserinin yeniden evrelendirmesinde FDG PET/BT görüntülemenin fayda sağladığı literatürdeki çeşitli çalışmalarında bildirilmekte birlikte bu olguda mesane kanserinin RT ve KT altında progresyonu ve karaciğerde dev ekzofitik metastazlarına ait nadir görünüm sunulmuştur.

Anahtar Kelimeler: FDG PET/BT, mesane kanseri, karaciğer metastazı



Şekil 1.



Şekil 2.

[PS-090]

Lokalize Edilemeyen Ektopik Paratiroid Adenomlarında Tc-99m MIBI Sintigrafisi ve SPECT/BT'nin Rolü

Berna Tekin Okudan, Nazım Coşkun

Sağlık Bilimleri Üniversitesi, Ankara Numune Eğitim ve Araştırma Hastanesi, Nükleer Tıp Kliniği, Ankara; Amasya Üniversitesi Tıp Fakültesi, Nükleer Tıp Anabilim Dalı, Amasya

Amaç: Primer hiperparatiroidizm, parathormon (PTH), serum kalsiyum düzeyinde artma ve inorganik fosfat düzeyinde azalma ile karakterize klinik bir durum olup tedavi, erken cerrahi rezeksiyonudur. Operasyonun başarısında hastalığa sebep olan paratiroid bezlerinin sayı ve yerleşiminin belirlenmesi oldukça önemlidir. Özellikle, ektopik bezlerde cerrahi sonrası tekrarlama oranı %5-10 olarak bildirilmektedir. Hiperparatiroidi olgularında teknetsium-99m sestamibi (Tc-99m MIBI) sintigrafisi ile ektopik bezlerin lokalizasyonu yapılmıştır. Bu olgu sunumunda amaç; klinik hiperparatiroidi tanısı alan, ancak ultrasonografik (USG) olarak paratiroid patolojisi saptanamamış olan olgularda pozitif Tc-99m MIBI SPECT/BT bulgularını paylaşmaktadır.

Oluğ 1: Hiperkalsemi (11,5 mg/dL; 8,5-10,5 mg/dL) etiyolojisi açısından araştırılan yetmiş yaşında kadın hastada PTH: 76,9 (12-88 pg/mL) idi. On beş mCi (555 MBq) MIBI enjeksiyonu sonrası 4. saat planar görüntülemeyi takiben yapılan SPECT/BT görüntülemeye; sağ lob alt kesimde; C7 vertebra düzeyinde, paratrakeal yerleşimli fokal ve ayrıca mediastinal alanda, Th4 vertebra düzeyinde, retrosternal yerleşimli paratiroid patolojileri saptanmıştır (Şekil 1).

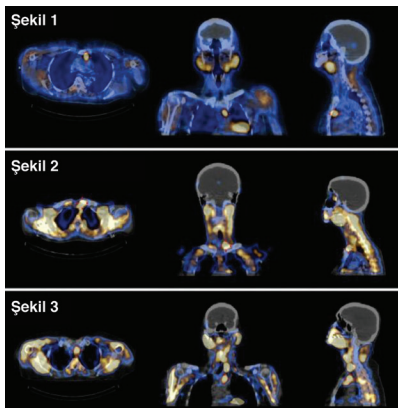
Oluğ 2: Yirmi beş yaşında kadın hastada; PTH: 141 (12-88), Ca: 10,7 (8,5-10,5) olarak saptanmıştır. Erken ve geç planar ile geç SPECT/BT görüntülerinde; sol

supraklaviküler alanda, sternoklaviküler eklem komşuluğunda, pretrakeal yerleşimli ve Th1 vertebra düzeyinde belirgin fokal aktivite tutulumu saptanmıştır (Şekil 2).

Olgu 3: Elli dört yaşında kadın hastada PTH: 127,6 (12-88), Ca: 10,7 (8,5-10,5) olarak saptanmış, USG'de nodüller dışında paratiroid adenom gözlenmemiştir. SPECT/BT füzyon görüntülerde üst mediastende, sternum posteriorunda, retrosternal uzanım gösteren aktivite tutulumu saptanmıştır (Şekil 3).

Sonuç: Paratiroid adenomlarının %5-10'u ektopik yerleşimlidir. Özellikle mediastinal adenomların prevalansı %1,3 olarak bildirilmiştir. Cerrahi başarı büyük oranda bezin lokalizasyonunun preoperatif belirlenmesine bağlıdır ve başarısız paratiroid cerrahilerinin %75'inin sebebinin ektopik yerleşim olduğunu bildirmiştir. Ektopik paratiroid dokusunun tanımlanmasında en etkili görüntüleme yöntemi $Tc-99m$ MIBI sintigrafisinin duyarlılık ve özgüllüğü SPECT/BT eklenmesi ile %100'e ulaşmaktadır.

Anahtar Kelimeler: Paratiroid adenom, MIBI SPECT/BT



Şekil 1, 2 ve 3.

[PS-091]

Wilms Tümörü Tanısı Alan Çocuk Hastada PET/BT Görüntülemede Sol Atriuma Uzanan Vena Kava Inferior Tümör Trombusu

Pelin Özcan Kara¹, Zehra Pınar Koç¹, Elvan Çağlar Çitak², Yüksel Balci³

¹Mersin Üniversitesi Tip Fakültesi, Nükleer Tip Anabilim Dalı, Mersin

²Mersin Üniversitesi Tip Fakültesi, Onkoloji Anabilim Dalı, Çocuk Onkoloji Bilim Dalı, Mersin

³Mersin Üniversitesi Tip Fakültesi, Radyoloji Anabilim Dalı, Mersin

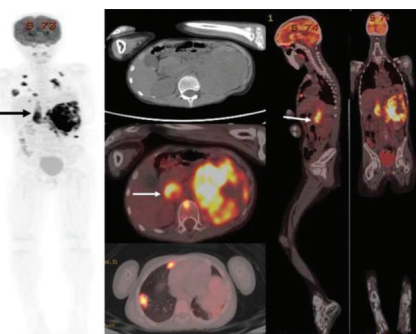
Amaç: Tümör trombusının doğru tanısı ve benign trombüslerin ayırmalarının yapılabilmesi gereksiz antikoagulan tedaviyi önlemek ve hasta yaklaşımını değiştirmek açısından onkolojik hastalarda oldukça önemlidir. Bu olgu sunumunda, Wilms tümörü tanısı bulunan erkek çocuk hastada sol atriuma uzanan vena kava inferior tümör trombusının gösterilmesinde ve doğrulanmasında FDG PET/BT'nin rolü sunulmuştur.

Olgu: Sol böbrekte kitle saptanan ve Wilms tümörü tanısı alan 8 yaşında erkek çocuk hastada ilk evreleme amaçlı PET/BT tettikti istendi. Hastaya 8 saat açlığı takiben kan glukoz düzeyi 91 mg/dL iken 6 mCi $F-18$ FDG intravenöz yoldan verildi. Hastaya 60 dakika sonra kalvaryumdan ayak tabanına kadar 3D modunda yatak başına 3 dakika olacak şekilde görüntüler alındı. Elde edilen görüntüler düşük doz nondiagnostik BT ile atenuasyon düzeltmesi

yapıldıktan sonra değerlendirildi. PET/BT görüntülemede sol böbrek orta-üst kesimini dolduran en geniş yerinde yaklaşık 10 cm boyutuna ulaşan heterojen iç yapı özelliğinde artmış metabolik aktivite gösteren (SUV_{max} : 15,10) primer malignite ile uyumlu kitle izlendi. Normalden geniş olarak izlenen sol renal ven lumeninde, sol ana iliak vende ve vena kava inferior lumeninde proksimalde sol atriuma kadar uzanımı bulunan belirgin artmış metabolik aktivite gösteren (SUV_{max} : 10,36) tümör trombusuna ait görünüm izlendi. Tüm vücut görüntülemede ayrıca her iki akciğer parankiminde en büyükleri sağ akciğerde yaklaşık 3,5 cm boyutunda olmak üzere metastatik (SUV_{max} : 8,7) parankimal ve subplevral nodüller, retroperitoneal alanda metastatik lenfadenopatiler (SUV_{max} : 7,3), sol pulmoner arter alt lob dallı-parahiler alanda muhtemel trombus ve/veya lenfadenopati (SUV_{max} : 10,55), L1 vertebra korpusunda metastatik hipodens lezyon (SUV_{max} : 8,78) izlendi (Şekil 1).

Sonuç: Altta yatan primer malignite olan hastalarda trombus insidansı yüksektir. Bu trombus çoğunlukla venöz tromboemboli (VTE) olmakla birlikte nadiren tümör trombusu de olabilmektedir. VTE onkolojik hastalarda sık görülmekte ve antikoagülan ajanları tedavi edilmekte iken tümör trombusundan ise agresif tedavi yaklaşımlarına ihtiyaç duyulmaktadır. Bu olguda tanışal BT tettikinde tümör trombusu ve venöz trombus ayımı yapılamayan bir hastada FDG PET/BT görüntüleme tümör trombusu tanısına yararlı olmuştur.

Anahtar Kelimeler: Tümör trombusu, PET/BT, Wilms tümörü



Şekil 1.

[PS-092]

Paklitakselden Kaynaklanan Hipersensitiviteye Bağlı Deri Lezyonları: F-18 FDG PET/BT Bulguları

İnci Uslu Biner¹, Ebru Tatçı¹, Berna Akinci Özüyurek², Özlem Özmen¹

¹Atatürk Göğüs Hastalıkları ve Göğüs Cerrahisi Eğitim ve Araştırma Hastanesi, Nükleer Tip Kliniği, Ankara

²Atatürk Göğüs Hastalıkları ve Göğüs Cerrahisi Eğitim ve Araştırma Hastanesi, Göğüs Hastalıkları Kliniği, Ankara

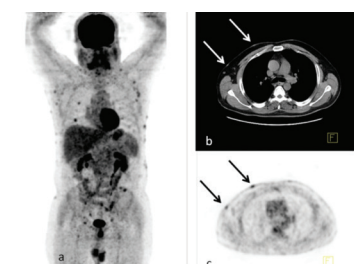
Amaç: Burada akciğer non-small cell karsinom (skuamöz hücreli karsinom) tanısıyla paklitaksel-cisplatin tedavisine başlanılan ve tedavinin ikinci kürü sonrasında hipersensitiviteye bağlı deri lezyonları gelişen 49 yaşında bir erkek hastanın FDG tutulumu gösteren deri lezyonlarının görüntülerini sunuyoruz.

Olgu: Akciğer non-small hücreli karsinom (skuamöz hücreli karsinom) tanılı 49 yaşındaki erkek hastaya kemoterapinin ikinci kürü sonrasında yeniden değerlendirme amacıyla yapılan PET/BT tettikinde skalpte, göğüs ön ve yan duvarlarında, karında, sırtta ve sağ inguinal bölgede multipl deri lezyonları ve bu alanlarda FDG tutulumları saptandı. Olgunun fizik muayenesinde bu bölgelerde ağrılı ve kaşıntılı, eritematöz deri döküntüleri olduğu gözlandı.

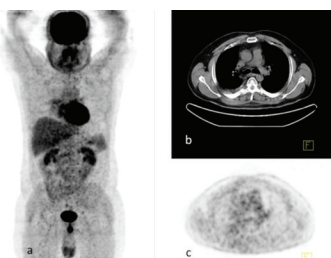
Retrospektif değerlendirildiğinde bu döküntülerin paklitakselin ikinci dozundan birkaç gün sonra gelişmiş olduğu öğrenildi. Bu döküntülerden sonra cildiye tarafından oral deksametazon tedavisi başlandığı ve sonrasında bu lezyonlarda gerileme olduğu hasta tarafından bildirildi. Tedavi bitiminde yapılan PET/BT tatkikinde deri lezyonlarının ve bu alanlardaki FDG tutulumlarının kaybolduğu gözlandı. Enflamatuvlar hücrelerde glukoz kullanımının fazla olmasından dolayı çeşitli enfektif/enflamatuvlar benign kutanöz lezyonlarda FDG tutulumu görülebilmekte olup bulgular metastaz ile karışabilir. Bu olguda lezyonların paklitaksel verildikten sonra ortaya çıkması ve kortizon tedavisine yanıt vermesi nedeniyle bulgular öncelikle hipersensitivite reaksiyonu ile uyumlu olarak değerlendirildi. Ayrıca tedavi bitiminde yapılan PET/BT tatkikinde deri lezyonlarının ve bu alanlardaki FDG tutulumlarının kaybolması da dikkat çekiciydi.

Sonuç: Olgumuz benign deri lezyonlarında da FDG tutulumunun gözlenebileceği ve metastaz ile karışabileceğini göstermektedir. Biz bu olguda klinik bulgular ile koreasyonun önemini tekrar vurgulamak ve paklitaksel tedavisi alan hastalarda hipersensitivite reaksiyonu olasılığını hatırlatmak istedik.

Anahtar Kelimeler: F-18 FDG PET/BT, paklitaksel, hipersensitivite reaksiyonu



Şekil 1. Kemoterapinin ikinci kürü tamamlandıktan üç hafta sonra ara değerlendirme amacıyla yapılan F-18 FDG PET/BT tatkikinde izlenen multipl deri lezyonlarına ait fokal artmış FDG tutulumlarının sırasıyla MIP, BT ve PET görüntüleri (beyaz ve siyah oklar) görülmektedir (a, b, c)



Şekil 2. Altı kür KT ve RT tedavisi bitiminde tedavi yanıtını değerlendirmek amacıyla yapılan F-18 FDG PET/BT tatkikinin hipermetabolik deri lezyonlarında belirgin gerileme olduğu sırasıyla MIP, aksiyel BT, PET görüntülerinde (a, b, c) izlenmektedir

[PS-093]

Nedeni Bilinmeyen Ateş Nedeniyle F-18 FDG PET/BT Yapılan İki Hastada Saptanan Büyük Damar Vaskülit

Arzu Cengiz, Sibel Göksel, Yakup Yürekli

Adnan Menderes Üniversitesi Tip Fakültesi, Nükleer Tip Anabilim Dalı, Aydın

Amaç: Nedeni bilinmeyen ateş (NBA), birden fazla ölümde 38,3 °C'yi geçen, 3 haftadan uzun devam eden ve bir haftalık hastanede yatarak

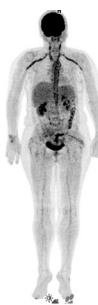
araştırılmasına rağmen tanı konamayan ateş olan olgular şeklinde tanımlanmaktadır. Hastaların yaklaşık %50'sinde geleneksel tanı metodlarıyla ateş etiyolojisi belirlenmemektedir. NBA tanısında kullanılan F-18 FDG PET/BT'nin hastaların %16-89'unda tanıya katkı sağladığı gösterilmiştir. Büyük damar vaskülit, aorta ve majör dallarında oluşan kronik granulomatöz enflamasyonun neden olduğu vaskülitdir. İnvaziv işlemler olan biyopsi ve anjiyografi tanıda altın standart yöntemler olmakla birlikte, sadece geç dönemde ortaya çıkan morfolojik değişiklikleri saptadıkları için erken dönemde olguların tanı alması zor olabilmektedir. Bu çalışmada, NBA etiyolojisini saptama amacıyla F-18 FDG PET/BT yapılan ve büyük damar vaskülit saptanan 2 hastanın bulguları sunulmaktadır.

Olgu 1: Yaklaşık 1,5 aydır, en yüksek 39,5 °C ölçülen ateş ve kilo kaybı şikayetleri olan hastanın kültürlerinde üreme olmadığı. Hastanın laboratuvar bulgularında sedimentasyon: 80 (N: 0-20 mm) ve C-reaktif protein (CRP): 107,8 (N: 0-5 mg/L) saptandı. F-18 FDG PET/BT'de büyük damar vaskülitin ı uyumlu olabilecek tüm aorta çeperinde (SUV_{max} : 6,3) ve aortun baş boyun ve ekstremitelere giden ana dallarında (SUV_{max} : 4,6) yaygın heterojen artmış FDG tutulumu izlendi (Şekil 1). Steroid tedavisi başlanan hastanın takipterinde klinik bulguları geriledi ve sedimentasyon, CRP değerlerinin normal düzeye indi.

Olgu 2: Ateş şikayeti olan 57 yaşında erkek hastanın laboratuvar bulgularında sedimentasyon ve CRP yüksekliği dışında anlamlı bulgu saptanmadı. F-18 FDG PET/BT görüntülerinde bilateral ana karotis arterler, subklavian arterler, aort arkı, torasik ve abdominal aorta, bilateral ana iliak arterler ve femoral arterlerin çaplarında diffüz artmış FDG tutulumu (SUV_{max} : 9,1) izlendi (Şekil 2). Büyük arter vaskülit tanısı alan hasta oral steroid tedavisi sonrası ateşinin düşmesi, sedimentasyon, CRP değerlerinin normal olması üzerine taburcu edildi.

Sonuç: Anatomik ve fonksiyonel görüntüleme yanında tüm vücut görüntüleme yöntemi nedeniyle F-18 FDG PET/BT, NBA hastalarının tanısında yüksek doğruluğa sahiptir. Damar duvarındaki erken dönem enflamasyonu göstererek, büyük damar vaskülit gibi konvansiyonel yöntemlerle tanı alamayan hastalarda tanı olağanı sağlar.

Anahtar Kelimeler: Nedeni bilinmeyen ateş, FDG PET/BT, vaskülit



Şekil 1.



Şekil 2.

[PS-094]

Laringeal Kondroma ve Kondrosarkomada F-18 Fluorodeoksiglukoz PET/BT'nin Ayırt Edici Değeri: Olgu Sunumu

Ümmühan Abdülrezzak¹, Serap Doğan², Alperen Vural³, İmdat Yüce³, Mete Gündoğ⁴

¹Erciyes Üniversitesi Tip Fakültesi, Nükleer Tip Anabilim Dalı, Kayseri

²Erciyes Üniversitesi Tip Fakültesi, Radyoloji Anabilim Dalı, Kayseri

³Erciyes Üniversitesi Tip Fakültesi, Kulak, Burun ve Boğaz Hastalıkları Anabilim Dalı, Kayseri

⁴Erciyes Üniversitesi Tip Fakültesi, Radyasyon Onkoloji Anabilim Dalı, Kayseri

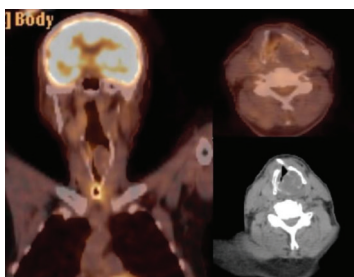
Amaç: Kondroma tüm kartilajinöz tümörleri tanımlamada kullanılan bir terim olup kondroma ve kondrosarkoma senkronöz veya metakronöz olarak ortaya çıkabilecek yakından ilişkili tümörlerdir. Kondrosarkoma kartilaj dokunun nadir bir malign tümör olup vücutta özellikle uzun kemikler ve pelviste olmak üzere her bölgede ortaya çıkabilir. Kondroma atipik hücrelerin görülmeyeceği, matür haliyle kartilaj formasyonu ile karakterize benign bir proses olmakla birlikte laringeal kondrosarkomalar ise meduller ve kortikal kemik dokusunda infiltratif büyümeye paterni gösteren atipik kartilaj matriks ile karakterize tümörlerdir. Düşük grade laringeal kondrosarkomaları kondromalardan ayırt etmek coğulukla güçtür. Biz bu yazımızda laringeal kondroma ve kondrosarkomali iki olgunun ayırt edilmesinde F-18 FDG PET/BT görüntülemenin önemini değerlendirmeyi amaçladık.

Olgu 1: Yetmiş yaşında dispne nedeniyle başvuran hastanın boyun ve larinks BT incelemesinde krikoid kartilaj sol posterolateralden kaynaklanan ve süperiöra hipofarinkse doğru ekspansil büyütlenen 27x28x50 mm boyutunda hipodens yumuşak doku görünümü izlendi. F-18 FDG PET/BT'de kitlenin metabolik aktivitesinin çevre yumuşak dokularda daha düşük düzeyde olduğu izlenmekteydi (Şekil 1). Larinoskopide sol aritenoid ve krikoid seviyelerde laringeal pasajı daraltan submukoza kitleleri eksize edilerek çıkarıldı. Patolojik incelemede atipi ve mitozun görülmemiği enkondroma tanısı aldı.

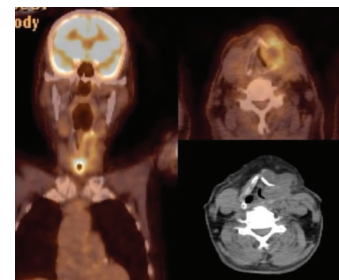
Olgu 2: Seksen iki yaşında solunum güçlüğü ile başvuran hastanın boyun ve larinks BT incelemesinde tiroid ve krikoid kartilaj sol kesimlerini belirgin ekspansiyeden, süperiöra areaepiglottik fold ve priform sinüs düzeyinden başlayıp inferiorda 1. trakeal halka düzeyine kadar uzanan 63x38x27 mm boyutunda hipodens yumuşak doku görünümü izlendi. Dual faz F-18 FDG PET/BT'de geç görüntülerde daha fazla olmak üzere kitle periferinde orta düzeyde FDG tutulumu (erken SUV_{max}: 4,5; geç SUV_{max}: 5,6) izlenmekteydi (Şekil 2). Hastaya genel anestezisi altında larinjektomi yapıldı. Patolojik incelemede "orta derecede atipi ve 2/50 BBA mitozun ve nekrozun eşlik ettiği grade 2 kondrosarkoma" tanısı aldı.

Sonuç: F-18 FDG PET/BT larengiyeal kondroma ve kondrosarkomaların ayırt edilmesinde kullanılabilecek bir görüntüleme yöntemidir.

Anahtar Kelimeler: Kondroma, kondrosarkoma, F-18 FDG PET/BT



Şekil 1.



Şekil 2.

[PS-095]

Kıbrıs Türk Toplumunda Sık Görülen Diferansiyel Tiroid Kanser Türü ve Cinsiyete Göre Görülme Sıklığı

Şebnem Aydın

Dr. Burhan Nalbantoğlu Devlet Hastanesi, Nükleer Tip Kliniği, Lefkoşa

Amaç: Diferansiyel tiroid kanser insidansı tüm dünyada artmaktadır ve aradaki sebepler tam olarak belli değildir. Amacımız Ülkemizde son 4 yılda Dr. Burhan Nalbantoğlu Devlet Hastanesi'nde takipli hastalardaki olgu sayılarını cinsiyet ve patolojik tanı türünün belirlemektir.

Olgu: Ocak 2012-Aralık 2016 yılları arasında diferansiyel tiroid kanseri tanısı almış 304 hasta çalışmaya dahil edildi. Hastaların 70 kişi (%23) erkek 234 kişi (%77) kadın cinsiyetti. Yine hastaların %74,6'sı papiller kanser klasik tip, %0,1'i folliküler kanser, %25'i papiller kanser folliküler varyant ve %0,2'si ise papiller kanser Hurthle hücreli ve/veya onkositik varyantları almışlardır.

Sonuç: Ülkemizde en sık görülen diferansiyel tiroid kanser türü papiller kanser klasik tip ve en sık kadın cinsiyette görülmektedir.

Anahtar Kelimeler: Diferansiyel tiroid kanser türü, cinsiyet dağılımı

[PS-096]

Kemik Sintigrafisinde Görülen Şüpheli Kemik Lezyonlarının SPECT/BT ile Değerlendirilmesi

Selman Süreyya Sungur, Müge Öner Tamam, Mehmet Mülazimoğlu

Sağlık Bilimleri Üniversitesi Okmeydanı Eğitim ve Araştırma Hastanesi, Nükleer Tip Kliniği, İstanbul

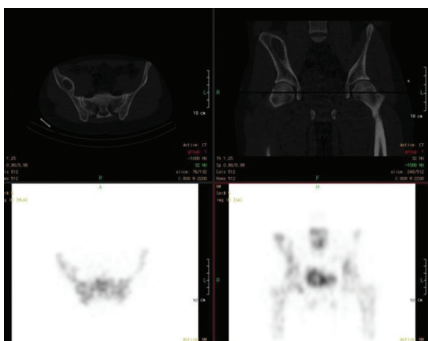
Amaç: Tek foton emisyon tomografisi/bilgisayarlı tomografi (SPECT/BT) hibrit görüntüleme sistemleri ile aynı anda anatomi ve metabolik görüntüleme ve atenuasyon düzeltmesi yaparak lezyonların daha doğru ve kolay şekilde değerlendirilmesini sağlar. Bu çalışmanın amacı; konvansiyonel nükleer tip görüntüleme yöntemlerine ek olarak kullanılan SPECT/BT görüntülemenin, lezyon değerlendirilmedeki etkinliğini araştırmaktır.

Yöntem: Kliniğimize kemik sintigrafisi yapılmak üzere başvuran hastalardan SPECT/BT çekilen 44 hasta (25 E, 19 K ortalama yaşı: 52±20) retrospektif olarak incelenerek çalışmaya dahil edildi. Tüm hastalara eş zamanlı tüm vücut kemik sintigrafisi (WBS), planar ve düşük doz SPECT/BT (Mediso Anyscan SC-Macaristan) uygulandı. Hastalar primer kemik tümörü, kemik metastazı, avasküler nekroz, fraktür (non-union), kemik grefti viabilitiesi, heterotopik ossifikasiyon, enfeksiyon gibi çeşitli nedenlerle başvurmuştu.

Bulgular: Kırk beş hastanın 3'ü mandibula, 1'i el-el bileği kemikleri, 2 toraks, 3'ü ayak-ayak bileği, 2 diz, 6 kol-ön kol, 6 vertebra, 8 pelvis, 13 femur bölgelerine planar ve SPECT/BT görüntüleri değerlendirildi. Beş bölgede (%11,4) (2 pelvis, 1 lomber vertebra ve 2 femur) planar ve SPECT/BT görüntüleri negatif, 33 bölgede (%75) planar ve SPECT/BT görüntüleri pozitif, 6 bölgede (%13,6) (2 mandibula, 1 diz, 1 pelvis, 2 femur) planar görüntü negative iken SPECT/BT görüntüleri pozitif olarak değerlendirildi.

Sonuç: SPECT/BT, planar görüntülemeye belirsiz olan kemik lezyonlarının yorumlanmasında WBS ve planar görüntülemeye göre lezyonların tespitini %13,6 oranında değiştirdi. Bu çalışma ile SPECT/BT kullanılarak, BT ile bilinmeyen litik lezyonları ve heterotopik ossifikasyon alanlarını, SPECT ile de lezyonları kesitsel olarak detaylı değerlendirmekle ilave bilgiler elde edilmişdir.

Anahtar Kelimeler: Tc-99m HDP kemik sintigrafisi, SPECT/BT, planar görüntü



Şekil 1.

[PS-097]

Nokardiyozlu Olguda FDG PET/BT

Keyser Öksüzoglu¹, Tunç Öneş¹, Elif Tigen², Nurver Ülger³, Halil Turgut Turoğlu¹, Sabahat İnanır¹, Volkan Korten², Tanju Yusuf Erdil¹

¹Marmara Üniversitesi Pendik Eğitim ve Araştırma Hastanesi, Nükleer Tip Anabilim Dalı, İstanbul

²Marmara Üniversitesi Pendik Eğitim ve Araştırma Hastanesi, Enfeksiyon Hastalıkları Anabilim Dalı, İstanbul

³Marmara Üniversitesi Pendik Eğitim ve Araştırma Hastanesi, Tibbi Mikrobiyoloji Anabilim Dalı, İstanbul

Amaç: Göğüs ve karın ağrısı şikayeti ile başvuran, 58 yaşında erkek hastanın laboratuvarında; p-ANCA ve proteinürü (+) bulunması sonrası, yapılan renal biyopsi "kronisite içeren ANCA ilişkili kresentrik glomerulonefrit" olarak bulundu.

Yöntem: Prednol ve imuran tedavisi başlanan olguda, 2 ay sonra gluteal şişlik gelişmesi üzerine yapılan USG'de; lobüle kontürlü, septalı, anekoik kistik lezyon saptandı. Gluteal bölgeye yerleştirilen drenden pürülün akıntısı olan hastada; göğüs duvarında, lumbosakral bölge ve sağ direkte şişlik saptandı. Akıntıdan alınan kültürde 'Nocardia farcinica' saptanması üzerine, hastaya imipenem, trimetoprim sulfametaksazol, moksifloksasin başlandı. Toraks BT'de kaviter lezyon izlenen olgu; dissemine nokardiyoz tesiti için FDG PET/BT'ye yönlendirildi. PET/BT tetkikinde; sağ posterior aksiller bölgede (deri altında) yumuşak doku dansiteli lezyonda, sağ ön kolda ve göğüs duvarı sağ kesimde izlenen (pulmoner parankime uzanım gösteren) koleksiyon alanları

periferinde, paraspinal kaslarda ve sakrum komşuluğu sol kesimden gluteal bölgeye uzanan kas planlarında artmış FDG tutulumu izlendi. Sağ gluteal bölgeden, uyluk distaline degen uzanan, distalde koleksiyon alanı şeklinde izlenen lezyonlarda hipermetabolizma dikkat çekti. Sağ akciğer orta lob lateral segmentte ise hafif hipermetabolik kaviter lezyon izlendi.

Bulgular: Dissemine nokardiyoz ön tanısı ile uyumlu olarak değerlendirildi. Nokardiyoz; hayatı tehdit etme potansiyeli olan, dissemine tutulumu neden olabilen enfeksiyon tablosudur. Genelde fırsatçı enfeksiyon olarak izlenmesine rağmen, hastaların yaklaşıklık üçte biri immünokompetandır. Solunum veya deri yolu ile bulaşır. En sık akciğer tutulumu görülür. Dissemine nokardiyoz; özellikle hücresel bağılıklı bozukluğu olan bireylerde ve siklikla beyin, böbrek, eklem, deri, göz tutulumu şeklinde görülmektedir. Kas tutulumu ise nadirdir. Kas tutulumu; lokal travma veya hematojen yolla olmaktadır. İmmünosüpresif tedavi alan, kollajen doku hastalıkları ve HIV enfeksiyonu olgularda daha sık görülmektedir. En sık nokardiyoz etkeni; *N. asteroides*'tir. *N. farcinica* tesiti; enfeksiyonun agresifliği, dissemine tutulum eğilimi ve antibiyotik rezistansı açısından önemlidir. Tedavi; antimikrobiyal tedavi, debridman/drenaj veimmün durumun düzeltilemesine yöneliktir.

Sonuç: Nokardiya üremesi olan kas yumuşak doku tutulumu ile başvuran bir hastada dissemine nokardiyoz araştırılmalıdır. PET/BT disseminasyon derecesini göstermede son derece yararlı bir tetkik olarak düşünülmelidir.

Anahtar Kelimeler: Nokardiyoz, FDG, PET/BT

[PS-098]

Kemik Sintigrafisinde Venöz Yetmezlikte Sekonder Alt Ekstremitede Perikortikal Tutulum: Olgu Sunumu

Gökşel Alçın, Bircan Sönmez

Karadeniz Teknik Üniversitesi Tıp Fakültesi, Nükleer Tip Anabilim Dalı, Trabzon

Amaç: Tüm vücut kemik sintigrafisinde perikortikal uptake artışı yapan nadir bir nedeni vurgulamayı amaçladık.

Olgı: Otuz dokuz yaşında erkek hastada, her iki diz altında ağrı şikayeti nedeniyle çekilen bilateral diz ve tibia direkt grafisinde bilateral tibia korteksinde periostit düşündürünen düzensiz kalınlaşmalar saptanmıştır. Hipertrofik osteoartropati (HOA) ön tanısı ile tarafımıza tüm vücut kemik sintigrafisi için yönlenirilen olguda yapılan sintigrafide bilateral tibia korteksinde belirginleşen diffüz tarzda perikortikal uptake artışı saptandı fakat bilateral üst ekstremité ve femurlarda benzer perikortikal uptake artışı saptanmadı. Yapılan PA akciğer grafisinde belirgin patoloji saptanmayan hastanın anamnesi derinleştirildiğinde yaklaşık 10 yıldır her iki baldırda şişme şikayeti ve bilateral alt ekstremité venöz yetmezliği nedeniyle takılı olduğu öğrenildi.

Sonuç: Sekonder HOA tübüler kemiklerde periostit/periostal yeni kemik yapımı ve bazen çomak parmak ile seyredebilen çoğulukla bilateral ve asemptomatik olabilen bir durumdur. Primer-metastatik pulmoner maligniteler, siyanotik kalp hastalıkları gibi bilinen nedenleri dışında literatürde sistemik vaskülit, akciğer dışı maligniteler (akciğer metastazı olmadan), derin enfeksiyonlar, çeşitli romatolojik hastalıklar, enflamatuvur barsak hastalıkları ve bilateral venöz yetmezlikte sekonder periostit gibi nadir nedenler de belirtilmiştir. Olgumuzda sadece bilateral tibiada perikortikal uptake artışı izlenmesi, üst ekstremité ve femurlarda perikortikal uptake artışı izlenmemesi ve anamnesi ile birleştirildiğinde bilateral alt ekstremité venöz yetmezlikte sekonder periostite bağlı perikortikal uptake artışı lehine yorumlanmıştır. Tüm vücut kemik sintigrafisinde perikortikal uptake artışı izlendiğinde hastanın anamnesi iyi sorgulanmalı ve değerlendirildiğinde nadir etiyolojiler de göz önünde bulundurulmalıdır.

Anahtar Kelimeler: Kemik sintigrafisi, perikortikal uptake, venöz yetmezlik



Şekil 1.



Şekil 2.

Literatürdeki benzer olgu: Gensburg RS, Kawashima A, Sandler CM. Scintigraphic demonstration of lower extremity periostitis secondary to venous insufficiency. *J Nucl Med* 1988;29:1279-1282.

[PS-099]

F-18 FDG PET/CT'de Rastlantısal Saptanan Unilateral ve Bilateral İki Elastofibroma Dorsi Olgusu

Arzu Cengiz, Sibel Göksel, Yakup Yürekli

Adnan Menderes Üniversitesi Tıp Fakültesi, Nükleer Tıp Anabilim Dalı, Aydın

Amaç: Elastofibroma dorsi, skapula çevresinde görülen, yavaş büyüyen, kapsülsüz olduğu için sınırları net ayırt edilemeyen benign yumuşak doku tümörüdür. CT'de görülmeye sıklığı %2 civarındadır. Genellikle bilateraldır. F-18 FDG PET/CT ile elastofibroma dorside hafif-orta düzeyde FDG tutulumu olduğu bilinmektedir. Asemptomatik olan veya radyolojik olarak insidental saptanan lezyonlara genel klinik yaklaşımda histopatolojik korelasyon önerilmemektedir. FDG tutulumu gösteren benign lezyonların tanınması yanlış değerlendirmeleri önleme açısından önemlidir. Biz de bu çalışmada iki hastanın F-18 FDG PET/CT görüntülerinde rastlantısal olarak izlediğimiz hafif düzeyde FDG tutulumu gösteren elastofibroma dorsi bulgularını sunmak istedik.

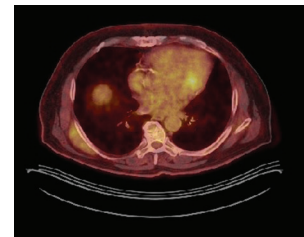
Olgu 1: Non-Hodgkin lenfoma tanısı alan 72 yaşında erkek hastanın evreleme amacıyla yapılan F-18 FDG PET/CT görüntülerinde abdominal ve pelvik hipermetabolik lenf nodları dışında sırt sağ posterolateralde deri altı yaşlı dokuda 6.7×1.9 cm yumuşak doku dansitesinde artmış FDG tutulumu izlendi (SUV_{max} : 3,7). Hastanın bu dönemde aktif şikayet yoktu. CT ve PET görüntüleri bir arada değerlendirildiğinde sırt bölgesinde tanımlanılan görünüm elastofibroma dorsi ile uyumlu olarak yorumlandı (Şekil 1).

Olgu 2: Meme kanseri tanısıyla evreleme amacıyla F-18 FDG PET/CT yapılan 68 yaşındaki kadın hastanın görüntülerinde sol aksiler ve parasternal hipermetabolik lenf nodları izlendi. Bunun dışında göğüs duvarı

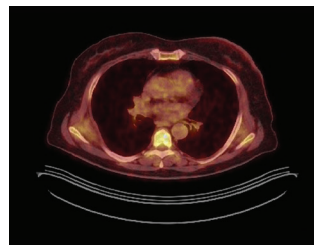
posteriorunda her iki serratus kası iç yüzeyinde, elastofibroma dorsi ile uyumlu olarak değerlendirilen, büyüğü sağda $5,4 \times 2,0$ cm bilateral yumuşak doku lezyonlarında hafif düzeyde artmış FDG tutulumu izlendi (SUV_{max} : 3,2) (Şekil 2). Hasta asemptomatik idi ve elastofibroma dorsi açısından tedavi almadı.

Sonuç: Elastofibroma dorsi lezyonlarının tipik lokalizasyonları ve PET/CT bulgularının bilinmesiyle hipemetabolik subskapular lezyonların yanlış pozitif yorumlanması önlenecektir. Bu şekilde hastalarda hem gereksiz girişimlerin önüne geçilecek hem de semptomatik hastalarda tedavi planlaması yapılabilecektir.

Anahtar Kelimeler: Elastofibroma dorsi, FDG PET/CT



Şekil 1.



Şekil 2.

[PS-100]

Konjonktival Malign Melanomda, Sentinel Lenf Nodu Sintigrafisi ve SPECT/CT Katkısı: Olgu Sunumu

Berna Tekin Okudan¹, Murat Tunç², Nazım Coşkun¹

¹Sağlık Bilimleri Üniversitesi, Ankara Numune Eğitim ve Araştırma Hastanesi, Nükleer Tıp Kliniği, Ankara

²Sağlık Bilimleri Üniversitesi, Ankara Numune Eğitim ve Araştırma Hastanesi, Göz Hastalıkları Kliniği, Ankara

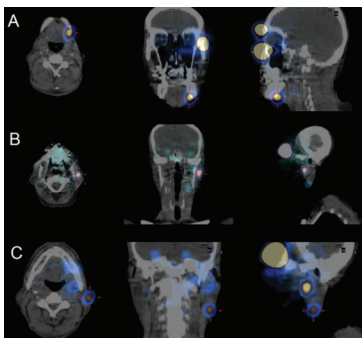
Amaç: Konjonktiva melanomu nadir olmakla birlikte ölümcül bir tümördür. On yıllık mortalite %30 olarak bildirilmiştir. Metastatik yayılımı lenfatik yolla bölgesel lenf nodlarına olmaktadır. Göz kapaklarının bölgesel lenf nodları kişisel farklılıklar da gösterebilmektedir. Bu olgu sunumunda, konjonktival tümörlü hastada sentinel lenf nodu sintigrafisi ile hastanın tedavi monitorizasyonu sunulmaktadır.

Yöntem: İki yıldır sağ üst kapak iç yüzde şişlik hissi ile araştırılmakta olan 55 yaşında kadın hasta, operasyon öncesi planlama amacı ile kliniğimize yönlendirildi. Sentinel lenf nodu sintigrafisi için; Tc-99m nanokolloid, sağ göz çevresinde 4 ayrı odağa subkutan olarak verildi (300 µCi, 0,1 cc). Enjeksiyon sonrası 10. dakika (erken) ve 120. dakika geç planar görüntüler, ayrıca, erken dönemde anatomi korelasyon amacıyla SPECT/CT alındı. Planar ve füzyon görüntülerin değerlendirilmesinde, preauriküler, submandibular ve juguler bölge 2B düzeyinde fokal aktivite tutulumları izlendi (Şekil 1).

Bulgular: Aktivite tutulumu izlenen sentinel lenf bezleri olarak değerlendirilerek lenf nodu biyopsisi yapıldı. İnce iğne biyopsi sonrası melanom ile uyumlu bulgular nedeniyle radikal parotis + boyun lenf bezleri diseksiyonu ile total cerrahi eksizyon uygulandı. Postoperatif olarak boyun lenfatiklerinde metastatik melanom saptandı. T3-N1 olarak sınıflandırılan tümör medikal onkoloji ve radyasyon onkolojisi kliniklerinde değerlendirilerek immünoterapi uygulandı.

Sonuç: Konjonktival tümörlerde lenf nodu kontrolünün yapılması prognostik sağkalım başarısını önemli düzeyde artırır. Tümörlerde sentinel lenf nodu araştırılması ve SPECT/BT katkısı ile anatomi korelasyonu ile lenfatik haritalama operasyon yaklaşımını değiştirecek ve başarısını yükseltecektir.

Anahtar Kelimeler: Konjonktival malign melanom, sentinel lenf nodu, SPECT/BT



Şekil 1.

[PS-101]

Ga-68 PSMA PET/BT Görüntülemede Saptanan Tiroid Bezi İnsidentaloması

Burak Sönmezler, Emine Acar, Recep Bekiş

Dokuz Eylül Üniversitesi Tip Fakültesi, Nükleer Tip Anabilim Dalı, İzmir

Amaç: 2002 yılında prostat adenokarsinomu tanısı alan, kontrollerinde stabil seyrederken PSA progresyonu saptanması üzerine, Aralık 2016'da yeniden evreleme amaçlı Ga-68 PSMA PET/BT görüntülemesi yapılan hastada saptanan tiroid bezi incidentalomasını görüntüleriyle birlikte sunmayı amaçladık.

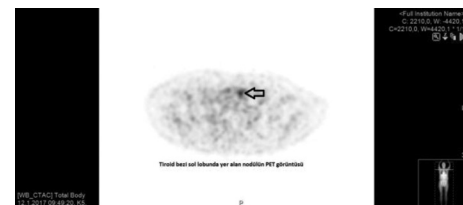
Olgı: Tanı aldıktan sonra radikal prostatektomi operasyonu geçiren, Gleason skoru 3+4=7 olan, 77 yaşındaki erkek hastanın PSA katlama süresi 5,3 ay, artış hızı 2,8 ng/mL/ay olarak hesaplandı. Nükleer Tip Anabilim Dalı'nda 3,2 mCi Ga-68 PSMA'nın intravenöz enjeksiyonundan 60 dakika sonra Philips Gemini TOF 16 slice PET/BT cihazında 10-12 yatak pozisyonu, her bir görüntülemede 1,5 dakika emisyon görüntüleme olacak şekilde Ga-68 PSMA PET/BT görüntülemesi yapıldı. Görüntülemede; tiroid bezi sol lobunda hipodens nodüler lezyonda (SUV_{max} : 3,3) artmış Ga-68 PSMA tutulumu mevcuttu. Ayrıca sağ internal iliak (SUV_{max} : 25,2) ve sağ obturator (SUV_{max} : 8,4) alanda, patolojik boyutlu lenf nodlarında artmış Ga-68 PSMA tutulumları izlendi. Tiroid bezinde tanımlanan bulgúnun ultrasonografi (USG) ile değerlendirilmesi, olası 2. primer malignite açısından ince iğne aspirasyon biyopsisi (İİAB) yapılması önerildi. Yapılan tiroid USG'de; en büyük tiroid bezi sol lobunda alt polde, konturları düzgün, iç yapısı heterojen, hipoekoik, 13x14x16 mm boyutlarında malignite açısından şüpheli, diğerleri milimetrik olmak üzere her iki tiroid lobunda nodüller izlendi.

Sonuç: Tiroid bezi sol lobundan yapılan İİAB sonucunda; hücresel atip izlenmesi üzerine biyopsi tekrarı yapılmış olup sonuç beklenmektedir. Sonuç yanlış pozitif Ga-68 PSMA tutulumu olarak beklenmekle birlikte nadir de olsa prostat karsinomu metastazı sürpriz olacaktır.

Anahtar Kelimeler: Ga-68 PSMA PET/BT, tiroid incidentaloma



Şekil 1. Tiroid bezi sol lobunda yer alan nodülü füzyon görüntüsü



Şekil 2. Tiroid bezi sol lobunda yer alan nodülü PET görüntüsü

[PS-102]

Primeri Bilinmeyen Metastatik Tümör Araştırılan Bir Hastada PET/BT Görüntülemede Maligniteyi Taklit Eden Vertebral Tüberküloz Olgusu

Pelin Özcan Kara¹, Zehra Pınar Koç¹, Ahmet Dağtekin²

¹Mersin Üniversitesi Tip Fakültesi, Nükleer Tip Anabilim Dalı, Mersin

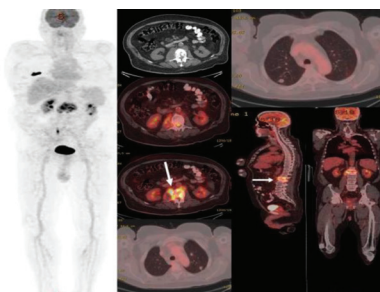
²Mersin Üniversitesi Tip Fakültesi, Beyin Cerrahi Anabilim Dalı, Mersin

Amaç: Malignite düşünülen ancak primer bilinmeyen hastalarda primer maligniteyi araştırmak üzere FDG PET/BT kullanım alanı bulmuştur. Bu olgu sunumunda, L1-L2 düzeyinde patolojik fraktür ve akciğerde metastaz şüphesi olan nodüller saptanın bir hastada olası primer maligniteyi araştırmak üzere yapılan PET/BT görüntüleme bulguları takdim edilmiştir.

Olgu: Altış iki yaşında L1-L2 vertebrada patolojik olduğu düşünülen fraktür ve akciğerde nodüller saptanın hastada olası primer maligniteyi araştırmak üzere PET/BT görüntüleme yapıldı. Hastaya 5 saat açlığı takiben kan glukoz düzeyi 120 mg/dL iken 11,4 mCi F-18 FDG iv. yolla verilerek 60 dk. sonra kalvaryumdan ayak tabanına kadar 3D modunda düşük doz non-diagnostik BT ile tüm vücut PET/BT görüntülemesi yapıldı. PET/BT görüntülemede her iki akciğer parankim alanlarında sayıca ondan fazla en büyüğü sağ akciğerde yaklaşık 1,5 cm boyutunda olmak üzere FDG tutulumu göstermeyen parankimal ve subplevral nodüller saptandı. L1-L2 vertebral düzeyinde BT komponentinde çökme fraktürü, sklerotik ve litik alanlar izlenen yumuşak doku komponenti içeren, spinal korda ve sağ iliopsoas kasına uzanım gösteren düzensiz FDG tutulum alanı (SUV_{max} : 12) saptandı (Resim 1). Ek olarak prostat bezi sağ lateralinde rölatif artmış FDG tutulumu (SUV_{max} : 6,52) izlenerek PSA kontrolü ve klinik muayene önerildi. Prostat bezinden yapılan biyopsi sonucu prostat hiperplazisi saptanın hastada primer prostat kanseri ekarte edildi. Hastanın akciğerde izlenen metabolik aktivite tutulumu göstermeyen nodüller granülom lehine yorumlandı, vertebrada öncelikle enfeksiyon düşünüldü ve hastada vertebral tüberküloz tanısı doğrulanarak tedavisi başlandı.

Tartışma: PET/BT görüntüleme FDG affinitesi yüksek tümörlerde tanı, evreleme, tedavi takibi ve yeniden evrelemede yoğun bir şekilde kullanılmaktadır. Ancak FDG'nin tümöre spesifik bir ajan olmaması nedeni ile PET/BT görüntüleme özellikle granülomatöz enfeksiyonlarda tümörü taklit eden yaygın hastalık görünümüne sebep olabilmektedir. Bu olgu yaygın metastatik hastalık düşündürüren PET/BT görüntülerinde yapılan yorumlarda tüm bulguların birlikte değerlendirilerek klinisyene doğru yönlendirme yapılması açısından önemlidir.

Anahtar Kelimeler: PET/BT, vertebral tüberkülöz, primeri bilinmeyen metastatik tümör



Resim 1.

[PS-103]

Ektopikal Sarkoidoz Tanısı ve Tedaviye Yanıtın Değerlendirilmesinde F-18 FDG PET/BT'nın Yeri

Hatice Uslu¹, Serkan Güngör¹, Ebru İbişoğlu¹, Halil İbrahim Yakar², Mehmet Tarık Tatoğlu¹, AsİYE Kanbay²

¹İstanbul Medeniyet Üniversitesi Göztepe Eğitim ve Araştırma Hastanesi, Nükleer Tip Anabilim Dalı, İstanbul

²İstanbul Medeniyet Üniversitesi Göztepe Eğitim ve Araştırma Hastanesi, Göğüs Hastalıkları Anabilim Dalı, İstanbul

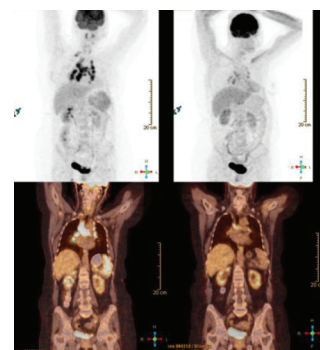
Amaç: Sarkoidoz etiyolojisi bilinmeyen, özellikle solunum ve lenfatik sistemi tutan, tutulan dokularda kazeifiye olmayan granülomlara neden olan sistemik bir hastalıktır. Ektopikal sarkoidoz değişik derece ve yaygınlıkta tüm organları tutabilen, yaşamı tehdit eden bir hastalıktır. En sık etkilenen organlar akciğer (%90) ve lenf nodları (%30). Daha az sıklıkla deri (%10-30), karaciğer (%5-15) ve dalak (%1-40) etkilendir. Dalak, karaciğer ve derinin birlikte tutulumu literatürde oldukça nadirdir. Multiorgan tutulumu olan olgumuzda; sarkoidozun tanısı ve tedaviye yanıtın değerlendirilmesinde F-18 FDG PET/BT görüntülemenin önemini araştırdık.

Olgu: Altmış yedi yaşında kadın hasta alt eksremesinde lokal steroid tedavisine yanıt vermemeyen deri döküntüleri ile hastanemize başvurdu. Toraks BT çalışmasında akciğerde nodüler lezyonlar ve mediastende çok sayıda lenfadenopati saptanması üzerine metabolik karakterizasyon açısından F-18 FDG PET/BT çekimi yapıldı. PET/BT'de akciğerde birkaç adet subsantimetrik boyutlu hafif hipermetabolik nodüler lezyon saptanmasına rağmen, mediastende sarkoidozis için tipik kelebek şekline benzer yoğun hipermetabolik multipl LAP, ayrıca batında ve inguinal alanda çok sayıda hipermetabolik LAP saptandı. Bunlardan başka FDG PET/BT'de hipermetabolik splenomegali ve bilateral alt ekstremité derisinde çok sayıda hafifçe hipermetabolik lezyonlar gözlandı. Kan ACE enzim düzeyi: 84 U/L idi. Derideki lezyondan yapılan histopatoloji sonucu sarkoidoz için tipik olan eritema nodosum, mediastinal LAP'lardan yapılan transbronşiyal biyopsi sonucu ise kronik non-nekrotizan granülomatöz enflamasyon geldi.

Olgu dalak rüptürü riskine karşı hasta oral kortikosteroid ile bir yıl boyunca tedavi edildi. Tedavinin üçüncü ayında yapılan kontrol F-18 FDG PET/BT görüntülemesinde dalaktaki tutulumun metabolik ve morfolojik olarak tamamen gerilediği, multipl mediastinal ve abdominal LAP'ların ise belirgin regresyon gösterdiği dikkatimizi çekti. Tedavi süreci sonunda deri lezyonları da tamamen düzeltildi.

Sonuç: Ektopikal sarkoidoz olgularında; bizim olgumuzda olduğu gibi yoğun dalak tutulumu nedeniyle rüptür riski olan, tedavi edilmese splenektomi gerektiren durumlarda, ek olarak multisistem ve yoğun lenf nodu tutulumlarının olduğu olgularda F-18 FDG PET/BT'nin tanı ve tedavi sonrası takipte önemini gösterdi.

Anahtar Kelimeler: FDG PET/BT, ektopikal sarkoidoz tanısı, tedaviye yanıt



Resim 1.



Resim 2.

[PS-104]

Operasyon Sonrası Mide Pankreas Arasındaki Dev Malign Kitle Lezyonuna NHL Tanısı Konan Hasta; Atipik PET/BT Görüntüleri

Emine Ebru Bayar

İzmir Katip Çelebi Üniversitesi Atatürk Eğitim ve Araştırma Hastanesi, Nükleer Tip Kliniği, İzmir

Amaç: Mide pankreas arasında gastrointestinal stromal tümör (GIST) öndeğiyle opere olan büyük malign kitle lezyonunun histopatolojisinin NHL gelmesi üzerine tedavi öncesi ve sonrası PET/BT görüntülerini paylaştık.

Yöntem: F-18 FDG'nin iv. enjeksiyonunu takiben 60 dakika sonra tüm vücut PET/BT görüntüleme yapıldı.

Bulgular: Batın BT'de pankreas kuyruğunda sınırları mide büyük kurvaturundan net olarak ayırt edilemeyen 117x93x115 mm boyutlarında lobüle lezon izlenen 51 yaşındaki erkek hastaya primeri bilinmeyen malignite ön tanısıyla PET/BT yapıldı. PET/BT'de mide büyük kurvatura kaudal kesimine geniş tabanıyla oturan pankreas kuyruğu ile yakın ilişkide hipermetabolik (SUV_{max} : 17,1) kitle lezyonu ve lezyon komşuluğunda büyüğü 2,5 çapa ulaşan, mide antrum posteriorunda ve pankreas başı civarında hipermetabolik lenfadenomegaliler izlendi. Düzgün kontürlü ve mideye yaşılanan büyük hipermetabolik kitleleri olan hasta malign GİST ön tanısıyla opere edildi. Frozenda pankreasa invaze malign GİST kuşkusunu belirtilen hastaya distal pankreatektomi, kitle eksizyonu, omentektomi kolon serozasından multipl kitle eksizyonu yapıldı. Histopatoloji sonucu hepşinde DBBH geldi. Hastaya 8 kür KT başlandı. Hastaya KT öncesi evreleme amaçlı ve 4. kür KT sonrası takip PET/BT tetkikleri yapıldı. Evreleme amaçlı görüntülerde mide korpus büyük kurvaturda, antrumda, bakiye pankreas korpusunda ekstanodal lenfoma tutulumları ve batında lenf nodu tutulum alanları izlenirken tedaviye yanıt görüntülerinde tüm alanlarda Daauville 3 düzeyinde yanıt izlendi.

Sonuç: Batında izlenen hipermetabolik dev malign lezyon ve diğer organlarda izlenen hipermetabolik lezyonların varlığında ayırıcı tanıda lenfoma ve ekstranodal tutulumlar akılda tutulmalıdır.

Anahtar Kelimeler: NHL, GİST, PET/BT

[PS-105]

F-18 FDG PET/BT'de Yalancı Pozitiflik Sebebi: Kostada Destruksiyona Neden Olan Göğüs Duvarı Yerleşimli Sellüler Schwannoma

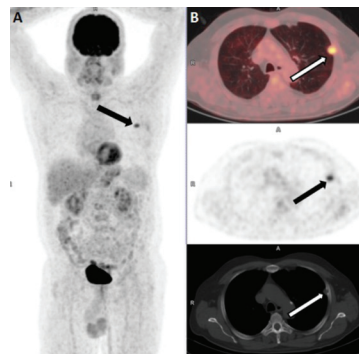
Serkan Güngör, Mehmet Tarık Tatoğlu, Ebru İbişoğlu, Hatice Uslu

İstanbul Medeniyet Üniversitesi Göztepe Eğitim ve Araştırma Hastanesi, Nükleer Tip Anabilim Dalı, İstanbul

Amaç: Schwannomalar; periferik, kraniyal ya da otonomik sinir kılıflındaki Schwann hücrelerinden kaynaklanan, yavaş büyuyen, solid ve kapsüllü tümörlerdir. Sellüler schwannomalar tüm schwannomaların yaklaşık %65'ini oluşturmaktadır. Mediasteni paravertebral alan, pelvis, retroperitoneum ve intraspinal alan en sık görüldüğü lokalizasyonlardır. Çok az sıklıkla tekrarlayabilecek birlikte malign transformasyon ve metastaz bildirilmemiştir. Bu olgu sunumunda; F-18 FDG PET/BT'de yalancı pozitiflik sebebi olan göğüs duvari kaynaklı sellüler schwannom bulguları tartışıldı.

Oluğ: Göğüs hastalıkları kliniğinde, sol akciğerde saptanan periferik yerleşimli nodül nedeni ile takip edilen 57 yaşındaki erkek hastaya karakterizasyon amaçlı FDG PET/BT görüntülemesi çekildi. Ekte sunulan imajlarda görüldüğü gibi; FDG PET/BT MIP (Resim 1A) ve trans aksiyel toraks (Resim 1B) görüntülerinde, sol akciğer üst lob apikoposterior segmentte subpleral yerleşimli olarak izlenen ve komşuluğundaki kostayı destrükte eden yoğun hipermetabolik (SUV_{max} : 6,5) nodüler lezyon dikkat çekti. Malignite şüpheli lezyonun ayırıcı tanısında öncelikle primer akciğer kanseri, plazmasitom ve göğüs duvari kaynaklı tümörler düşünüldü. Opere olan olgunun histopatolojik incelemesinde, kemik korteksini destrükte eden göğüs duvari kaynaklı sellüler schwannom tanısı konuldu.

Sonuç: Sellüler schwannomalar sıklıkla mediasten paravertebral alan, pelvis, retroperitoneum ve intraspinal alanlarda görülsede nadir de olsa göğüs duvari kaynaklı olabilmektedir. Sellüler schwannomalar, bizim olgumuzda da olduğu gibi komşu kemik yapılarda destrüksiyona neden olması ve yoğun FDG tutulumu göstermesi özelliği ile malign prosesler ile karışabilmektedir. Sonuç olarak; sellüler schwannomalar, FDG PET/BT'de yalancı pozitifliğe neden olmakla birlikte bizim olgumuzda da olduğu gibi göğüs duvari kaynaklı tümörlerde ayırıcı tanıda düşünülmlesi gerekmektedir.



Resim 1.

Anahtar Kelimeler: Sellüler schwannoma, FDG PET/BT, yalancı pozitiflik

[PS-106]

Penis Şaftında Artmış F-18 FDG Tutulumu Saptanan Olguda Ürolojik Muayenenin Önemi

Suna Kıracı¹, Ali Ulvi Önder², Murat Kocaoğlu³, Deniz Bedel¹, Özgür Altımdoroğlu⁴, Mehmet Yavuz Selhanoğlu²

¹Yakın Doğu Üniversitesi Tıp Fakültesi, Nükleer Tip Anabilim Dalı, Lefkoşa

²Yakın Doğu Üniversitesi Tıp Fakültesi, Üroloji Anabilim Dalı, Lefkoşa

³Yakın Doğu Üniversitesi Tıp Fakültesi, Radyodiyagnostik Anabilim Dalı, Lefkoşa

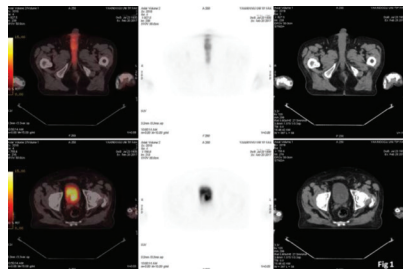
⁴Yakın Doğu Üniversitesi Tıp Fakültesi, Radyasyon Onkolojisi Anabilim Dalı, Lefkoşa

Amaç: Malign priapizm ürolojik/nonürolojik tümörlerin penise metastazı ile ortaya çıkan nadir bir durumdur. En sık mesane, prostat ve rektum malignitelerinde görülür. Sıklıkla penis şaftı tutulur. Peniste ağrılı veya ağrısız nodüller, şişme, hematüri ve idrar retansiyonu gözlenir. Penis metastaz saptandıktan sonra ortalama survey 6 aydır. F-18 FDG görüntüleme tanıda tek başına faydalı olmayıp anamnez, ürolojik muayene ve anatomik görüntüleme yöntemleri ile birlikte değerlendirilmelidir. Prostat kanserinde F-18 FDG PET/BT görüntülerinde penis tutulum saptanan olguya tartışmayı amaçladık.

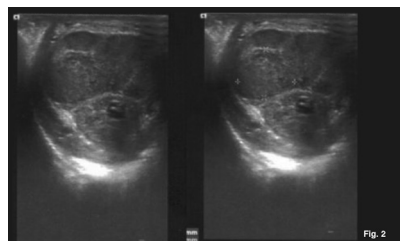
Oluğ: Prostat kanseri tanılı olgunun (82 y) hormonoterapi altında iken son bir yıl içinde PSA düzeylerinde yükselme, kemik ve akciğerlerde metastaz saptanmış. Medikal kastrasyona dirençli olgu kabul edilmiş. Mesane çıkışım obstrüksiyonu, hematüri ve mesane taşı ile sistolitotripsi + prostat TUR uygulanmış (Ocak 2017). Penis kökünde rigidite artışı, rektuma şüpheli invazyon ve protrüzyon gösteren sert prostat büyümesi saptanmış. Postoperatif erken dönemde klinik düzelmeye rağmen 2 hafta sonra hematüri ve rektal bölgede ağrı başlamış. Travma öyküsü olmayan, oturmayı engelleyen şiddetde pelvik ağrı olguya F-18 FDG PET/BT görüntüleme kateterizasyona onay verilmediğinden sürekli üriner drenaj sağlanmasına yapıldı (Şubat 2017). Akciğerlerde metastatik nodüller, sakrumda ve sol iliak kemikte sklerotik metastazlar ile prostatta F-18 FDG tutulumu (SUV_{max} : 16,1) saptandı (Resim 1). Rektumda hipermetabolik kalınlaşma (SUV_{max} : 6,1) vardi. Mesane BT görüntülerinden değerlendirildi; posterior duvarda düzensiz kalınlaşma görüldü. Penis şaftında heterojen artmış F-18 FDG tutulumu (SUV_{max} : 7,3) eurekaşyon izlendi. Bu bulgu BT normal olduğundan TUR işlemeye bağlıydı. FM bulguları ile değerlendirilince sekonder priapizm düşünüldü. Olguda 1 hafta sonra akut idrar retansiyonu gelişti. Üretral kateter takıldı. FM'de penis bulgularında progresyon saptandı. Yüzyel penis USG'de korpus kavernosumlarda solid-heterojen kitleler saptandı (Resim 2). Penis şaftı da içine alan palyatif radyoterapi sonrası klinik düzelleme gözlendi.

Sonuç: Prostat kanseri lokal metastazlarının saptanmasında F-18 FDG görüntülemenin üretral kateterizasyon eşliğinde yapılması tanışal doğruluğu artırır; uygun radyoterapi alanının seçilmesini sağlar. Penil metastaz varlığı radyoterapi alanını değiştireceği gibi prognozu olumsuz etkileyecektir. TUR sonrası penil hipermetabolizma, FM bulguları ile birlikte değerlendirilmelidir.

Anahtar Kelimeler: Penis metastazı, prostat kanseri, F-18 FDG PET/BT görüntüleme, malign priapizm



Resim 1.



Resim 2.

[PS-107]

I-131 Tarama Sintigrafisinde Adenomyozis Olgusu

Gözde Mütevelizade, Yasemin Parlak, Gülbümüşer, Elvan Sayıt

Manisa Celal Bayar Üniversitesi Tıp Fakültesi, Nükleer Tıp Anabilim Dalı, Manisa

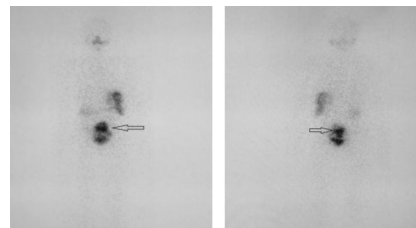
Amaç: Diferansiyel tiroid kanserlerinin tedavisi temelde total tiroidektomi ve radyoaktif iyot (I-131) ablasyonudur. Radyoaktif iyot (RAI), rezidü doku ablasyonu ve/veya metastazların tedavisinde oldukça önemli bir role sahiptir. RAI almış hastalarda postablasyon görüntüleme ve hastanın takibinde düşük doz I-131 ile tanışal tarama yapılmaktadır.

Oluğ: Kırk dokuz yaşında kadın hastaya yapılan total tiroidektomi sonucu multifokal multisentrik papiller tiroid karsinomu olarak gelmiş ve 100 mci I-131 ablasyon amacıyla verilmiştir. Postablasyon 7. günde yapılan tüm vücut I-131 tarama sintigrafisinde tiroid loju süperiorunda orta hatta (piramidal loba uyan alanda) rezidü tiroid dokusu ile uyumlu I-131 tutulumu saptanmıştır. Yedi ay sonra rekombinant insan TSH (rhTSH) (Thyrogen) enjeksiyonlarını takiben yapılan 5 mci I-131 tarama sintigrafisinde tiroid loju süperiorunda minimal düzeyde sebat eden rezidü ile uyumlu tutulum izlenmiştir (Tg: 0,39 ng/mL). Alınan tüm vücut görüntülerinde mesane süperiorundan uterus uyan alanda irregüler I-131 uptake i saptanmış olup (Resim 1) hastaya ileri klinik inceleme önerilmiştir. Yapılan jinekolojik değerlendirme ve radyolojik görüntülemeleri (USG, MR) takiben hastaya adenomyozis (endometriozis interna) (endometrial dokunun, myometrium içine yerleşmesi) tanısı konmuştur.

Sonuç: Radyoaktif iyot ablasyonu verilen diferansiyel tiroid kanserli hastaların takibinde kullanılan I-131 tarama sintigrafisinde, ablasyon

durumu ve metastaz varlığı değerlendirilmesinin yanısıra yanlış pozitifliğe sebep olabilecek beklenmedik tutulum alanlarının da göz önünde bulundurulması gerektiği kanaatine varılmıştır.

Anahtar Kelimeler: I-131, tiroid kanseri, adenomyozis



Resim 1. Mesane süperiorunda uterus uyan alanda irregüler I-131 uptake'i

[PS-108]

Tiroid Nodüllerinde Sintigrafi, Ultrasonografik Bulgular ve İnce İğne Aspirasyon Biyopsisinin Karşılaştırılması

Fadime Demir¹, Ozan Kandemir², Perihan Kelkit²

¹Elaçığ Eğitim ve Araştırma Hastanesi, Halk Sağlığı Merkezi, Nükleer Tıp Bölümü, Elaçığ

²Sivas Numune Hastanesi, Halk Sağlığı Merkezi, Nükleer Tıp Bölümü, Sivas

Amaç: Tiroid nodüllerinde yapılan ince iğne aspirasyon biyopsisi (İİAB) ile tiroid sintigrafisi ve ultrasonografi (USG) bulguları arasındaki ilişkiye incelemektir.

Yöntem: Bu retrospektif çalışmada, bölümümüzde İİAB uygulanan 102 hasta değerlendirildi. Hastaların yaş, cinsiyet, USG bulguları (nodül sayısı, nodül boyutu, ekojenites, kalsifikasiyon), tiroid sintigrafi bulguları (hiperaktiv nodül, hipoaktiv nodül, izoaktiv nodül) ve tiroid fonksiyon testleri incelendi. Bu parametrelerle İİAB sonuçları arasında korelasyon olup olmadığı araştırıldı.

Bulgular: Sintigrafik olarak nodülün tipi, USG'de nodülün ekojenitesi ve nodül kalsifikasiyonu ile patoloji sonucu arasında yüzde değerler olarak fark olmasına karşın, gruplar arasındaki fark istatistiksel olarak anlamlı değildi ($p>0,05$).

Sonuç: Incelediğimiz parametreler ve İİAB sonucu arasında anlamlı bir ilişki bulunamamıştır.

Anahtar Kelimeler: Tiroid nodülü, İİAB, tiroid sintigrafisi, tiroid USG

[PS-109]

Sfenoid Kanat Meningiomu'nun FDG PET/BT ve Kemik Sintigrafisi Bulguları

Serkan Gündör, Hatice Uslu, Mehmet Tarık Tatoğlu, Ebru İbişoğlu

İstanbul Medeniyet Üniversitesi Göztepe Eğitim ve Araştırma Hastanesi, Nükleer Tıp Anabilim Dalı, İstanbul

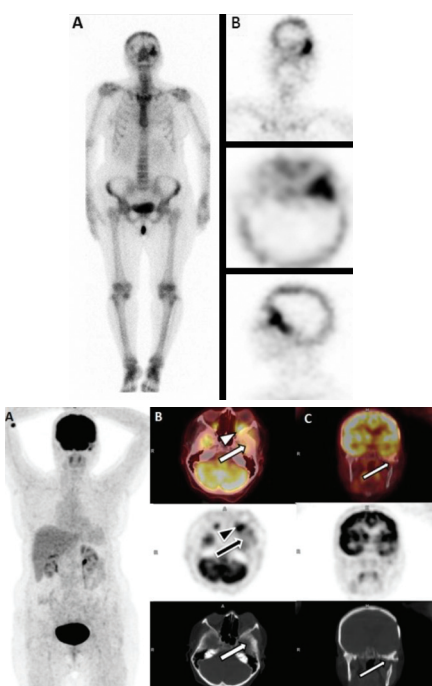
Amaç: Meningiomlar ekstra-aksiyel bir tümör olup meninkslerin en sık rastlanan çokunlukla benign karakterli tümörür. Meningiomlar tüm beyin tümörlerinin yaklaşık %15'ini oluştururlar ve erişkinlerde görülen primer intrakranial tümörlerin ikinci en sık nedenidirler. Sfenoid kanat meningiomları ise intrakranial meningiomların üçüncü siklikta görüleni

olup, tüm meningiomların yaklaşık %20'lik grubunu oluştururlar. Bu olgu sunumunda; temporoekskipital meningiom tanısı nedeni ile opere olan 50 yaşındaki kadın hastanın, FDG PET/BT ve korelatif amaçlı çekilen kemik sintigrafisi bulguları tartışıldı.

Olgı: Yeniden evreleme amaçlı çekilen FDG PET/BT MIP (Resim 1A), trans aksiyel (Resim 1B) ve koronal (Resim 1C) görüntülerinde; sol gözde propitosis ve sol sfenoid kanatta hafifçe hipermetabolik (SUV_{max} : 3,4) hiperostozis bulguları izlendi. Ayrıca sol intraorbital alanda izlenen ve optik siniri mediale doğru deviye eden kemik dışı yumuşak doku komponentinde yoğun (SUV_{max} : 8,2) FDG tutulumu dikkat çekti. Sfenoid kanat tutulumunu göstermesi amacıyla hastaya farklı bir günde korelatif amaçlı kemik sintigrafisi çekildi. Kemik sintigrafisi tüm vücut (Resim 2A) ve SPECT (Resim 2B) görüntülerinde; sol sfenoid kemik lokalizasyonunda belirgin artmış Tc-99m MDP tutulumu izlendi. Tanımlanan FDG PET/BT ve kemik sintigrafisi bulguları ile hastanın sol gözde görme kaybının da olması nedeni ile olguya sfenoid kanat meningiomu tanısı konuldu.

Sonuç: Sfenoid kanat meningiomları, globoid ve en plaque olarak iki sınıfa ayrılmışlardır. Globoid meningiomlar nodüler şekilli olup medyal, orta ve lateral (pterional) olarak üç gruba ayrılmış; aynı bölgede görülen ve sfenoid kemik boyunca düz ve yassi bir şekilde uzanan meningiom grubuna da "en plaque" meningioma ismi verilmiştir. Literatürde; FDG PET/BT'nin, meningiomların rekürrensini ve tümörün proliferatif potansiyelini göstermede faydalı olabileceği bildirilmektedir. Sfenoid kanat meningiomu ise bizim olgumuzda da olduğu gibi genellikle sfenoid kemikte hiperostosis, propitosis ve görme kaybı ile prezente olmaktadır. Sonuç olarak; FDG PET/BT ile tanısı konulan sfenoid kanat meningiom olgusu bildiğimiz kadaryla literatürde ilk kez rapor edilmiştir. Ayrıca sfenoid kanat meningiomu açısından şüpheli kemik bulgularının ise kemik sintigrafisi ile korele edilmesi tanı koymada faydalı olacağı düşünülmektedir.

Anahtar Kelimeler: Sfenoid kanat meningiomu, FDG PET/BT, kemik sintigrafisi



Resim 1.

[PS-110]

Akciğer Adenokarsinom Tanılı Hastada Kemik Sintigrafisinde Parmak Metastazı Görünümü

İnci Uslu Biner¹, Ebru Tatçı¹, Özlem Özmen¹, Ülkü Yılmaz²

¹Atatürk Göğüs Hastalıkları ve Göğüs Cerrahisi Eğitim ve Araştırma Hastanesi, Nükleer Tip Bölümü, Ankara

²Atatürk Göğüs Hastalıkları ve Göğüs Cerrahisi Eğitim ve Araştırma Hastanesi, Göğüs Hastalıkları Kliniği, Ankara

Amaç: Burada evre 4 akciğer non-small cell karsinom (adenokarsinom) tanısıyla tedavi edilen ve takipleri sırasında sağ el 3. parmakta kızarlık ve şişlik bulguları gelişen 65 yaşındaki bir erkek hastanın kemik sintigrafisinde bulguları sunulmaktadır.

Olgı: Evre 4 akciğer non-small cell karsinom (adenokarsinom) tanısı 65 yaşındaki erkek hastaya sağ el 3. parmakta 2 aydır süregelen ağrılı şişlik ve kızarlık şikayetileyi üç fazlı Tc-99m MDP kemik sintigrafisi tetkiki yapıldı. Kanlanma ve kan havuzu fazlarında sağ el 3. parmak distal kesime uygun alanda aktivite tutulumunda artış gözlandı. Geç metabolik fazda ise sağ el 3. parmak metakarpofalangeal, proksimal ve distal interfalangeal eklem lokalizasyonlarında artmış aktivite tutuluları izlendi (Resim 1). Başka bir osteoblastik metastaz odağı izlenmedi. Olgunun öncesinde çekilen el-bilek grafisinde 3. parmağın orta falanksında belirgin yumuşak doku ekspansyonunun eşlik ettiği litik görünüm izlenmektedir (Resim 2). Hastanın parmağı ampute edildi ve postoperatif patolojisi diferansiyeli adenokarsinom infiltrasyonu olarak bildirildi. Metastazlar kemiğin en sık malign tümörleridir. Aksiyel iskeletin tutulumu daha sık beklenirken el ve ayakta metastaz (akrometastaz) daha nadirdır. Elde metastaz genellikle akciğer, böbrek ve meme kanserlerinde görülebilimekte iken ayakta metastaz daha çok genitoüriner ve kolorektal malignitelerde izlenebilmektedir. Akrometastazlar elde ayaktan daha siktir ve erkeklerde daha çok görülürler. Akciğer kanserinin akrometastazlarında prognоз kötü olması nedeniyle tedavisi genellikle palyatifdir ve radyoterapi veya cerrahi amputasyon ve analjezik uygulamaları içerir. Bu olguda da parmak amputasyonu uygulanmıştır ve hasta haleen takip altında yaşamaktadır. Akrometastazlar paroniği, osteromyelit, romatoid artrit, gut, fraktürler, tenosinovitler gibi çeşitli bazı benign lezyonlar ile karışabilemektedir ve kemik sintigrafisinde benzer tutulum paterni görülebilmektedir. Bu olguda direkt grafide parmakta litik görünümün izlenmesi bize ayırıcı tanıda yol gösterici oldu. Ayrıca postoperatif histopatoloji de metastaz açısından kemik sintigrafisi bulgularını destekledi.

Sonuç: Akrometastazlar nadir görülmektedir. Bu olguda bildirildiği gibi, akciğer kanserli hastalarda parmak lezyonlarında metastaz akılda bulundurulmalıdır ve kemik sintigrafisi bulguları diğer radyolojik bulgular eşliğinde metastaz tanısında yol gösterici olabilir.

Anahtar Kelimeler: Akrometastaz, akciğer adenokarsinom, Tc-99m MDP kemik sintigrafisi



Resim 1.



Resim 2.

[PS-111]

Primer Karaciğer Lenfoma Olgusu

Nesе Torun¹, Gүl Nihal Nursal¹, Faik Sarialioğlu², Mehmet Reyhan¹, Ali Fuat Yasar¹

¹Başkent Üniversitesi Dr. Turgut Noyan Uygulama ve Araştırma Merkezi, Nükleer Tip Anabilim Dalı, Adana

²Başkent Üniversitesi Dr. Turgut Noyan Uygulama ve Araştırma Merkezi, Pediatrik Onkoloji Anabilim Dalı, Adana

Amaç: Lenfoma olgularında karaciğer tutulumu sıklıkla görülmektedir. Primer soliter karaciğer lenfomaları ise sadece karaciğeri tutan nadir bir lenfoma türü olup büyük çoğunluğu B lenfosit yüzey belirteçlerini taşıyan diffuz büyük hücreli NHL'dir. Bu olguda primer soliter karaciğer lenfomada FDG PET/BT'nin önemini vurgulamayı amaçladık.

Olgu: Yirmi bir yaşında erkek hastaya karın ağrısı şikayeti ile batın USG yapıldı. KC'de kitle saptanan hastanın biyopsi sonucu NHL ile uyumlu olup evreleme amaçlı FDG PET ile değerlendirildi. Karaciğerde sol lob segment 4'ü dolduran, yoğun FDG tutulumu gösteren ($SUV_{max}: 28,2$) $155 \times 106 \times 174$ mm boyutlarında yer yer metabolik (nekrotik) alanlar içeren hipermetabolik kitlesel lezyon saptandı. Vücuttan diğer alanlarında ek lezyon gözlenmedi. Primer soliter KC lenfoması ile uyumlu kabul edilen olgu kemoterapi ve sol lobektomi yapılarak tedavi edildi.

Sonuç: Karaciğerin primer lenfomaları kemoterapi, sarılık varlığında radyoterapi, ekstrahepatik bilier obstrüksiyon varlığında stent yerleştirilerek tedavi edilir, lenfomalarda genelde cerrahi tedavinin yeri yok iken olgumuzda olduğu gibi primer soliter karaciğer lenfomalarında lobektomi uygulanabilmektedir. Günümüzde Hodgkin ve non-Hodgkin lenfomalarda FDG PET/BT'nin evrelemede, tedaviye yanıtı, rezidüel hastalık, nüksü değerlendirmede çok önemli olduğu bilinmektedir, nadir görülen primer soliter karaciğer lenfomalarında bu endikasyonlara ilave lobektomi planlanan hastalarda FDG PET/BT'nin önemi bu olguda gösterilmiştir.

Anahtar Kelimeler: Primer karaciğer lenfoması, NHL, FDG PET/BT

[PS-112]

Dermatomiyozit Olgusunda F-18-FDG PET/BT Bulguları

Arzu Cengiz, Sibel Göksel, Yakup Yürekli

Adnan Menderes Üniversitesi Tıp Fakültesi, Nükleer Tıp Anabilim Dalı, Aydın

Amaç: Dermatomiyozit, progresif seyirli proksimal kas güçlüğü ve özgül deri bulgularıyla karakterize idiyopatik enflamatuv bir miyopatidir. Yapılan çalışmalarda malignite riskinin dermatomiyozitli hastalarda normal

popülasyona göre 3-6 kat arttığı ve görülme sıklığının %6-60 arasında olduğu bildirilmiştir. Bu hastalarda başta over kanserler olmak üzere jinekolojik kanserler, akciğer, meme, mide, pankreas, kolorektal kanserler ve non-Hodgkin lenfoma sıklığı artmıştır. F-18-FDG PET/BT, romatolojik hastalarda giderek artan oranda kullanılmaktadır ve kastaki enflamasyonu göstermede MR'den üstün olduğu bildirilmiştir. Bu olgu sunumunda dermatomiyozit tanısı alan ve ilave paraneoplastik sendrom bulgularının eşlik ettiği bir hastada primer malignite taraması amacıyla yapılan F-18-FDG PET/BT bulgularını sunuyoruz.

Olgu: Üç aydır devam eden bacak kaslarında ağrı, şişlik, diz çevresinde ülsere yara, hareket kısıtlılığı şikayetiyle başvuran hastanın tetkiklerinde kas enzimlerinde belirgin yükseklik yanında hipoglisemi, hipokalemisi, karaciğer enzimlerinde yükseklik, anemi ve lökositoz saplanmıştır. Yapılan kas biyopsisinde dermatomiyozit bulguları izlenmiştir. Malignite taraması amacıyla yapılan tüm vücut F-18-FDG PET/BT'de, sol deltoid kasta, sağ sartorius, sol pektineus, sol biseps femoris, sol semitendinöz-semimembranöz, sağ gastroknemius ve her iki soleus kasında daha belirgin olmak üzere bilateral alt ekstremite kaslarında heterojenite ve artmış FDG tutulumu izlenmiştir ($SUV_{max}: 20,1$). Bunun dışında her iki akciğerde enfeksiyonla uyumlu olarak değerlendirilen yaygın hipermetabolik retikülonodüler infiltrasyonlar ve buzlu cam benzeri dansite alanları ($SUV_{max}: 18,1$) ve servikal, mediastinal hipermetabolik lenf nodları ($SUV_{max}: 12,2$) görülmüştür (Şekil 1). Primer malignite bulgusu izlenmeyen hastanın steroid tedavisine devam edilmiştir.

Sonuç: Dermatomiyozit hastalarında F-18-FDG PET/BT, tüm vücut görüntüleme metodu olması ile malignite saptanması dışında etkilenen kas gruplarının gösterilmesi, hastalık aktivitesinin ve biyopsi için en uygun kasın belirlenmesi gibi avantajlara sahiptir.

Anahtar Kelimeler: Dermatomiyozit, FDG PET/BT



Resim 1.

[PS-113]

Nadir Tümörlerden Primer Meme Lenfomalı Olguda F-18 FDG PET/BT Bulguları

Gülhan Kaya Altıncı¹, Gonca Güл Bural¹, Asu Fergün Yılmaz², Fatih Yeşil¹

¹Izmir Katip Çelebi Üniversitesi, Atatürk Eğitim ve Araştırma Hastanesi, Nükleer Tıp Kliniği, İzmir

²Izmir Katip Çelebi Üniversitesi, Atatürk Eğitim ve Araştırma Hastanesi, Hematoloji Kliniği, İzmir

Amaç: Primer meme lenfoması tüm meme kanserleri içinde %0,4-0,5, tüm ektranodal lenfomalar içinde %1,7-2,2 sıklıkta görülen, metastatik meme lenfomasına göre de çok daha nadir rastlanan bir tümördür. Nadir görülen primer meme lenfomalı olgumuzda evreleme ve tedaviye yanıt değerlendirme için yapılan PET/BT görüntüleri karşılaştırılmış olarak değerlendirilmiş ve sunulmuştur.

Olgu: Sol meme retroareolar bölgede ele gelen kitle şikayeti ile başvuran, 21 yaşında, kadın hastada, sol memeden yapılan eksizyonel biyopsi sonucu diffüz büyük B hücreli non-hodgkin lenfoma (DBBHL) ile uyumlu gelmiş, ancak kemik iliği biyopsisinde neoplastik lenfoid infiltrasyon saptanmamıştır. Hastaya evreleme için yapılan PET/BT'de memedeki lezyonlarda çok yüksek düzeyde metabolik aktivite izlenmiştir (Deauville V), sol aksiller, sol servikal ve sağ supraklaviküler bölgede patolojik lenf nodları görülmüş ve evre 2E olarak değerlendirilmiştir (Resim 1). Hastaya 4. kür kemoterapi sonrası ara değerlendirme için PET/BT yapıldı. NHL tanılı hastaya tedaviye yanıt amaçlı yapılan PET/BT ile yaklaşık 3 ay önce evreleme amaçlı alınan görüntülerini karşılaştırıldığında, bulgular tedaviye tam yanıt ile uyumlu değerlendirilmiştir. Sol meme içinde izlenen hipерmetabolik yumuşak doku lezyonları tamamen kaybolmuştur. Önceki tetkikte tanımlanan sol aksiler (SUV_{max} : 1, önceki tetkikte SUV_{max} : 3,3), sol servikal ve sağ supraklaviküler bölgedeki hipерmetabolik lenf nodlarında belirgin regresyon izlenmiş, tutulum mediastinal kan havuzu düzeyine gerilediğinden, Deauville 1-2 olarak değerlendirilmiştir (Resim 2). Takipte, hastanın tedavisi 6 kür olarak tamamlanmış olup, profilaktik intratekal tedavisi devam etmektedir.

Sonuç: Tüm meme kanserleri ve tüm ekstranodal lenfomalar içinde, çok nadir olarak primer meme lenfoması görülebilir. Memede saptanan kitlelerde lenfoma ayırıcı tanıda akılda tutulmalıdır. Ekstranodal diğer alanlar akciğer, plevra, karaciğer, pankreas, meme, kas-iskelet ve santral sinir sistemi olabilir. PET/BT çok nadir rastlanan bu tümörün, evreleme, yeniden evreleme ve tedaviye yanıtının değerlendirilmesinde, etkin ve güvenilir bir tanı yöntemidir.

Anahtar Kelimeler: Primer meme lenfoması, PET/BT, nadir tümör



Resim 1.



Resim 2.

[PS-114]

GA-68-DOTA-TATE-PET/BT'de Pankreas Nöroendokrin Tümörünü Taklit Eden İtrapankreatik Aksesuar Dalak Olgusu

Müge Nur Karabacak¹, Duygu Has Şimşek², Zeynep Gözde Özkan¹, Ebru Yılmaz¹, Ayşe Mudun¹, Seher Niğün Ünal¹

¹Istanbul Üniversitesi İstanbul Tıp Fakültesi, Nükleer Tıp Anabilim Dalı, İstanbul

²Ankara Atatürk Eğitim ve Araştırma Hastanesi, Nükleer Tıp Kliniği, Ankara

Amaç: Aksesuar dalak, embriyolojik splenik gelişim sırasında dalak dokusunun bir kısmı ile dalağın ana gövdesi arasında füzyonun başarısız olduğu benign konjenital bir anomalidir. Prevalansı %10-30 arasında nispeten sık görülen bu anomali en sık splenik hilumda (%80) ve pankreas kuyruğunda (%17) izlenmektedir. Genellikle asemptomatik olan ve çeşitli görüntüleme yöntemlerinde insidental olarak saptanan intrapankreatik aksesuar dalak (IPAD) cerrahi tedavi veya izlem gerektirmez. Bununla birlikte pankreatik neoplazmlar ile karışılıklı sıklıkla cerrahi sonrası tanı alır. Bu sunumda pankreas kuyruğunda hipervasküler solid lezon saptanmış ve nöroendokrin tümör (NET) şüphesi ile Ga-68-DOTA-TATE PET/BT çekilen olguda IPAD'nin somatostatin reseptör (SR) içeriğine bağlı fizyolojik Ga-68-DOTA-TATE tutulumunun yanlış pozitifliği yol açabileceğini vurguladık.

Olgu: Cushing sendromu nedeniyle 1998 yılında bilateral surrenalektomi + splenektomi geçiren 55 yaşında kadın hastada, batın MR'de pankreas kuyruğundan kaynaklandığı düşünülen, sol böbrek üst polünden ince kapsülü ile ayrılan, komşu organ parankiminden farklı eko yapısında yaklaşık 32x24 mm boyutlu, hafif difüzyon kısıtlaması gösteren düzungün konturları hipervasküler solid lezyon saptanmış. Pankreas kuyruk yerleşimi nöroendokrin tümör şüphesiyle Ga-68-DOTA-TATE PET/BT istenen hasta bölümümze yönlendirilmiş. Ga-68-DOTA-TATE PET/BT görüntülerinde pankreas kuyruğunda tariflenen solid lezyonda yoğun SR içeriği ile uyumlu Ga-68-DOTA-TATE tutulumu saptandı. Biyopsi yapılamayan hastada nöroendokrin tümör ön tanısı ile cerrahi planlandı. Ancak splenektomi anamnesi bulunan olguda hipertrofiye uğrayan aksesuar dalaklarının sık görülmesi nedeniyle cerrahi öncesi aksesuar dalak ekartasyonu amacıyla selektif dalak sintigrafisi planlandı. Selektif dalak sintigrafisinde, pankreas kuyruğunda yerleşimi 32x27 mm boyuttunda düzungün sınırlı lezyonda aksesuar dalak ile uyumlu yoğun aktivite tutulumu saptandı.

Sonuç: Ga-68-DOTA-TATE PET/BT nöroendokrin diferansiyasyon gösteren ve SR 2-5'i içeren tümörlerde duyarlılığı ve özgüllüğü yüksek bir görüntüleme yöntemidir. Değerlendirmede fizyolojik tutulumlara bağlı yanlış pozitiflikler içerisinde aksesuar dalak sıklıkla karşımıza çıkmaktadır IPAD şeklinde prezente olabileceği akılda tutulmalıdır. Gereksiz cerrahiyi önlemek açısından fizyolojik tutulumların dikkatli değerlendirilmesi ve tamamlayıcı görüntüleme yöntemlerinin kullanımı tanıda oldukça önemlidir.

Anahtar Kelimeler: Ga-68-DOTA-TATE PET/BT, intrapankreatik aksesuar dalak, nöroendokrin tümör

[PS-115]

F-18 FDG PET/CT'de Massif Deri Altı Amfizem Görünümü

Mehmet Tarık Tatoğlu, Serkan Güngör, Ebru İbişoğlu, Hatice Uslu

İstanbul Medeniyet Üniversitesi Göztepe Eğitim ve Araştırma Hastanesi, Nükleer Tıp Bölümü, İstanbul

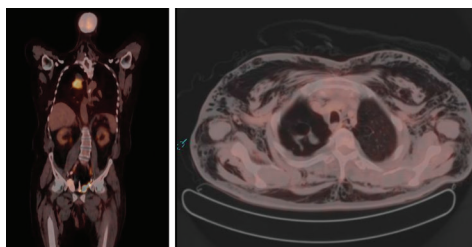
Amaç: Deri altı amfizem, iatrojenik, spontan veya travma sonrası, solunum yollarından veya gastrointestinal sistemden deri altına serbest hava geçişini

sonucunda ortaya çıkabilir. Bu olguda F-18 FDG PET/BT tetkiki sırasında izlenen massif deri altı amfizem olgusunun tipik görünümünü sunduk.

Olgu: Yetmiş dört yaşındaki erkek hastada akciğerde saptanan kitlesel lezyonun metabolik karakterizasyonu amacıyla yapılan F-18 FDG PET/BT tetkikinde sağ akciğerde hiler alanda izlenen kitlesel lezyonda yoğun hipemetabolik görünüm saptandı. Sağ hemitoraksta pnömotoraks görünümü ile sağ akciğere aorta komşuluğuna dek uzanan drenaj kateteri mevcuttu. İnceleme alanına giren kranyum-üst uyluk kesitlerinde; kranyumda frontal bölge lateral kesimlerinden, boyun, üst ekstremiteler, toraks - abdomen ve bilateral uyluk düzeyinde uzanan, kas lojolarına yayılmış gösteren massif deri altı amfizem saptandı.

Sonuç: Lokal deri altı amfizemler kendiliğinden rezorbe olabilmekte birlikte, massif deri altı amfizemlerde havanın direne edilmesi gerekmektedir. Tipik BT görünümünün tanınması, teşhisini kolaylaştırır.

Anahtar Kelimeler: Deri altı amfizem, F-18 FDG PET/BT



Resim 1.

[PS-116]

Orbital Non Hodgkin Lenfoma Tanılı Hastada PET/BT'nin Tedavi Planına Katkısı

Emine Ebru Bayar¹, Neslihan Avcı², Fatih Yeşil¹

¹Izmir Katip Çelebi Üniversitesi Atatürk Eğitim ve Araştırma Hastanesi, Nükleer Tip Kliniği, İzmir

²Kafkas Üniversitesi Tip Fakültesi, Sağlık Uygulama ve Araştırma Hastanesi, Nükleer Tip Anabilim Dalı, Kars

Amaç: Primer ve sekonder orbital lenfoma ayrimında PET/BT'nin katkısı ve tedavi planına olan etkisini göstermeyi amaçladık.

Yöntem: F-18 FDG'nin IV enjeksiyonunu takiben 60 dakika sonra tüm vücut PET/BT görüntüleme yapıldı.

Bulgular: Sağ gözde şişlik şikayetiyle göz polikliniğine başvuran 58 yaşındaki kadın hastanın muayenesinde sağ orbital üst bölgede retrobulber uzanım gösteren kitle palp edilmiştir. Hastaya ömür kamera lavajı yapılmış ve sağ orbital kitle biyopsisinde patoloji sonucu foliküler lenfoma gelmesi üzerine, evreleme amacıyla PET/BT tetkiki yapılmıştır. PET/BT görüntülerinde; her iki laktimal gland lokalizasyonunda lenfoma infiltrasyonu ile uyumlu hipemetabolik (SUV_{max} : 15,1) lezyonların yanı sıra, bilateral infratemporal fossada ve abdomende sol paraaortik alanda lenfoma tutulumu ile uyumlu olduğu düşünülen hipemetabolik lenf nodları gözlenmiştir. Ayrıca torakobdominopelvik görüntülerde subkutan yağlı dokuda lenfomanın kutanöz doku tutulumu ile uyumlu multipl hipemetabolik nodüler lezyonlar izlenmiştir. Eş zamanlı yapılan orbital MR incelemesinde her iki laktimal gland lokalizasyonunda kitle lezyonları ve sağda belirgin olmak üzere her iki bulbus okulide prototips tarif edilmiştir. PET/BT görüntülerinde sistemik tutulum izlenmesi üzerine hastaya kemoterapi tedavisi uygulanmış ve sonrasında tedaviye yanıt amaçlı PET/BT tetkiki yapılmıştır. İncelemede önceki tetkikte laktimal glandlarda izlenen kitlesel lezyonlar ve diğer vücut

alanlarında lenfoma tutulumu ile uyumlu olduğu düşünülen lezyonlar metabolik ve anatomi olarak ortadan kaybolmuş, tedaviye tam yanıt olarak değerlendirilmiştir.

Sonuç: Orbital lenfoma tanısı konan hastalarda primer ve sekonder orbital lenfoma ayrimını yapmak önemlidir. Primer orbital lenfomalarla öncelikle radyoterapi tedavisi uygulanırken sistemik tutulumun olduğu sekonder orbital lenfomada kemoterapi uygulanmaktadır. Hastamızda olduğu gibi PET/BT tetkiki; orbita dışı sistemik tutulum varlığını göstererek tedavi planını yönlendirmektedir. Ayrıca PET/BT tedaviye yanıt değerlendirmede anatomi ve metabolik bilgi vererek izlemde yol gösterici olmuştur.

Anahtar Kelimeler: Lenfoma, orbital, PET/BT

[PS-117]

Multipl Kemik Metastazı ile Prezente Olan Okkült Taşlı Yüzük Hücreli Karsinom Olgusu

Mehmet Tarık Tatoğlu, Hatice Uslu, Ebru İbişoğlu, Serkan Güngör

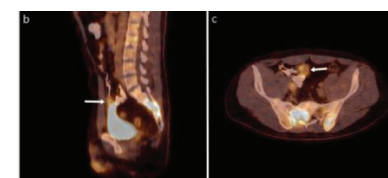
İstanbul Medeniyet Üniversitesi Göztepe Eğitim ve Araştırma Hastanesi, Nükleer Tip Bölümü, İstanbul

Amaç: Primer odak arama amaçlı yapılan F-18 FDG PET/BT tetkiki konvansiyonel görüntüleme yöntemlerine yüksek katkı sağlamaktadır. Bu olgu sunumunda primer odak arama amaçlı F-18 FDG PET/BT tetkiki yapılan, tüm batın BT tetkikinde özellikle saptanmayan hastada, F-18 FDG PET/BT tetkikinde ilginç şekilde prezente olan occult taşılı yüzük hücreli karsinom olgusunun sunumu yaptıktır.

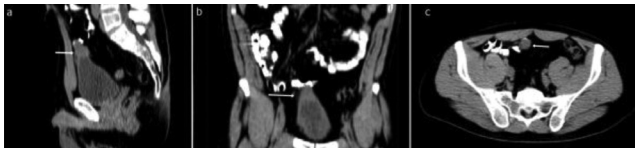
Olgu: MR'de kemik yapılarda multipl metastatik lezyonlar saptanın 34 yaşındaki erkek hastadan, primer odak arama amaçlı F-18 FDG PET/BT tetkiki istendi. Hastanın 5 gün önce yapılan tüm batın BT tetkiki normal olarak raporlanmıştır. Yapılan F-18 FDG PET/BT tetkikinde; iskelet sisteminde multipl odakta, BT kesitlerindeki litik değişikliklere eşlik eden, metastaz lehine yorumlanan yoğun hipemetabolik görünümler mevcuttu. Sağ internal iliak alanda 18 mm ve mesane anteriorunda 9 mm boyutunda hafif hipemetabolik lenf nodları saptandı. Mesanenin superiorta elongasyon gösterdiği saptanın olguda mesane superior kesiminde, yaklaşık 29x25 mm boyutunda ölçülen, diürez sonrası yapılan geç çekimde şiddetinde hafif artış gözlenen hafif hipemetabolik nodüler lezyon saptandı (Resim 1, 2). Nodüler lezyonun transvers kolondan sınırlarının ayrı edilemediği dikkati çekmektedir. Retrospektif olarak daha önceki BT görüntülerini incelediğinde, lezyonun BT görüntülerinde kolon segmenti görüntülerarasında güçlükle seçildiği izlendi. Sistoskop ile alınan mesane punch biyopsisinin patoloji sonucu, taşılı yüzük hücreli karsinom - immün profili tümörün gastrointestinal kökenli olduğunu düşündürmektedir, şeklinde raporlandı.

Sonuç: BT/MR gibi konvansiyonel görüntüleme yöntemlerinde rapordan ziyade görüntülerin, PET/BT bulguları ile birlikte tekrar değerlendirilmesi yorum yapılmasına yardımcı olabilmektedir. Mesanede yoğun üriner FDG yoğunlaşması nedeniyle, kuşkuda kalınan olgularda diürez sonrası geç çekim de faydalı sonuçlar verebilmektedir.

Anahtar Kelimeler: Taşılı yüzük hücreli karsinom, okkült lezyon, F-18 FDG PET/BT, primer odak arama



Resim 1.



Resim 2.

[PS-118]

F-18 FDG PET/BT ile Rektus Kılıf Hematomunun Tespiti

Mutlay Keskin¹, Derya Bako Keskin², Elif Özdemir³, Nilüfer Yıldırım¹, Zuhal Kandemir¹, Duygu Has Şimşek⁴, Şeyda Türkölmez³

¹Ankara Atatürk Eğitim ve Araştırma Hastanesi, Nükleer Tip Kliniği, Ankara

²Ankara Üniversitesi Tıp Fakültesi, Radyoloji Anabilim Dalı, Ankara

³Yıldırım Beyazıt Üniversitesi Tıp Fakültesi, Nükleer Tip Anabilim Dalı, Ankara

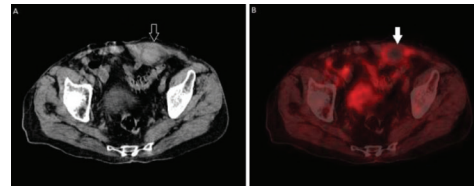
⁴Şişli Hamidiye Etfal Eğitim ve Araştırma Hastanesi, Nükleer Tip Kliniği, İstanbul

Amaç: Rektus kılıf hematomu epigastrik damarların yırtılması ya da kas yırtığına bağlı küçük damar kesileri nedeniyle oluşur. Hematom coğulukla kasın posteriorunda oluşur. Arkuat çizginin kraniyalinde oluşan hematomlar superior epigastrik damar zedelenmesine bağlı olur ve sınırlanabilirler. Arkuat çizginin kaudalinde oluşan hematomlar inferior epigastrik damar zedelenmesine bağlı olur ve yetersiz duvar desteği nedeniyle sınırlanması güçtür ve orta hattı geçebilir. Rektus kılıf hematomu nadir rastlanan bir patoloji olup bu sunumda rektus kılıf hematomunun metabolik-morfolojik değişikliklerini gösteren F-18 FDG PET/BT bulgularının sunulması amaçlanmıştır.

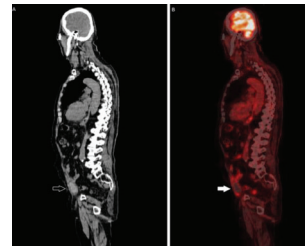
Olgı: Seksen beş yaşında erkek hasta soliter pulmoner nodül karakterizasyonu amacıyla F-18-FDG PET/BT taraması için kliniğimize refer edilmiştir. Yapılan görüntülemede sağ akciğer üst lob posterior segmentte patolojik metabolik aktivite tutulumu göstermeyen 25x15 mm boyutlu parankimal nodül mevcuttu. Ayrıca sol rektus abdominis kası posteriorunda ipsilateral anterolateral kas genişlemesine neden olan sferik şekilli 80x45x32 mm (KKxTRxAP) boyutlu, santral hiperdens, periferal artmış metabolik aktivite tutulumu gösteren görece hipodens lezyon saptanmıştır. Tanımlanan lezyon arkuat çizginin kaudalinde lokalize olup periferal F-18 FDG affinitesi göstermektedir (SUV_{max}: 3,96). Bulgular sol rektus kılıf hematomu ile uyumlu olarak yorumlanmıştır. Hasta tekrar sorgulandığında kronik konstipasyon öyküsü mevcut olup antikoagulan kullanımını bulunmamaktaydı. Fizik muayenesinde karın ön duvarı sol alt kadranda rektus kılıfına uyam ağırlı, non pulsatif, sert kitle tespit edildi. Kitle solunum ile hareket etmemektedir. Hastanın arteriyel kan basıncı 120/80 mmHg, kalp tepe atımı dakikada 82 ve solunum sayısı dakikada 20 olup normal sınırlardaydı. Hematom gelişimi tekrarlanabileceğinden ve olası bakteriyel kontaminasyon riskinden dolayı ince iğne aspirasyon biyopsisi gereksiz görülmüştür. Ayrıca hematombu yapısının pihti ihtiya etmesi aspirasyonun gerçekleşmesini güçlendirmekte ve başarısız girişimle sonuçlanması sebep olabilmektedir.

Sonuç: Bu olgu sunumunda F-18 FDG PET/BT ile rektus kılıf hematomunun metabolik ve morfolojik özellikleri gösterilmiştir. Nadir rastlanan bu patolojinin F-18 FDG PET/BT gibi duyarlılığı yüksek ama özgüllüğü düşük olan bir modalitede yorumlama hatasına neden olmaması ve gereksiz girişimsel işlemlere yönlenilmemesi için ayrıcalı tanıda dikkat edilmesi gerektiğini düşünmektedir.

Anahtar Kelimeler: Hematom, PET/BT, rektus abdominis



Resim 1.



Resim 2.

[PS-119]

Baş-Boyun Adenoid Kistik Karsinomlu Hastada F-18 FDG PET/BT ile Saptanan Meme Metastazı ve Eşlik Eden Hipofiz Metastazı

Evrim Sürek Budak¹, Şenay Yıldırım², Arsenal Sezgin Alikanoğlu², Sevim Yıldız³, Ali Ozan Öner⁴, Şeyda Gündüz⁵

¹Antalya Kamu Hastaneleri Birliği Sağlık Bilimleri Üniversitesi, Antalya Eğitim ve Araştırma Hastanesi, Nükleer Tip Kliniği, Antalya

²Antalya Kamu Hastaneleri Birliği Sağlık Bilimleri Üniversitesi, Antalya Eğitim ve Araştırma Hastanesi, Patoloji Kliniği, Antalya

³Antalya Kamu Hastaneleri Birliği Sağlık Bilimleri Üniversitesi, Antalya Eğitim ve Araştırma Hastanesi, Radyoloji Kliniği, Antalya

⁴Afyon Kocatepe Üniversitesi Tıp Fakültesi Hastanesi, Nükleer Tip Kliniği, Afyon

⁵Antalya Kamu Hastaneleri Birliği Sağlık Bilimleri Üniversitesi, Antalya Eğitim ve Araştırma Hastanesi, Onkoloji Kliniği, Antalya

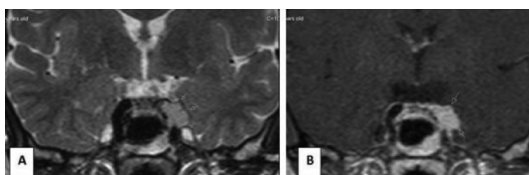
Amaç: Adenoid kistik karsinom (AKK), baş-boyun tümörlerinin %1'ini oluşturan nadir, invaziv bir tümördür. Sıklıkla sinir invazyonu yapar, akciğer, kemik, karaciğer ve beyin gibi organlara hematojen metastaz yapma potansiyeli yüksektir. Ancak meme ve hipofiz AKK için tipik metastaz alanları değildir. Ekstra mammalian tümörlerde meme metastazı %0,5-3 gibi oldukça düşük oranda görülmektedir. Flor-18 (F-18) fluorodeoksiglikoz pozitron emisyon tomografi/bilgisayarlı tomografide (F-18 FDG PET/BT) incidental meme tutulumu %0,36-1,12 oranında bildirilmiştir. F-18 FDG PET/BT, beklenmedik metastazları saptaması ve tedavi şeklini değiştirebilmesi açısından AKK evreleme ve takibinde önemli bir yöntemdir.

Olgı: Kırk dokuz yaşında servikal şişlik şikayeti olan kadın hastanın ultrasonografik incelemesinde tiroid bezine bitişik kitle saptanmış ve total tiroidektomi + kitle eksizyonu yapılmıştır. Patolojisi 9,5x10 cm boyuttunda, tiroid ve çevre kas dokuya invaze AKK olarak raporlanmıştır. Primer baş-boyun AKK kabul edilen hastanın evreleme amaçlı çekilen PET/BT'sinde her iki akciğerde hipermetabolik metastatik lezyonları yanı sıra operasyon alanından hafif FDG tutulumu saptanmıştır. Ayrıca karaciğerde FDG tutulumu göstermeyen hemanjiyomla uyumlu multipl lezyonlar izlenmiştir. Yirmi aylık periyotta kemoradyoterapi alan hasta klinik ve PET/BT görüntülemesi ile stabil seyrederken bu süre sonunda ani görme kaybı

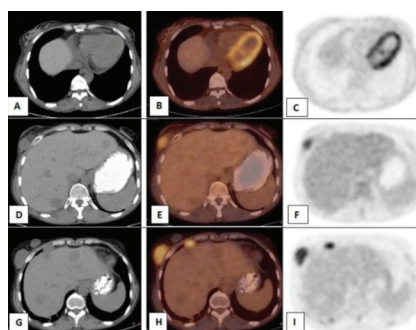
gelmiştir. Çekilen beyin ve hipofiz manyetik rezonans görüntülemeye (MRG) sol parasellar 9x15 mm boyutunda T2 hiperintens, homojen kontrastlanan kitle lezyonu saptanmış (Resim 1) ve metastaz kabul edilerek radyoterapiye yönlendirilmiştir. Sonrasında yirmi dördüncü ayda tedavi yanıtı değerlendirmesi için çekilen PET/BT'sinde sağ meme alt kadranda yanyana iki adet yeni lezyon saptanmıştır (Resim 2). Lateral yerleşimli olan hipemetabolik karakterde olup medyal yerleşimli olan da ise metabolizma artışı saptanmamıştır. Bu lezyonlardan yapılan insizyonel biyopsi sonucu hipemetabolik lezyon için AKK; nonmetabolik lezyon için nekrotik olarak raporlanmıştır.

Sonuç: Lezyonların hızlı büyümeye göstermesi, görüntüleme/immünohistokimyasal bulgular neticesinde memedeki lezyon öncelikle AKK metastazı olarak kabul edilmiştir. Memedeki lezyonlar yanı sıra mediastinal, parakardiyak, parasternal ve sağ anterior diafragmatik yeni metastazları olan progrese hastanın kemoradyoterapisi üçüncü yılında halen devam etmektedir.

Anahtar Kelimeler: Adenois kistik karsinom, FDG PET/BT, meme, hipofiz, metastaz



Resim 1. Ani görme kaybı gelişen hastanın MRG görüntülerinde T2 ve postkontrast T1 ağırlıklı koronal kesitlerde hafif T2 hiperintens ve homojen olarak kontrastlanan sol parasellar kitle lezyonu



Resim 2. A-C) Evreleme amacıyla çekilen ilk PET/BT'de her iki memede yer kaplayıcı lezyon saptanmamıştır. (D-F) 2. yıl PET/BT'de sağ meme alt dış kadranda 19x30 mm boyutunda hipemetabolik (SUV_{max} : 5,2) lobüle kontürlü kitle lezyonu saptanmıştır. Ayrıca lezyon komşuluğunda FDG tutulumu göstermeyen, daha küçük boyutlu ikinci bir lezyon izlenmektedir. (H,I) Takip PET/BT'de metastatik meme lezyonunda boyut artışı saptanmış olup (24x35 mm) metabolik olarak stabildir (SUV_{max} : 5,6). (D,G) Hastada ayrıca karaciğerde FDG tutulumu göstermeyen multipl lezyonlar mevcuttur.

[PS-120]

Kolon Kanserli Bir Olguda Karaciğer Metastazını Taklit Eden FDG PET/BT Görüntüsü

Rüya Erinç, Müge Öner Tamam, Özge Vural Topuz

Okmeydanı Eğitim ve Araştırma Hastanesi, Nükleer Tip Kliniği, İstanbul

Amaç: (F-18) Florodeoksiglukoz (FDG) pozitron emisyon tomografisi (PET) kolorektal kanserlerin değerlendirilmesinde önemli bir görüntüleme

yöntemidir. Kolorektal kanserlerde relaps ve metastazların cerrahi reseksiyonu öncesi evrelemesinde, açıklanamayan karsinoembriyonik antijen (CEA) yükseklüğünde relaps veya metastatik hastalıkın lokalizasyonunu değerlendirmede kullanılır. FDG PET/BT, özellikle karaciğerde metastaz şüphesini değerlendirmede oldukça sensitif ve spesiftir. Ancak bazı hepatik adenom, hemangioendotelioma gibi benign lezyonlarda yalancı pozitif sonuçlar sebebiyle olabilmektedir.

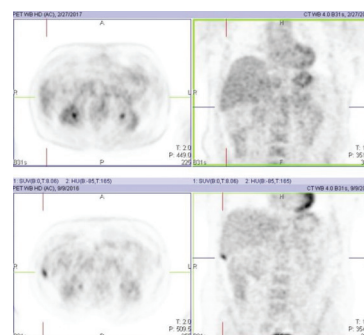
Olgu: Bu olgu sunumunda; kolon kanserli 66 yaşında bir erkek hastada Ağustos 2014 yılında yapılan FDG PET/BT görüntülemede; karaciğer sağ lob segment 6'ya uyan alanda fokal artmış FDG tutulumu izlendi. Eylül 2016'da CEA değerinde yükseliş (CEA: 13, normal: 0-5) saptanınca tekrar FDG PET/BT istendi. Karaciğer sağ lob segment 6'ya uyan alanda BT kesitlerinde yaklaşık 2,5 cm boyutundaki lezyonda FDG tutulumunda önceki çalışmaya göre artış (SUV_{max} : 12,7) tespit edildi ve hasta genel cerrahi servisine sevk edilerek opere edildi (karaciğer sağ lateralı ve batın ön duvarı yüzeyel eksizyon). Patoloji sonucu epitelyoid morfolojide yaygın histositler içeren yabancı cisim tipi iltihabi granülasyon dokusu (sütür materyali) olarak değerlendirildi (kesitlerde malignite lehine bulgu saptanmadı).

Sonuç: FDG PET/BT günümüzde özellikle gastrointestinal tümörlerin karaciğer metastazlarını belirlemeye oldukça hassas noninvaziv bir yöntemdir. Ancak yalancı pozitifliği neden olabilecek artefakt, enflamasyon/enfeksiyon durumları, adenoma gibi karaciğer benign lezyonları, gibi durumlar nadir olsa bile daima akılda tutulmalıdır.

Anahtar Kelimeler: Kolon kanseri, yalancı pozitif karaciğer tutulumu, FDG PET/BT



Resim 1.



Resim 2.

[PS-121]

F-18 FDG PET/BT Görüntülemede İntaarteriyel Enjeksiyona Sekonder Gelişen Artefakt

Gülhan Kaya Altuncı, Gonca Gülbürdal, Fatih Yeşil

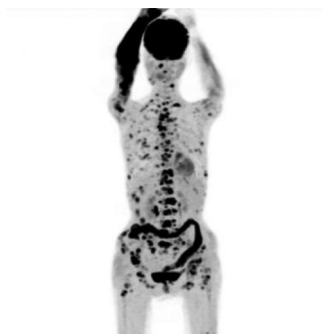
İzmir Katip Çelebi Üniversitesi, Atatürk Eğitim Araştırma Hastanesi, Nükleer Tip Bölümü, İzmir

Amaç: Malignite öyküsü olan hastalarda önceki kemoterapi tedavilerine sekonder, yüzeyel damarlar enjeksiyon açısından zorlayıcı olabilir. Kaşeksi, diyet gibi durumlar eklendiğinde de bu hastalar intraarteriyel enjeksiyona maruz kalma açısından daha risklidirler. Hastamızda önceki kemoterapi öyküsü ve ileri derecede kaşektik olması nedeni ile nadir görülen bu durum ve sonrası oluşan artefakt görünümü izlenmiştir.

Olgu: Metastatik, bilateral meme kanseri olduğu bilinen, operasyon öyküsü olmayan, daha önce kemoterapi tedavisi ve halen hormonoterapi alan 62 yaşındaki kadın hastamızda tedaviye yanıt amaçlı PET/BT yapıldı. Damar içine 5,4 mCi F-18 FDG'nin enjeksiyonu sonrası 1. saatte verteksten ulyuk orta kısma kadar PET görüntüleri alındı. Görüntüler değerlendirdiğinde; MIP görüntülerinde hastanın sağ el ve sağ ön kolunda dikkat çekici bir biçimde, yumuşak dokuda, diffüz, yüksek düzeyde FDG tutulması izlendi (eldiven fenomeni) (Resim 1). Hastaya sağ antekubital bölgelerden enjeksiyon yapıldığı, bu ön kol ve elde izlenen hipermetabolik görünümün brakial arter dağılımı ile uyumlu olarak yumuşak dokularda yoğun FDG tutulması gösterdiği izlendi. Önce PET görüntülerinde bu bulguyun olmadığı görüldü. Enjeksiyonun intraarteriyel olabileceği öngörülü. Bu durumun hastanın kaşektik (35 kg) olması ve önceki kemoterapiye sekonder güçlükle açılabilen damar yolu nedeniyle FDG'nin intraarteriyel uygulanmasına bağlı ortaya çıktıği sonucuna varıldı.

Sonuç: Daha önce kemik sintigrafisinde eldiven fenomeni olarak tanımlanmış olan, sıcak önkol ya da sıcak el işaretleri, Tc-99m-MDP'nin yanlışlıkla intraarteriyel enjeksiyonuna sekonder, arteriyel dağılımin distalinde yumuşak dokuda, yoğun uptake ile görülür. FDG'nin intraarteriyel enjeksiyonu da benzer görünümde tanılmıştır. Yanlışlıkla yapılan intraarteriyel FDG insidansının gerçek değerinin altında olduğu düşünülmektedir. Çünkü genellikle eller ve kollar görüntü alanına girmez. FDG yanlışlıkla intraarteriyel uygulandığında bile, PET/BT'nin görüntü kalitesi görsel değerlendirme için uygundur. Ancak lezyonların SUV değeri olması gerekenin altında olabilir ve bu durumda karaciğer ve mediasten SUV değerleri gibi doğrulama değerleri ile oranlanarak intraarteriyel enjeksiyonda da kullanılabilir. FDG'nin yanlışlıkla intraarteriyel enjeksiyonu damar dağılımına sekonder enjeksiyon alanı distalinde hipermetabolik görüntüme (sıcak el, eldiven) neden olur. Buna neden olabilecek durumların göz önünde bulundurulması bu hataları azaltacaktır.

Anahtar Kelimeler: PET/BT, sıcak el, intraarteriyel enjeksiyon



Resim 1.

[PS-122]

Opere ve Kısa Sürede Nüks Eden Perirenal Fibromatozis Olgu Sunumu

Harun Süslü, İbrahim Duman

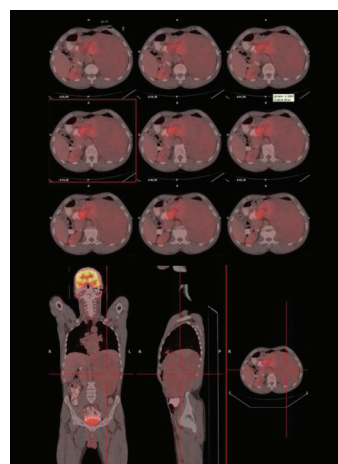
Antalya Medicalpark Hastanesi, Nükleer Tip Kliniği, Antalya

Amaç: Tüm kanserlerin %1'inden azını ve tüm yumuşak doku tümörlerinin %3'ünü oluşturan fibromatozis ve desmoid tümörler, fibroblastların patolojik olarak benign proliferasyonudur. Ancak rekürrens eğilimi ve infiltratif tip büyümeye ile lokal agresifdirler. Renal, subkapsüler, veya perirenal orginde olabilen ve retroperitonea yayılımı bulunan perirenal tutulum birçok defa tanımlanmıştır. Ancak bizim olgumuzda 6 ay önce komplet rezeksiyon yapıldıktan sonra kitlenin kısa sürede nüks etmesi ve retroperitoneal alanda, mezenterik alana barsak anşlarına bası oluşturarak böbrek fonksiyon bozukluğuna neden olması nedeni ile malign transformasyon şüphesi ile F-18 FDG PET/BT görüntülemenin hasta izlemi ve прогноз belirlenmesinde önemini tartışmayı amaçladık.

Olgu: Haziran 2016 tarihinde sol böbrek çevresinde kitlesel lezyondan komplet rezeksiyon operasyonu olan ve patoloji raporunda perirenal fibromatozis olarak tanımlanan 57 yaşındaki erkek olgunun takibinde 6 ay sonra sol yan ağırsı ve üriner şikayetler gelişmesi üzerine çekilen abdomen MR'de sol subdiafragmatik alandan başlayıp sol fossa iliakaya kadar uzanım gösteren retroperitoneal sol böbreği anteriora ve sağ paramedyan lokalizyonunda orta hatta doğru deplase eden, dalak, pankreas ve barsak anşlarında bası oluşturan 22x16 cm boyutlarında solid kitlesel lezyon tanımlanması üzerine hastaya kitlenin metabolik karekterizasyonunun belirlenmesi amacıyla yapılan F-18 FDG PET/BT görüntülemede, sol böbrek perirenal mesafeden başlayıp süperiorda subdiyafragmatik alana ve posteriorda retroperitoneal alana uzanım gösteren böbreği orta hattın sağına deplase eden pankreas, dalak ve barsak anşlarına bası oluşturan düzgün sınırlı kitlenin patolojik FDG tutulumu göstermediği tespit edilerek nüks perirenal fibromatozis lehine yorumlanmıştır.

Sonuç: F-18 FDG PET/BT görüntülemesi, hızlı rekürrens eğilimi ve infiltratif tip büyümeye gösteren ve düşükde olsa malign transformasyonu bildirilen perirenal fibromatozinin, perirenal tutulmuş lenfoma, perinefritik kolleksiyon, hematom, ürinoma, apse, perirenal lenfanjiomatozis, retroperitoneal tümör gibi patolojik durumların ayrimında katkıda bulunacaktır.

Anahtar Kelimeler: F-18 FDG PET/BT, perirenal fibromatozis



Resim 1.

[PS-123]

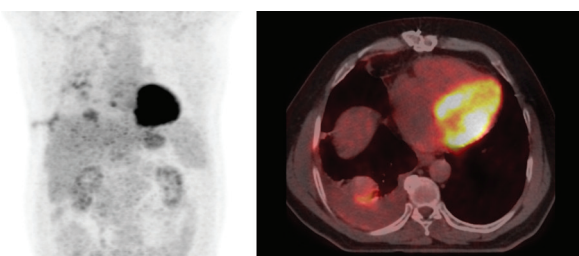
Plevrade Epiteloid Tip Mezotelyoma ve Liposarkomun Nadir Birlikteliği: Olgu SunumuEsra Çiftçi¹, Şule Karadayı², Zekiye Hasbek¹, Bülent Turgut¹¹Cumhuriyet Üniversitesi Tıp Fakültesi, Nükleer Tıp Anabilim Dalı, Sivas²Cumhuriyet Üniversitesi Tıp Fakültesi, Göğüs Cerrahisi Anabilim Dalı, Sivas

Amaç: Yuvarlak hücreli liposarkomlar (YHL), yüksek gradeli, kötü differansiyasyon gösteren oldukça nadir tümörlerdir. Epiteloid tip mezotelyoma (ETM) ise FDG-non avid veya düşük FDG tutulumu göstermektedir. Bu olgumuzda iki farklı naturde ancak benzer FDG afinitesi gösteren, literatürde rastlanmayan bir birlilikteki olan plevra kaynaklı ETM ile plevra kaynaklı YHL'li olguya sunmayı amaçladık.

Olgu: Altmış altı yaşında iki aydır öksürük ve nefes darlığı şikayeti ile göğüs cerrahisi polikliniğine başvuran erkek hasta toraks BT'de sağ hemitoraks plevrasında kalınlaşma saptanması üzerine, plevra biyopsisi yapılmış ve patoloji sonucu "ETM" gelmesi üzerine evreleme amaçlı FDG PET/BT görüntülemesi istenmiştir. FDG PET/BT'de sağ hemitoraks plevrasında heterojen karakterde artmış FDG tutulumları izlenmiş olup (SUV_{max} : 4,9), yer yer nodüler plevral kalınlaşmalar ve hafif artmış FDG tutulumu gösteren loküle efüzyonlar saptandı. Ayrıca sağ diafragmatik plevra tabanlı boyutu ~5x3 cm heterojen karakterde FDG tutulumu gösteren (SUV_{max} : 5,3) plevra kaynaklı nodüler bir görünümün de olduğu dikkati çekmiştir. Hastaya sağ torakotomi uygulandığında parietal ve viseral plevrade yaygın milimetrik nodüler kalınlaşmalar ve buna ek olarak diafragmatik yüzeyden kaynaklanan ~5x3 cm boyutlarında kapsüllü düzgün yüzeyli tümöral lezyon saptandı. Çıkarılan lezyonların patoloji sonucu "ETM ve YHL" olarak raporlandı.

Sonuç: YHL'ler yüksek gradeli, kötü differansiyasyon gösteren yumuşak doku tümördür. Agresif davranış ve belirgin mortalite gösterilmiştir. Plevra kaynaklı YHL, literatürde oldukça az sayıda rapor edilmiş olup, FDG tutulum paternine ait bir olguya rastlanmamıştır. Liposarkomlarda FDG afinitesi değişkenlik göstermektedir. Özellikle düşük-grade liposarkomlarda yanlış negatif sonuçlar gösterilmiştir. ETM'ler ise FDG-non avid veya düşük FDG tutulumu göstermektedir. Mezotelyomalar içinde FDG PET/BT'de en sık yanlış negatiflik gösteren alt gruptur. Yavaş seyirli olup, alt tiplerine göre прогнозları değişkenlik göstermektedir. FDG PET/BT görüntülemeye gözlenen düşük-orta düzeyde FDG afiniteli plevral malignitelerin değerlendirilmesinde, takipte tedavi protokolünü değiştirebileceğinden birlilikte gösterebilen benzer metabolik aktivite gösteren yumuşak doku tümörlерinin göz önünde bulundurulması önerilir.

Anahtar Kelimeler: PET/BT, plevra, malign mezotelyoma, liposarkom



Resim 1. Plevra kaynaklı yuvarlak hücreli liposarkom, literatürde oldukça az sayıda rapor edilmiş olup, FDG tutulum paternine ait bir olguya rastlanmamıştır. Bu olgumuzda literatürde rastlanmayan bir birlilikteki olan plevra kaynaklı mezotelyoma ile plevra kaynaklı YHL'li olguya sunmayı amaçladık

[PS-124]

Sekonder Hiperparatiroidiye Bağlı Oluşan Brown Tümörü Olgusu

Gül Gümüşer, Gözde Mütevelizade, Elvan Sayıt

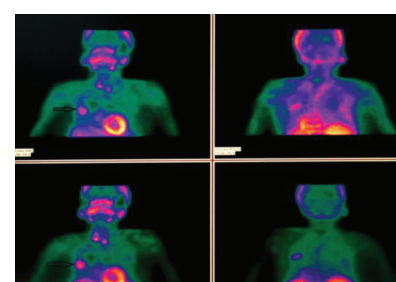
Manisa Celal Bayar Üniversitesi Tıp Fakültesi, Nükleer Tıp Anabilim Dalı, Manisa

Amaç: Brown tümörü hiperparatiroidizm sonucunda ortaya çıkan, osteoblastik ve osteoklastik mekanizmalarla oluşan metabolik bir kemik lezyonudur. Malign kemik tümörlerinden ve metastazlardan ayırcı tanısı yapılmalıdır.

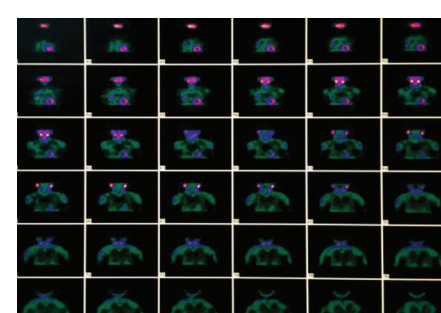
Olgu: Kronik böbrek yetmezliği olan, 14 yıldır diyalize giren 59 yaşında kadın hasta paratiroid sintigrafisi için kliniğimize yönlendirildi. Hastanın laboratuvar tettiklerinde; serum kalsiyum 9,9 mg/dL (8,8-10,6), serum fosfor 4,8 mg/dL (2,5-4,5), parathormon 3482 pg/mL (12-88) saptandı. Hastaya 15 mCi Tc-99m MIBI iv. olarak verildikten 15. dakika sonra alınan erken statik görüntülerde tiroid bezinde diffüz Tc-99m MIBI tutulumu izlendi. İkinci saatte alınan geç statik görüntülerde her iki tiroid lobu inferioruna uygun alanlarda Tc-99m MIBI retansiyonları izlenmiş olup paratiroid adenom/hiperplazisi lehine yorumlandı. Mediasten görüntüsünde ise toraks sağ kesiminde fokal Tc-99m MIBI tutulumu mevcuttu. Hastaya önerilen toraks BT sonucunda sağ 3 kosta ön kesiminde yaklaşık 52x29 mm boyutlarında eksansil kitle lezyonu saptanmış olup, öncelikle sekonder hiperparatiroidiye sekonder gelişen Brown tümörü şeklinde yorumlanmış ve histopatolojik olarak doğrulanmıştır.

Sonuç: Paratiroid sintigrafisi için başvuran üremik hastalarda görüntüler değerlendirilirken tesadüfen saptanan tutuluların Brown tümörü açısından klinik değerlendirilmesi, radyolojik korelasyonu ve histopatolojik verifikasiyonu önerilmelidir.

Anahtar Kelimeler: Paratiroid sintigrafisi, Brown tümörü



Resim 1. Mediasten görüntüsünde toraks sağ kesiminde fokal Tc-99m MIBI tutulumu



Resim 2. SPECT görüntülerde toraksta fokal Tc-99m MIBI tutulumu

[PS-125]

Nadir Olgı: Dil Kanseri Tanılı Olguda FDG PET/BT'de Miyokardiyal Tutulum

Serkan Güngör¹, Yusuf Yılmaz², Hatice Sinav Uslu¹, Mehmet Tarık Tatoğlu¹, Ebru İbişoğlu¹

¹İstanbul Medeniyet Üniversitesi Tıp Fakültesi, Nükleer Tip Anabilim Dalı, İstanbul

²İstanbul Medeniyet Üniversitesi Tıp Fakültesi, Kardiyoloji Anabilim Dalı, İstanbul

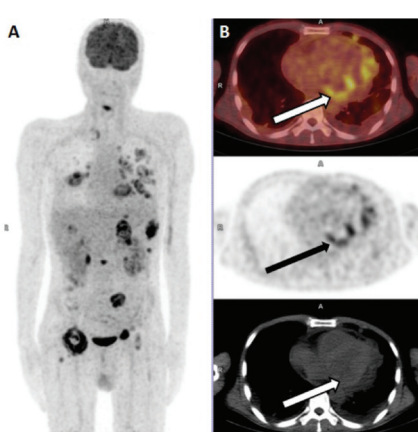
Amaç: Kalbin metastatik tutulumu nadir olarak görülmekte ve genelde postmortem otopsi serilerinde tespit edilmektedir. Kalp metastazı yapmış tümörler dolaşım yetmezliği nedeniyle ani ölümlere yol açmaktadır. Literatürde; kalp tutulumu gösteren bir çok primer tümör raporlansa da, dil kanserinin kalp metastazını gösteren olgu bildirimleri sınırlı sayıdadır. Bu olgu sunumunda; dil kanseri tanısı olan 48 yaşındaki erkek hastanın, yeniden evreleme nedeniyle çekilen FDG PET/BT bulguları tartışıldı.

Yöntem: Tıbbi onkoloji kliniğinde, dil kanseri nedeni ile takip edilen 48 yaşındaki erkek hastaya, yeniden evreleme amaçlı FDG PET/BT görüntülemesi yapıldı.

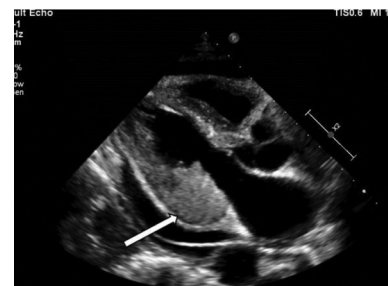
Bulgular: Ekte sunulan imajlarda görüldüğü gibi; FDG PET/BT MIP görüntüsünde; tüm vücutta multipl metastaz ile uyumlu FDG tutulum odaklıları izlenmiştir (Resim 1A). Ayrıca BT, PET ve füzyon PET/BT görüntülerinde; sol ventrikülde izlenen şüpheli hipodens alan periferinde fizyolojik kalp tutulumundan net olarak ayırt edilemeyen yoğun FDG tutulumu izlendi (Resim 1B). Hastaya ileri tettik amaçlı transtorasik ekokardiyografi (EKO) yapıldı. EKO görüntülerinde sol ventrikül inferior duvar mid-bazal kesimlerinde solid kitlesel lezyon saptandı (Resim 2). Ejeksiyon fraksiyon değeri (%65) normal olarak saptanan olguda sol ventrikülde izlenen kitlesel lezyon metastaz lehine değerlendirildi.

Sonuç: Kalp metastazı nadir olarak görülse de ani ölümlere sebebiyet vermesi nedeni ile tanısının konulması çok önemlidir. FDG PET/BT, her ne kadar primer tümör ve metastazları göstermede yüksek sensitivite, spesifite ve tanışal doğruluğa sahip olsa da, fizyolojik FDG tutulumu nedeni ile kalp metastazını göstermede yanlış negatif sonuç verebileceği unutulmamalıdır. Bizim olgumuzda olduğu gibi; kalp metastazı açısından şüpheli PET/BT bulgularının basit ve noninvasiv görüntüleme yöntemi olan transtorasik EKO ile korelasyonu önerilmektedir.

Anahtar Kelimeler: Dil kanseri, miyokardiyal metastaz, FDG PET/BT



Resim 1.



Resim 2.

[PS-126]

Kıbrıs Türk Toplumunda DTCA'da Artış ve Mikrokarsinoma Oranı

Şebnem Aydin

Dr. Burhan Nalbantoğlu Devlet Hastanesi, Nükleer Tip Kliniği, Lefkoşa

Amaç: Tiroid kancer insidansı tüm dünyada olduğu gibi ülkemizde de artış göstermektedir. Amacımız kanser kayıtlığının ivme kazandığı son yıllarda differansiyeli tiroid kancer olgu sayılarımız ve mikrokarsinoma oranlarının belirlenmesidir.

Olgı: Çalışmada nükleer tip polikliniğinde Ocak 2012-Aralık 2016 yılları arasında tanı almış 304 hasta retrospektif olarak değerlendirilmiştir. 2012 yılında tanı alan olgu sayısı 50 (39 K, 11 E, 7 kişide mikrokarsinoma mevcuttu), 2013 yılında olgu sayısı 57 hasta (14 E, 43 K, 11 mikrokarsinoma) 2014 yılında olgu sayısı 66 (12 E, 54 K, 10 mikrokarsinoma) 2015 yılında olgu sayısı 70 (50 K, 20 E, 8 mikrokarsinoma), 2016 yılında ise 61 hasta (48 K, 13 E, 18 mikrokarsinoma).

Sonuç: Tüm dünyada olduğu gibi ülkemizde de yıllar içinde differansiyeli tiroid kancer tanısı alan olgu sayısında artışla birlikte mikrokarsinoma olgu tanalarında artışın büyük oranda birlikte olduğu belirlenmiştir.

Anahtar Kelimeler: Tiroid CA, mikrokarsinoma

[Table 1]

	2012	2013	2014	2015	2016
Olgu sayısı	50	57	66	70	61
Mikrokarsinom olgu sayısı	7	11	10	8	18

[PS-127]

FDG PET/BT'de İnsidental Olarak Saptanan Ekstrahepatik Safra Kanalı İnaduktal Papiller Müsinöz Neoplazisi

Serkan Güngör, Mehmet Tarık Tatoğlu, Ebru İbişoğlu, Hatice Sinav Uslu

İstanbul Medeniyet Üniversitesi Tıp Fakültesi, Nükleer Tip Anabilim Dalı, İstanbul

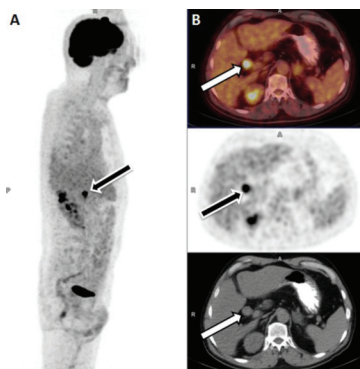
Amaç: Safra kanalının intraduktal papiller müsinöz neoplazisi (IPMN) nadir görülen bir hastalıktır. IPMN, intraduktal büyümeye ile karakterize olup adenokarsinoma dönüşebilen premalign bir lezyondur. Kolanjiyokarsinom ile karşılaşıldığında çok iyi prognaza sahip olduğu bilinmektedir. Bu olgu sunumunda; opere kolon kanseri tanılı erkek hastanın ekstrahepatik safra yolunda insidental olarak saptanan maligne şüpheli FDG PET/BT bulguları tartışıldı.

Yöntem: Genel cerrahi kliniğinde, kolon kanseri tanısı nedeni ile opere edilen 48 yaşındaki erkek hastaya, evreleme amaçlı FDG PET/BT çalışması yapıldı.

Bulgular: Ekte sunulan imajlarda görüldüğü gibi; MIP (Resim 1A) ve üst batın transaksiyel (Resim 1B) FDG PET/BT görüntülerinde, karaciğer hilusu seviyesinde, ana hepatic kanal içerisinde izlenen yaklaşık 21x19 mm boyutlu ve yumuşak doku dansiteli lezyonda yoğun (SUD_{max}: 11,9) FDG tutulumu izlendi. Vücuttan görüntüleme alanına giren diğer kesimlerinde FDG dağılımı normal fizyolojik sınırlar içindeydi. Klinik ve radyolojik incelemeler sonrası kolanjiyokarsinom ölü tanısı ile ameliyat edilen hastanın histopatolojik incelemesinde hafif-orta dereceli displazi gösteren non-invaziv intraduktal papiller müsinöz neoplazi tanısı konuldu. Non-invaziv ve cerrahi sınırların temiz olması nedeni ile hastaya cerrahi tedavi sonrası adjuvan kemoterapi düşünülmüdü.

Sonuç: Ekstrahepatik safra kanalı kanserleri arasında IPMN çok nadir görülen bir tür olup oldukça iyi прогноз sahiptir. Adenokarsinoma dönüşebilme potansiyeline sahip premalign tümör olması nedeni ile non-invaziv evrede tanısının konulması çok önemlidir. Literatürde, FDG PET/BT'de gösterilen safra kanalı IPMN olgu sayısı çok az sayıda olup bizim olgumuzda da olduğu gibi çok daha kötü прогнозa sahip olan kolanjiyokarsinom tanısı ile karıştırılmaktadır. Sonuç olarak; intra ve ekstrahepatik safra yollarında saptanan FDG tutulumu olgularında, ayrıca tanıda karsinom, enflamatuar ve enfeksiyon süreçlerle birlikte IPMN'nin de düşünülmesi gerekmektedir.

Anahtar Kelimeler: Safra kanalı, intraduktal papiller müsinöz neoplazi, FDG PET/BT



Resim 1.

[PS-128]

FDG PET/CT Taramasında Diffüz Büyük B Hücrelî Lenfomanın Nadir Görülen Bir İnfiltrasyon Alanı: Pineal Gland

Nilüfer Yıldırım¹, Murat Albayrak², Mutlay Keskin¹, Elif Özdemir¹, Zuhal Kandemir¹, Şeyda Türkölmez¹

¹Ankara Atatürk Eğitim ve Araştırma Hastanesi, Nükleer Tip Kliniği, Ankara

²Ankara Dışkapı Yıldırım Beyazıt Eğitim ve Araştırma Hastanesi, Hematoloji Kliniği, Ankara

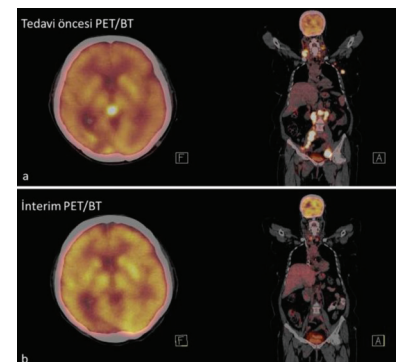
Amaç: Kan-beyin bariyeri dışında kalan pineal glandın tümörleri tüm intrakranial tümörlerin %1'inden daha azını kapsar. Büyük çoğunluğu germ hücreli ve pineal parankimal kaynaklı primer tümörler olup metastatik tümörler düşük orandadır. FDG PET/CT taraması, primer ve metastatik birçok

malignitenin evrelemesinde ve takibinde yaygın olarak kullanılmaktadır. Pineal glandta lenfoma infiltrasyonu olan bu olguda FDG PET/CT tarama bulguları sunuldu.

Oluşum: Boyunda ve dil kökünde şişlik nedeniyle hastaneye başvuran, biyopsi sonucu diffüz büyük B hücreli lenfoma saptanmış, 73 yaşındaki kadın hasta tedavi öncesi evreleme amacıyla PET/CT taraması için klinigimize refer edildi. Standart onkolojik protokol ile yapılan PET/CT taramasında dil kökünde vallekülayı dolduran kitlede, servikal-sol aksiller-mediastinal-abdominal bölgede çok sayıdaki lenf nodunda lenfoma infiltrasyonu ile uyumlu hipemetabolizma saptandı. Ayrıca kranial kesitlerde sağ parietookiptal bölgede geçirilmiş menenjiyom operasyonuna sekonder değişiklikler ve interhemisferikhatta pineal gland lokalizasyonunda fokal hipemetabolizma saptandı (Resim 1a). Hastada artmış intrakranial basınç semptomları yoktu ve plazmada alfa fetoprotein ve beta HCG gibi germ hücre belirteği negatif idi. Kemik iliği biyopsisinde lenfoma infiltrasyonu saptanmadığından evre 3 non-Hodgkin lenfoma tanısıyla standart doz kemoterapi [R-CHOP: Rituximab, siklofosfamid, dokosorubisin (hidroksirubisin), vinkristin ve prednizon] uygulandı. İki kür kemoterapi sonrası yeniden evreleme amacıyla yapılan interim PET/CT taramasında metabolik yanıt saptandı (Resim 1b).

Sonuç: Pineal gland tümörler genellikle cerrahi tedavi gerektiren obstruktif tip hidrosefali ve artmış intrakranial basınç semptomları veya hormonel değişiklikler ile semptom verir. Pineal tümör hücreleri BOS ile ventriküllere veya spinal korda yayılabilirliğinden erken teşhis klinik olarak önemlidir. Non-Hodgkin lenfoma tanısı olan bu olguda lenfomanın nadir infiltrasyon alanlarından biri olan pineal gland tutulumu PET/CT taraması ile asimetomatik dönemde tespit edilerek standart kemoterapiye yanıt verdiği gözlandı.

Anahtar Kelimeler: Lenfoma, FDG PET/CT, pineal gland



Resim 1.

[PS-129]

Tiroid Kitlesi: Akciğer Skuamoz Hücrelî Karsinom Metastazı ve FDG PET/CT'de Yoğun Tutulum Paterni

Göksele Alçın, Bircan Sönmez

Karadeniz Teknik Üniversitesi Tip Fakültesi, Nükleer Tip Anabilim Dalı, Trabzon

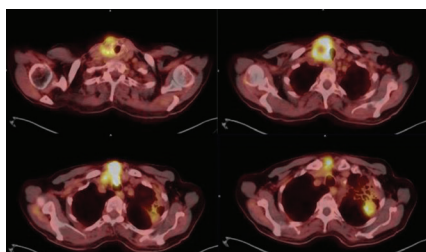
Amaç: Primer tiroid kanserleri tiroid malignitelerinin büyük çoğunluğunu oluşturmaktır olup FDG PET/CT'de tiroid glandında fokal FDG tutulumu gösteren lezyonların %30-35 oranında malignite ile ilgili olduğu literatürde çeşitli çalışmalarla belirtilemiştir. Sekonder tiroid maligniteler ise olguların sadece %0,5-7,5'ini oluşturmaktadır ve genellikle baş-boyun, böbrek, akciğer ve meme kanseri metastazına bağlıdır. Bu olgumuzda akciğer

skuamöz hücreli karsinomun nadir görülen tiroid metastazını sunmayı amaçladık.

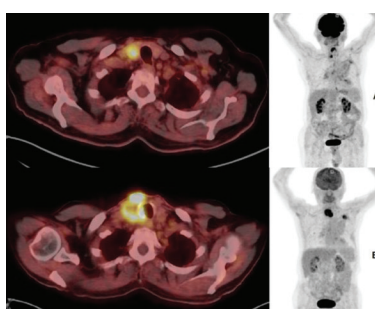
Oluğ: Yetmiş üç yaşındaki erkek hastanın, 40 yıl boyunca sigara ve TBC hikayesi mevcut. Yapılan görüntülemede sol akiçer santral 3x2 cm kitle saptanan olguda bronkoskopi sonucu Skuamoz hücreli karsinom gelmiş. Konseyde fonksiyonel inop kabul edilen hasta KT almak istememesi nedeniyle akiçer kitlesine ve lenfatik lokalizasyonlara RT almış. Birinci yıl tedavi yanıt değerlendirme amaçlı FDG PET/BT'de tiroid bezi sağ lobunda yoğun hipemetabolik (SUV_{max} : 6,87) yaklaşık 1,5 cm boyutunda nodül saptanmış fakat ileri tetkik yapılmamış. İkinci yıl takiplerinde boyunda şişlik ve nefes darlığı şikayetleri ile başvuran ve boyun-toraks BT'de tiroid glandı sağ lobda yaklaşık 46x35 mm boyutunda posteriorda özofagus ile sınırları net seçilemeyen trakeaya protüde görünümde trachea lumenini daraltan kitle lezyon (tiroid malignitesi?/metastaz?) ve akiçerde de yeni metastatik lezyonlar saptanmıştır. Tiroid glandında bulunan sert naturdeki kitleye insizyonel biyopsi yapılmış ve sonucu skuamoz hücreli karsinom metastazı olarak raporlanmıştır. Ardından yeniden evreleme amaçlı FDG PET/BT'de tiroid glandı sağ lobundan inferiorda juguluma uzanan, servikal özofagustan sınırları net ayırt edilemeyen, tracheaya invaze görünümde ve lümeni daraltan, 47x41 mm düzensiz sınırlı heterojen dansiteli santral ametabolik yoğun hipemetabolik kitle lezyon (SUV_{max} : 8,9) saptanmıştır.

Sonuç: Tiroid glandında hipemetabolik lezyonlar FDG PET/BT'de karşımıza sık çıkan bir antitedir. Daha sıkılıkla benign durumlar ilgili olabileceği gibi primer tiroid maligniteleri ile ilgili olabilir. Sekonder tiroid maligniteler ise nadir görülse de kötü прогноз ile ilişkilidir. Bu yüzden özellikle bilinen tiroid hastalığı olmayan, malignite ile takipli, hızlı progresyon gösteren, FDG PET/BT'de yoğun hipemetabolik kitle lezyonlar değerlendiriliken metastatik prosesler de akılda tutulmalıdır.

Anahtar Kelimeler: Akiçer SCC, tiroid metastazı, FDG



Resim 1. İkinci yıl FDG PET/BT; trioid glandından geçen transaksiyal füzyon kesitleri



Resim 2. A) Birinci yıl FDG PET/BT, B) İkinci yıl FDG PET/BT

[PS-130]

Medüller Tiroid Kanseri Hastada F-18 FDG PET/BT ile Spinal Kanal Metastazı Tespiti

Emine Ebru Bayar¹, Emine Özlem Gür², Şebnem Duygulu¹, Gonca Gülbural¹

¹İzmir Katip Çelebi Üniversitesi, Atatürk Eğitim ve Araştırma Hastanesi, Nükleer Tıp Kliniği, İzmir

²İzmir Katip Çelebi Üniversitesi, Atatürk Eğitim ve Araştırma Hastanesi, Genel Cerrahi Kliniği, İzmir

Amaç: Medüller tiroid kanseri olan hastamızda metastazların tespitinde PET/BT'nin batın BT ve kemik sintigrafisine üstünlüğünü göstermeye amaçladık. F-18 FDG'nin IV enjeksiyonunu takiben 60 dakika sonra tüm vücuta PET/BT görüntüleme yapıldı.

Oluğ: Altıçatı dört yaşındaki kadın hastaya kilo kaybı ve mide yakınları nedeniyle yapılan tarama amaçlı tüm abdomen BT'de iç organlarda pataolojik bir bulguya rastlanmamış ancak incelemeye dahil kemik yapıları dejenерatif lezyonlar, T10 vertebral ve sol sakroiliak eklem kompleksliğinde metastaz kuşkulu hipodens lezyonlar izlenmiştir. Bunun üzerine yapılan kemik sintigrafisinde sol sakroiliak eklemde, T 1-7-10-12 ve L 2-3 vertebralarda minimal aktivite artışı tanımlanmış, kuşkulu olarak değerlendirilmiştir. Aynı zamanda tiroid bezinde nodülü olan hasta biyopsi sonucu kuşkulu gelmesi üzerine total tiroidektomi operasyonuna alınmış ve histopatolojik olarak medüller tiroid kanseri tanısı konmuştur. Daha sonra yapılan PET/BT görüntülerinde; karaciğerde segment 2/3 lokalizasyonunda orta dereceli metabolik aktivite artışı gösteren metastazla uyumlu olabilecek milimetrik hipodens lezyonlara ek olarak kemiklerde L2 vertebral, T 1-7-10 vertebral ve sol sakroiliak eklemde ve sol asetabuler çatıda yüksek metabolik aktivite tutulumu gösteren litik-sklerotik belirgin metastatik lezyonlar izlenmiştir. Ayrıca L2 ve T1 vertebral hizasında spinal kanal metastazı ile uyumlu aktivite izlenmiş ve MR önerilmiştir. Yapılan lomber ve torakal MR'da kemik ve spinal kanal metastazları, karaciğer MR'de karaciğer metastazları doğrulanmıştır.

Sonuç: Metastatik medüller tiroid kanseri takibinde pek çok imajlama modalitesi kullanılabilmektedir. Hastamızda olduğu gibi F-18 FDG PET/BT tek bir çekimde tüm vücut görüntülemeye olanak sağlayıp, eş zamanlı anatomin ve metabolik değerlendirmeye imkan vermesi nedeniyle karaciğer, kemik ve spinal metastazları saptamada başarılı olmuş, tedaviyi yönlendirmiştir.

Anahtar Kelimeler: Medüller tiroid kanseri, PET/BT, spinal metastaz

[PS-131]

Radyoterapiye Sekonder Gelişen Anjiyosarkomlu Bir Hastanın PET/BT Bulguları

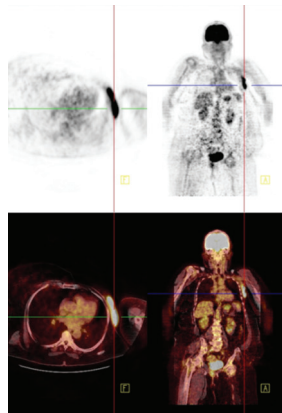
Zuhal Kandemir, Elif Özdemir, Mutlay Keskin, Nilüfer Yıldırım, Şule Kılınç Vicdan, Şeyda Türkölmez

Ankara Atatürk Eğitim ve Araştırma Hastanesi, Nükleer Tıp Kliniği, Ankara

Radyoterapiye sekonder gelişen anjiyosarkomlar nadir görülen ve değişik histolojik tipleri bulunan agresif tümörlerdir. Genellikle radyasyon maruziyetinden yıllar sonra radyoterapi sahasının kenarında ortaya çıkar ve erken evrede uzak metastaz yaparlar. Tanıda tipik görüntüleme bulgusu olmayıp aynı alanda rekürrens ayrimı güç olmaktadır. PET/BT ile lokal ve uzak metastazların saptanması ve zaman kaybetmeden tek tedavi seçenekleri olan cerrahi tedavinin uygulanmasına olanak sağlamaktadır. Kesin tanı histopatolojik olarak doku tanısı ile konur. Kemoterapi ve radyoterapiye genellikle dirençli olan bu tümörlerin tedavisinde ilk seçenek cerrahıdır. Bu

bildiride; sol memede invaziv duktal karsinom tanısı nedeniyle operasyon ve radyoterapi öyküsü bulunan, tedaviden 16 yıl sonra radyoterapiye sekonder gelişen anjiyosarkom olgusunun PET/BT bulgularını sunmayı amaçladık.

Anahtar Kelimeler: Radyoterapi, anjiyosarkom, PET/BT



Resim 1.

[PS-132]

Lenfomayı Taklit Eden Miyelodisplastik Sendrom Zemininde Yaygın Enfeksiyonu Olan Bir Hastanın F-18 FDG PET/BT Görünümü

Zehra Pınar Koş¹, Pelin Özcan Kara¹, Tahsin Çolak², Taylan Kara³

¹Mersin Üniversitesi Tip Fakültesi, Nükleer Tip Anabilim Dalı, Mersin

²Mersin Üniversitesi Tip Fakültesi, Genel Cerrahi Anabilim Dalı, Mersin

³Mersin Üniversitesi Tip Fakültesi, Radyoloji Anabilim Dalı, Mersin

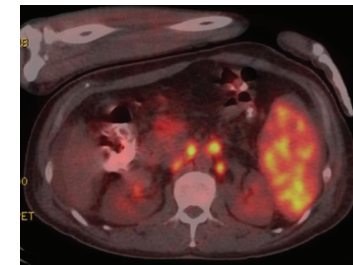
Amaç: Lenfoma tanısı, evrelemesi ve tedavisinde F-18 FDG PET/BT son derece yol gösterici ve doğru bir yöntemdir. Bu olgu sunumunda yaygın intraabdominal lenf nodları ve barsak fistülü nedeniyle opere edilen bir hastanın preoperatif dönemde intraabdominal yaygın enfeksiyona bağlı lenfoma benzeri FDG PET/BT görünümünü sunmak istiyoruz.

Olgu: Kırk iki yaşında erkek hasta karin ağrısı nedeniyle doktora başvurmuş abdominal ultrasonografi değerlendirmesinde çekumda fistül ile uyumlu bulgular ve yaygın intraabdominal lenfadenopatiler tespit edilmiş. Bölümümüze primeri bilinmeyen tümör veya lenfoma ön tanıları ile gelen hastanın F-18 FDG PET/BT'sinde boyunda, mediastende ve abdomende multipl lenfadenopatiler ve yanı sıra dalakta diffüz tutulum ve çekum duvarında artmış FDG tutulmaları tanımlanmıştır (Resim 1). Hasta koloenterik biyopsi ve splenektomi operasyonu geçirmiş olup patoloji tanısı yaygın reaktif iltihap dokusu olarak yorumlanmıştır. Ayrıca yapılan kemik iliği biyopsisinde miyelodisplastik sendrom tanısı konulmuştur. Üç ay sonra yapılan BT'sinde intraabdominal lenf nodlarının tama yakın kaybolduğu görülmüştür (Resim 2).

Sonuç: Miyelodisplastik sendromda PET/BT bulguları çok nadir olgu sunumları ile bildirilmiştir. Miyelodisplastik sendromun tek başına PET/BT'de diffüz kemik iliği tutulmuna neden olduğu bilinmemektedir. Ayrıca daha önce bu kemik iliği tutulmının aynı zamanda akciğer kanserleri bir olguda kemik metastazını maskeleyecek düzeye de olabileceği raporlanmıştır. Başka bir hastada da miyelodisplastik sendrom ile birlikte Behçet hastalığı olan bir hastanın ileoçkal ülserlerle karakterize tablosunun PET/BT görünümü bildirilmiştir. Bu olguda da lenfoma ile karışabilecek derecede şiddetli

enfeksiyon tablosu ile karşımıza çıkan bir miyelodisplastik sendromlu hastanın FDG PET/BT görüntülerini sunduk ve böylece lenfoma ayırıcı tanısında yer alabilecek bir patolojiyi de tanımladık.

Anahtar Kelimeler: Miyelodisplastik sendrom, lenfoma, FDG, PET/BT



Resim 1.



Resim 1.

[PS-133]

Akciğer Kanseri Hastalarda FDG PET/BT ile Histopatolojik Tanı ve Lokalizasyon İlişkisinin Değerlendirilmesi

Farise Yılmaz, Gonca Kara Gedik, Ceyhan Uğurluoğlu

Selçuk Üniversitesi Tip Fakültesi, Nükleer Tip Anabilim Dalı, Konya

Amaç: Akciğer kanseri günümüzde kansere bağlı ölümlerde en sık olarak karşımıza çıkmaktır ve tedavi seçeneklerine rağmen 5 yıllık sağkalım oranı %10-15'lerde kalmaktadır. PET/BT günümüzde akciğer kanserlerinin tanı ve takibinde önemli bir yere sahiptir. Biz bu çalışma ile PET/BT yapılan KHDAK'lı (Küçük Hücreli Dış Akciğer Kanseri) hastalarda patolojik tanı ile segmental dağılım arasındaki ilişkiyi ve SUV_{max} değerlerini değerlendirmeyi amaçladık.

Yöntem: Araştırmaya, KHDAK tanı almış ve Eylül 2012-Ekim 2015 tarihleri arasında Selçuk Üniversitesi Tip Fakültesi, Nükleer Tip Anabilim Dalı'nda FDG PET/BT çekimi yapılan 100 hastanın raporları, retrospektif olarak değerlendirilerek dahil edildi. Her hastanın akciğerdeki kitle lezyonuna ilgi alanı çizilerek SUV_{max} değerleri hesaplandı.

Bulgular: Yüz hastanın 85'i erkek ve 15'i kadın olup, ortalama yaşı; 63,02 olarak hesaplandı. Kırk dört hastanın kitesi sağ akciğerde olup üst lobda 26 (%60), orta lobda 2 (%4) ve alt lobda 16 (%36) kitle tespit edildi. Sol akciğerdeki 36 kitlenin 21'i üst (%58), 15'i (%42) alt lobdaydı. Santralde ise 20 kitle izlenmiş olup; 12'si sağ akciğer (%60), sekizi (%40) sol akciğerdeydi. Yüz hastanın ellisi SCC (skuamöz hücreli kanser), 42'si adenokanser, yedisi LCC (büyük hücreli kanser) ve biri retiküler dentrit hücreli Ca tanlarını aldı. Sağ akciğerde 23 hasta adeno kanser tanısı alırken (17 hasta SCC, dört hasta LCC), sol akciğerde 18 lezyon SCC tanısını aldı (15 adeno kanser, 2 LCC, 1 retiküler dentrit hücreli kanser). Santralde ise 14 kitleye SCC tanısı kondu (beş adeno kanser, bir LCC). SCC'li 50 hastada ortalama SUV_{max}: 17,7; adeno kanserlilerde; 11,2 ve LCC'lilerde ise 16,3 olarak hesaplandı.

Sonuç: Literatürde PET/BT ile akciğer tm'lerinin patolojik tipleri ve segmental düzeyde değerlendirilmesine sınırlı sayıda rastlanmıştır. Biz bu çalışmada akciğerde en çok kanser tanısını literatürle uyumlu olarak sağ akciğerde (SCC) ve segmental düzeyde ise üst loblarda (adeno kanser) tespit ettik. Sağ akciğer orta lob ile sağ ve sol akciğer üst loblarda adeno kanser (sırasıyla; %100, %54, %52) ağırlıklı olarak bularak, akciğerde SCC'nin yerini giderek adenokanserin aldığına literatürle uyumlu olarak tespit ettik.

Anahtar Kelimeler: FDG PET/BT, Skuamöz H'lı kanser, adeno kanser, büyük H'lı kanser

[PS-134]

Alveoler Soft Part Sarkom: F-18 FDG PET/BT Bulguları

Eser Kaya¹, Tamer Aksoy¹, Ahmet Levent Güner¹, Hakan Temiz¹, Nevin Fazlioğlu², Semiha Urvay³, Mithat Fazlioğlu⁴, Mustafa Taşdemir⁵, Erkan Vardareli¹

¹Acıbadem Üniversitesi Tip Fakültesi, Nükleer Tip Anabilim Dalı, İstanbul

²Acıbadem Üniversitesi Tip Fakültesi, Göğüs Hastalıkları Anabilim, İstanbul

³Acıbadem Kayseri Hastanesi, Medikal Onkoloji Kliniği, Kayseri

⁴Kayseri Eğitim ve Araştırma Hastanesi, Göğüs Cerrahisi Kliniği, Kayseri

⁵Acıbadem Kayseri Hastanesi, Radyodiagnostik Kliniği, Kayseri

Amaç: Alveolar soft part sarkom (ASPS) nadir görülen mezenkimal bir tümördür, tüm yumuşak doku sarkomları içerisinde yaklaşık %0,5-1,0 aralığında görülmektedir, belirgin olarak çocuklar ve genç erişkinler etkilenmektedir. ASPS da erişkinlerde alt ekstremite etkilenirken, çocuklarda baş ve boyun bölgesi etkilenmektedir. Ayrıca, kadın genital organlarında, mediastende, meme dokusunda, böbrekte, mesanede, gastrointestinal sistemde, retroperitoneal bölgede ve kemik gibi vücudun diğer doku ve organlarında da oluşabilmektedir. Primeri bilinmeyen, akciğerde metastatik multipl nodüler/kitle lezyonları olan alveolar soft part sarkom tanılı bir olguda F-18 FDG PET/BT bulgularını paylaşmak.

Olgı: Öksürük şikayeti ile göğüs hastalıkları kliniğine başvuran 33 yaşında erkek hastanın, toraks BT çalışmasında multipl nodüler lezyonlar tespit edildi. Nodüler lezyonun histopatolojik incelemesi, ASPS metastazı olarak değerlendirildi. Primer odak araştırmak amacıyla kontrastlı abdominal ve pelvik BT, ortoröntgenogram, tüm vücut Tc-99m MDP kemik sintigrafisi ve F-18 FDG PET/BT çalışmaları gerçekleştirildi. Beyin metastazı varlığını değerlendirmek amacıyla MRI çalışması gerçekleştirildi. F-18 FDG PET/BT çalışması dışında diğer çalışmalarda herhangi bir patolojik bulgu tespit edilmedi. F-18 FDG PET/BT tüm vücut çalışmasında; her iki akciğerde tüm segmentlerde metabolik aktivite gösteren multipl metastatik nodüler lezyonlar izlendi (Resim 1), akciğer dışı diğer anatomik kesitlerde herhangi bir patolojik bulgu izlenmedi. ASPS, ağırsız, yavaş büyüyen, sarkomlara göre farklı bir metastatik patern sahip, sıklıkla tanı anında metastatik lezyonların eşlik ettiği, akciğer ve beyin metastazın sıklıkla görüldüğü, tedavi sürecinde bile metastazların devam ettiği, kötü прогнозlu bir sarkomdur. Kemik metastazları ve lenf nodu metastazları da görülebilmektedir. Olgumuz, yalnız akciğer metastazı olan, diğer organ metastazları olmayan ve primeri bilinmeyen, literatürlerde tanımlanmayan bir olgudur. Primeri bilinmeyen metastatik ASPS tanılı 25 olguda odağı tespit için görüntüleme modaliteleri (BT, MRI ve PET/BT) ile yapılan bir çalışmada, sadece bir olguda odağın tespit edilemediği belirtilmektedir.

Sonuç: ASPS çocukları ve genç erişkinleri etkiler, akciğer ve beyin metastazı az sıklıkta görülür ve kötü прогнозludur. F-18 FDG PET/BT çalışmasının, ASPS da primer odağın tespiti, evreleme ve прогноз takibinde önemli katkıları sağlayabileceği akılda tutulmalıdır.

Anahtar Kelimeler: Alveolar soft part sarkom, F-18 FDG PET/BT



Resim 1. F-18 FDG PET/BT; her iki akciğerde tüm segmentlerde büyük sağ akciğer üst lob anterior segmentte olmak üzere multipl metastatik nodüler lezyonlarda artış gösteren F-18 FDG uptake (SUV_{max} b) izlenmektedir

[PS-135]

Hipereozinofilik Sendrom Zemininde Gelişmiş CD30 (+) Periferik T Hücreli Lenfomada F-18 FDG PET/BT Tetkikinin Önemi

Feray Aras¹, Mine Miskioğlu², Gül Gümüşer¹, Elvan Sayıt Bilgin¹

¹Celal Bayar Üniversitesi Tip Fakültesi, Nükleer Tip Anabilim Dalı, Manisa

²Celal Bayar Üniversitesi Tip Fakültesi, Hematoloji Anabilim Dalı, Manisa

Amaç: Lezyonların yerleşim yeri çeşitliliği nedeniyle klinik tanı zorluğu olan T hücreli Lenfomada ilginç bir hastaya ait tüm vücut PET/BT tetkik görüntülerini paylaşmayı amaçladık.

Olgı: Yaklaşık 7 aydır hipereozinofilik sendrom ve buna bağlı bacaklıarda yaygın ülsere deri lezyonları ile dermatoloji kliniğine başvuran 64 yaşında erkek hastaya lenfoma/ezinofilik lösemi/hipereozinofilik sendrom örtanıları ile sağ inguinal lenf nodundan tru-cut biyopsi yapıldı. Biyopside anaplastik görünümlü CD30 ve CD40 (+), ALK (-) deri biyopsilerinde neoplastik tutulumun olmaması nedeni ile olguya hipereozinofilik sendrom zemininde gelişmiş CD30 (+) periferik T hücreli lenfoma, NOS olarak değerlendirilmiştir. Üst ve alt batın BT'de batında, pelviste ve inguinal bölgede lenfadenopatiler ve ekstremite MR'de geniş ülsere deri lezyonları tespit edilmesi üzerine hastalığın yayılmasını tespit etmek ve tedaviye yanıtını monitörize edebilmek için bölümümüzde tüm vücut F-18 FDG PET/BT tetkiki yapıldı. Her iki alt ekstremitede mevcut ülsere deri lezyonlarında izlenen deri ve deri altı nodüler lezyonlarda; bilateral femoral, inguinal bölgede, pelviste, batında, mediastende, her iki aksillada, sağ servikal seviye 2A'da, sol kol proksimalinde ve sol dirsekte izlenen lenf nodlarında patolojik düzeyde F-18 FDG tutulumları saptandı.

Sonuç: F-18 FDG PET/BT tetkikinin özellikle periferik T hücreli lenfomada; hastalığı evrelemede, tedavi yanıtını izlemeye, skorlama ile hasta prognosunun öngörülmesinde ve nüks hastalıkta hem kutanöz hem de ekstrakutanöz lezyonların erken dönemde saptanmasındaki değerini tekrar vurgulamak istedik.

Anahtar Kelimeler: F-18 FDG PET/BT, periferik T hücreli lenfoma, hipereozinofilik sendrom

[PS-136]

Ameloblastoma Tanılı Hastanın Tedavi Takibinde FDG PET/CT Görüntüleme

Zehra Pınar Koç¹, Pelin Özcan Kara¹, Emel Sezer²

¹Mersin Üniversitesi Tip Fakültesi, Nükleer Tip Anabilim Dalı, Mersin

²Mersin Üniversitesi Tip Fakültesi, Onkoloji Anabilim Dalı, Mersin

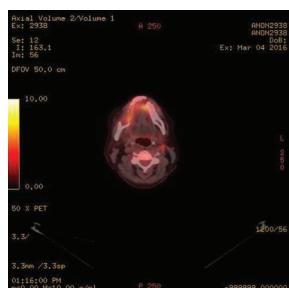
Amaç: Ameloblastom dental bölgeden köken alan benign odontojenik bir tümördür. Daha önce tanısında FDG PET/BT kullanımı bildirilmiştir. Bu olgu

ile bildiğimiz kadariyla tedavi takibinde FDG PET/BT kullanımını literatürde ilk kez sunmak istiyoruz.

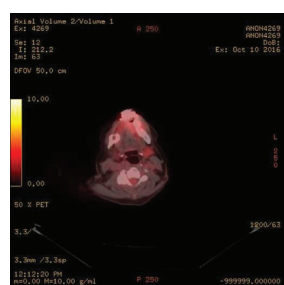
Olgu: Altmış yedi yaşında sağ mandibular ameloblastoma tanısı ile opere olan kadın hastanın postoperatoratif dönemde nüks araştırması için bölümümze yönlendirilmiştir. Hastaya yaklaşık 10 saat açlığı takiben açlık kan glikozu 109 mg/dL ölçülmüş ve 9,6 mCi F-18 FDG PET/BT görüntüleme toplam 13 yatak/3 dakika olacak şekilde kalvaryumdan ayak tabanına kadar yapılmıştır. Hastanın mandibula sağında orta hatta yakın artmış FDG tutulumu (SUV_{max} : 4,49) olması (Resim 1) nedeniyle nüks tanısı ile hastaya 75 mg/m² cisplatin ve 50 mg/m² adriamisin tedavisi başlanmıştır. Altı kültür tedavi sonrası takibinde FDG PET/BT görüntülemede tümördeki tutulumun azalduğu görülmüştür (Resim 2).

Sonuç: Ameloblastoma her ne kadar benign bir tümör olsa da lokal invazyon ve rekürens gösterebilir. Ameloblastik karsinoma ise malign bir tümör olup lenf nodu metastazı veya uzak metastaz yapabilir. Daha önce az sayıda olgu ile ameloblastoma ve ameloblastik karsinomun FDG PET/BT özellikleri tanımlanmıştır. Literatürde sunulan olgularda da ameloblastik karsinomun uzak metastazı FDG PET/BT ile gösterilerek evrelemesi de yapılmıştır. Otsuru ve ark'da rekürens tanısında ameloblastomada FDG PET/BT'nin kullanılabilceğini göstermiştir. Ameloblastoma'nın malign bir tümör olan ameloblastik karsinomdan ayırcı tanısında da FDG PET/BT'den faydalansılabilir. Bu olgu ile literatürde bildiğimiz kadariyla ilk kez bir ameloblastom hastasının hem rekürensinin tanısında hem de tedavi yanıtının takibinde FDG PET/BT kullanımı sunulmuştur.

Anahtar Kelimeler: Ameloblastoma, FDG, PET/BT, tedavi yanıtı



Resim 1.



Resim 2.

[PS-137]

Nadir Görülen Tutulum; Sternumda Dev Plazmasitom ve PET/BT'nin Tanya Katkısı

Emine Ebru Bayar¹, Füsün Gediz², Fatih Yeşil¹

¹Izmir Katip Çelebi Üniversitesi Atatürk Eğitim ve Araştırma Hastanesi, Nükleer Tip Kliniği, İzmir

²Izmir Katip Çelebi Üniversitesi Atatürk Eğitim ve Araştırma Hastanesi, Hematoloji Kliniği, İzmir

Amaç: Sternum biyopsi sonucu plazmasitom tanısı konan olguda PET/BT'nin tanıdaki rolünü göstermeyi amaçladık. F-18 FDG'nin IV enjeksiyonunu takiben 60 dakika sonra tüm vücut PET/BT görüntüleme yapıldı.

Olgu: Göğüs duvarında şişlik ve ağrı şikayeti ile başvuran 62 yaşındaki erkek hastaya yapılan toraks BT'sinde sternumda litik eksansiyel, muhtemelen malign destrüksiyon olarak yorumlanan yumuşak doku şişliği izlenmiştir. Yapılan sternum tru cut biyopsisinde plazmasitom tanısı konması üzerine hasta evrelemeye amaçlı PET/BT tetkiki için bölümümze basvurmuştur. Yapılan PET/BT incelemesinde sternumda litik eksansiyel 81x93x140 mm boyutlarında ve SUV_{max} : 13,4 olan anteriorda deri altına kadar uzanan ve posteriorda mediastene protrüde耕耘ünlü primer tanı plazmasitom ile uyumlu dev hipermetabolik lezyon izlenmiştir. Ek olarak vertebral kolon boyunca BT'de anatomik karşılığı olmayan heterojen hipermetabolik görünüm izlenmiş olup kemik iliği tutulumu yönünden kuşkulu olarak raporlanmıştır. Hastaya yapılan kemik iliği biyopsisinde IgG kappa monoklonal bant %41 oranında bulunmuş ve hastalık multipl miyelom lehine değerlendirilmiştir. Hastaya kemoterapi tedavisi planlananmıştır.

Sonuç: Sternumdan yapılan biyopsi sonucu plazmasitom tanısı konan ve evreleme amaçlı PET/BT tetkiki yapılan hastamızda; primer malign lezyonun yanı sıra vertebral kolonda kuşkulu kemik iliği tutulumu izlenmiş, kemik iliği biyopsisiyle doğrulanarak multipl miyelom tanısı konmuştur. Plazmositom olgusunda tek bir lezyon ve sistemik hastalık eşlik etmemiye küratif RT tedavi seçeneği olabilecek iken, sistemik tutulum kemoterapi gerektirir. Soliter plazmositom tanısı alan olguda hem kemik iliği, hemde PET/BT lokalize hastalığı dışladığı için tedavi protokolünü belirlemeye önemlidir.

Anahtar Kelimeler: Plazmasitom, sternum, PET/BT

[PS-138]

Nazofarinks Tümörü Nedeni ile Tedavi Yanıtı Amaçlı Yapılan PET/BT Görüntülemede İnsidental Olarak Saptanan Kalsifiye Fibroz Tümör

Pelin Özcan Kara¹, Zehra Pınar Koç¹, Taylan Kara², Hasan Erdal Doruk³, Emel Sezer⁴

¹Mersin Üniversitesi Tip Fakültesi, Nükleer Tip Anabilim Dalı, Mersin

²Mersin Üniversitesi Tip Fakültesi, Radyoloji Anabilim Dalı, Mersin

³Mersin Üniversitesi Tip Fakültesi, Üroloji Anabilim Dalı, Mersin

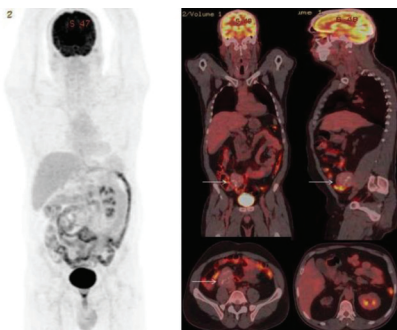
⁴Mersin Üniversitesi Tip Fakültesi, Onkoloji Bilim Dalı, Mersin

Amaç: Baş-boyun tümörlerinin takibinde PET/BT görüntüleme yaygın kullanım alanı bulmuştur. Bu olgu sunumunda, nazofarinks Ca nedeni ile takipte olan kemoradyoterapi alan hastada yapılan PET/BT görüntülemede incidental olarak saptanan sağ böbrekte atrofiye neden olan kalsifiye fibroz tümör olgusu PET/BT görüntüleme bulguları takdim edilmiştir.

Oluş: Nazofarinks Ca tanısı olan kemoradyoterapi öyküsü mevcut 48 yaşında erkek hastaya tedavi yanıtını değerlendirmek üzere PET/BT tetkiki yapılmıştır. PET/BT görüntülemede nazofarinks düzeyinde önceki tetkiklerde bildirilen primer malignite ile uyumlu kitlenin güncel tetkikte mevcut olmadığı dikkati çekmiş ve tedaviye tam yanıt lehine değerlendirme yapılmıştır. Tüm vücut görüntülemede sağ böbreğin atrofik görünümde olduğu dikkat çekmiştir. L5 vertebra düzeyinde, sağ iliopsoas kası anteriorunda, barsak loopları arasında mezenterik yerleşimli hafif düzeyde artmış metabolik aktivite gösteren (SUV_{max} : 2,94) düzgün sınırlı lobüle konturlü yaklaşık 5x5 cm boyutunda kalsifiye kitle saptandı (Resim 1). Sağ üretere bası yapan ve dolayısıyla sağ böbrekte atrofiye neden olan kronik ve benign karakterli olduğu düşünülen ekstraluminal yerleşimli kalsifiye kitlenin ayırıcı tanısında benign mezenkimal tümörler olduğu rapor edilmiştir. PET/BT görüntülemeyi takiben yapılan kitle eksizyonu sonrası kalsifiye fibroz tümör biyopsi tanısı konulmuştur.

Sonuç: PET/BT görüntüleme FDG affinitesi yüksek tümörlerde tanı, evreleme, tedavi takibi ve yeniden evrelemede yoğun bir şekilde kullanılmaktadır. PET/BT görüntüleme tüm vücut görüntüleme modalitesi olması nedeni ile bu olguda olduğu gibi bazı durumlarda primer tanı ile ilişkisiz incidental başka bulguların saptanmasını da sağlamaktadır. Sağ üretere bası yapan ve dolayısıyla sağ böbrekte atrofiye neden olan düşük FDG affiniteli ekstraluminal yerleşimli kalsifiye kitlenin kronik ve benign karakterli olduğu düşünülmüş ve yorum bu şekilde yapılmıştır. PET/BT görüntülerinin değerlendirilmesinde BT bulgularının doğru yorumlanması ayrı bir önem arz etmektedir.

Anahtar Kelimeler: Kalsifiye fibroz tümör, PET/BT, nazofarinks kanseri



Resim 1.

[PS-139]

Marjinal Zon Lenfoma Tanısı Alan Hastada PET/BT Görüntülemede Nadir Deri ve Testis Ekstranodal Tutulumları

Pelin Özcan Kara¹, Zehra Pınar Koç¹, Emel Sezer², Kadir Eser²

¹Mersin Üniversitesi Tip Fakültesi, Nükleer Tip Anabilim Dalı, Mersin

²Mersin Üniversitesi Tip Fakültesi, Onkoloji Bilim Dalı, Mersin

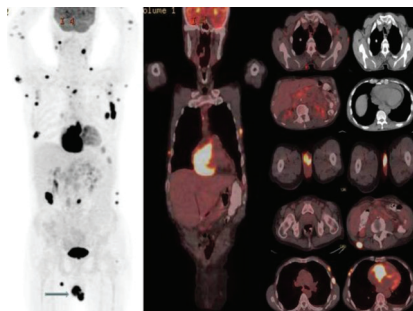
Amaç: Hodgkin hastalığı (HL) ve non-Hodgkin lenfoma (NHL) lenfoid sistemden köken alan ve tüm malignitelerin %8'ini oluşturan malign neoplazm spektrumudur. Lenf nodlarının malignitesi olarak bilinmesine rağmen ekstranodal tutulum bölgeleri görülebilmektedir. Bu sunumda marjinal zon lenfoma tanısı alan hastada nodal tutulum alanlarına ek olarak PET/BT görüntülemede saptanan nadir testis ve deri ekstranodal tutulum olusu takdim edilmiştir.

Oluş: Sol göğüs kafesinden kitle eksizyonunu takiben marjinal zon lenfoma tanısı alan 72 yaşında erkek hastaya ilk evreleme amaçlı

PET/BT görüntülemesi yapılmıştır. PET/BT görüntülemesinde bilateral servikal zincirde, supraklaviküler alanda, bilateral aksiller, mediastinal, retroperitoneal, paraortik, peripankreatik, perigastrik, karaciğer hilus, paraçölyak alanlarda konglomerasyon gösteren hipermetabolik (SUV_{max} : 14,66-31,89) lenfadenopatiler, perikardiyal kalınlaşma-efüzyon, hipermetabolik (SUV_{max} : 3,32-12,83) kemik lezyonları, kesit alanına dahil çeşitli düzeylerde deri altı birden çok hipermetabolik (SUV_{max} : 10,5-24,37) nodül saptandı. Ek olarak; sağ hemiskrotumda testis lenfoma FDG tutulumu (SUV_{max} : 20,26) dikkati çekti (Resim 1).

Sonuç: Lenf nodlarının malignitesi olarak bilinmesine rağmen, HL ve özellikle NHL hastalarının %25-40'ında gastrointestinal, baş-boyun, orbita, santral ve periferal sinir sistemi toraks, kemik, deri, meme, testis, tiroid ve genitoüriner sistem gibi ekstranodal tutulum bölgeleri görülebilmektedir. Ekstranodal tutulum прогноз açısından önem taşır ve görüntülemeler tanısında oldukça önemli rol oynamaktadır. PET/BT görüntüleme lenfoma hastalarında standart bir yöntem olması, ekstranodal bölgelerin saptanmasında BT görüntülemeye üstün olması açısından bu hastalarda ayrı bir öneme sahiptir. Marjinal zon lenfomalar dalak, lenf nodu ve nod-dışı lenfoid dokudan köken alabilecek, B-lenfositlerin oluşturduğu, ortak "marjinal zon" terimi ile adlandırılıyor olmasına rağmen heterojen bir lenfoma grubu olarak tanımlanırlar. Bu sunumda marjinal zon lenfoma tanısı alan hastada nodal tutulum alanlarına ek olarak PET/BT görüntülemede saptanan nadir testis ve deri ekstranodal tutulum alanları saptanmıştır. Anormal testis tutulumu olan hastaların mutlaka ileri incelemesi ve bulgunun konfirmasyonu gerekmektedir.

Anahtar Kelimeler: Lenfoma, testis tutulumu, PET/BT



Resim 1.

[PS-140]

Akciğer Kanseri Bir Hastada FDG PET/BT'de Perikardiyal Tutulum Oluş Sunumu

Farise Yılmaz, Gonca Kara Gedik

Selçuk Üniversitesi Tip Fakültesi Hastanesi, Nükleer Tip Anabilim Dalı, Konya

Amaç: Akciğer kanseri günümüzde kansere bağlı ölümlerde en sık karşımıza çıkmaktır ve tedavi seçeneklerine rağmen 5 yıllık sağkalım oranı %10-15'lerde kalmaktadır. Küçük hücreli dişi akciğer kanserleri akciğer kanserine bağlı ölümlerin %85'ini oluşturmaktadır. Tedaviye başlamada klinik evreleme çok önemlidir. Klinik evrelemede ise intratorasik ve ekstratorasik metastaz önemli prognostik faktördür. Bu olguda akciğer kanseri hastada nadir görülen perikart tutulumunu tartışmayı amaçladık.

Oluş: Elli sekiz yaşında erkek hastaya Ekim 2016 tarihinde evreleme amaçlı PET/BT çekilmiştir. Sağ akciğer hiler bölgesinde artmış FDG tutulumu gösteren kitle lezyonu (SUV_{max} : 17,92) ile her iki akciğerde plevral nodüler lezyonlar (SUV_{max} : 10,54), plevral efüzyon ve mediastinal lenf nodları (SUV_{max} : 14,68) izlenmiştir. Ayrıca kalpte perikardiyal bölgelerde artmış FDG tutulumu

gösteren (SUV_{max} : 16,41) nodüler lezyonlar izlenmiştir. Dış merkezde yapılan akiçer biyopsi sonucu skuamöz hücreli karsinom gelmiştir. Yine dış merkezli toraks BT'sinde de perikardiyal nodüler lezyonlar tariflenmiştir. Hasta evre 4 M1a kabul edilerek tedavisi planlanmıştır.

Sonuç: Onkolojide kalbin tümörle infiltrasyonu oldukça nadir rastlanan durumlardan biridir. Otropsi raporlarında kalbin metastatik tümörlerinin en sık sebebinin %15-30 oranıyla akiçer Ca olduğu tespit edilmiştir. Daha sonra sırasıyla; meme Ca, malign melanom, lenfoma ve lösemi gelir. Metastatik tümörler kalpte en sık perikardi, daha sonra miyokardi, nadiren de endokardi tutmaktadır. PET/BT'nin metastatik akiçer kanseri evrelemesinde duyarlılığı %90 iken diğer görüntüleme sistemlerinde bu oran %80'lere kalmıştır. BT ve MRG, perikardiyal ve plevral hastalığın benign veya malign ayrimında yetersiz kalırken PET/BT ise malign perikardiyal ve plevral tutulumlarda yüksek duyarlılık ve negatif prediktif değerlere sahiptir.

Anahtar Kelimeler: FDG PET/BT, akiçer kanseri, perikart metastazı

[PS-141]

Nörofibromatozis Tip 1'in Nükleer Tiptaki Yansımaları

Derya Farsıdfar, Burcu Uzun, İhsan Sabri Öztürk

Sağlık Bilimleri Üniversitesi Adana Numune Hastanesi, Nükleer Tıp Kliniği, Adana

Amaç: Ülkemizde nadir bir hastalık olarak gözlenen nörofibromatozis (NF) değişik sinirler boyunca tümörlerin büyümeyesine sebep olan ve ek olarak kemik ve deri gibi sinir harici dokuların gelişimini etkileyen genetik hastalıklar takımıdır. NF tip 1 (NF-1) otozomal dominant kalıtım gösteren ve prevalansı yaklaşık olarak 1/4000-5000 civarında olan genetik geçişli nörokutanöz bir hastalıktır. NF-1 deri ve deri altında çoklu cafe-au-lait ve deri altında bezelye büyülüğünde şişkinlikler olarak görülen nörofibromalar ile karakterizedir.

Olgu: Olgumuz 70 yaşında kadın hasta olup, sağ kolda protez alanında ağrı şikayeti nedeniyle Üç Fazlı Kemik Sintigrafisi istemiyle kliniğimize başvurdu. Sintigrafik bulgular incelendiğinde; kemik lezyonlarına ek olarak deri-deri altı dokudaki Tc-99m MDP tutulum alanları dikkatimizi çekti. Bunun üzerine hastanın geçmiş ve laboratuvar bulguları incelendiğinde; 2013 yılında sağ ön kolda şişlik ve ağrı şikayetiyle gittiği kurum tarafından sağ humerus hizası kemik ve yumuşak doku küretaj + eksizyon materyalleri patoloji ve immünhistokimyasal inceleme sonuçlarında; malign periferik sinir kılıfı tümörü ile uyumlu gelmiştir. Takibinde hastaya uygulanan PET/BT tetkikinde "sağ humerus proksimalinde artmış F-18 FDG tutulumu ve buna ek olarak en büyüğü batın sağ alt kadранda olmak üzere multipl deri lezyonlarında artmış FDG tutulumları" izlenmiştir. Bu bulgular işliğinde hasta kliniğimize davet edilmiş ve deri lezyonları tarafımıza incelendiğinde bu lezyonların nörofibromalar ile uyumlu olduğu gözlenmiştir.

Sonuç: Olgumuzda gördüğümüz gibi nükleer tip yöntemlerinde karşılaştığımız atipik deri lezyonları değerlendirilirken nadir görülse bile nörofibromlar aklimızın bir ucunda bulunmalıdır.

Anahtar Kelimeler: Nörofibromatozis tip 1, PET/BT, kemik sintigrafisi, nörofibrom



Resim 1.

[PS-142]

Benign İncidental Findings of Osteopoikilosis on Tc-99m MDP Bone SPECT/CT: A Case Report

Güler Silov¹, Zeynep Erdoğan¹, Murat Erdoğan², Ayşegül Özdal¹, Hümeysa Gencər¹, Tayfun Akalın³

¹Kayseri Training and Research Hospital, Clinic of Nuclear Medicine, Kayseri

²Kayseri Training and Research Hospital, Clinic of Genetics, Kayseri

³Kayseri Training and Research Hospital, Clinic of Rheumatology, Kayseri

Aim: Osteopoikilosis is a benign but rare condition characterized by bone islands throughout the osseous tissue. We present a case of a 20-year-old man presented to orthopedic outpatient clinic with right foot pain for 2 weeks. There were multiple, small punctate lesions scattered throughout feet on radiograph. Subsequent three phase Tc-99m methylene diphosphonate (MDP) bone scan of feet, whole body scanning and also feet and pelvic-thoracic single-photon emission computed tomography (SPECT)/computed tomography (CT) performed. The late phase static images of feet countable multiple irregular focal MDP uptake. Whole body images showed a few abnormal focal MDP uptake on the long bones. SPECT images showed innumerable abnormal focal MDP uptake feet; all of pelvic-thoracic bones at the imaging window. But much more uncountable sclerotic lesion sites found on CT images. Only costal lesions showed no MDP uptake. No abnormal results were observed in the patient's routine urine, blood count, sedimentation, elisa and serology values. Alkaline phosphatase value was slightly high 126 U/L (30-120 U/L). The study of IFAT, microelisa, c3c, c4 levels search has been continuing.

Case: Clinical diagnosis was compatible with osteopoikilosis. It is usually autosomal dominant in inheritance, but sporadic forms are also reported. The patients are usually asymptomatic and incidentally found with clusters of multiple exostoses predominantly on spongy cancellous bone on radiographs or CT scans, but up to 20% might complained of articular pain. Current literatures suggest loss-of-function mutations of LEM domain containing 3 (LEMD3) gene located on 12q might be the cause, and the mutation could also affect soft tissue and skin, resulting in melorheostosis and Buschke-Ollendorff syndrome. Gene study is in progress for this patient.

Conclusion: Osteopoikilosis is usually an incidental finding on radiograph or CT. It is important for clinicians to recognize the specific image features to prevent further unnecessary interventions. A normal radionuclide bone scan excludes the possibility of osteoblastic bone activity. However, sometimes an abnormal bone scan, usually mild, could be seen, which reflects active osseous remodeling. But localised three phase bone scintigraphy and whole body scanning were not reflect real number of lesion site and lesion activity. SPECT/CT images could be a good choice for differential diagnosis in unexplained bone pain in one step.

Keywords: Osteopoikilosis, SPECT-CT, Tc-99m MDP

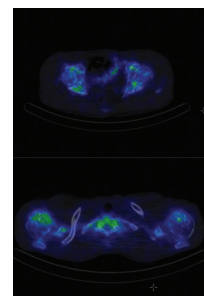


Figure 1.

[PS-143]**F-18 FDG PET/BT Görüntülemede Saptanan İntramedüller Metastaz Olgusu**Pelin Özcan Kara¹, Zehra Pınar Koç¹, Emel Sezer², Kadir Eser²¹Mersin Üniversitesi Tıp Fakültesi, Nükleer Tip Anabilim Dalı, Mersin²Mersin Üniversitesi Tıp Fakültesi, Onkoloji Bilim Dalı, Mersin

Amaç: Akciğer kanserli hastalarda ilk evreleme, tedavi sonrası takip ve yeniden evrelemede PET/BT görüntüleme hasta yaklaşımını değiştirmek açısından oldukça önemlidir. Bu olgu sunumunda, metastatik akciğer Ca tanısı olan ve tedavi alan hastada spinal kord metastazının gösterilmesinde FDG PET/BT'nin rolü sunulmuştur.

Olgı: Metastatik akciğer kanseri nedeni ile takipte olan 59 yaşında erkek hastada yeniden evreleme amaçlı PET/BT tetkiki istendi. Hastaya 6 saat açlığı takiben kan glukoz düzeyi 96 mg/dL iken 12 mCi F-18 FDG i.v. yoldan verildi. Hastaya 60 dk sonra kalvaryumdan uyluk proksimaline kadar 3D modunda yatak başına 2,3 dk olacak şekilde görüntüler alındı. Elde edilen görüntüler düşük doz nondiagnostik BT ile attenuasyon düzeltmesi yapıldıktan sonra değerlendirildi. Tedavi sonrası yapılan ve tedavi sırasında kliniğinde bozulma izlenen hastada yeniden evreleme amaçlı yapılan PET/BT görüntülemede her iki serebral hemisferde hipodens ve kemiklerde sklerotik hastanın bilinen metastatik lezyonları, sağ akciğer üst lobda milimetrik hipometabolik nodül, sol parahiler alanda yumuşak doku kitlesi yanı sıra medülla spinaliste daha önceki görüntülemelerinde mevcut olmayan spinal kord metastazı ile uyumlu diffüz belirgin metabolik aktivite artışı (SUV_{max} : 8,44) izlendi (Resim 1). PET/BT görüntüleme sonrası yapılan MR tetkikinde leptomeningeal yayılım doğrulandı. Tüm vücut görüntülemede ek patolojik odak saptanmadı.

Sonuç: PET/BT görüntüleme küçük hücreli diş akciğer kanseri yeniden evrelemesinde ve özellikle ekstratorasik evrelemede oldukça değerli bir yöntemdir. PET/BT konvansiyonel yöntemle saptanmayan nonserebral metastatik hastalığı yaklaşık %20 oranında tanımlayabilir. İntramedüller metastaz küçük hücreli diş akciğer kanserinde seyrek görülen bir antitedir. Çoklu intramedüller metastaz kontrastlı MR ile teşhis edilir. Olgumuzda nadir görülen spinal kord diffüz metastazı tedavi altındayken klinik progresyon gösteren hastada tüm vücut PET/BT görüntüleme ile tespit edilmiştir.

Anahtar Kelimeler: İntramedüller metastaz, PET/BT, akciğer kanseri



Resim 1.

[PS-144]**İpsilateral Nüks Hastalık Saptanan Meme Kanseri Hastada İpsilateral Aksiller Lenf Nodu Tutulumu Olmaksızın Kontralateral Aksiller Lenf Nodu Tutulumu**

Esra Kahya, Gözde Mütevelizade, Elvan Bilgin, Gül Gümüşer

Celal Bayar Üniversitesi Tıp Fakültesi, Nükleer Tip Anabilim Dalı, Manisa

Amaç: Aksiller lenf nodu tutulumu primer meme kanseri hastalarda rekürrens ve sağkalım için en önemli prognostik faktörlerden biridir ve nodal diseksiyon uzun zamandır uygulanan bir prosedürdür. Nüks sağ meme kanseri bu olguda ipsilateral aksiller lenf nodu tutulumu olmaksızın kontralateral aksiller lenf nodu tutulumu izlenen hastanın bulgularını bildirmeyi amaçladık.

Olgı: Hastanemiz genel cerrahi kliniğine sağ memede ele gelen sislik nedeniyle başvuran 39 yaşındaki kadın hastaya invaziv duktal karsinom tanısı konularak Ağustos 2015 tarihinde sağ segmenter mastektomi ve sağ aksiller diseksiyon yapılmıştır. Sonrasında 3 kür kemoterapi verilmiş ve 11.11.2015 tarihinde yapılan PET/BT tetkikinde nüks/metastatik hastalık saptanmıştır. Kontrol amaçlı olarak 28.02.2017 tarihinde yapılan PET/BT tetkikinde sağ meme orta diş kadranda areolaya uzanım gösteren yaklaşık 13x18 mm boyutlarında hipermetabolik düzensiz sınırlı nüks hastalık ile uyumlu lezyon ve sol aksillada (SUV_{max} : 8,8) metastatik lenf nodları saptanmıştır. Sağ aksillada izlenen lenf nodlarında ise çevre doku ile eş düzeyde F-18 FDG tutulumu izlenmiştir (SUV_{max} : 2,0).

Sonuç: Literatüre bakıldığından primer meme kanseri nedeniyle aksiller diseksiyon yapılan hastalarda sentinel lenf nodu lokalizasyonun değişmesine sekonder olarak farklı lenfatik drenaj yolaklarının geliştiği gösterilmiştir. Supraklaviküler ve internal mammarian lenf nodu tutulumu kontralateral aksiller lenf nodu tutulumundan daha yaygın olarak görülmektedir. Bizim sunduğumuz olguda primer lezyon sağ memede iken yapılan aksiller diseksiyonuna sekonder kontralateral aksiller lenf nodu tutulumu izlenmiştir.

Anahtar Kelimeler: Meme kanseri, PET/BT, kontralateral sentinel lenf nodu

[PS-145]**Viabilité Amaçlı Miyokard 18-FDG PET/BT Yapılan Erkek Hastada Rastlantısal Saptanan Meme Kanseri**

Arzu Cengiz, Sibel Göksel, Yakup Yürekli

Adnan Menderes Üniversitesi Tıp Fakültesi, Nükleer Tip Anabilim Dalı, Aydın

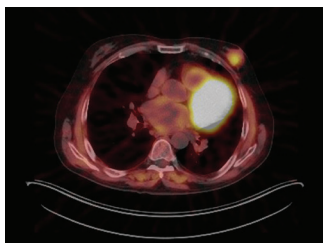
Amaç: Erkek meme kanseri, tüm meme kanserlerinin %1'inden azını oluşturan nadir bir hastalıktır. Kadın meme kanserine göre yaklaşık 10 yıl daha ileri yaşta olmak üzere daha çok 65-67 yaşlarda görülmektedir. Hastalar genellikle meme başı altında ele gelen sert, ağrısız kitle şikayeti ile başvurmaktadır. Yerleşim yeri nedeniyle meme başı tutulumunun, lenfovasküler yayılımın ve aksiller lenf nodu tutulumunun kadın meme kanserine göre daha fazla olduğu bildirilmektedir ve daha ileri evrede tanı kompektadır. Bu olgu sunumunda klinikümüzde miyokardiyal viabilité değerlendirme amaçlı yapılan miyokard PET/BT görüntülerinde sol memede rastlantısal olarak hipermetabolik kitle saptanmış ve meme Ca tanısı alan bir erkek hastanın bulguları sunulmuştur.

Olgı: Geçirilmiş miyokard enfarktüsü öyküsü olan 67 yaşında erkek hastada viabilité değerlendirme amaçlı F-18 FDG PET/BT yapılmıştır. Daha önce yapılan miyokard perfüzyon sintigrafisinde anterior duvarda ve apektste hipoperfüzyon izlenen hastanın PET/BT görüntülerinde bu alanda canlı doku varlığını gösteren FDG tutulumu izlenmiştir. Bunun dışında

sol memede 2,7x2,5 cm kitle lezyonunda artmış FDG tutulumu izlenmiş (SUV_{max} : 4,7) ve doku örneklemesi önerilmiştir (Resim 1). Memede ele gelen kitle, akıntı gibi şikayet olmayan hastanın daha sonra yapılan mamografi ve ultrasonografisinde sol meme retroareoler bölgede düzensiz sınırlı, heterojen hipoekokik, renkli doppler incelemeye periferik damarlanma gösteren kitle izlenmiştir. Yapılan sol meme biyopsisi intraduktal karsinom ile uyumlu olarak değerlendirilmiştir.

Sonuç: Olgu sunumumuz, F-18 FDG PET/BT'nin onkoloji dışı kullanımında rastlantısal malignite bulgularının klinik önemini teyit etmektedir.

Anahtar Kelimeler: Meme kanseri, FDG PET/BT



Resim 1.

[PS-146]

Dev Hücreli Tümör Tanılı Hastada Soliter Kemik Lenfoması ve PET/BT'nin Yeri

Gül Çekin¹, Fatih Yeşil¹, Sadi Bener²

¹İzmir Katip Çelebi Üniversitesi Tip Fakültesi, Atatürk Eğitim ve Araştırma Hastanesi, Nükleer Tip Kliniği, İzmir

²İzmir Katip Çelebi Üniversitesi Tip Fakültesi, Atatürk Eğitim ve Araştırma Hastanesi, Tıbbi Patoloji Kliniği, İzmir

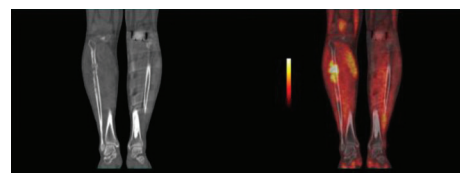
Amaç: Tibiada dev hücreli tümör tanısı olan ve yeni saptanan fibula lezyonuna yapılan biyopsi sonucu non-Hodgkin lenfoma tanısı alan hastanın tedavi planlanmasında PET/BT'nin yerini değerlendirmektir.

Olgı: 2010 yılında sol tibiasında lezyon tespit edilen ve tümör eksizyon uygulanan 29 yaşındaki erkek hasta dev hücreli tümör tanısı almıştır. 2015 yılında nüks gelişen hastaya tümör rezeksiyon revizyonu uygulanmıştır. 2016 yılında sağ bacak ağrısı ile başvuran hastaya yapılan ekstremiteler BT'sinde, fibulada yer yer kortikal kalınlaşma ve düzensizlik ve medullada heterojen dansiteli görünüm tespit edilmiştir. LDH değeri normal sınırlarda olan hastaya kemik biyopsisi yapılmış ve büyük B hücreli non-Hodgkin lenfoma tanısı konmuştur. Kemik iliği biyopsisinde ise neoplastik lenfoid infiltrasyon saptanmamıştır. Lenfoma tanısı alan hastaya PET/BT planlanmıştır. F-18 FDG'in intravenöz enjeksiyonundan bir saat sonra vertexten ayak ucuna kadar yapılan PET/BT'de; sağ fibula diyafizer bölgesinde 11 cm'lik segment boyunca, kemik kontüründeki düzensizlik, kortekte irregüler kalınlaşma ve kortikal bölgede osteolitik alanlara eşlik eden lineer tarzda hipemetabolik lezon (SUV_{max} : 7) izlenmiştir ve malign tümör ile uyumlu olarak değerlendirilmiştir (Resim 1). Hastanın sol diz bölgesi ve tibiadaki protez çevresinde belirgin yer kaplayan solid lezyonun eşik etmediği lineer tarzda artmış metabolik aktivite (SUV_{max} : 4) enfeksiyon/enflamasyon lehine değerlendirilmiştir. Hastada ayrıca sol akciğer lingula süperior segmentte, önceki toraks BT'lerinde mevcut olmayan, 11x10 mm boyutlu, düzensiz kontürü, hipemetabolik nodüler lezon (SUV_{max} : 4,6) saptanmış ve hücre örneklemesi önerilmiştir (Resim 2). Lenf nodlarında ve vücuttan diğer alanlarında ekstrandal tutulumla uyumlu olabilecek belirgin patolojik bulgu saptanmamıştır. Takibinde akciğerde tanımlanan lezyona BT eşliğinde ince iğne aspirasyon biyopsisi yapılmış ve sitolojik olarak reaktif değişiklikler

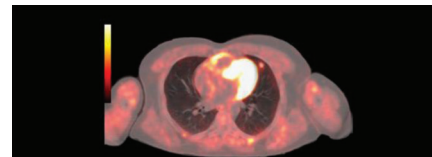
tanımlanmış olup atipik hücreler ve malignite bulgusu saptanmamıştır. Non-Hodgkin lenfoma tanılı hasta PET/BT ile nodal ve ekstranal tutulum açısından değerlendirilmiş, akciğer lezyonu tespit edilerek biyopsi yapılmış ve benign tanı almıştır. PET/BT'de nodal tutulumu olmayan ve kemik iliği biyopsisinde patoloji saptanmayan hastaya soliter fibular lenfoma tanısı konmuştur.

Sonuç: PET/BT lenfoma yaygınlığının tespitinde ve tedavi protokolünün belirlenmesinde oldukça etkin bir görüntüleme modalitesidir.

Anahtar Kelimeler: Dev hücreli tümör, soliter kemik lenfoması, PET/BT



Resim 1. Sağ fibula diyafizinde kortikal alanda osteolitik alanlara eşlik eden lineer tarzda hipemetabolik lezonun (SUV_{max} : 7) PET/BT'de koronal kesitte füzyon ve BT imajları



Resim 2. Sol akciğer lingula süperior segmentteki 11x10 mm boyutlu, düzensiz kontürü, hipemetabolik nodüler lezonun (SUV_{max} : 4,6) PET/BT'de aksiyel kesitte füzyon imajı

[PS-147]

Nörofibromatozis Tip 1 Tanılı Hastada PET/BT Görüntülemede Malign Periferal Sinir Kılıfı Tümörü Evrelemesi

Pelin Özcan Kara¹, Zehra Pınar Koç¹, Emel Sezer², Kadir Eser²

¹Mersin Üniversitesi Tip Fakültesi, Nükleer Tip Anabilim Dalı, Mersin

²Mersin Üniversitesi Tip Fakültesi, Onkoloji Bilim Dalı, Mersin

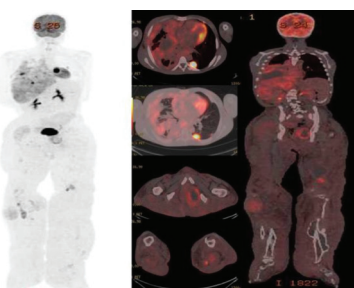
Amaç: Nörofibromatozis tip 1 hastalarının yaklaşık %4,6'sında malign periferal sinir kılıfı tümörleri görülebilmektedir. Bu nadir olguda 24 yaşında nörofibromatozis tip 1 tanısı mevcut olan erkek hastada hastalığın yaygınlığının gösterilemesinde PET/BT görüntülemenin önemi vurgulamak istedik.

Olgı: Bilateral alt ekstremitede nörofibromatozis tip 1 tanısı bulunan 24 yaşında erkek hastada akciğerde metastaz saptanması sonrası evreleme amaçlı PET/BT görüntüleme yapıldı. Hastaya 8 saat açlığı takiben kan glukoz düzeyi 79 mg/dL iken 8,7 mCi F-18 FDG i.v. yoldan verildi. Hastaya 60 dk sonra kalvaryumdan yuluk proksimaline kadar 3D modunda yatak başına 2,3 dk olacak şekilde görüntüler alındı. Elde edilen görüntüler düşük doz nondiagnostik BT ile atenuasyon düzeltmesi yapıldıktan sonra değerlendirildi. PET/BT görüntülemede sağ hemitoraksta plevrala perihepatik bölgeye ve diyafram krusuna uzanım gösteren düzensiz hipemetabolik (SUV_{max} : 5,23-10,08) plevral kalınlaşma ve effüzyon, sol akciğer alt lob bazal kesimde en büyüğü yaklaşık 3 cm boyutunda ve belirgin hipemetabolik olmak üzere (SUV_{max} : 15,46) birkaç adet metastatik nodül saptandı. Pelviste rektum sağ ve solunda büyüğü yaklaşık 9x6 cm boyutunda olan santral nekrotik görünümden (SUV_{max} : 5,05) kitleler, bilateral inguinal lenfadenopatiler izlendi. Ayrıca her iki alt ekstremitede lenfödem, sağ gluteal bölgede ve her

iki alt ekstremitede farklı düzeylerde yumuşak dokularda pelvik kitleler ile benzer karekte (SUV_{max}: 6,48) nörofibromatozis kitleleri izlendi (Resim 1).

Sonuç: Malign periferal sinir kılıfı tümörü nörojenik sarkom, nörofibrosarkom, malign nörilemmom, malign schwannom olarak da adlandırılan tümör grubunu oluşturmaktadır. Bu grup hastalarda görülen tümörler erken yaşta başlaması, santral lokalizasyonda olması, büyük boyutlu olması, daha sık metastaz ve rekurrens görülmesi nedenleri ile daha kötü прогноз olmaktadır. Nadir olguda PET/BT görüntüleme hastalığın evrelemesinde ve hastalığın yaygınlığının gösterilmesinde oldukça yardımcı ve yol gösterici olmuştur.

Anahtar Kelimeler: Nörofibromatosis tip I, PET/BT, malignite



Resim 1.

[PS-148]

Metformin Kullanan Diyabetik Hastada PET/BT Tetkikinde Belirgin Kolon Aktivitesinin Nüks Rektum Lezyonunu Baskılaması: Metformin Ne Zaman Kesilmeli?

Emine Ebru Bayar

İzmir Katip Çelebi Üniversitesi Atatürk Eğitim ve Araştırma Hastanesi, Nükleer Tip Kliniği, İzmir

Amaç: Diyabetik hastalarda metformin kullanımına bağlı oluşan belirgin kolon aktivitesinin PET/BT tetkikinde kolonda nüks lezyon tespitini sınırladığı bilinmemektedir. Olgumuzda metformin kullanımının 3 gün önce kesilmesinin bu limitasyonu ortadan kaldırıldığını gösterdik. Kan glikoz seviyesi 95 mg/dL iken F-18 FDG'in IV enjeksiyonu yapılarak 60 dakika sonra verteksten uyluğa tüm vücut PET/BT görüntüleme yapıldı.

Olgı: Sol hemikolektomili opere rektum Ca nedeniyle takip edilen 76 yaşındaki erkek hasta serum Ca 19,9 yüksekliği saptanması üzerine yeniden evreleme amaçlı PET/BT çekimi için başvurdu. PET/BT görüntülerinde kolonda rektum da dahil olmak üzere belirgin diffüz metabolik aktivite artışı izlendi. Hastanın klinik öyküsünde oral antidiyabetik kullanımı olması nedeniyle kolonda izlenen diffüz metabolik aktivite artışı öncelikle metformin kullanımına sekonder bulgular lehine değerlendirilirken rektumdaki anostomoz bölgesinin yoğun aktivite nedeniyle değerlendirilemediği yorumda belirtildi. Tüm vücut görüntülerinde metastatik odak ile uyumlu olabilecek patolojik metabolik aktivite artısına rastlanmadı. Hastaya rektoskopisi yapıldığında anal kanala 10 cm uzakta kolonoskopun geçişini engelleyen darlık ve anal kanalda internal hemaroid tespit edildi. Anostomoz hattı normal değerlendirilirken yapılan biyopsi sonucu benign ödemli kolon mukozası olarak geldi. Hastaya biyopsi takibi önerildi. Daha sonra yapılan takip kolonoskopisinde anostomoz çevresi ödemli ve çepeçevre dar izlendi. Biyopsi sonucu rektum anostomoz hattında adenokarsinom olarak bildirildi. Hasta yeniden evreleme amaçlı PET/BT tetkiki için bölümümüze

başvurdu. Bu kez metformin kullanımı 3 gün öncesinden kesilerek görüntüleme yapıldı. Görüntülerde rektumda anostomoz hattında çepeçevre hipemetabolik görünüm izlendi (SUV_{max}: 11). Önceki tetkikte mevcut olan yoğun diffüz kolon aktivitesi bu tetkikte izlenmedi. Ayrıca diğer tüm vücut görüntülerinde patolojik metabolik aktivite artışı gözlenmedi.

Sonuç: Opere rektum Ca olan ve diyabeti nedeniyle metformin kullanan hastamızın PET/BT izleminde metformin kullanımının tetkikten 3 gün önce kesilmesi ilaç kullanımına sekonder belirgin diffüz kolon aktivitesini ortadan kaldırarak rektumdaki nüks kitlenin doğrulukla tespitinde faydalı olmuştur. Kolon Ca nedeniyle takip edilen ve PET/BT çekilen diyabetli hastalarda rutin olarak metformin kullanımının tetkik öncesinde kesilmesi nüks/rezidü tümör saptamada duyarlılığı artıran bir yöntemdir.

Anahtar Kelimeler: Metformin, kolon, PET/BT

[PS-149]

Miyokard Perfüzyon SPECT Görüntü Rekonstrüksiyonunun Flash 3D ve Filtreli Geriye Projeksiyon ile Analizi

Yasemin Parlak, Didem Göksoy, Gözde Mütevelizade, Gül Gümüşer, Elvan Sayıt

Celal Bayar Üniversitesi Tip Fakültesi, Nükleer Tip Anabilim Dalı, Manisa

Amaç: Rekonstrüksiyon görüntü kalitesini etkileyen en önemli faktörlerdenidir. Flash 3D teknolojisi gürültüyü azaltmak için rekonstrüksiyon sonrası bir filtre ekleyen gelişmiş yeni bir SPECT rekonstrüksiyon algoritmasıdır.

Olgı: Bu çalışmanın amacı, miyokard perfüzyon sintigrafisi çekilen hastalarda yarı zamanlı Flash 3D ve tam zamanlı FBP (filtreli geriye yansıtma) görüntülerinin karşılaştırılmasıdır. Çalışmaya yaş ortalaması 60±5 yıl olan, 11'i kadın, 9'u erkek toplam 20 hasta dahil edildi. Tüm hastaların akuzisyon ve rekonstrüksiyon parametreleri standartize edilerek rest ve stres görüntülerini alındı (Siemens, Evo Excel, Knoxville, USA). Elde edilen görüntüler iki nükleer tip uzmanı tarafından ayrı ayrı değerlendirildi; ve her iki rekonstrüksiyon arasında paired T istatistiksel analizi yapıldı. Rest ve Stres SPECT görüntülerinde Flash 3D ve FBP arasında anlamlı farklılıklar gözlemlenmedi.

Sonuç: Yarı zamanlı Flash 3D'nin, ileri yaşta, genel durumu bozuk, kooperasyonu iyi olmayan hastalarda FBP ile kıyaslandığında görüntü farklılığı yaratmaksızın çekim süresini kısalışı için tercih edilebilir bir teknoloji olduğu kanaatine varıldı.

Anahtar Kelimeler: Miyokard perfüzyon sintigrafisi, Flash 3D, rekonstrüksiyon

[PS-150]

Larinks Kanserli ve Trakeostomi Sonrasında Nekrotizan Fasiit Gelişen Hastada PET/BT'nin Katkısı

Emine Ebru Bayar, Gonca Gülbural

İzmir Katip Çelebi Üniversitesi Atatürk Eğitim ve Araştırma Hastanesi, Nükleer Tip Kliniği, İzmir

Amaç: Larinks kanserli ve trakeostominin çok nadir bir komplikasyonu olan, mortalitesi yükseknekrotizan fasiit olgusunda PET/BT'nin katkısını göstermeyi amaçladık. Kan şekeri 112 mg/dL ölçüldüğünde hastaya 7 mCi F-18 FDG IV enjeksiyonu yapıldı ve 65 dk sonra verteksten uyluğa tüm vücut PET/BT görüntülerini alındı.

Olgu: Altıçıl yaşında opere larinks Ca olan, trakeostomili hasta nüks şüphesiyle nükleer tip bölümümüze PET/BT çekilmesi için başvurdu. Yapılan PET/BT'de larinks sağ anterior glottik bölgede orta düzeyli fokal metabolik aktivite artışı izlendi ve nüks lehine yorumlandı. Önceki tetkiklerde incelendiğinde hastanın trakeostomi operasyonu sonrasında gelişen nekrotizan fasiit ve sağ üst mediasten enfeksiyonu nedeniyle izlendiği görüldü. PET/BT'de sağda belirgin bilateral sternoklaviküler eklemde ve bilateral 1. kostakondral eklem çevresinde sağda deride kadar yayılan, içinde hava bulunduran yumuşak doku alanında metabolik aktivite artışı izlendi. Bir hafta önce çekilen toraks BT ile kıyaslandığında sağ sternoklaviküler seviyede görülen hava seviyelerinin stabil kaldığı ancak sol sternoklaviküler bölgede yeni hava dansiteleri ve metabolik aktivitelerin ortaya çıktığı izlendi. Ayrıca sol akciğer alt lob superior segmentte bir hafta önceki toraks BT'sinde olmayan yeni çevresel metabolik aktivite artışı gösteren ortası nekrotik, apse lehine değerlendirilen lezyon saptandı. Daha sonra yapılan tetkiklerde larinkste nüks ve akciğer apsesi doğrulandı.

Sonuç: Tüm vücut görüntülemeye olanak sağlayan ve enfeksiyon/enflamasyon gösternede de sensitivitesi yüksek olan PET/BT tetkiki; opere larinks Ca olan hastamızda primer malign lezyon nüksünü saptamanın yanı sıra takip edilen nekrotizan fasiit progresyonunu ve yeni gelişen akciğer apsesini göstererek tedaviye katkıda bulunmuştur.

Anahtar Kelimeler: Nekrotizan fasiit, PET/BT, enfeksiyon

[PS-151]

Onkolojik PET/BT Çalışmasında Tesadüfi Olarak Saptanan Pilar Tümör: Olgu Sunumu

Zehra Pınar Koç, Pelin Özcan Kara, Bahar Ulubaş

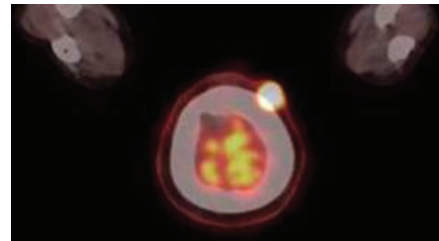
Mersin Üniversitesi Tip Fakültesi, Nükleer Tip Anabilim Dalı, Mersin

Amaç: Pilar tümör kıl folikülü kökenli yavaş büyüyen malign potansiyeli sahip epitelial bir tümör olup bu tümör genellikle ileri yaşta kadınlarda ve saçlı deride görülür. Biz de normale göre erken yaşta bir hastada onkolojik bir PET/BT çalışmasında tesadüfen rastlanan deri tümörünün görüntülerini paylaşmak istiyoruz.

Olgu: Kırk dokuz yaşında kadın hasta akciğer karsinomu nedeniyle takipte olup her iki akciğerde plevral kalınlaşma alanları olması nedeniyle FDG PET/BT taraması için gönderilmiş. Hastaya 12 saat açlık sonrası açlık kan glukoz düzeyi 105 mg/dL iken 7,3 mCi intravenöz F-18 FDG enjeksiyonundan yaklaşık 1 saat sonra kalvaryumdan ayak tabanına kadar FDG PET/BT görüntüleme yapılmıştır. FDG PET/BT görüntülerinde sol parietal bölgede saçlı deride tesadüfen deri altı dokuda yaklaşık 14x18 mm boyutunda nodüler lezyonda artmış FDG tutulumu saptanmıştır (SUV_{max} : 19,5) (Resim 1). Bunun yanı sıra tiroid bezî orta hatta kalsifik bir nodülde (SUV_{max} : 4,33) ve yaygın plevral kalınlaşma alanlarında (SUV_{max} : 3,46) artmış FDG tutulumu izlenmiş olup akciğerde bilateral nodüler lezyonlarda artmış FDG tutulumu izlenmemiştir. Hastanın PET/BT ile tanımlanan saçlı deri lezyonundan yapılan eksizyonel biyopsi sonucu pilar tümör olarak raporlanmıştır.

Sonuç: Pilar tümör genellikle saçlı deride görülen yavaş gelişen nadir bir epitelial tümördür. Ülserasyon gösterebilir ve enfekte olabilir ve lenf nodu metastazı yapabilir. Hatta bir raporda yaygın akciğer metastazı ve intrakranial uzanım yapan bir olgu bildirilmiştir. Bu olguda görece daha erken yaşta ortaya çıkan ve bir onkolojik çalışmada normalde rutin alana dahil edilmeyen bir lokalizasyonda deri altı tümör dokusu gösterilmiş olup onkolojik çalışmalar sırasında tespit edilen insidental deri lezyonlarının da mutlaka dikkatle değerlendirilmesi raporlanması ve doğru yorumlanması gereklidir.

Anahtar Kelimeler: Pilar tümör, FDG, PET/BT



Resim 1.

[PS-152]

Brusellozise Bağlı Pubik Osteomyelitin Kemik Sintigrafisi ile Tespitine Katkı Konulması

Şebnem Aydin

Burhan Nalbantoğlu Devlet Hastanesi, Nükleer Tip Kliniği, Lefkoşa

Amaç: Brusellozis tüm gelişmekte olan ülkelerde olduğu gibi ülkemizde de önemli bir sağlık sorunudur. Multiorgan tutulumu ile seyreden hastalık osteoartiküler sistemi de etkilemektedir. Genellikle büyük eklemeleri tutan hastalıktı pubik tutulum oldukça nadirdir.

Olgu: Olgumuz 54 yaşında kadın hasta, yeni başlangıçlı halsizlik, kilo kaybı gece terlemeleri ve yükmesini güçlendiren şiddetli pelvik ve alt batın ağrısıyla başvurdu. Tetkiklerinde pelvik grafiler normal, sedim, CRP yükseliği hafif anemi ve brusella aglutinasyon testlerinde pozitiflik tespit edildi. Fizik muayenede pubik bölge hassas ve ağırlı idi. Hastaya üç fazlı kemik sintigrafisi yapıldı. Çalışmada bilateral pubik kemiklerde kanlanma artışı, hiperemi ve geç fazda da artmış aktivite tutulumu görüldü. Brusellozis tanılı hastada brusella bağlı pubik osteomyelit varlığı kuvvetlendi ve brusellozise yönelik tedavi başlandı. Tedavi sonrası 3. ayda asemptomatik duruma gelen hastaya yapılan kontrol üç fazlı kemik sintigrafisi normal olarak değerlendirildi.

Sonuç: Brusellozis tanılı şüpheli kemik/eklem tutulumlu hastalarda morfolojik değişiklikler olmadan erken dönem üç fazlı kemik sintigrafisi ile tanı desteklenebilir. Çok nadir görülmekle beraber pubik ağrılı hastada brusellozis pubik tutulum akılda tutulmalıdır.

Anahtar Kelimeler: Brusella, pubik tutulum

[PS-153]

Temporal Arterit (Dev Hücreli Arterit) Hastalarında F-18 FDG PET/BT Bulguları: Üç Olgu Sunumu

Zuhail Kandemir¹, Elif Özdemir¹, Yüksel Maraş², Mutlay Keskin¹, Nilüfer Yıldırım¹, Şeyda Türkölmez¹

¹Ankara Atatürk Eğitim ve Araştırma Hastanesi, Nükleer Tip Kliniği, Ankara

²Ankara Atatürk Eğitim ve Araştırma Hastanesi, Romatoloji Kliniği, Ankara

Temporal arterit genellikle 65 yaş üstü erişkinlerde ve kadınlarda daha sık görülen, özellikle aorta ve ana dallarını etkileyen bir büyük damar vaskülitidir. Kesin tanı histopatolojik olarak vaskülit bulgularının gösterilmesi ile mümkündür. Ancak temporal arterlerin segmenter tutulumu nedeniyle biyopsi ile tanının kesinleştirilmesi her zaman mümkün olmayıabilir. F-18 FDG'nin nonspesifik enflamatuvar süreçlerde tutulum özelliği ve PET/BT'nin hem anatomin hem de fonksiyonel görüntülemeye imkan vermesi sebebiyle biyopsi negatif ya da diğer

görüntüleme yöntemleri ile saptanamayan büyük damar vaskülitit tanısında yeri vardır. Bu sunumda temporal arterit ön tanısı ile kliniğimize yönlendirilen üç olgunun PET/BT görüntülerini paylaşmak istedik. Histopatolojik ve/veya klinik-radyolojik takip ile tanı alan üç olguna yüksek doz immünsüpresif tedavisi ve metotreksat tedavi uygulanmış olup klinik ve laboratuvar sonuçlarında belirgin düzelleme gözlenmiştir.

Anahtar Kelimeler: Temporal arterit (dev hücreli arterit), büyük damar vaskülitit, F-18 FDG PET/BT

[PS-154]

Yayın Apse Odaklarının Saptanmasında F-18 FDG BET/BT Görüntülemenin Rolü

Deniz Bedel¹, Özgür Sirkeci², Suna Kıraç¹

¹Yakın Doğu Üniversitesi Tıp Fakültesi, Nükleer Tıp Anabilim Dalı, Antalya

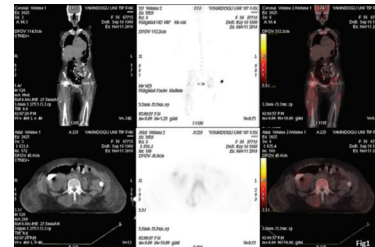
²Yakın Doğu Üniversitesi Tıp Fakültesi, İç Hastalıkları Anabilim Dalı, Antalya

Amaç: Metastatik enfeksiyon odaklarının erken tanısı, tedavinin yönlendirilmesinde kritik role sahiptir. F-18 FDG PET/BT görüntüleme enfeksiyon yaygınlığının belirlenmesinde önemlidir. Bu olguda *S. aureus* bakteriyemisine sekonder yaygın apse odaklarının saptanmasında ve tedavinin yönlendirilmesinde F-18 FDG PET/BT görüntülemenin rolünü tartışmayı amaçladık.

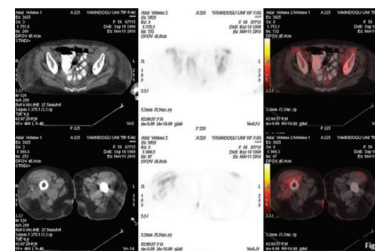
Olgı: Sağ bacakta şişlik ve ağrı nedeniyle KVC polikliniğine başvuran 56 yaşındaki kadın hastanın doppler USG'sinde derin femoral ven trombozu saptanarak tedavi başlandı. Takipte her iki el bileği, dirsek ve sağ ayak bileğinde ısı artışı ve hiperemi gözlandı. Hiponatremi saptanan ve solunum sıkıntısı olan hastanın BT'sinde akciğerlerde multipl nodüller, buzlu cam manzarası ve retroperitoneal lenf nodları saptandı. Ateş yükselen hastadan kan kültürleri alınarak atipik pnömoni tedavisi başlandı. Tedavinin 2. gününde solunum sıkıntısı düzeltildi; artrit bulgularında gerileme olmadı; ateş yükselişleri sürdü. Kan kültürlerinde *S. aureus* üredi; antibiyotik tedavisi yeniden düzenlenendi. 16 yıl önceki sol kalça, 12 yıl önceki sağ kalça protezlerinin bakteriyemi kaynağı olabileceği düşünüldü. Kalça MR'sinde bilateral protез çevresinde apse görüntümleri izlendi. Ancak, hastada pnömoni ve multipl artrit bulguları olduğundan metastatik enfeksiyon şüphesi ile F-18 FDG PET/BT görüntüleme yapıldı (Resim 1). Tüm vücut F-18 FDG PET/BT görüntülerinde T12-L5 vertebralarda arasında tüm paravertebral kaslarda, sağ uyluk anterior ve lateral grup kaslarda apseler, her iki kalça protezi çevresinde artmış F-18 FDG tutulumu saptandı (Resim 2). Alt ekstremitelerde venlerinde enflamatuvardır F-18 FDG tutulumu izlendi. Aktif endokardit lehine bulgu yoktu. Saptanan apse odaklarına drenaj uygulandı. Antibiyotik tedavisine devam edildi. Takipte yüksek ateş saptanmadı. Artrit bulguları tamamen düzeldi.

Sonuç: Metastatik enfeksiyon (endokardit, vaskülit, spondilodiskit, pulmoner apse) gram pozitif bakteriyemilerin önemli komplikasyonudur. Metastatik enfeksiyonunun erken tanısı kritik önemdedir; uzun süreli antibiyotik tedavisi ve bazen drenaj uygulanması gereklidir. Asemptomatik olgularda yetersiz tedavi, enfeksiyonun eradikle edilememesi nedeniyle morbidite ve mortaliteyi artırır. Tüm vücut F-18 FDG PET/BT görüntüleme, metastatik enfeksiyon odaklarının erken ve doğru tanısı, sebebi bilinmeyen ateşte odak saptanmasında yararlıdır. Bakteriyeminden sonra 2 hafta içinde yapılacak F-18 FDG PET/BT görüntüleme, tedavinin doğru yönlendirilmesinde yararlıdır.

Anahtar Kelimeler: Metastatik enfeksiyon, bakteriyemi, F-18 FDG PET/BT görüntüleme, *S. aureus*



Resim 1.



Resim 2.

[PS-155]

Lenfödem Ayırıcı Tanısında Radyonüklid Lenfositintigrafı

Yusuf Ziya Tan¹, Semra Özdemir¹, Fatmanur Çelik¹, Selda Mermutlu²

¹Çanakkale Onsekiz Mart Üniversitesi Tıp Fakültesi, Nükleer Tıp Anabilim Dalı, Çanakkale

²Çanakkale Onsekiz Mart Üniversitesi Tıp Fakültesi, Dermatoloji Anabilim Dalı, Çanakkale

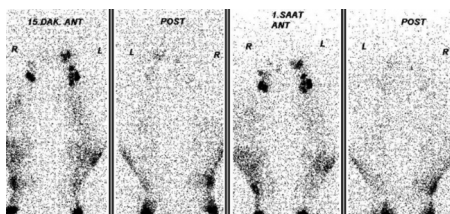
Amaç: Lenfödem, lenfatik dolaşımın doğuştan veya sonradan gelişen nedenlerle bozulması sonucu proteinden zengin sıvının birikimi olarak tanımlanır. Etiyolojisi ne olursa olsun eğer lenfödem tedavi edilmezse sonuçta ciddi fonksiyonel ve fizyolojik kaybın görüldüğü kronik lenfödem tablosu gelişir. Lenfödem tanısı çoğunlukla fizik muayene ile mümkün olmakla birlikte en sık kullanılan tanı yöntemleri ultrasonografi, lenfanjiografi, MRL ve NIR-ICG'dir. Her bir yöntemin ayırıcı tanida üstünlük ve yetersizlikleri bulunmaktadır. Radyonüklid lenfositintigrafı, radyoaktif maddenin hastaya basit şekilde intradermal veya subkutan enjeksiyonunu takiben gama kamera ile görüntülenmesi esasına dayanır. Bu çalışmada farklı iki olgu üzerinde radyonüklid lenfositintigrafının ayırıcı tanida yeri gösterilmiştir.

Olgı 1: Otuz dört yaşında, Down sendrom tanı ve takipli, uzun süredir devam eden batında yaygın asit, skrotal ödem, bilateral alt ekstremitelerde ödem ve hiperkeratotik deri bulguları saptanan erkek hastaya lenfödem ayırıcı tanı açısından radyonüklid lenfositintigrafı yapıldı (Resim 1). Sintigrafik olarak, ilk görüntülemenden itibaren iliaik ve inguinal LAP'lar görünür halde izlendi. Ayrıca her iki krural bölgede radyofarmasötik geri akımları (dermal back flow) dikkat çekti. Sonuç olarak, lenfositintigrafı her iki alt ekstremitete kismi obstrüksiyon lehine değerlendirildi (Resim 2).

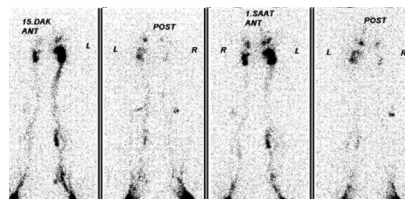
Olgı 2: Elli altı yaşında, konjestif kalp yetmezliği olan, her iki bacakta ödem, kizarıklık ve solda daha belirgin olmak üzere kurral bölgede akıntılı deri lezyonları bulunan erkek hastaya ayırıcı tanı açısından radyonüklid lenfositintigrafı yapıldı. Sintigrafik olarak, her iki alt ekstremitede normal lenfatik akım ile her iki krural alanda tarif edilen bulgular ise enfekte/enflame deri lezyonu (sellülit) lehine değerlendirildi.

Sonuç: Ekstremitelerde saptanan ödemin lenfatik patolojileri nonlenfatik nedenlerden ayırmada lenfositografi noninvaziv ve objektif bir yöntemdir. Nonlenfatik nedenlerden olan kronik venöz yetmezlik ve lipoödem gibi durumların lenfatik patolojileri ayırıcı tanısında oldukça faydalıdır. Bu gibi hastalıklarda genelde normal sintigrafi bulguları izlenir. Radyonüklid lenfositografi, ekstremiten ödeminin etiyolojisini belirlemeye, ayırıcı tanısı yapmada ve uygulanan tedavinin başarısını etkileyen güvenilir noninvaziv bir yöntemdir.

Anahtar Kelimeler: Lenfödem, radyonüklid lenfositografi, Down sendromu, sellülit



Resim 1.



Resim 2.

[PS-156]

Prostat Kanserinde FDG PET/BT Klinik Deneyimi: Olgu Serisi

Neslihan Cetin Avcı¹, Gonca Bural²

¹Kafkas Üniversitesi Tip Fakültesi, Sağlık Araştırma ve Uygulama Hastanesi, Nükleer Tip Anabilim Dalı, Kars

²İzmir Katip Çelebi Üniversitesi Atatürk Eğitim ve Araştırma Hastanesi, Nükleer Tip Kliniği, İzmir

Amaç: Kliniğimizde FDG PET/BT çekilen prostat Ca tanılı olguları inceleyerek FDG PET/BT'nin bu konudaki katkılarını sunmayı amaçladık. Ekim 2014 - Ağustos 2016 tarihleri arasında FDG PET/BT çekilmiş olan prostat Ca tanılı 9 hastanın rapor ve görüntüleri retrospektif olarak incelendi.

Olgu: Dokuz hastalık olgu serisinde 4 hastada evreleme, 4 hastada yeniden evreleme amacıyla FDG PET/BT çekilmiştir. Soliter pulmoner nodülde metabolik karakterizasyon amacıyla tetkik edilen bir hasta ise eş zamanlı prostat Ca tanısı almıştır. Evreleme amacıyla PET/BT çekilen dört hastadan; primer tümöründe patolojik metabolik aktivite saptanan (SUV_{max} : 22,2-3,9) iki hastanın birinde MRG ile doğrulanın, nonmetabolik multipl sklerotik kemik metastazı izlenirken diğer hastanın batın BT'sinde izlenen metastaz şüpheli mezenterik lenfadenopatilerin nonmetabolik olduğu görülmüş ve BT takibi önerilmiştir. Primer tümörü yalancı negatif olarak patolojik FDG tutulumu göstermeyen iki hastanın birinde ek odak izlenmemiştir. MRG'sinde iliac kemik yerleşimi şüpheli bir lezyon tanımlanan diğer hastada bu lezyon detekte edilememiş, ek odak saptanmamış ve takibe alınmıştır. Yeniden evreleme amacıyla tetkiki yapılan dört hastadan birinde abdominopelvik yerleşimli hipermetabolik

metastatik lenfadenopati ve bilateral sırrenal metastaz saptanmış, bir olguda hipermetabolik ve normometabolik kemik lezyonları birlilikte göstermiştir. Diğer bir olguda çevre dokulara invaze hipermetabolik lokal nüks (SUV_{max} : 27) ve eşlik eden multipl litik-sklerotik hipermetabolik kemik metastazı gözlenmiştir. Dördüncü hastada ise akciğerde hipermetabolik metastatik nodüller ve hipermetabolik multipl kemik metastazı saptanmıştır. Bu dört olguda izlenen tüm metastatik odaklar/ lokal nüks PET/BT öncesi radyolojik olarak saptanmıştır. SPN nedeni ile tetkik edilen prostat Ca'lı hastada prostat yerleşimli primer tümöründe PET/BT yalancı negatif bulgu verirken, akciğer nodülü ikinci primer olarak yorumlanmış ve biyopsi ile kanıtlanmıştır.

Sonuç: Gleason skoru, klinik evre, serum PSA seviyesi gibi birçok faktörün glukoz metabolizmasını kompleks olarak etkilediği bilinen prostat Ca'da, limitli literatür nedeni ile rutin uygulamada FDG PET/BT'nin yeri yoktur. Dokuz hastalık olgu serimizde FDG PET/BT'nin prostat Ca tanılı hastaların kliniğine belirgin katkı sağlamadığı görülmüştür. Klinik-radyolojik olarak çıkışmaza düşülen belirli hasta grupperinde FDG PET/BT incelemesinin söz konusu olabileceği düşünülmektedir.

Anahtar Kelimeler: FDG, PET/BT, prostat kanseri

[PS-157]

Akciğer Ca Hastalarında Toraks BT ve PET Lezyon Ölçümleri Arasındaki Boyutsal Farklılıklar

Esen Çelik¹, Gökhan Şahutoğlu¹, Cem Parlak², Hülya Yalçın¹

¹Mustafa Kemal Üniversitesi Araştırma ve Uygulama Hastanesi, Nükleer Tip Bölümü, Hatay

²Özel Defne Hastanesi, Radyasyon Onkolojisi Kliniği, Hatay

Amaç: Flor-18 fluorodeoksiglukoz pozitron emisyon tomografisi/bilgisayarlı tomografinin (BT) sağladığı metabolik ve anatomik veri birlilikte ile akciğer kanserinin (AC) tanı, evreleme ve yanıt değerlendirmesinde tek başına BT'ye kıyasla daha etkin ve üstün sonuçlara sahip olduğu pek çok çalışmada gösterilmiştir. Özellikle radyoterapi uygulamalarında da yaygın olarak kullanılan füzyon imajlarının hedef ve emniyet hacimlerinin tayinindeki katkıları da gerek hedef kaçırılmama gereke fazla toksisiteyi azaltmak işliğinde, her iki yöntem ile yapılan lezyon ölçümleri arasındaki boyutsal farklılıkların araştırılması planlanmıştır.

Yöntem: Çalışmaya 2014-2017 arası Mustafa Kemal Üniversitesi Nükleer Tip Anabilim Dalı'na toraks BT sonucunda pulmoner nodül tespit edilen AC tanı için başvuran hastalar dahil edilmiştir. Hastaların çekilen toraks BT ve PET görüntülemesinde saptanan lezyon boyutları her bir yöntemde ayrı ayrı hesaplanmış ve istatistiksel analizlerde kullanılmıştır.

Bulgular: Çalışmaya dahil edilen 58 hastanın ölçümlerine bakıldığından toraks BT ile elde edilen ortalama lezyon değeri $33,29 \pm 23,18$ mm iken PET ile elde edilen ortalama lezyon değeri $38,02 \pm 29,70$ mm olarak belirlenmiştir ($p < 0,001$). Her iki ölçüm istatistiksel olarak korele olmasına rağmen PET görüntülemenin metabolik bir yöntem olması nedeni ile ortalama değer daha yüksek bulundu.

Sonuç: PET görüntülemesinde elde edilen lezyon boyutu BT görüntülemesi yapılamayan hastalarda hastaların bundan sonraki yönteminde cerrahi ve radyoterapi planlanmasında yol gösterici olabilir.

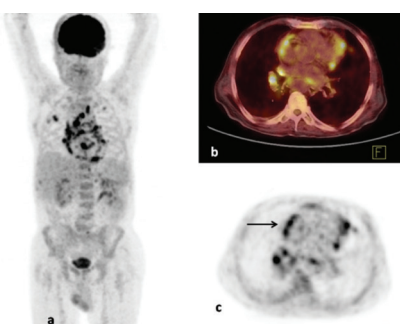
Anahtar Kelimeler: Flor-18, PET, BT, pulmoner, lezyon

[PS-158]**Tüberküloz Perikarditede FDG PET/BT'de Artmış FDG Tutulumu**İnci Uslu Biner¹, Ebru Tatçı¹, Özlem Özmen¹, Müjgan Güler²¹Atatürk Göğüs Hastalıkları ve Göğüs Cerrahisi Eğitim ve Araştırma Hastanesi, Nükleer Tip Kliniği, Ankara²Atatürk Göğüs Hastalıkları ve Göğüs Cerrahisi Eğitim ve Araştırma Hastanesi, Göğüs Hastalıkları Kliniği, Ankara

Amaç: Burada mediastinal lenf nodları nedeniyle araştırılan 77 yaşındaki bir erkek hastanın malignite şüphesiyle çekilen pozitron emisyon tomografisi/bilgisayarlı tomografi (PET/BT) tatkikinde perikardite ait fluorodeoksiglikoz (FDG) tutulumu görünümünü sunmaktayız.

Oluğ: Toraks BT incelemesinde mediastinal lenf nodları izlenmesi nedeniyle araştırılan 77 yaşındaki erkek hastaya PET/BT görüntülemesi yapıldı. Mediastende ve batında lenf nodlarında izlenen FDG tutulumlarının yanı sıra perikardda çepçeçvre yoğun artmış FDG tutulumu gözlemlendi (Resim 1). Yapılan endobronşiyal ultrasonografi incelemesi tanışal olmayıp hasta o dönemde tanışal işlem ve tedaviyi kabul etmeyerek taburcu edildi. Hastanın ekokardiyografik incelemesinde perikardiyal efüzyon izlendi. Yaklaşık 9 aylık bir süre sonrasında hasta oral almısında azalma, halsizlik ve kilo kaybı şikayetiyle başvurduğunda yapılan bronş aspirasyonu biyopsisinde mikobakterium tüberkülozis kolonisi üremesi nedeniyle antitbc tedavisi almaya başladı ancak genel durum bozukluğu nedeniyle yoğun bakım ünitesinde takip edilen hasta tedavisini tamamlayamadan eks oldu. Tüberküloz perikardit klinikte perikardiyal efüzyon, konstriktif perikardit veya efüzyonlu konstriksif perikardit şeklinde karşımıza çıkabilir. Tüberküloz perikardit idiyopatik perikarditin aksine agresif bir seyir izler. Tedavi edilmemiş tüberküloz perikardit yüksek mortalite oranı ile birlüktedir. Bu yüzden, erken tanı ve tedavi oldukça önemlidir. Tüberküloz perikardit için birkaç tanışal kriter geliştirilmiş olmasına rağmen, hala tanı koymak zordur. Ülkemiz gibi tüberküloz prevalansının yüksek olduğu bölgelerde, etiyolojik neden ortaya konana kadar, perikardiyal efüzyonlu hastalarda tüberküloz daima akılda tutulmalıdır. Olgumuzda da gibi perikardiyal efüzyon mevcut idi ve literatürde bildirildiği gibi mortal seyretti. Bilindiği gibi inflamatuvar hücrelerde glukoz kullanımının fazla olmasından ötürü FDG PET/BT görüntülerinde bu olguda da bildirildiği gibi tüberküloza ait tutulum alanlarında artmış FDG tutulumları beklenen bir bulgdur. Olgumuzda da perikardi saran ve perikardit ile uyumlu olduğu düşünülen FDG tutulumu dikkati çekiciydi.

Sonuç: Olgumuz ile enfektif/inflamatuvar süreçlerde FDG tutulumlarının izlenebileceğini hatırlatmak ve tüberkülozda perikard tutulumunun прогнозunun kötü olması nedeniyle erken tanının önemli olduğunu vurgulamak istedik. PET/BT tatkik bu olguda da olduğu gibi perikardit sırasında bize yol gösterici olabilemektedir.

Anahtar Kelimeler: Tüberküloz, perikardit, FDG PET/BT

Resim 1.

[PS-159]**Kemik İliği Biyopsisinde Plazmasiton Ön Tanısı Olan Hastada PET/BT'nin Katkısı**

Emine Ebru Bayar, Fatih Yeşil, Gonca Gül Bural

İzmir Katip Çelebi Üniversitesi Atatürk Eğitim ve Araştırma Hastanesi, Nükleer Tip Bölümü, İzmir

Amaç: Kemik iliği biyopsisinde izlenen monoklonal gamopati etiyolojisi araştırılmasında PET/BT'nin tanıdaki rolünü göstermeyi amaçladık. F-18 FDG'nin IV enjeksiyonunu takiben 60 dakika sonra tüm vücut PET/BT görüntüleme yapıldı.

Oluğ: Kemik iliği biyopsisinde %4 oranında plazma hücresi izlenen, serum immünofiksasyon elektroforezinde IgG lamda monoklonal bant saptanan ve monoklonal gamopati etiyolojisi araştırılan 51 yaşındaki erkek hasta PET/BT tatkiki için bölümümüze başvurdu. PET/BT görüntülerinde L5-S1 vertebra anteriorundan başlayarak sağ iliak kemik posterioruna uzanan bir hat boyunca BT görüntülerinde izlenen litik destruktif alanlarla uyumlu bölgede heterojen hipemetabolik görünüm izlenmiştir. Sağ asetabuler bölgede metabolik aktivite artışının eşlik etmediği litik alan dikkati çekmiştir. Hastanın epikrizinde iki yıl önce ateşli silah yaralanması sonucu acil eksploratif laparotomi yapıldığı ve postop ağrı nedeniyle çekilen grafisinde sağ uyluk ve pelviste kırık hattı olduğu görülmüştür. Ameliyat notunda pelviste mermi kaldığı bildirilen hastaya MR yapılamamıştır. Multipl miyelom veya plazmasiton lehine net bir bulgu izlenmemesi üzerine hastaya kemoterapi veya radyoterapi tedavisi uygulanmamıştır. Hastaya 1,5 yıl sonra kontrol PET/BT tatkiki yapılmış ve önceki tatkikte L5-S1 vertebra sol anteriorunda ve iliak kemik sakroiliak eklem konşuluğunda kemik dokulardaki litik/destruktif alanların ve heterojen hipemetabolik görünümün yaygınlığı ve aktivitesi bu tatkikte azalmıştır. Tedavi görmeyen hastada bulguların gerilemesi ve diğer tüm vücut görüntülerinde yeni patolojik bir bulguya rastlanması nedeniyle bulgular eski ateşli silah yaralanmasına sekonder olarak değerlendirilmiştir.

Sonuç: Kemik iliği biyopsisinde kuşkulu gamopati saptanan, ateşli silah yaralanmasına sekonder pelviste kalan kurşun nedeniyle MR yapılamayan hastada PET/BT takip görüntülemeleri ile tanıda büyük fayda sağlanmıştır.

Anahtar Kelimeler: Kırık, plazmasiton, PET/BT**[PS-160]****F-18 FDG PET/BT'de Marjinal Zon Lenfomanın Subkutan Yağ Dokuya Yayılmının Tespiti**Mutlay Keskin¹, Derya Bako Keskin², Nilüfer Yıldırım¹, Duygu Has Şimşek³, Zuhal Kandemir¹, Elif Özdemir⁴, Şeyda Türkölmez⁴¹Ankara Atatürk Eğitim ve Araştırma Hastanesi, Nükleer Tip Kliniği, Ankara²Ankara Üniversitesi Tip Fakültesi, Radyoloji Anabilim Dalı, Ankara³Şişli Hamidiye Etfal Eğitim ve Araştırma Hastanesi, Nükleer Tip Kliniği, İstanbul⁴Yıldırım Beyazıt Üniversitesi Tip Fakültesi, Nükleer Tip Anabilim Dalı, Ankara

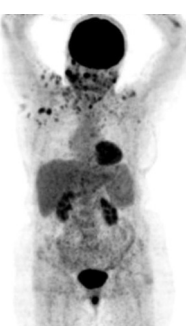
Amaç: Marjinal zon lenfomalar, B hücreli lenfomaların yaklaşık %12'sini oluşturan yavaş seyirli B hücreli non-Hodgkin lenfomaların bir grubudur. Tanı anında hastaların medyan yaşı 65 olup öncelikle mide, barsak, tükrük bezi, akiçiger, tiroid, laktimal bez, konjonktiva, mesane, böbrek, deri, yumuşak doku, timus, meme dokusu gibi yapılarda ortaya çıkar. Marjinal zon lenfoma, ekstranodal marjinal zon lenfoma veya mukoza ile ilişkili lenfoid doku (MALT), nodal marjinal zon lenfoma ve splenik marjinal zon

lenfoma olmak üzere üç tiptir. MALT lenfoma en sık olanıdır (%9). Lenf nodu tutulumu gözlenmez. Nodal marginal zon lenfomada lenf nodu tutulumu hakimdir ve tüm B hücreli lenfomaların %2'sini oluşturur. Splenik marginal zon lenfomada dalak ve kan elemanlarında tutulum mevcut olup hepatit C ile ilişkilidir. Tüm B hücreli lenfomaların %1'ini oluşturur. Marginal zon lenfomalarda F-18 FDG affinitesi düşük olup subkutan yayılım oldukça nadır. Bu olgu sunumunda subkutan yağ dokuya yayılım gösteren nodal marginal zon lenfomanın F-18 FDG PET/BT bulgularının sunulması amaçlanmıştır.

Olgu: Elli sekiz yaşında kadın hasta boyunda ele gelen şişlik nedeniyle başvurduğu hastanemizde, yapılan incelemelerde marginal zon lenfoma tanısı almış olup kliniğimize evreleme amacıyla F-18 FDG PET/BT taraması için refere edildi. Yapılan görüntülemede, boyunda servikal zincirde ve abdomende paraölyak alanda artmış metabolik aktivite tutulumu gösteren lenf nodları ile kafa tabanından diafram düzeyine kadar anteriorde belirgin olmak üzere subkutan yağ dokuda çok sayıda, milimetrik boyutlu, artmış F-18 FDG tutulumu gösteren nodüler lezyon izlenmiştir (SUV_{max} : 5,53). Bulgular primer malignitenin yayılımı ile uyumlu olarak değerlendirilmiştir. Dalakta, kemik iliğinde ve diğer organlarda patolojik metabolik aktivite tutulumu saptanmamıştır. Fizik muayenede hastanın derisinde patolojik değişiklik gözlenmemiş olup klinik olarak hastanın herhangi bir şikayetin bulunmamaktadır. Hastaların evrelemesine göre evre 3D olarak kabul edilmiş ve tedavisine başlanmıştır.

Sonuç: Bu olgu sunumunda nodal marginal zon lenfomanın subkutan yağ dokuya yayımı F-18 FDG PET/BT ile tespit edilmiştir. Sekonder kutanöz-subkutanöz yayılım, marginal zon lenfomada oldukça nadir rastlanan bir bulgu olup hastalığın evresi ve tedavi yönetiminde değişikliğe neden olmaktadır. F-18 FDG PET/BT taraması subkutan yayılım gibi belirgin klinik bulgu vermeyen ve nadir rastlanan patolojilerin saptanmasında önemli rol oynamaktadır.

Anahtar Kelimeler: Marginal zon lenfoma, PET/BT, subkutan



Resim 1.

[PS-161]

Dual Faz MIBI Paratiroid Sintigrafisi Erken Fazda Tiroid Bezinde Tc-99m-MIBI Tutulumu Olmayan Olgu Sunumu

Semra Demirtaş¹, Emine Göknur Işık¹, Gülin Uçmak²

¹Hıtit Üniversitesi Erol Olçok Eğitim ve Araştırma Hastanesi, Nükleer Tıp Kliniği, Çorum

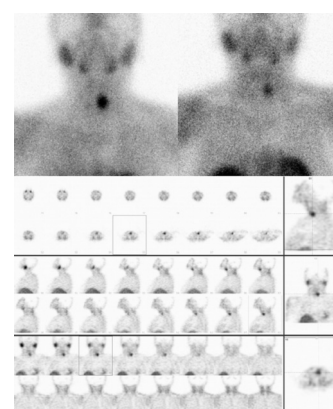
²Dr. Abdurrahman Yurttaş Ankara Onkoloji Eğitim ve Araştırma Hastanesi, Nükleer Tıp Kliniği, Ankara

Amaç: Dual faz paratiroid sintigrafisi, paratiroid adenomu araştırmasında güvenilir ve sık kullanılan bir yöntemdir. Tetkik erken fazda hem tiroid ve hem paratiroid dokusunda Tc-99m-MIBI tutulumunun olup, geç fazda tiroid dokusundan fizyolojik washout olarak, Tc-99m-MIBI tutulumu sebat eden paratiroid adenomunun tespitine dayanır. Bu sunumda paratiroid adenomu araştırılması amacıyla dual faz paratiroid sintigrafisi yapılan ve erken fazda tiroid bezinde belirgin MIBI tutulumu gözlenmeyen olgunu paylaşmayı amaçladık.

Olgu: Altmış iki yaşında kadın hastaya, hiperparatiroidi, hiperkalsemi nedeniyle (PTH: 373 pg/mL Ca: 11,3 mg/dL) paratiroid adenomu araştırmasına yönelik dual faz MIBI paratiroid sintigrafisi-SPECT çalışması yapıldı. Dual faz incelemede tiroid bezi sağ lobda çok düşük düzeyde aktivite tutulumu izlenirken, sol lobda tiroid bezi parankimine ait belirgin aktivite tutulumu izlenmedi. Sol lobda erken ve geç görüntülerde, paratiroid adenomu lehine yorumlanan fokal aktivite tutulumu izlendi. USG'de her iki tiroid lobu heterojen ve MIBI sintigrafisi bulguları ile uyumlu olarak, solda tiroid bezi inferiorunda 14x13 mm boyutlarında paratiroid adenomu ile uyumlu olabilecek hipoekoik nodüler lezyon izlenmiştir. Operasyon sonrası histopatolojik olarak paratiroid adenomu doğrulanmıştır. Operasyon, ilaç kullanımı ve ekzojen iyon alımı olmayan hastanın, 5 yıldır tiroidit/hipotiroidi nedeniyle takip edildiği öğrenildi.

Sonuç: Opere olmayan hastalarda erken fazda tiroid bezinde Tc-99m-MIBI tutulumunun olmaması sık rastlanan bir durum değildir. Tiroidit/hipotiroidinin MIBI tutulumu üzerine etkisi net olarak bilinmemekle birlikte, hücresel destrüksiyon ve fibrozisin etkili olduğu düşünülmüştür.

Anahtar Kelimeler: Tiroidit, dual faz MIBI paratiroid sintigrafisi, tiroid bezi MIBI tutulumu



Resim 1.